

**UNIVERSITATEA TEHNICĂ A MOLDOVEI**

Cu titlu de manuscris

C. Z. U: 004.93

**RUSU MARIANA**

**ANALIZĂ ȘI RECUNOAȘTERE DE FORME PENTRU  
APLICAȚII CU IMAGINI DIGITALE**

**122.03 – MODELARE, METODE MATEMATICE, PRODUSE PROGRAM**

**Teză de doctor în informatică**

**Conducător științific UTM:**

conf.univ., dr. **Vasile MORARU** \_\_\_\_\_

**Conducător științific UT “Gh.Asachi”:**

acad., prof.univ., dr. **Horia-Nicolai TEODORESCU**<sup>1</sup> \_\_\_\_\_

**Autorul: Mariana RUSU** \_\_\_\_\_

**CHIȘINĂU, 2018**

**1. Exclusiv pe durata a două stagii de pregătire susținute prin burse « E. Ionescu » oferite de Guvernul României, sub egida Agenției Universitare a Francofoniei (AUF)**

© Rusu Mariana, 2018

## MULȚUMIRI

Studiile doctorale au fost realizate în cotutelă, la Universitatea Tehnică a Moldovei și Universitatea Tehnică „Gh. Asachi” din Iași, având 2 coordonatori științifici și beneficiind de mai multe burse: Bursa "Eugen Ionescu" oferită de Guvernul României, sub egida Agenției Universitare a Francofoniei (AUF), anul de studii 2012-2013 (5 luni), Bursa de excelență a Guvernului pentru doctoranzi pe anul 2013 (10 luni) și Bursa "Eugen Ionescu" oferită de Guvernul României, anul de studii 2013-2014 pe o perioadă de 4 luni. Vreau să mulțumesc instituțiilor enumerate mai sus – persoanelor direct implicate – pentru șansa acordată, pentru ocazia de a realiza activitatea de cercetare, pentru încrederea lor și stimulul oferit la momentul oportun.

Vreau să mulțumesc coordonatorului științific domnului **Vasile Moraru**, conf., dr. la Universitatea Tehnică a Moldovei, pentru ghidarea pe parcursul anilor de studii doctorale și implicarea dumnealui în procesul de cercetare și perfectare a tezei.

De asemenea vreau să mulțumesc și coordonatorului științific de la Universitatea Tehnică „Gh. Asachi” din Iași domnului **Horia-Nicolai Teodorescu**, profesor și director fondator al centrului de excelență. Vreau să-i mulțumesc în primul rând pentru gazdă, în al doilea rând pentru încrederea care mi-a acordat-o acceptând acordul de cotutelă. Ca urmare o parte din teză reprezintă descrierea activităților de cercetare realizate în timpul studiilor doctorale în incinta Universității Tehnice „Gh. Asachi” din Iași, mai exact în laboratorul de Inginerie Biomedicală și Sisteme Inteligente de la Facultatea Electronică, Telecomunicații și Tehnologia Informației a acestei universități. Doresc să-mi exprim recunoștința pentru disponibilitatea dumnealui, sfaturile și recomandările privind domeniul cercetării, pentru bunătatea și răbdarea de care dumnealui a dat dovadă.

Mulțumiri călduroase colegilor de facultate pentru primele remarci și sfaturi - domnilor **Mihail Kulev**, dr., conf. univ., **Sergiu Răilean**, dr., conf. univ., **Valentin Negură**, dr., conf. univ., și **Nicolae Secrieru**, dr., conf. univ., **Dumitru Ciorbă**, dr. conf. univ., și **Viorel Rusu**, lector universitar.

## CUPRINS

ADNOTARE .....	7
ABSTRACT .....	8
LISTA ABREVIERILOR .....	10
INTRODUCERE .....	12
1. ANALIZA SITUAȚIEI ÎN DOMENIUL PROCESĂRII IMAGINILOR DIGITALE CU SCOPUL RECUNOAȘTERII ȘI CLASIFICĂRII AUTOMATE .....	18
1.1 Privire de ansamblu asupra domeniului de recunoaștere de forme și clasificare automată	18
1.2 Etapele de analiză și procesare a imaginilor în vederea recunoașterii și clasificării automate .....	19
1.2.1 Preprocesarea imaginilor .....	20
1.2.2 Extragerea atributelor/descriptorilor de imagine.....	28
1.2.3 Analiza și interpretarea rezultatelor.....	30
1.3 Analiza metodelor de clasificare automată a imaginilor .....	31
1.3.1 Clusterizarea automată a datelor. Problema clasificării automate .....	32
1.3.2 Clasificatorul Bayes.....	36
1.4 Metode de recunoaștere a formelor și interpretare a imaginilor .....	38
1.4.1 Algoritmi de detecție a punctelor de interes SIFT și ASIFT .....	40
1.4.2 Rețele neuronale artificiale .....	43
1.4.3 Sistem cu logica fuzzy .....	47
1.5 Indici de performanță în aprecierea metodelor de recunoaștere forme și de clasificare .....	48
1.6 Concluzii la capitolul 1 .....	50
2. SEGMENTAREA IMAGINILOR FOLOSIND MODELE DE MIXTURI GAUSSIENE ȘI MODELE DE MIXTURI UNIFORME-GAUSSIENE .....	51
2.1 Descrierea metodelor uzuale de segmentare a imaginilor .....	51
2.1.1 Metode de segmentare bazate pe clasificarea pixelilor .....	52
2.1.2 Metode de detectare a conturilor .....	58
2.1.3 Metode de segmentare bazate pe regiuni .....	64
2.2 Algoritm de segmentare bazat pe modele de Mixturi Gaussiene (GMM) și modele de Mixturi Uniforme-Gaussiene (G-U-MM) .....	67

2.2.1 Optimizarea segmentării bazate pe funcții de distribuții .....	76
2.2.2 Model aditiv format din mixturi de distribuții Gaussiene și uniforme .....	77
2.3 Algoritmul euristic G-U-MM. Limitele și îmbunătățirile ale G-U-MM de bază .....	78
2.3.1 Descrierea algoritmului euristic de segmentare G-U-MM .....	81
2.3.2 Prezentarea rezultatelor obținute .....	84
2.4 Compararea obiectivă a rezultatelor obținute în urma aplicării algoritmului de segmentare propus cu rezultatele altor algoritmi de referință.....	85
2.5 Concluzii la capitolul 2.....	91
<b>3. ALGORITMI DE RECUNOAȘTERE A FORMELOR ȘI CLASIFICARE AUTOMATĂ A IMAGINILOR ÎN APLICAȚII CU IMAGINI DIGITALE .....</b>	<b>94</b>
3.1 Clasificarea automată a datelor bazată pe separare liniară .....	94
3.3.1 Modelul de separare maximă [167].....	94
3.3.2 Support Vector Machines (SVM) [168] .....	96
3.3.3 Reformularea în termenii programării pătratice convexe .....	96
3.3.4 Reducerea SVM la o problemă de rezolvare a unui sistem de ecuații .....	98
3.2 Un sistem de clasificare automată bazat pe reguli fuzzy.....	101
3.2.1 Metodă hibridă bazată pe coeficientul de corelație normalizat și algoritm genetic ...	102
3.2.2 Extragerea semnăturii și a descriptorilor de formă .....	110
3.2.3 Un sistem de logică fuzzy pentru clasificare automată .....	112
3.2.4 Identificarea formei prin funcția diferență și corelație aplicate pe semnături .....	119
3.3 Compararea performanțelor metodei propuse vs. alte metode .....	122
3.3.1 Metoda hibridă bazată pe CCN și GA vs. metodele SIFT și ASIFT.....	122
3.3.2 Sistemul fuzzy vs. metoda de clasificare kNN.....	124
3.4 Concluzii la capitolul 3.....	124
<b>CONCLUZII GENERALE ȘI RECOMANDĂRI .....</b>	<b>126</b>
<b>BIBLIOGRAFIE.....</b>	<b>129</b>
<b>ANEXE .....</b>	<b>144</b>
Anexa 1: Codul sursă al programului de segmentare bazat pe G-U-MM.....	144
Anexa 2. Exemple de imagini binare obținute în urma segmentării.....	156

Anexa 3. Simbolurile de pericol și rezultatele obținute la identificarea lor aplicând diverse metode .....	157
Anexa 4. Algoritmul fuzzy pentru clasificarea obiectelor .....	163
DECLARAȚIA PRIVIND ASUMAREA RĂSPUNDERII .....	164
CURRICULUM VITAE .....	165

## ADNOTARE

**la teza „Analiză și recunoaștere de forme pentru aplicații cu imagini digitale”, prezentată  
de către Rusu Mariana pentru conferirea gradului științific  
de doctor în informatică, Chișinău 2018**

Teza de doctor este structurată pe 3 capitole, urmate de bibliografie din 188 titluri și 4 anexe. Lucrarea conține 60 figuri, 25 tabele, text de bază pe 116 pagini. Rezultatele obținute sunt publicate în 10 lucrări științifice.

**Cuvinte cheie:** procesare imagini, GMM, GUMM, recunoaștere forme, coeficient de corelație, template matching, clasificare automată.

**Domeniul de cercetare:** analiza și recunoașterea formelor în aplicații cu imagini digitale.

**Scopul lucrării** constă în elaborarea unor metode, algoritmi ce ar permite recunoașterea și clasificarea automată a formelor/obiectelor din imagini digitale.

**Obiectivele lucrării:** implementarea și elaborarea algoritmilor de procesare a imaginilor în scopul recunoașterii și clasificării formelor în aplicații cu imagini digitale și realizarea unei comparații obiective a algoritmilor implementați.

**Noutatea și originalitatea științifică:** Au fost identificate și argumentate: un algoritm euristic de segmentare, o metodă de separare liniară a două mulțimi de date și o metodă hibridă de recunoaștere și clasificare a formelor.

**Problema științifică și de cercetare soluționată** constă în elaborarea unei metode de segmentare bazată pe histogramă ce nu necesită indicarea numărului de praguri. S-a descris un model matematic de separare liniară a două mulțimi de date. S-a elaborat un sistem de clasificare automată care unește diverși algoritmi din inteligența artificială (algoritm genetic, sistem fuzzy) și definește combinația particulară care poate oferi o mai bună soluție pentru clasificarea automată a formelor/obiectelor.

**Semnificația teoretică și valoarea aplicativă a lucrării** constă în elaborarea algoritmului de segmentare bazat pe GUMM, a modelului de separare liniară, a metodei de clasificare automată bazat pe logica fuzzy și algoritmi de identificare/recunoaștere a imaginilor bazați pe coeficientul de corelație. Algoritmii de segmentare propus pot fi implementați și la alte tipuri de imagine, la fel și metoda hibridă formată din CCN și AG. Metodele de recunoaștere automată propuse pot fi readaptate și la alte seturi de forme.

## ABSTRACT

to thesis „Analysis and pattern recognition for applications with digital images”, presented by Rusu Mariana for conferring a PhD Degree in Computer Science, Chisinau, 2018.

The thesis is divided into three chapters, followed by bibliography of 188 titles and 4 appendices. The paper contains 60 figures, 25 tables, 116 pages of basic text. The number of published papers on the topic of thesis is 10.

**Keywords:** image processing, GMM, G-U-MM, forms recognition, correlation, template matching, automatic classification.

**Field of research** is image processing in order to pattern/objects recognition and detection in the image.

**The purpose** of this paper is to develop methods, algorithms that would allow the recognition and automatic classification of forms / objects in digital images.

**The objectives** are to analyze, implement and develop image processing algorithms for recognition of forms for digital images applications and make an objective comparison of implemented algorithms.

**Scientific novelty and originality of the results:** there were identified and justified an heuristic segmentation algorithm, a linear separation method for two data sets and a hybrid method of automatic classification of forms / objects.

**The theoretical importance** consists in the development of a histogram-based segmentation method that does not require to indicate the number of thresholds. A mathematical model of linear separation of two sets data has been described. An automatic classification system has been developed that combines different algorithms from artificial intelligence (genetic algorithm, fuzzy system) and defines the particular combination that can provide a better solution for templates / objects classification.

**The applied value of the thesis:** it demonstrated the practical effectiveness of of the proposed segmentation algorithm and the advantage of the hybrid method CCN + AG against the application of individual CCN. Also has been shown effectiveness and advantages of automatic sorting system.

**The research results** can be applied to automatic classification of waste, this area was chosen to emphasize that them correctly sorting would be a solution for reducing pollution. The system can be adapted and developed to classify other objects.



## АННОТАЦИЯ

**диссертации на соискание ученой степени доктора наук в информатики  
„Анализ и распознавание форм для приложений с цифровыми изображениями”,  
автор: Русу Мариана, Кишинэу, 2018.**

Диссертация состоит из 3 глав, а также последующей биографией содержащей 188 названий и 4 приложения. Диссертация содержит 60 фигур, 25 таблиц, главное текстовое содержание – 116 страниц. Количество опубликованных работ на данную тему – 10.

**Ключевые слова:** обработка изображений, сегментация изображений, распознавание форм, идентификация подписи, извлечение ключевых точек, сопоставление шаблонов, GMM, G-U-MM, автоматическая классификация.

**Область исследования** – обработка изображения с целью распознавания форм.

**Цель работы** состоит в разработке способов и алгоритмов для распознавания и автоматической классификации предметов/форм из изображения.

**Задачи работы:** анализ, проектирование и разработка алгоритмов обработки изображений с целью распознавания форм для приложений с цифровыми изображениями.

**Инновационность и оригинальность работы:** были идентифицированы и аргументированы эвристический алгоритм сегментации, метод линейного разделения двух наборов данных, а также гибридный метод автоматической классификации форм/объектов.

**Теоретическая значимость** заключается в разработке метода сегментации на основе гистограммы, который не требует указания количества порогов и гибридный метод автоматической системы классификации, который объединяет различные алгоритмы из искусственного интеллекта (генетический алгоритм, нечеткая система) и определяет конкретную комбинацию которая может обеспечить лучшее решение для автоматической классификации форм / объектов.

**Практическая значимость работы** было доказано эффективность предлагаемого алгоритма сегментации, преимущество гибридного метода CCN+AG в сравнении с индивидуальным применением CCN. Также было продемонстрирована эффективность и преимущества системы автоматической классификации.

**Результаты исследования** могут быть использованы для автоматической сортировки отходов. Таким образом, правильное применение результатов исследования для сортировки отходов может снизить загрязнение среды. Разработанная система может быть приспособлена и для классификации других объектов.

## LISTA ABREVIERILOR

AG – Algoritm Genetic  
ASIFT – Affine Scale-Invariant Feature  
CCN – Coeficient de Corelație Normalizat  
d.s.p. – densitate spectrală de putere  
DU – Distribuție Uniformă  
ECG – ElectroCardioGramă  
EEG – ElectroEncefaloGramă  
FCM – Fuzzy C-Means  
FN – False Negative (Fals Negativ)  
FNR – False Negative Rate (Rata Fals Negativ)  
FP – False Positive (Fals Pozitiv)  
FPM – Fuzzy Pattern Matching  
FPR – False Positive Rate (Rata Fals Pozitiv)  
GMM – Gaussian Mixture Models (MMG – Modele de Mixturi Gaussiene)  
G-U-MM – Gaussian and Uniform Mixed Models (MMGU – Modele de Mixturi Gaussiene și Uniforme)  
IR – InfraRoșu  
k-NN – k-Nearest Neighbor (k- cei mai apropiați vecini)  
LSB – Least Significant Bit  
MLP – Multi-Layer Perceptron (multistrat)  
MSB – Most Significant Bit  
NLP – Natural Language Processing (Procesarea Limbajului Natural)  
OCR – Optical Character Recognition (Recunoașterea optică a caracterelor)  
PCA – Principal Component Analysis (Analiza Componentelor Principale)  
PDF – Funcție Densitate de Probabilitate  
PET – PolyEthylene Terephthalate (PoliEtilen Tereftalat)  
PVC – PolyVinyl Chloride (PoliClorura de Vinil)  
RdF – Recunoaștere de Forme  
RGB – Red, Green, Blue (Roșu, Verde, Albastru)  
RNA – Rețele Neuronale Artificiale  
RNR – Rețea Neuronală Recurentă  
SIFT – Scale-Invariant Feature Transform

SNR – Signal Noise Rapport (Raportul semnal zgomot)

SSD – Sisteme Suport de Decizie

SVM – Support Vector Machine

TF/IDF – Term Frequency / Inverse Document Frequency (frecvența unui termen (în document)/  
invers frecvența documentului)

TN – True Negative (Adevărat Negativ)

TNR – True Negative Rate (Rata Adevărat Negativ)

TP – True Positive (Adevărat Pozitiv)

TPR – True Positive Rate (Rata Adevărat Pozitiv)

UV – UltraViolet

## INTRODUCERE

Actualitatea temei este confirmată de numărul crescător de lucrări, proiecte, aplicații în domeniul procesării de imagini cu scopul interpretării automate a acestora: asistarea unui diagnostic medical; recunoașterea amprentelor, vocii, retinei și a persoanelor (pentru securitate); dirijări și evitări de rachete, submarine, roboți etc. în servicii militare; observarea și preîntâmpinarea cataclismelor naturale bazate pe imaginile captate de sateliți; recunoașterea scrisului de mână la serviciile poștale pentru gruparea scrisorilor etc.

Tendința spre robotizare a apărut din necesitatea suplinirii activității umane sau chiar înlocuirea ei. Un sistem dotat cu vedere artificială are multe avantaje:

- automatizează procesele intensive de muncă;
- facilitează luarea unor decizii, de ex. stabilirea unui diagnostic, sortarea obiectelor după numeroase criterii, etc. influențând pozitiv dinamica procesului decizional;
- reduce implicarea umană;
- oferă rapiditate, obiectivitate, eficiență, rentabilitate;
- activează non-invaziv și non-destructiv;
- lucrează în spectre IR și UV;
- lucrează în medii nefavorabile/neprielnice sau nocive.

Astăzi, un inginer știe să doteze o mașină cu capacități de învățare. Pentru a putea crea softuri complexe, care ar ”percepe” mediul înconjurător asemeni omului, noi trebuie să înțelegem și să descifrăm cum are loc acest proces la nivel neuronal și sub ce formă este stocată informația în memoria noastră. Se încearcă simularea acestui proces, dar ținând cont de faptul că spațiile de stocare ale calculatorului devin din ce în ce mai mari și viteza de prelucrare a datelor crește și ea, nu este elaborată încă o metodă care să includă recunoașterea mediului înconjurător cu toată complexitatea sa. Fiecare aplicație tratează domenii înguste.

Se cunosc aplicații bazate pe rețele neuronale artificiale, care sunt dotate cu capacitatea de a învăța și a sintetiza informațiile astfel încât să poată da răspunsuri corecte pentru intrări diferite de cele cu care au fost antrenate (dar din același domeniu). Cu toate acestea nu se cunoaște încă o metodă care ar permite sistemului de vedere artificială să se adapteze la mediul înconjurător și să studieze independent ceva nou.

Elaborarea unui sistem de recunoaștere a imaginilor implică cunoștințe din matematică, inteligență artificială, bioinginerie, informatică etc. și rămâne ca problemă deschisă în continuare.

Pentru aplicarea în practică a algoritmilor de recunoaștere s-a ales domeniul trierii deșeurilor. În Republica Moldova nu se respectă sortarea deșeurilor menajere și dacă ar apărea investiții referitor la incinerarea deșeurilor pentru producerea de energie nu ar risca nimeni, căci la noi se aruncă și produse toxice, baterii, uleiuri uzate, care trebuie să fie puse în centrul de reciclare în recipiente adecvate, deci deșeurile trebuie să fie sortate în prealabil. Se mai poate obține compost din deșeuri organice ce ar fi util și benefic pentru mediu. Se cere de găsit o soluție de sortare efectivă a deșeurilor.

Nu este aplicată până în prezent sortarea prin recunoașterea obiectelor, dar sunt deșeuri care nu sunt colectate corect și ar trebui eliminate de pe banda de sortare: containerele care au conținut pesticide; containerele de uleiuri și vopsele, solvenți; containerele de ulei de motor, baterii, containere ce conțin uleiuri alimentare arse sau vechi etc. Aceste deșeuri sunt toxice pentru mediu și sănătate, deci trebuiesc stocate separat. Ar fi bine să poată fi eliminate din grămada de deșeuri pentru reciclare specială.

S-a propus de a investiga și a prezenta rezultatele actuale ale aplicării metodelor de identificare și clasificare automată ale ambalajelor.

**Scopul lucrării** constă în elaborarea unor metode, algoritmi ce ar permite recunoașterea formelor/obiectelor din imagine și clasificarea lor automată, scop atins prin următoarele **obiective**:

- analiza etapelor de procesare a imaginilor în vederea extragerii informației, recunoașterii și clasificării obiectelor din imagini;
- elaborarea unui algoritm de segmentare bazat pe G-U-MM;
- analiza principalelor metode de recunoaștere a formelor din scene mono-obiect;
- analiza metodelor fundamentale de clasificare automată;
- elaborarea unei metode de separare liniară a două mulțimi de date;
- elaborarea unui sistem de recunoaștere și clasificare automată a formelor bazat pe logica fuzzy. Sistem ce include 3 pași esențiali:
  - 1) *recunoașterea simbolurilor de pericol* prin aplicarea metodei hibride elaborate: corelație și algoritm genetic. Aplicarea algoritmului genetic permite căutarea de noi poziționări folosite de coeficientul de corelație la potrivirea imaginii cu șabloanele din baza de date;
  - 2) clasificarea formelor/obiectelor în 3 clase prin aplicarea logicii fuzzy;
  - 3) confirmarea deciziei luate la pasul anterior prin identificarea semnăturii de contur prin corelație.

- compararea rezultatelor obținute la fiecare etapă a procesării imaginilor cu metodele de referință respective (segmentare, recunoaștere și clasificare a formelor); concluzionarea eficacității metodelor elaborate.

Algoritmii propuși în lucrare pot fi aplicați individual la o etapă de procesare a imaginilor sau ca sistem.

**Noutatea științifică:** Au fost identificate și argumentate

- o metodă nouă de segmentare bazată pe modele uniforme și gaussiene;
- un model matematic de separare liniară a două mulțimi de date;
- o metodă hibridă de recunoaștere (CNN+GA) și clasificare a formelor (bazată pe logica fuzzy).

**Problema științifică soluționată constă în:**

- elaborarea unei metode de segmentare bazată pe histogramă ce nu necesită indicarea numărului de praguri;
- propunerea unei metode de separare liniară a două mulțimi de date (descrierea modelului matematic);
- elaborarea unui sistem de clasificare automată elaborat ce unește diverși algoritmi din inteligența artificială (algoritm genetic, sistem fuzzy) și definește combinația particulară care poate oferi o mai bună soluție pentru clasificarea automată a formelor/obiectelor.

**Semnificația teoretică.** Lucrarea dată conține o analiză comparativă a metodelor fundamentale de clasificare automată și de recunoaștere a formelor bazate pe descriptorii locali; o descriere detaliată a algoritmului elaborat bazat pe G-U-MM, o evaluare obiectivă nesupervizată pe bază de metrici a rezultatelor obținute la segmentare; o descriere a sistemului hibrid de recunoaștere și o evaluare a rezultatelor obținute la recunoașterea imaginilor.

**Valoarea aplicativă a lucrării.** La etapa de extragere a informației s-a propus un algoritm de segmentare bazat pe distribuții Gaussiene și uniforme. Acest algoritm poate fi aplicat ca extragere de informație: perimetru, suprafață, valoare medie a pixelilor etc. pentru alți algoritmi de recunoaștere bazați pe caracteristicile date de exemplu un sistem fuzzy de decizie. De asemenea, algoritmul este util la separarea obiectului de fundal.

Pentru clasificarea a două mulțimi de date s-a propus un algoritm de separare liniară. S-a prezentat o procedură eficientă de reducere a problemei considerate la rezolvarea unui sistem de ecuații prin reformularea condițiilor de optimalitate Karush-Kuhn-Tucker și utilizând metoda Newton.

Pentru recunoașterea formelor s-a elaborat un sistem bazat pe logica fuzzy cu un pas preliminar de recunoaștere a simbolului de pericol prin algoritm hibrid ce combină coeficientul de corelație cu algoritmul genetic și un pas de verificare a corectitudinii clasificării prin identificarea semnăturii obiectului. Coeficientul de corelație determină potrivirea sau nu a două imagini, iar algoritmul genetic generează noi dimensiuni și unghiuri de rotire ale imaginii căutate. Este un algoritm rapid și poate fi aplicat și pentru alte tipuri de imagine, având un randament de recunoaștere înalt. Identificarea semnăturii obiectului e bazată pe funcția diferență. Sistemul de decizie fuzzy e bazat pe 3 atribute: formă, mărime și simetrie. Sistemul fuzzy poate fi adaptat pentru clasificarea automată și a altor obiecte.

**Implementarea rezultatelor științifice.** Algoritmul de segmentare elaborat este utilizat la separarea obiectelor de fundal, ca o etapă preliminară pentru recunoașterea de forme într-un sistem de decizie bazat pe caracteristici.

Algoritmul hibrid bazat pe combinarea CCN și GA a fost implementat la trierea deșeurilor, dar poate fi utilizat și la alte tipuri de obiecte pentru recunoaștere, de ex. la găsirea logourilor de pe documente.

Metoda matematică de separare liniară propusă poate fi utilizată la clasificarea automată a obiectelor în două grupuri.

În dependență de obiectele ce necesită sortate, se pot schimba atributele ce sunt semnificative la clasificare și sistemul propus bazat pe logica fuzzy se adaptează ușor la noi cerințe.

#### **Rezultatele științifice înaintate spre susținere:**

1. Algoritmul de segmentare bazat pe G-U-MM.
2. Metoda matematică de separare liniară a două mulțimi de date.
3. Metoda hibridă bazată pe coeficientul de corelație normalizat și algoritmul genetic.
4. Sistemul automat de clasificare bazat pe logica fuzzy.

**Aprobarea rezultatelor cercetărilor.** Analiza metodelor implementate, descrierea algoritmului elaborat și unele rezultate prezentate în teză au fost publicate în reviste internaționale și naționale:

- Computer Science Journal of Moldova, Vol.20, Nr.2(59), 2012, Vol.25, Nr.1(73), 2017;
- Proceedings of the Romanian Academy, Series A, Vol.14, No.1, 2013;
- Meridian Ingineresc (2 lucrări), No.2, 2013;
- Romanian Journal of Information Science and Technology, Vol.16, No.1, 2013.

De asemenea, rezultatele obținute pe parcursul anilor de cercetare au fost prezentate la Conferințe Internaționale și publicate în volumele Conferințelor (două dintre care în BDI – IEEE):

- 4th International Conference Telecommunications, Electronics and Informatics, UTM, 2012.
- 2nd International Conference on Nanotechnologies and Biomedical Engineering, Chisinau, Republic of Moldova, 2013.
- 7th International Conference Electronics, Computers and Artificial Intelligence, IEEE Conference Publications, Bucharest – Romania, Vol.7, No.2, 2015.
- International Conference on E-Health and Bioengineering, IEEE Conference Publications, 2015.

Rezultatele finale au fost prezentate la simpozionul IIVA 2016 (Information in Image and Video Analysis Theory and Applications), Academia Română, Iasi – Romania și publicate în revista:

- Computer Science Journal of Moldova, Vol.25, Nr.1(73), 2017.

**Publicații la tema tezei.** Sunt publicate 10 lucrări (dintre care 2 lucrări ISI și 2 BDI) la tema tezei, aceste articole sunt parafrazate în conținutul tezei, observându-se astfel importanța teoretică și valoarea aplicativă a lucrării.

#### **Structura și volumul lucrării.**

Teza de doctor este structurată pe 3 capitole, urmate de bibliografie din 188 titluri și 3 anexe. Lucrarea conține 60 figuri, 25 tabele, text de bază – 116 pagini. Numărul de lucrări publicate la tema tezei este 10, la două dintre care sunt singur autor.

**Cuvinte cheie:** procesare imagini, segmentare imagini, GMM, G-U-MM, recunoaștere forme, keypoints matching, template matching, clasificare automată, sistem fuzzy, identificare semnătură.

**Domeniul de cercetare** este procesarea imaginilor în scopul recunoașterii și clasificării formelor/obiectelor din imagine.

#### **Conținutul tezei:**

Lucrarea dată prezintă o descriere succintă a etapelor de procesare a imaginilor. În Capitolul 1 „ANALIZA SITUAȚIEI ÎN DOMENIUL PROCESĂRII IMAGINILOR DIGITALE CU SCOPUL RECUNOAȘTERII ȘI CLASIFICĂRII AUTOMATE” este prezentată o privire de ansamblu asupra domeniului de recunoaștere de forme și clasificare automată a etapelor de analiză și procesare a imaginilor în vederea clasificării automate: preprocesarea imaginilor,



extragerea atributelor/descriptorilor de imagine, analiza și interpretarea rezultatelor. Din metodele de clasificare automată a imaginilor s-au tratat: clusterizarea automată a datelor, clasificatorul Bayes, SVM și rețelele neuronale artificiale. S-a prezentat importanța indicilor de performanță în aprecierea metodelor de clasificare.

În Capitolul 2 „SEGMENTAREA IMAGINILOR FOLOSIND MODELE DE MIXTURI GAUSSIENE ȘI MODELE DE MIXTURI UNIFORME-GAUSSIENE” se descrie cadrul experimental dezvoltat pentru segmentarea imaginilor bazată pe modele de mixturi Gaussiene și pe modele de mixturi uniforme – Gaussiene, cât și avantajul implementării a ultimului model menționat. Compararea cantitativă a rezultatelor e bazată pe implementarea a cinci metode de evaluare a segmentării.

Capitolul 3 „ALGORITMI DE RECUNOAȘTERE ȘI DE CLASIFICARE AUTOMATĂ A FORMELOR/OBIECTELOR ÎN APLICAȚII CU IMAGINI DIGITALE” conține descrierea unor metode elaborate de recunoaștere a formelor și rezultatele implementării lor.

A fost propusă și implementată metoda hibridă ce unește coeficientul de corelație și algoritmul genetic pentru identificarea unei imagini cu un șablon. Au fost testate metodele ce realizează corespondența între imagine și șablon prin potrivirea punctelor de interes: SIFT, Affine SIFT și au fost comparate rezultatele cu metoda hibridă (CCN+AG) elaborată.

Este descris și implementat sistemul fuzzy propus pentru clasificare automată ce utilizează atributele: formă, mărime și simetrie pentru a clasifica ambalajele în reciclabile, periculoase și nedeterminate. Pentru confirmarea deciziei clasificării s-a utilizat metoda de identificare a semnăturii.

În „CONCLUZII GENERALE ȘI RECOMANDĂRI” se prezintă principalele contribuții și unele idei de continuare a cercetării.

# 1. ANALIZA SITUAȚIEI ÎN DOMENIUL PROCESĂRII IMAGINILOR DIGITALE CU SCOPUL RECUNOAȘTERII ȘI CLASIFICĂRII AUTOMATE

## 1.1 Privire de ansamblu asupra domeniului de recunoaștere de forme și clasificare automată

Sistemele de calcul în prezent permit prelucrarea unui volum colosal de date ceea ce face posibilă analiza de imagini în timp real și automatizarea unor procese tehnologice complexe.

Aplicațiile ce includ analiză de imagine și *Recunoaștere de Forme* (RdF) pot fi grupate în funcție de problema ce trebuie rezolvată. Printre domeniile cele mai populare de aplicare a RdF se enumără serviciile militare, medicina, robotica, industria. Aplicațiile sunt de diferită complexitate: de la controlul calității produselor până la aplicații militare și de securitate:

1. Recunoașterea semnelor de circulație [1-3];
2. Recunoașterea documentelor, actelor de identitate, semnăturilor [4-6];
3. Recunoașterea amprentelor digitale [7,8];
4. Detectarea fețelor [9,10], persoanelor [11-13], vehiculelor [14,15] etc.;
5. Imagistica medicală în scopul facilitării elaborării unui diagnostic [16-18];
6. Cartografia [19,20];
7. Analiza resurselor terestre (imagini captate de sateliți) [21-23];
8. Aplicații în astronomie [24,25];
9. Gestionarea traficului aerian [26-28];
10. Aplicații militare: ghidare rachete [29,30], recunoaștere (aeriană [31-33], marină [34], submarină [35-38] etc.) detectarea mișcării [39];
11. Securitate (detectarea mișcării [40,41], recunoașterea gesturilor [42-44], emoțiilor [44-46] etc.)
12. Controlul calității în industrie [47-50];
13. Sortarea produselor [51];
14. ș.a.

Printre cele mai uzuale aplicații de RdF se enumără recunoașterea scrisului [52,53] și a vocii [54]. Optical Character Recognition (OCR) reprezintă recunoașterea caracterelor din textul imprimat. Chiar și cele mai performante sisteme OCR necesită o calitate bună a documentelor imprimate/scanate. Se cunosc sisteme de recunoaștere a scrisului manual utilizate la serviciile poștale pentru a citi adresa destinatarului sau la serviciile sociale unde e necesar de elaborat o statistică pe baza rezultatelor din formularele completate etc.

La sistemele de prelucrare a vocii cel mai des întâlnim aplicații adaptate pentru o persoană anume (un singur interlocutor), dar e posibil de adaptat și pentru un public mai larg (cu rezultate mai slabe). E posibil de tratat fiecare cuvânt pronunțat separat sau o discuție continuă (va fi necesară segmentarea datelor în cuvinte). Sistemele de securitate utilizează vocea pentru a identifica proprietarul. Alte date biometrice precum amprente digitale, retina, palma sau fața sunt de asemenea utilizate în sistemele de securitate.

Detectarea mișcării brațelor sau a emoțiilor persoanelor ce ar indica un comportament agitat sunt utile la păstrarea ordinii publice în locuri precum aeroporturi, bănci etc.

Analiza imaginilor biomedicale (digitale) se utilizează la tomografia computerizată, analiza de cromozomi, numărarea particulelor de sânge și altele.

Automatizarea industrială include aplicații de identificare și sortare a obiectelor, de proiectare a șabloanelor, de testare a cablajelor de circuit imprimat etc.

Alte domenii importante precum: *robotica* – include interpretarea scenei sau ghidarea spațială prin tehnici de vedere artificială (dirijarea unei mișcări prin feed-back vizual). *Cartografia* – urmărește întocmirea hărților și a planurilor topografice pe baza unor fotografii. *Alte servicii* precum securitatea unor obiective, prelucrarea imaginilor radar ce permit detectarea automată a țintelor sau ghidarea avioanelor la coborâre.

Sistemele de recunoaștere a formelor includ toate etapele de procesare a imaginii: de la achiziționarea datelor brute până la înțelegerea acestora. Datele inițiale sunt supuse între timp mai multor transformări.

Prin urmare, RdF implică și discipline conexe, cum ar fi procesarea de semnal și de imagine, inteligența artificială sau procesarea limbajului natural (NLP). De exemplu citirea imaginii de texte tipărite: OCR nu se rezumă doar la recunoașterea caracterelor, dar implică și segmentarea imaginii, selectarea segmentelor text, tăierea acestora în linii, cuvinte, apoi în caractere. Aceste analize implică și prelucrarea semnalului. După recunoaștere în sine, rezultatele pot fi îmbunătățite prin utilizarea modelelor de limbaje naturale.

## **1.2 Etapele de analiză și procesare a imaginilor în vederea recunoașterii și clasificării automate**

Analiza imaginilor cu scopul RdF este de a realiza sisteme informatice care simulează activitatea umană de percepție, recunoaștere și de înțelegere: recunoașterea scrisului, interpretarea scenelor, robotica, recunoașterea semnalelor medicale EEG (electroencefalograma), ECG (electrocardiograma). Aceasta implică cunoștințe pluridisciplinare pentru a înțelege aspectul fizic al captorilor, aspectele matematice de clasificare și aplicarea în informatică.

Metodele implementate în sistemele de RDF se bazează pe mai multe domenii: analiza numerică, statistică, optimizare combinatorică, cercetare operațională, analiză sintactică (parsing), teoria grafurilor, inteligența artificială, ș.a. Nu există o modelare exactă a fenomenului de recunoaștere a mediului înconjurător de către om, deoarece nu sunt cunoscuți toți factorii ce duc la luarea unei astfel de decizii și nu este cunoscut nici numărul de parametri implicați la proces (se estimează de a fi prea mare pentru a fi modelat cu exactitate).

Sistemele de recunoaștere a formelor cuprind toate etapele de procesare începând cu achiziția datelor până la determinarea apartenenței obiectului (forme) unei clase. O schemă a sistemului de achiziție și analiză a imaginilor în scopul recunoașterii de forme este reprezentată în figura 1.1.

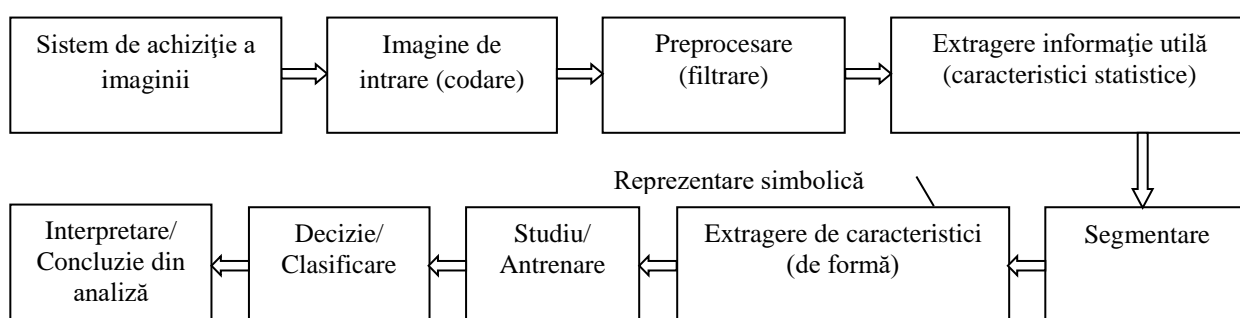


Fig. 1.1. Sistem de achiziție și analiză a imaginilor în scopul recunoașterii de forme

Operațiile de preprocesare au rolul de a elimina zgomotul sau informația inutilă din imagine sau de a restaura imaginea. Astfel de prelucrări sunt necesare pentru îmbunătățirea rezultatelor algoritmilor de recunoaștere și clasificare.

Extragerea caracteristicilor imaginii presupune separarea caracteristicilor spațiale (de ex. de amplitudine), celor de formă și textură, caracteristicilor statistice (entropia, dispersia, media pătratică etc.), separarea muchiilor și a contururilor etc.

Clasificarea formelor (obiectelor) dintr-o imagine include gruparea acestora, măsurarea similarității între imagini, crearea unei statistici și a arborilor decizionali etc.

Interpretarea rezultatelor constă în luarea deciziei pe baza analizei caracteristicilor obținute.

### 1.2.1 Preprocesarea imaginilor

Preprocesarea imaginii constă în îmbunătățirea calității imaginii – reducerea zgomotului și a altor defecte ce pot fi prezente în imagine (distorsiune, umbre, reflecții care apar în timpul achiziției), evidențierea unor zone de interes prin modificarea luminozității, a contrastului, accentuarea muchiilor, etc.

Cei mai utilizați algoritmi de preprocesare sunt:

- algoritmi de amplificare a contrastului prin modificarea locală sau globală a histogramei, metoda Gordon, Beghdadi etc.;
- algoritmi de atenuare a zgomotului (noise reduction);

Histograma unei imagini  $h(x)$  este funcția care asociază unei valori de intensitate  $x \in [0,255]$  numărul de pixeli din imagine care au această valoare.

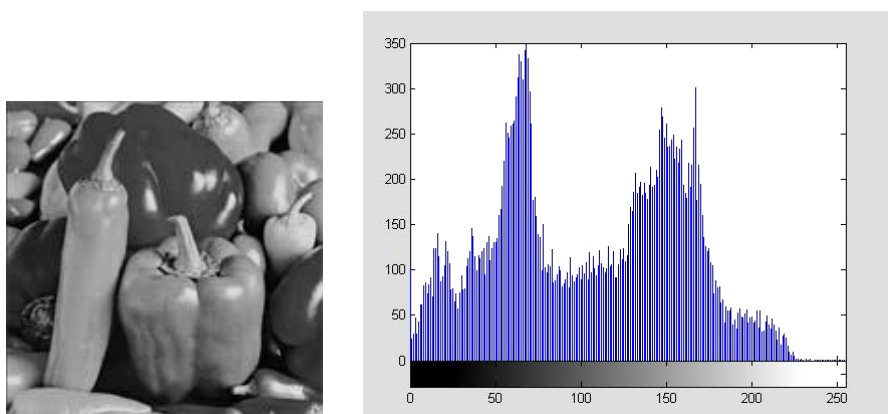


Fig. 1.2. Imaginea „peppers.jpg” și histograma corespunzătoare acestei imagini.

Pentru o imagine color histograma conține 3 componente, câte una pentru fiecare culoare de bază (RGB – roșu, verde, albastru).

Histograma poate fi proporționată pentru a face o estimare a densității de probabilitate a pixelilor ce reprezintă raportul dintre numărului de pixeli de o anumită intensitate și numărul total de pixeli din imagine :

$$p(x) = h(x) / n \times m$$

unde  $n \times m$ - dimensiunile imaginii.

Histograma proporționată la numărul de pixeli din imagine se numește funcția densității de probabilitate (PDF) a nivelelor de intensitate.

Suma tuturor probabilităților este o unitate  $\sum p(x) = 1$ .

Contrastul este o unitate de măsură a diferenței în luminozitate dintre zonele de intensitate mare (nuanțe deschise) și cele joase (întunecate). Histogramele ce cuprind întreaga gamă de nuanțe reprezintă o scenă cu contrast semnificativ, pe când cele „înguste” prezintă mai puțin contrast. Observăm că imaginea „peppers.jpg” din Fig.1.2 conține puțini pixeli de nuanță albă și cei prezenți se datorează reflecției de lumină. Pentru a mări contrastul este necesară „împrăștierea histogramei”, numită și extindere dinamică. Scopul său este de a da unei imagini

cu contrast mic dinamica completă (de ex. 256 nivele pe 8 biți) printr-o dilatare artificială, obținându-se de obicei un contrast mai mare.

Ajustarea contrastului unei imagini prin rescalarea intensității fiecărui pixel se obține aplicând formula:

$$x' = \frac{V_{\min} - V_{\max}}{V_1 - V_0} * x + \frac{V_{\min} * V_1 - V_{\max} * V_0}{V_1 - V_0}$$

unde  $V_{\min}$  și  $V_{\max}$  sunt valorile extreme ale intervalului maximal de valori (în general  $V_{\min} = 0$  iar  $V_{\max} = 255$ );

$V_0$  și  $V_1$  reprezintă limitele zonei nenule a histogramei imaginii I.

$$\forall x \in [V_0, V_1], x \xrightarrow{T} x' \in [V_{\min}, V_{\max}]$$

Figura următoare ilustrează această transformare:

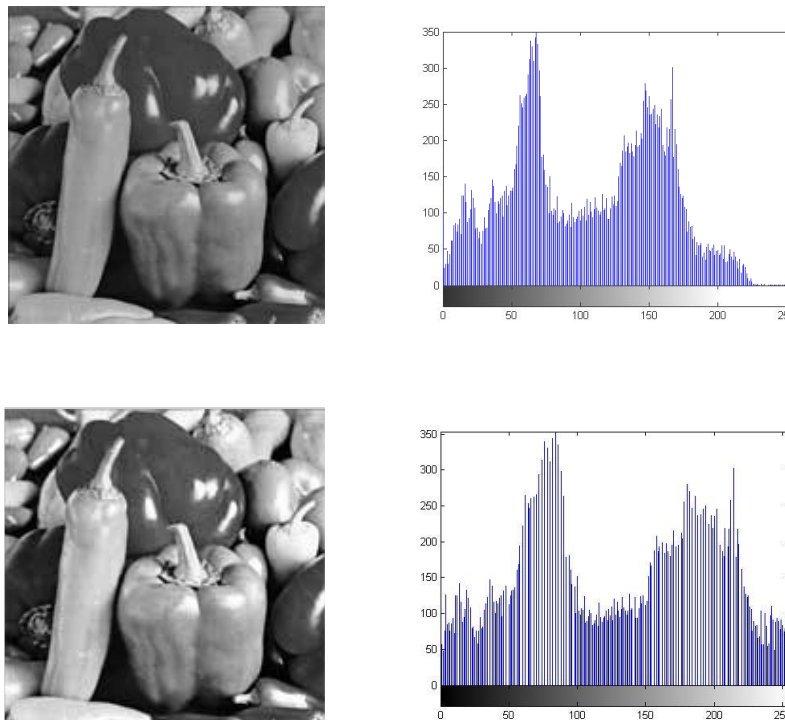


Fig. 1.3. Imaginea și histograma inițială și după ajustarea contrastului (a doua linie)

O altă posibilitate de amplificare a contrastului este egalizarea histogramei. Principiul egalizării este următorul: histograma imaginii este transformată într-o histogramă plată cu un tabel de transcodare care este strict monoton pentru a păstra ordinea contrastelor din imagine. Fie exemplul unei codificări pe 8 biți, dinamica originală  $[\min, \max]$  este extinsă la  $[0, 255]$ . Este de

dorit să se atribuie același număr de pixeli la fiecare nivel de gri, de aceea utilizăm histograma proporționată.

Pentru a efectua egalizarea histogramei avem nevoie de calcularea histogramei imaginii, a histogramei proporționate și celei cumulative.

```
//initializarea histogramei
for(i=0; i<256; i++) H[i]=0;

/* calcularea histogramei */
for (i=0; i<n; i++){
    for (j=0; j<m; j++){
        H[matr [n][m]]++;
    }
}

/* calcularea histogramei proportionate */
for (i=0; i<255; i++) H_proportionata=H[i]/(n*m);

/* calcularea histogramei cumulative */
H_cumulativa=0;
for (i=0; i<255; i++)
    H_cumulativa +=H_proportionata[i];

/* egalizarea histogramei */
for (i=0; i<n; i++){
    for (j=0; j<m; j++){
        nivel_initial = matr [n][m];
        matr_egalizata[n][m]=255* H_cumulativa[nivel_initial]
    }
}
```

Figura următoare ilustrează egalizarea histogramei și amplificarea contrastului imaginii după egalizare:

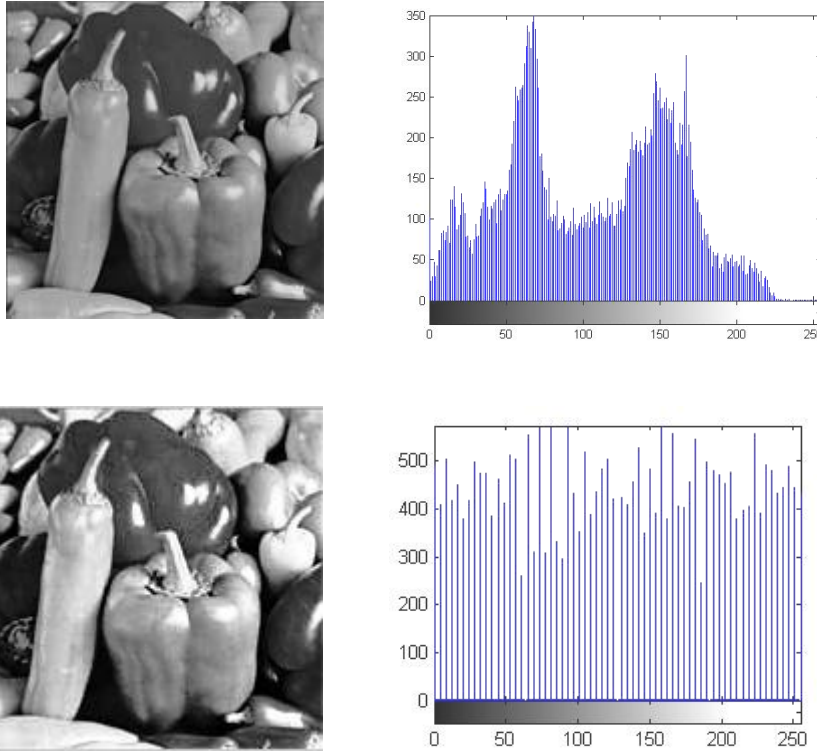


Fig. 1.4. Imaginea și histograma inițială și după egalizarea histogramei (a doua linie)

Preprocesarea și extragerea de atribute implică operații asupra pixelilor vecini, cel mai des se aplică filtrarea liniară, în cazul semnalelor multidimensionale – operații elementare de convoluție. În general, se poate considera că majoritatea algoritmilor de preprocesare și de extragere a atributelor aplică una sau mai multe convoluții elementare cu o mască  $3 \times 3$  sau  $5 \times 5$ . Aplicarea filtrelor pentru metode de detectare a conturilor sunt descrise în capitolul 2, în capitolul dat voi aborda doar filtrele median și de mediere pentru îmbunătățirea calității imaginii – suprimarea zgomotului. Aplicarea acestor două filtre pentru netezirea histogramei este descrisă în capitolul 2.

Un filtru este definit prin:

- o fereastră pătrată de dimensiune impară (3 sau 5), care se deplasează pe imagine;
- o matrice a coeficienților de aceeași mărime (3 sau 5).

Aplicarea filtrului asupra imaginii constă în mutarea ferestrei și înlocuirea valorii fiecărui pixel cu rezultatul operației asupra vecinilor săi. O nouă imagine (îmbunătățită) este astfel generată.



Medierea pe o vecinătate de  $3 \times 3$  :

$$I = h = 1/9 \begin{bmatrix} 1 & 1 & 1 \\ 1 & 1 & 1 \\ 1 & 1 & 1 \end{bmatrix} \times \begin{array}{ccccc} \boxed{86} & \boxed{93} & \boxed{90} & \boxed{98} & 93 \\ 76 & 84 & 80 & 88 & 88 \\ 77 & 87 & 80 & 86 & 89 \\ 75 & 88 & 78 & 80 & 86 \\ 63 & 83 & 73 & 73 & 83 \end{array}$$

Primul pas constă în calcularea mediei celor 9 elemente din fereastră:  $(1 \times 86 + 1 \times 93 + 1 \times 90 + 1 \times 76 + 1 \times 84 + 1 \times 80 + 1 \times 77 + 1 \times 87 + 1 \times 80) / 9$  și atribuirii valorii obținute elementului de pe poziția centrală. La al doilea pas glisăm fereastra pe imagine cu o poziție spre dreapta și procedăm la fel ca la pasul 1. Prima linie și prima coloană rămân, de obicei, neschimbate sau pot fi copiate rezultatele ca în oglindă (primei linii  $i$  se atribuie valorile liniei 2 după schimbare, primei coloane – valorile de pe a doua coloană după schimbare) similar se procedează și cu ultima linie și ultima coloană.

La prelucrarea semnalelor este important raportul dintre semnalul util și nivelul de zgomot (Signal Noise Rapport). Nu putem înlătura total zgomotul, putem doar să-l diminuăm, astfel maximizând raportul SNR.

O primă abordare se bazează pe redundanța informațiilor. Noua valoare a unui pixel este calculată prin medierea valorilor din vecinătate. Această operație liniară poate fi văzută ca convoluție discretă a imaginii printr-o mască de unități.

$$I'(i, j) = \sum_{(m,n) \in v} k(m, n) I(i - m, j - n), \quad \sum_{(m,n) \in v} k(m, n) = 1,$$

unde  $I$  este intensitatea imaginii originale,  $I'$  – intensitatea imaginii filtrate,  $v$  – vecinătatea utilizată și  $k$  – masca de convoluție.





Medierea este un filtru trece-jos ce elimină degradările locale de dimensiuni mici utilă atunci când obiectele din imagine sunt mai mari ca defectele prezente. Trebuie de ținut cont că acest filtru estompează contururile, nu este indicat de aplicat ca etapă anterioară a segmentării prin determinarea contururilor. Pentru evidențierea efectului filtrului de mediere s-a adăugat zgomot alb gaussian imaginii „peppers.jpg”.

Notă: Zgomotul alb este caracterizat de o densitatea spectrală de putere (d.s.p.) constantă într-o bandă infinită, de unde rezultă ca ar avea o putere infinită ceea ce e imposibil de generat. Conceptul de zgomot alb este unul pur teoretic. În practică avem zgomot de d.s.p. constantă într-o bandă limitată, numit zgomot alb filtrat. Cel mai cunoscut model este Additive White Gaussian Noise (zgomot aditiv alb și gaussian). Zgomotul alb nu este în mod necesar și gaussian, iar un

zgomot gaussian nu este în mod necesar și alb, deoarece distribuția probabilistică a amplitudinilor nu asigură și o d.s.p. constantă.

Rezultatul aplicării filtrului de mediere (<http://www.mathworks.com/help/coder/examples/averaging-filter.html>) asupra imaginii afectate de zgomot alb gaussian cu medie și varianță constantă cu o mască de 3x3 se observă în tabelul de mai jos.

Tabelul 1.1 Rezultatul aplicării filtrului de mediere

			
Imaginea originală	Imagine cu zgomot alb gaussian*	Imaginea filtrată cu o mască de 3x3	Imaginea filtrată de 2 ori cu aceeași mască de 3x3

\*Note: Add noise to image <http://www.mathworks.com/help/images/ref/imnoise.html>

Filtrul median constă în parcurgerea imaginii cu o fereastră glisantă 3x3 sau 5x5 și înlocuiește valoarea pixelului central cu valoarea mediană (de pe poziția centrală) a nivelelor de gri ale pixelilor din această fereastră (nivelele de gri sunt sortate în ordine crescătoare).

<table border="1"> <tr><td>86</td><td>93</td><td>90</td></tr> <tr><td>76</td><td>84</td><td>80</td></tr> <tr><td>77</td><td>87</td><td>80</td></tr> <tr><td>75</td><td>88</td><td>78</td></tr> <tr><td>63</td><td>83</td><td>73</td></tr> </table>	86	93	90	76	84	80	77	87	80	75	88	78	63	83	73	<table border="1"> <tr><td>98</td><td>93</td></tr> <tr><td>88</td><td>88</td></tr> <tr><td>86</td><td>89</td></tr> <tr><td>80</td><td>86</td></tr> <tr><td>73</td><td>83</td></tr> </table>	98	93	88	88	86	89	80	86	73	83
86	93	90																								
76	84	80																								
77	87	80																								
75	88	78																								
63	83	73																								
98	93																									
88	88																									
86	89																									
80	86																									
73	83																									
Imaginea originală	Primul pas – sortarea elementelor din fereastră																									

Fig. 1.5. Exemplu de implementare a filtrului median

Filtru median este un filtru neliniar, elimină zgomotul de tip impuls, nu șterge marginile doar contururi foarte fine. O fereastră de o mărime adecvată poate limita acest efect. Filtru median poate fi aplicat iterativ.

Notă: Zgomotul de tip impuls (cunoscut și sub numele de *salt and pepper*) constă în impulsuri aleatorii de energie de o amplitudine aleatorie și conținut spectral.

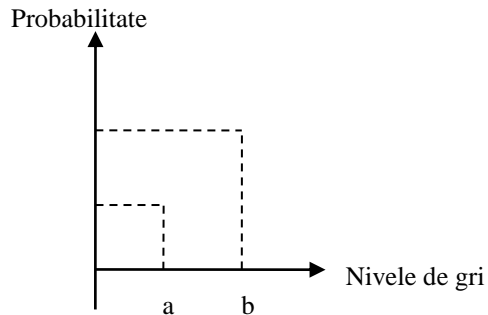








Fig. 1.6. Graficul densității de probabilitate a zgomotului de impuls

În modelul de zgomot de tip *salt & pepper* există doar două valori posibile. Pentru o imagine codificată pe 8 biți, valoarea de intensitate tipică pentru zgomotul *pepper* este  $\approx 0$  și pentru zgomotul *salt* este în jur de 255.

Rezultatul aplicării filtrului median (<http://www.mathworks.com/help/images/ref/medfilt2.html>) asupra imaginii afectate de zgomot *salt and pepper* se observă în tabelul de mai jos. Imaginea mai grav afectată de zgomot necesită filtrare repetată.

Tabelul 1.2 Rezultatul aplicării filtrului median

		
Imaginea originală	Imagine cu zgomot* <i>salt and pepper</i> $d=0.02$	Imaginea filtrată cu filtru median
		
Imagine cu zgomot* <i>salt and pepper</i> $d=0.2$	Imaginea filtrată cu filtru median	Imaginea filtrată de 2 ori cu filtru median

\*Note: Add noise to image <http://www.mathworks.com/help/images/ref/imnoise.html>  
 $d$  - densitatea zgomotului.

În practică se pot utiliza măști și de alte dimensiuni decât 3x3 și 5x5, cât și măști de diferite ponderi. În exemplu următor pentru înlăturarea zgomotului uniform s-a aplicat un filtru ponderat:  $W=[1 \ 2 \ 1; 2 \ 0 \ 2; 1 \ 2 \ 1]$ .

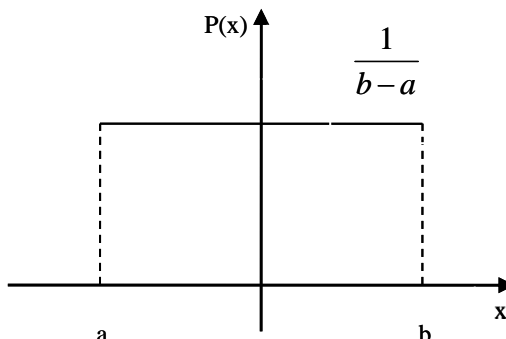

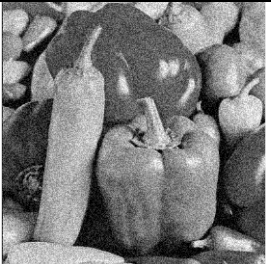



Fig. 1.7. Graficul densității de probabilitate uniforme

Pentru  $a \leq x < b$  probabilitate  $P(x)$  este  $1/(b-a)$  și 0 în rest.

În tabelul de mai jos se observă rezultatul aplicării diminuării zgomotului uniform.

Tabelul 1.3 Rezultatul aplicării filtrului ponderat

		
Imaginea originală	Imagine cu zgomot uniform	Imaginea filtrată cu filtru ponderat

După preprocesare obținem o imagine de o mai bună calitate, cu unele detalii mai bine conturate. Mărimea ferestrei și repetarea filtrării sau utilizarea mai multor tipuri de filtre consecutiv se determină experimental.

### 1.2.2 Extragerea atributelor/descriptorilor de imagine

Extragerea caracteristicilor (feature extraction) constă în aplicarea unor algoritmi specializați, cum ar fi:

- algoritmi morfologici: dilatare, eroziune, umplere, scheletizare;

- algoritmi de segmentare a imaginii: detectarea conturilor, a unor discontinuități – puncte, linii, muchii, conectarea segmentelor (edge linking), segmentarea bazată pe histogramă, segmentarea bazată pe regiuni;
- algoritmi de reprezentare și descriere a formelor: descrierea conturilor, calcularea momentelor statistice invariante, descriptori Fourier, analiza texturilor;

În capitolul 2 sunt descrise metode uzuale de segmentare a imaginilor și unele metode de reprezentare a formelor/obiectelor prin regiuni: reprezentarea prin schelet, prelucrări și transformări morfologice, reprezentări sintactice, descriptori de formă. În capitolul 3 sunt descrise unele metode de recunoaștere bazate pe descriptori locali, inclusiv și determinarea lor.

Sunt multe posibilități de selectare și reprezentare a caracteristicilor:

- de tip statistic, prin extragerea unui vector de caracteristici  $X$  format din diverse măsuri de tip numeric extrase în mod sistematic pe baza formelor. Un astfel de vector poate fi scris:

$$X = [x_1, x_2, \dots, x_k]^T$$

unde  $x_1, x_2, \dots, x_k$  – caracteristicile / atributele formei reprezentate prin  $X$ .

- de tip structural: se urmărește descompunerea formei în constituenți elementari numiți primitive. Reprezentarea este apoi ordonată sub forma unui graf sau arbore.

Caracteristicile trebuie să permită distingerea diferitor clase de forme între ele. Experiența și intuiția sunt necesare la alegerea caracteristicilor, iar numărul lor este determinat în funcție de mărimea setului de antrenare. Pentru obiectele reprezentate bidimensional se pot cita:

- caracteristicile direcționale: histograme de gradienti și caracteristici SIFT (Scale Invariant Feature Transform) invariante la scalare după cum sugerează și numele;
- caracteristicile de formă (în limba engleză: shape context) la fiecare punct de contur se calculează distanțele și unghiurile de la acest puncte la toate celelalte puncte de contur. Aceste valori sunt apoi cuantificate și reprezentate de o histogramă bidirecțională (distanță, unghi);
- descriptori Fourier: calcule pe baza punctelor de contur. Aceste caracteristici sunt invariante la deformări cauzate de translație, rotație și scalare;
- caracteristici de regiuni (în limba engleză: grid features): se înconjoară forma cu un dreptunghi care este decupat în regiuni și în fiecare regiune, se calculează procentul de pixeli negri;
- momentele;

- pentru cuvintele unui text care aparține unui corpus de documente: măsura TF – IDF (Term Frequency – Inverse Document Frequency) și variantele sale.

Extragerea informației metrice din imagini este o etapă importantă în procesarea imaginilor, de calitatea ei depinde rezultatul algoritmilor de recunoaștere. Se urmărește reducerea vectorului de caracteristici, deoarece de ex. caracteristicile de bază: formă, culoare și textură formează un număr foarte mare de combinații, ceea ce face anevoioasă aplicarea metodelor teoretice de decizie. Pentru reușita acestei etape se tinde spre micșorarea numărului de forme și mărimi, dacă nu e principial se ignoră caracteristica de culoare și textură. Rezultatul final al acestei etape este un vector de  $n$  attribute/caracteristici extrase.

Exemplu de distanțe (măsurători) utilizate în metode statistice asupra vectorilor: Euclidiană, absolută, Chebychev ș.a.

În [55-57] găsim patru abordări (metodologii, modelări matematice) importante ale sistemelor de recunoaștere a obiectelor: modelul statistic, modelul sintactic, modelul potrivirii cu șablon (Template Matching Model), model de rețele neuronale.

Pentru măsurarea atributelor sau descriptorilor (feature/pattern measurement) se alege o metodă de măsurare, evaluare și comparare corespunzătoare modelului matematic ales [55]:

- modelarea prin metode statistice – metode statistice de minimizare a riscului (conditional average risk statistical equation);
- modelare sintactică-structurală – gramatici și reguli de derivare sintactică, arbori de derivare (analiză) sintactică, automate finite de recunoaștere;
- pentru recunoașterea prin metoda potrivirii cu un șablon (Template Matching) se utilizează algoritmi de determinare a potrivirii: clasificarea bazată pe distanța minimă (minimum distance classifier), potrivirea prin corelație (matching by correlation);
- modelare prin rețele neuronale – metode de antrenare, rețele neuronale multistrat, algoritmi de învățare.

În capitolul 3 este descrisă și implementată metoda de potrivire bazată pe indicele de corelație, apoi este propusă o versiune ameliorată a acesteia utilizând și algoritmul genetic pentru generarea de noi date cu scalarea și rotirea imaginii pentru o nouă potrivire cu șablonul.

### **1.2.3 Analiza și interpretarea rezultatelor**

Analiza și interpretarea rezultatelor reprezintă etapa finală a procesării imaginilor cu scopul recunoașterii obiectelor. La etapa dată se stabilește (manual sau automat) apartenența

obiectului la o clasă pe baza caracteristicilor extrase și măsurate anterior. Este vorba despre determinarea, după o perioadă de studiu/antrenare, a unei funcții de clasificare care permite trecerea de la reprezentare la etichetare.

Uneori este necesar să se introducă o "clasă" nedeterminată, notată  $\omega_0$ , la care sunt atribuiți vectorii  $x$  a căror formă este ambiguă. Clasa  $\omega_0$  nu se potrivește cu adevărat unei forme. Trebuie să se considere ca o decizie suplimentară în procesul de decizie. Când se decide atribuirea unei forme la clasa nedeterminată, urmează, de obicei, un proces mai fin și mai costisitor: se apelează un clasificator mai complex, folosind mai multe caracteristici, sau se ia decizia manual făcând apel către utilizator.

Randamentul clasificării reprezintă raportul dintre numărul de determinări corecte și numărul total de imagini analizate, iar rata de eroare este raportul dintre numărul de determinări false și numărul total de imagini.

Fie  $\Omega$  spațiul de forme, adică ansamblul tuturor formelor posibile a obiectelor propuse spre analiză. Fiecare formă  $\omega \in \Omega$  constituie un eveniment elementar. Fie  $R$ , spațiul de reprezentare, ansamblul de caracteristici sau reprezentări extrase ale formelor. Fie  $C$ , spațiul claselor, adică ansamblul etichetelor. Acest ansamblu este presupus finit, de ordinul  $k$ .

Exemplu: recunoașterea cifrelor izolate din imagini.  $\Omega$  este ansamblul tuturor imaginilor posibile ce reprezintă cifre de la 0 la 9,  $C$  este ansamblu de etichete  $C = \{1, 2, 3, 4, 5, 6, 7, 8, 9, 0\}$ , numărul claselor este  $k = 10$ .

Se cunosc mai multe metode de clasificare: arbori de decizie, algoritmi de clusterizare de exemplu: k-NN (K-nearest neighbor – k-cei mai apropiați vecini), clusterizare ierarhică, clasificatorul Bayes, rețele neuronale artificiale, Support Vector Machine (SVM) etc.

Alegerea algoritmilor de clasificare depinde de tipul caracteristicilor extrase. Unele metode de clasificare vor fi analizate în continuare.

### **1.3 Analiza metodelor de clasificare automată a imaginilor**

Metodele de clasificare folosesc exclusiv un set de măsuri și/sau cunoștințe euristice ale funcționării unui proces pentru a trece de la spațiu de observare la spațiu de decizie numit și spațiu de reprezentare. Rezultatele clasificării depind atunci de metoda în sine, de cunoștințele a priori, de parametrii ce caracterizează sistemul și de calitatea datelor.

Problema RdF este de a caracteriza modelul și eticheta fiecărei clase asociate unei forme. Acest lucru necesită utilizarea de tehnici de clasificare pentru gruparea formelor similare. Clasele pot fi statice sau dinamice. Clasele statice sunt bazate pe date staționare, ce înseamnă că

parametrii modelului de clasificare nu vor fi schimbați în procesul de recunoaștere. Există multe metode de clasificare a datelor printre care se pot cita K-nearest neighbor [58,59], SVM [60,61], clasificatorul Bayes [62-65]. Metoda de analiză a componentelor principale (PCA – Principal Component Analysis) [66-69], metoda Fuzzy Pattern Matching (FPM) [70-72], metoda Fuzzy C-Means (FCM) [73] precum și alte numeroase versiuni ale acestor metode sunt implementate la procesarea datelor cu scopul clasificării automate. Sistemele sunt în continuă dezvoltare, de exemplu sistemele evolutive [74-76], pentru care este necesară utilizarea metodelor de clasificare dinamică.

În cazul claselor și/sau formelor dinamice majoritatea datelor se schimbă datorită evoluției. Această dinamicitate se exprimă prin mărirea, eliminarea, fuziunea, dividerea etc. formelor, respectiv claselor. Printre aplicațiile reale ce necesită o clasificare dinamică se poate enumera supravegherea video, diagnosticul industrial (dezvoltarea modului de funcționare), diagnosticul medical (expansiunea unei suprafețe afectate de o maladie) etc. Se cunosc metode RdF pentru prelucrarea datelor dinamice printre care se pot cita: Dynamic Fuzzy Pattern Matching [77,78], Dynamic Fuzzy K- nearest Neighbors [79-81], metode de clasificare pentru forme dinamice [82,83], metode mixte de clasificare pentru date dinamice [84-87].

Formele pot fi statice sau dinamice; parametrii extrași din forme sunt statistici, structurali și micști; metodele statistice, structurale și mixte, iar modul de identificare și clasificare poate fi asistat, neasistat sau combinat.

### **1.3.1 Clusterizarea automată a datelor. Problema clasificării automate**

Clasificarea este un mod de organizare a datelor. Scopul clasificării este de a identifica clasele cât mai omogene posibil pe baza trăsăturile descriptive (attribute, caracteristici etc.). Există două tipuri de clasificare: supervizată (asistată) și nesupervizată (neasistată).

Scopul clasificării neasistate este de a determina într-un ansamblu de entități grupuri (cluster, clase) de date omogene – similare între ele și distincte față de cele din alte grupuri. În cazul clasificării automate nu avem informații cu privire la apartenența datelor la o clasă sau alta, ci doar caracteristici, observații specifice unei clase sau alteia. Această apartenență este, în general, dedusă din distribuția spațială a punctelor (se grupează observațiile care sunt "aproape" unele de altele în spațiul de reprezentare (spațiul de variabile)) explicată de Campedel și Moulines [88].

Clasificarea include:

- i. regruparea consecutivă a observațiilor celor mai 'similare' (metoda ierarhică) sau regruparea în  $k$  grupe a tuturor observațiilor simultan;



- ii. aplicarea criteriului de 'similaritate' între două observații;
- iii. aplicarea criteriului de 'similaritate' între două grupuri sau între o observație și un grup.

Indiferent de tipul de clasificare automat sau manual, alegerea metodei se face întotdeauna pentru o anumită problemă. Într-adevăr, nu există o abordare optimă pentru orice tip de date. În plus, odată ce abordarea este adoptată, rezultatele depind în mare măsură și de parametrizarea metodei. În cazul asistat, datele de instruire (de învățare) nu reprezintă întotdeauna perfect realitatea datelor în cauză, ceea ce poate degrada rezultatele clasificării, în special dacă clasele selectate pentru învățare în cazul clasificării asistate nu sunt relevante. Se poate întâmpla ca unele clase să fie uitate, sau ca etichetarea să fie făcută în condiții proaste ce nu permite distincția claselor interesate, obținându-se astfel o clasificare ce depinde de calificarea persoanei ce a făcut etichetarea. În clasificarea neasistată se determină automat clasele, deci aceasta poate completa o clasificare asistată, pentru a confirma sau a nega alegerea claselor inițiale. O soluție posibilă ar fi fuzionarea rezultatelor date de clasificarea asistată și neasistată pentru a beneficia de rezultatele ambelor metode. Prin urmare, combinația oferă utilizatorului un compromis între cele două metode. În literatură găsim lucrări referitoare la realizarea fuziunii unui tip de clasificare: de exemplu fuziunea clasificărilor automate (proapse de Forestier et al. [89], Gañarski et al. [90], Wemmert și Gañarski [91], Masson și Dencœux [92, 93]); sau asistate (proapse de Xu et al [94], Chen et al [95]). Abordarea fuziunii clasificărilor automate este mai dificilă, având în vedere lipsa de informații cu privire la etichetele claselor. Se observă faptul că fuziunea dintre metodele automată și asistată nu este realizată cu scopul direct de clasificare, ele sunt complementare, în sensul că metoda automată se aplică la învățarea asistată [96-99].

Un criteriu de omogenitate între entități poate fi o similaritate, o disociere sau o distanță. O *similaritate* (asemănare) poate fi exprimată prin coeficientul de corelație de exemplu, iar o *disociere* (depărtare, diferențiere) prin distanțe, de exemplu distanța euclidiană. Măsura de similaritate utilizată variază în funcție de tipul de date, adică de tipul de variabile ale matricei: cantitative, calitative sau mixte.

Se consideră un set  $\Omega = \{1, \dots, i, \dots, k\}$  de  $k$  obiecte descrise de  $c$  variabile  $x_1, \dots, x_k$  într-o matrice  $X$  cu  $k$  linii și  $c$  coloane:

$$X = (x_{i,j})_{k \times c} = \underbrace{\begin{array}{c} 1 \\ \vdots \\ \dots \\ k \end{array}} \begin{array}{c} \left[ \begin{array}{ccc} & \vdots & \\ \dots & x_{i,j} \in R & \dots \\ & \vdots & \\ & \vdots & \end{array} \right] \\ \underbrace{\qquad \qquad \qquad}_{1 \dots c} \end{array}$$

Unde  $1 \leq j \leq c$  și  $1 \leq i \leq k$ .

O entitate  $i \in \Omega$  este descrisă de vectorul  $x_i \in R^c$  (linia  $i$  a matricei  $X$ ). O pondere  $\Omega_i$  este asociată fiecărei entități  $i$ . Pentru datele ce rezultă dintr-o extragere aleatoare cu o probabilitate uniformă  $\omega_i = 1/k$  pentru fiecare  $i$ . În unele cazuri este util de a lucra cu ponderi neuniforme.

Dacă datele sunt cantitative distanțele clasice aplicate la clasificare sunt:

- distanța euclidiană simplă:

$$d^2(x_i, x_{i'}) = (x_i - x_{i'})^T (x_i - x_{i'})$$

- distanța Manhattan:

$$d(i, i') = \sum_{j=1 \dots c} |x_{ij} - x_{i'j}|$$

- distanța Chebychev, sau distanța maximului:

$$d(i, i') = \max_{j=1 \dots c} |x_{ij} - x_{i'j}|$$

Mai sunt utilizate și alte distanțe precum distanța Mahalanobis, distanța euclidiană normalizată sau valoarea absolută.

Alegerea unei distanțe se face în dependență de problema concretă efectuând mai multe încercări alegând rezultatele optime și se face în trei pași:

- Normalizarea – această etapă permite evitarea efectului de scară: variabilele au astfel o contribuție echivalentă la calcularea distanțelor, indiferent de care a fost valoarea lor inițială;
- Selectarea variabilelor – se bazează pe analiza descriptivă a datelor, cât și pe cunoștințele a priori pe care le avem referitoare la problemă;
- Alegerea ponderilor – se determină experimental ponderile fiecărei variabile, dacă se dorește ca anumite variabile să aibă o influență mai mare la calculul distanțelor.

Alegerea distanței trebuie să reflecte o analiză a rezultatelor experimentale, a statisticii, nicidecum să nu fie întâmplătoare sau bazată pe faptul că în literatură găsim de exemplu mai multe lucrări cu utilizarea distanței euclidiene normalizate și alegem distanța cea mai populară.

**Clasificarea ascendentă ierarhică.** Inițializarea acestui algoritm constă în calcularea tabloului de distanțe (sau de diferențiere) între elementele care urmează să fie clasificate. Algoritmul pornește apoi partiția a  $n$  singletons (fiecare element reprezintă o clasă) și se caută la fiecare pas, formarea claselor prin reuniunea a două elemente situate cel mai aproape (distanța cea mai mică) la etapa anterioară, construind progresiv un arbore sau o dendogramă, regrupând în final toate elemente într-o singură clasă, la rădăcină. La fiecare pas al algoritmului este necesar să se actualizeze tabelul de distanțe (sau disimilarități). După fiecare reuniune a două elemente (entități, obiecte), a două clase sau a unui element la o clasă, distanța dintre noul element și altele sunt calculate înlocuind în matrice distanțele la elementele care au fost reunite (incluse în clasă). Diferite abordări sunt posibile la acest nivel, care rezultă în diferite clasificări.

Primul pas este gruparea a două elemente. Fie  $A$  și  $B$  două elemente ale unei partiții date, cu  $\omega_A$  și  $\omega_B$  ponderile lor, problema este de a defini  $d(A, B)$ , distanța între aceste elemente ale unei partiții din  $\Omega$ . Se cunosc 3 posibilități: "single linkage" ("cel mai apropiat vecin"), metoda "complete linkage" ("vecinul cel mai depărtat") și metode intermediare ("average linkage").

Pasul doi: Fie  $A, B$  și  $C$  trei grupuri/clase, Presupunem că am reunit  $A$  și  $B$ . Se va calcula similaritatea  $A + B$  cu  $C$  în felul următor:

1.  $d(A + B, C) = \max[d(A, C), d(B, C)]$  dacă optăm pentru "single linkage";
2.  $d(A + B, C) = \min[d(A, C), d(B, C)]$  dacă optăm pentru "complete linkage";
3.  $d(A + B, C) = \frac{n_A}{n_A + n_B} * d(A, C) + \frac{n_B}{n_A + n_B} * d(B, C)$  dacă aplicăm metoda "average linkage", unde  $n_A$  : numărul de observații ce constituie clasa  $A$ .

Pasul doi se repetă până la obținerea unei singure clase, având loc astfel agregări succesive reunindu-se toate elementele.

Numărul de clase este determinat a posteriori, obținându-se o dendogramă care ilustrează grafic aceste agregări succesive. Înălțimea unei ramuri este proporțională cu indicele de disociere sau distanța dintre cele două obiecte.

Dendrograma este o reprezentare grafică, în formă de arbore binar. Un exemplu de dendogramă este ilustrat în figura de mai jos, aplicând codul din sursa

<http://www.mathworks.com/help/stats/hierarchical-clustering.html>. Funcția `pdist(X)` calculează implicit distanța Euclideană, pentru calcularea altei distanțe se specifică cea dorită, de exemplu `pdist(X, 'chebychev')` <http://www.mathworks.com/help/stats/pdist.html>.

Pentru  $X = [1 \ 2; 2.5 \ 4.5; 3 \ 4; 5 \ 7; 4 \ 3.5; 5.5 \ 6.5; 8 \ 9.5]$ ;

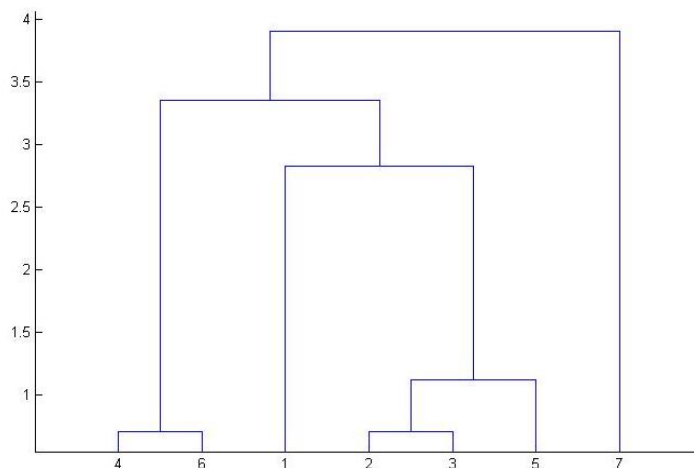


Fig. 1.8. Dendrogramă obținută aplicând clasificarea ascendentă ierarhică

Corelația copenetică este un indicator de calitate a clasificării sau a unei dendrograme ierarhice și provine de la distanța copenetică. Această distanță este definită între două puncte reprezentate într-un arbore de înălțimea ramurilor care în cele din urmă se reunesc în același grup. Aceasta este, de asemenea, distanța dintre cele două grupuri conținând aceste observații înainte de a fi regrupate și ele. În mod evident, cu cât această valoare este mai aproape de 1, cu atât este mai bună clasificarea.

Pentru exemplul prezentat mai sus  $c = 0.7541$ .

### 1.3.2 Clasificatorul Bayes

Modelarea bayesiană se bazează pe teoria statistică a lui Bayes. Acest tip de modelare este cel mai potrivit pentru gruparea datelor incerte. Modelarea bayesiană nu oferă rezultate exacte, doar probabilități. Într-un sistem probabilistic, se tinde spre minimizarea probabilității de eroare. Aceasta este echivalentă cu alegerea clasei cele mai probabile.

În [100-102] este implementată Teorema lui Bayes pentru clasificarea datelor. Dacă  $C_i$ , pentru  $i = 1, 2, \dots, k$ , reprezintă cele  $k$  clase, și  $X = [x_1, x_2, \dots, x_n]$  este vectorul de caracteristici extras pentru forma a cărei apartenență de clasă trebuie găsită, atunci probabilitatea că forma aparține unei anumite clase  $C_i$  este dată de probabilitatea a posterioară  $P(C_i | X)$  a acelei clase  $C_i$  dată de caracteristica vector  $X$  (folosind Teorema lui Bayes):

$$P = (C_i | X) = \frac{P(X | C_i)P(C_i)}{P(X)}$$

unde  $P(C_i)$  este probabilitatea a priori a clasei  $C_i$ ; Dacă nu se știe valoarea a priori a probabilităților claselor, se presupune că sunt egale  $P(C_1) = P(C_2) = \dots P(C_k)$ .  $P(X | C_i)$  este probabilitatea vectorului caracteristică  $X$ , având în vedere că forma face parte din clasa  $C_i$ ;

$P(X)$  este probabilitatea totală a vectorului caracteristică  $X$ , adică,  $\sum_i^k P(X | C_i)P(C_i)$ .

Un clasificator Bayesian calculează mai întâi  $P(C_i | X)$ , folosind ecuația de mai sus. Apoi, clasificatorul atribuie eticheta  $C_m$  la un anumit vector caracteristică  $X_o$  dacă  $P(C_m | X_o)$  este maximă, adică,  $C_m = \arg \max_i \{P(C_i | X)\}$ . Probabilitățile a priori  $P(C_i)$ ,  $P(X)$  și probabilitatea condiționată  $P(X | C_i)$  sunt calculate din imaginile etichetate.

În [103] este implementat algoritmul de clasificare Gaussian Naive Bayes care are o acuratețe a rezultatelor de 97%-100%. Probabilitatea caracteristicilor se presupune a fi Gaussiană:

$$P(x_i | C_i) = \frac{1}{\sqrt{2\pi\sigma_{C_i}^2}} \exp\left(-\frac{x_i - \mu_{C_i}}{2\sigma_{C_i}^2}\right)$$

Parametrii  $\sigma_{C_i}^2$  și  $\mu_{C_i}$  sunt estimați folosind probabilitatea maximă.

În [104] este dată o comparație a algoritmilor Fuzzy Naive Bayes și Gaussian Naive Bayes. Clasificatorii sunt antrenați cu numere diferite de exemple de instruire și numere diferite de atribute. În cele din urmă, autorii constată că abordarea Fuzzy Naive Bayes oferă rezultate foarte promițătoare în domeniul tratat de ei.

Una din versiunile algoritmului clasificatorului Naive Bayes este Bernoulli Naive Bayes [105] ce folosește distribuții cu variabile multiple Bernoulli. Regula de decizie se bazează pe :

$$P(x_i | C_i) = P(i | C_i)x_i + (1 - P(i | C_i))(1 - x_i)$$

care diferă de la regula multinomială Naive Bayes prin faptul că penalizează în mod explicit lipsa caracteristicii  $i$  care este un indicator pentru clasa  $C_i$ .

Importanța clasificatorului Naive Bayes este bine argumentată în [106]. Autorii lucrării testează diverse combinații ale clasificatorului cu alte tehnici pentru a îmbunătăți acuratețea rezultatelor. Concluzia lor este că tehnica Naive Bayes oferă o precizie de clasificare superioară

atunci când e completată cu alte tehnici, de exemplu cu Support Vector Machine au obținut o acuratețe de  $\approx 90\%$ .

#### **1.4 Metode de recunoaștere a formelor și interpretare a imaginilor**

Pentru aplicarea în practică a algoritmilor de recunoaștere am ales *domeniul trierii deșeurilor*. În Republica Moldova nu se respectă sortarea deșeurilor menajere și dacă ar apărea investiții referitor la incinerarea deșeurilor pentru producerea de energie nu ar risca nimeni căci la noi se aruncă și produse toxice, baterii, uleiuri uzate, care trebuie să fie puse în centru de reciclare în recipiente adecvate, deci deșeurile trebuie să fie sortate în prealabil. Se mai poate obține compost din deșeuri organice. Ar fi util și benefic pentru mediu de a găsi o soluție de sortare efectivă a deșeurilor.

Elaborarea „Strategiei naționale de gestionare a deșeurilor pentru perioada 2013-2027”, aprobată prin HG nr. 248 din 10.04.2013 are ca obiectiv gestionarea deșeurilor în R. Moldova care rămâne a fi o problemă dificilă. „Gestionarea deșeurilor în Republica Moldova rămâne a fi o problemă dificilă și nerezolvată „atât din punct de vedere organizatoric cât și legislativ”. Cu toate că domeniul protecției mediului este reglementat de circa 35 de acte legislative și peste 50 de Hotărâri de Guvern, aspectul legal al gestionării deșeurilor lasă mult de dorit, fiind necesară atât restructurarea cadrului legal și instituțional, cât și crearea unui sistem integru de reglementare tehnică și ecologică în domeniile de colectare selectivă pentru reciclarea, valorificarea, eliminarea și depozitarea deșeurilor. [107]”

Pentru implementarea practică s-a ales sistemul existent până la 1 ianuarie 2015 care conține 15 categorii de pericol ale substanțelor și amestecurilor: explozive, oxidanți, extrem de inflamabile, ușor inflamabile, inflamabile, foarte toxice, toxice, nocive, corozive, iritanți, sensibilizatori, cancerigene, mutagene, toxice pentru reproducere, periculoase pentru mediu.

Definițiile pentru diferitele categorii de pericol sunt incluse în Codul Muncii.

Gestionarea necorespunzătoare a deșeurilor afectează grav mediul nu numai prin poluarea locală ci și contribuind la emisiile globale de gaze cu efect de seră.

Se cunoaște sortarea mecanică [108]:

- magnetică: metalele feroase (de ex. oțel) sunt extrase prin simpla magnetizare;
- mașini cu curenți turbionari (Foucault): metalele neferoase, cum ar fi aluminiu, sunt extrase din fluxul de deșeuri;
- platforme vibratoare, rotative, etc.;

- sortare aerulică: deșeurile (toate categoriile) sunt separate prin suflare de aer în funcție de greutatea și densitatea lor.
- alte procese de sortare ce pot fi aplicate, ar fi spectroscopia în infraroșu și detectarea cu raze X pentru plastic, e posibilă chiar și diferențierea tipurilor (PVC, PET, etc.).

Cea mai de încredere sortare în prezent este sortarea manuală. Personalul de sortare poate separa sticle de diferită culoare, hârtie de diferită calitate, deșeuri periculoase etc. Această metodă este costisitoare și trebuie de mărit randamentul de selectare cu ajutorul utilajelor speciale, de aici a apărut ideea de sortare optică prin aplicarea algoritmilor de recunoaștere a imaginilor digitale.

Nu este aplicată până în prezent sortarea prin recunoașterea obiectelor, dar sunt deșeuri care nu sunt colectate corect și ar trebui eliminate de pe banda de sortare: fiole medicale și sticle de parfum (de pe banda cu sticlă); containerele care au conținut pesticide; containerele de uleiuri și vopsele, solvenți; containerele de ulei de motor (de pe banda cu plastic), baterii, containere ce conțin uleiuri alimentare arse sau vechi, ambalaje de hârtie acoperite cu folie de plastic etc. (pe banda de deșeuri alimentare). Aceste deșeuri sunt toxice pentru mediu și sănătate, deci trebuiesc stocate separat. Ar fi bine să poată fi eliminate din grămada de deșeuri pentru reciclare specială.

Scopul este de a investiga și a prezenta rezultatele actuale ale aplicării metodelor de identificare automată și clasificarea substanțelor chimice etichetate.

Utilizarea substanțelor chimice este inevitabilă: îngrășăminte, pesticide, aditivi alimentari, produse farmaceutice, materiale de curățare, aparate, combustibili, etc. Ei ne ajută, dar utilizarea lor ar trebui să fie controlată. Primul pas care duce la utilizarea în siguranță a substanțelor chimice este cunoașterea identității lor, pericolul lor asupra sănătății și mediului inclusiv și mijloacele de a le controla. Nu numai utilizarea, ci și sortarea, depozitarea ambalajelor după utilizare a substanțelor chimice este importantă, deoarece acestea afectează mediul.

Propun spre implementare inspecția vizuală automată a tuturor ambalajelor, este o opțiune fezabilă în prezent și ar reduce la minimum daunele produselor chimice asupra mediului și deci asupra sănătății noastre. Sistemele de vedere computerizate permit inspecția fără contact direct cu deșeurile (încă un avantaj): o imagine a ambalajului este obținută și stocată în format digital [109].

### 1.4.1 Algoritmi de detecție a punctelor de interes SIFT și ASIFT

1) *Scale-Invariant Feature Transform (SIFT)*. O aplicație tipică de potrivire bazată pe puncte de interes are următoarele etape : în primul rând, un set de puncte de interes sunt detectate pe ambele imagini. De multe ori se ajunge la un număr mare: sute sau chiar mii (depinde de complexitatea obiectelor din imagine). Punctele de interes (keypoints) trebuie să fie invariante la scalare, rotire, schimbarea punctului (unghiului) de vedere și la unele modificări în iluminare. După aplicarea algoritmului de potrivire se stabilesc corespondențele.

David G. Lowe [110] afirmă că SIFT este “o metodă de extragere a caracteristicilor distinctive invariante din imagini care pot fi utilizate pentru a efectua o potrivire sigură între puncte de vedere diferite ale unui obiect sau scenă. Caracteristicile sunt invariante la scalarea și rotirea imaginii, și sunt afișate pentru a oferi o potrivire robustă pentru o gamă substanțială de modificări: distorsiune afină, schimbare punct de vedere 3D, adăugare de zgomot, și schimbare în iluminare.”

Autorul propune utilizarea acestor caracteristici pentru recunoașterea obiectelor. Recunoașterea prin potrivirea caracteristicilor individuale dintr-o bază de date de caracteristici ale obiectelor cunoscute include implementarea unui algoritm complex – utilizarea inițială a principiului – cel mai apropiat vecin, urmat de transformata Hough pentru a identifica grupuri care aparțin unui singur obiect, și în cele din urmă verificarea soluției prin intermediul celor mai mici pătrate pentru reprezentarea parametrilor consistenți. Această abordare a recunoașterii poate identifica obiecte aproape în timp real.

Mikotajczyk și Schmid au evaluat o varietate de abordări și au identificat algoritmul SIFT [110] ca fiind cel mai rezistent la deformări comune de imagine. Fiind stabil la detectarea și reprezentarea trăsăturilor locale, SIFT este o componentă fundamentală a multor înregistrări de imagini și algoritmi de recunoaștere a obiectelor.



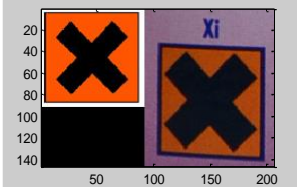
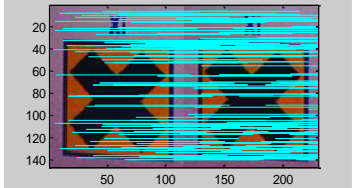
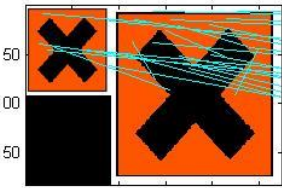
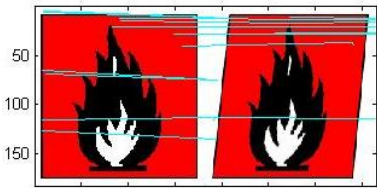
Algoritmul citește două imagini, determină caracteristicile lor locale și afișează linii de corespondență între punctele de interes comune. O potrivire este acceptată numai în cazul în care distanța sa este mai mică de  $\text{distRatio}$  ( $\text{distRatio} = 0,6$ ;) Se returnează numărul de potriviri afișate.

Algoritmul dezvoltat de D. Lowe [111] dă rezultate relativ bune numai atunci când este scanat simbolul de pericol, nu și eticheta produsului în întregime. Analizând rezultatele prezentate mai jos se poate constata că algoritmul e sensibil la scalare, intensitate și nu e așa de robust la rotire, distorsiune după cum susține autorul. Încă un dezavantaj e că contează care imagine e șablon, obținându-se rezultate diferite dacă se schimbă ordinea celor două imagini.



2) *Affine SIFT*. Combinând simularea și normalizarea metodei SIFT funcționează mai bine decât alte metode. În timp ce SIFT este invariant la scalare, rotație și translație, metoda ASIFT își propune să trateze și unghiurile ce definesc orientarea axei camerei. Astfel metoda permite identificarea în mod fiabil a caracteristicilor care au fost supuse distorsiunilor affine foarte mari măsurate de un nou parametru, înclinarea de tranziție [112].

Tabel 1.4 Exemple de potrivire a punctelor de interes aplicând SIFT

<p>Finding keypoints... 155 keypoints found. Finding keypoints... 9564 keypoints found. <u>Found 0 matches.</u></p>	<p>Finding keypoints... 380 keypoints found. Finding keypoints... 9564 keypoints found. <u>Found 0 matches.</u></p>	<p>Finding keypoints... 155 keypoints found. Finding keypoints... 380 keypoints found. <u>Found 0 matches.</u></p>
		
<p>Finding keypoints... 380 keypoints found. Finding keypoints... 380 keypoints found. <u>Found 380 matches.</u></p>	<p>Finding keypoints... 155 keypoints found. Finding keypoints... 230 keypoints found. <u>Found 30 matches.</u></p>	<p>Finding keypoints... 232 keypoints found. Finding keypoints... 167 keypoints found. <u>Found 27 matches.</u></p>
		

*Exemplul 1* de implementare a algoritmului ASIFT:

Computing keypoints on the two images...  
3636 ASIFT keypoints are detected.  
15127 ASIFT keypoints are detected.  
Keypoints computation accomplished in 5 seconds.  
Matching the keypoints...  
The two images match! **17 matchings are identified.**  $\log(nfa)=-10.2588$ .



Fig. 1.9. Exemplu de aplicare a algoritmului ASIFT [113] cu răspuns pozitiv

*Exemplul 2 de implementare a algoritmului ASIFT:*

Computing keypoints on the two images...  
 5460 ASIFT keypoints are detected.  
 29476 ASIFT keypoints are detected.  
 Keypoints computation accomplished in 5 seconds.  
 Matching the keypoints...  
**The two images do not match.** The matching is not significant:  $\log(nfa)=0.184707$ .  
 Keypoints matching accomplished in 0 seconds.



Fig. 1.10. Exemplu de aplicare a algoritmului ASIFT [113] cu răspuns negativ

În unele cazuri SIFT eșuează în timp ce ASIFT oferă rezultate mai bune, așa cum putem vedea în exemplele de mai sus.

ASIFT are și dezavantaje, rezultatele nu sunt stabile, după cum se poate vedea din Fig.1.11 contează care imagine este șablon și care referință.

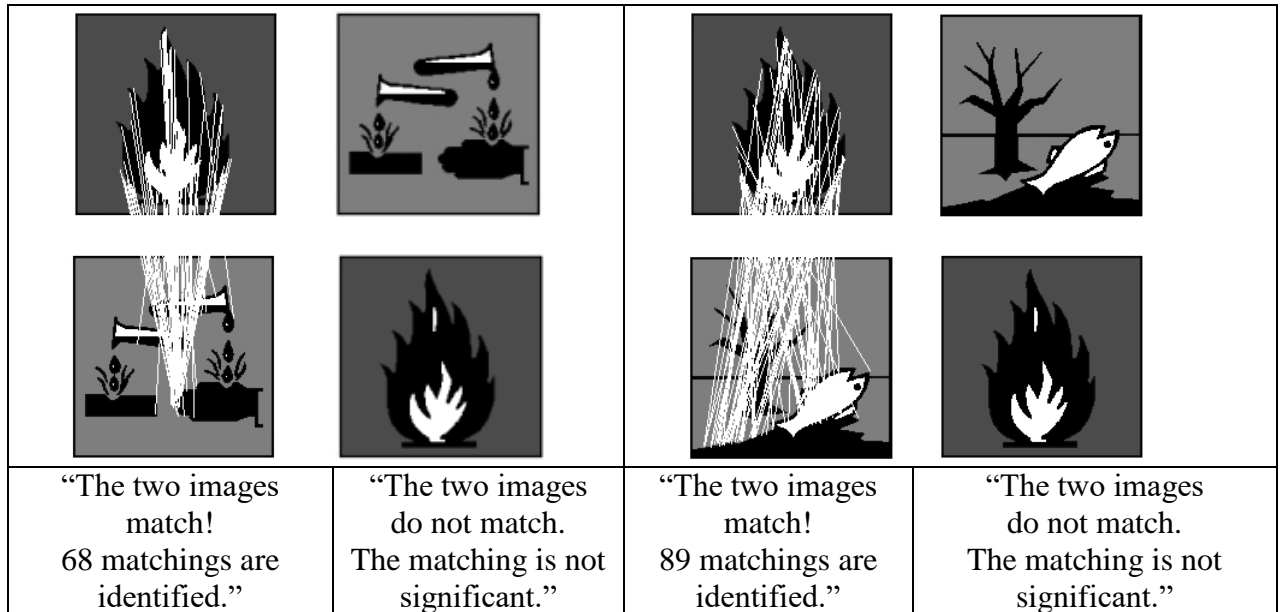


Fig.1.11. Determinarea imaginilor similare prin aplicarea algoritmului ASIFT

#### 1.4.2 Rețele neuronale artificiale

Primele încercări de modelare a creierului datează din 1943, McCulloch (neurofiziolog) și Pitts (specialist în logica-matematică) au propus primele noțiuni de neuron artificial. Primul model operațional al unei rețele neuronale artificiale (RNA) cu scopul de a imita funcția retinei și a simula recunoașterea obiectelor a fost elaborat de Rosenblatt în 1958 și conținea un strat de intrare (informația de prelucrat) și unul de ieșire (rezultatul prelucrării).

Neuronul artificial este elementul de bază al unei rețele neuronale artificiale. Funcționarea lui poate fi modelată astfel [114]:

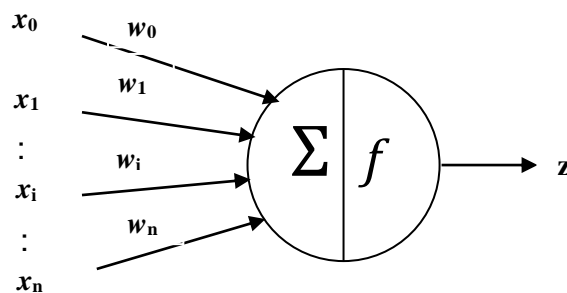


Fig. 1.12. Reprezentarea unui neuron artificial

Valorile de intrare  $x_0, x_1, \dots, x_i, \dots, x_n$  reprezintă conexiunile neuronului. Ponderea sinaptică atribuită fiecărei conexiuni măsoară importanță relativă: ponderea este proporțională cu indicele de importanță a conexiunii. Neuronul descris mai sus are o ieșire cu valoarea  $y = x_0w_0 + x_1w_1 + \dots + x_iw_i + \dots + x_nw_n$ , iar  $z$  în figura de mai sus reprezintă rezultatul funcției de activare a neuronului  $z = f(y)$ .

Dacă ponderea  $w_i$  este o valoare pozitivă, atunci are loc o acțiune excitatoare, dacă este negativă – inhibitoare.

Funcția de activare reprezintă funcția de transfer intrare-ieșire a neuronului. Ea poate fi de tipul:

- liniară (de identitate)  $f(x) = \alpha x$ ;
- binară (0 sau 1)  $f(x) = \begin{cases} 1, & x > 0 \\ 0, & x \leq 0 \end{cases}$ ;
- funcție cu prag  $f(x) = \begin{cases} \alpha, & x \geq \theta \\ \beta, & x < \theta \end{cases}$ ;
- rampă  $f(x) = \begin{cases} 1, & x \geq 1 \\ x, & |x| < 1 \\ -1, & x \leq -1 \end{cases}$ ;
- sigmoidă  $f(x) = 1/(1 + e^{-\beta x})$ ;
- funcție Gaussiană  $f(x) = \sqrt{\frac{1}{2\pi\sigma^2}} e^{-\frac{x-\mu}{2\sigma^2}}$ ,  $\sigma > 0$ , unde  $\mu$  reprezintă media, iar  $\sigma$  dispersia.

Perceptronul (Fig. 1.13) presupune un strat de intrare constituit din  $n$  neuroni elementari a căror funcție de activare este liniară și un strat de ieșire constituit din unul sau mai mulți neuroni a căror funcție de activare poate fi totul sau nimic (0 sau 1).

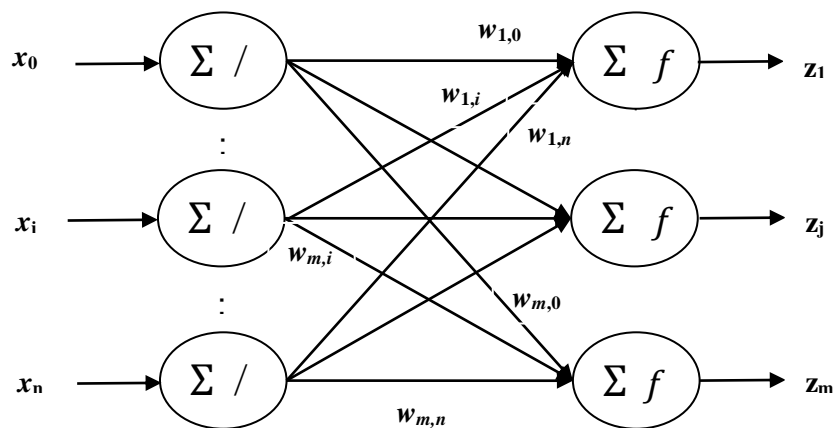


Fig. 1.13 Structura unui perceptron [114]

O rețea neuronală este asocierea sub forma unui graf a neuronilor artificiali. Rețelele se disting prin: arhitectura lor (organizarea lor în graf - monostrat, în straturi ș.a.), nivelul de complexitate (număr de neuroni, prezența sau nu a buclelor de reacție în rețea), tipurile de

neuroni (funcțiile lor de tranziție sau de activare) și obiectivul lor: de învățare asistată sau nu, de optimizare sau sisteme dinamice.

Haykin S. [115] descrie rețeaua neuronală ca un procesor masiv distribuit paralel elaborat din unități de procesare simple, care are tendința naturală de a stoca cunoștințele experimentale și a le face valabile pentru utilizare. Autorul consideră că RNA se aseamănă cu creierul în două aspecte: 1) RNA achiziționează cunoștințe din mediul exterior prin intermediul procesului de studiu și 2) Conexiunile inter-neuronale, cunoscute ca ponderi sinaptice, sunt utilizate la stocarea cunoștințelor.

După sensul în care informația parcurge rețeaua se cunosc rețele neuronale *feed-forward* (într-o singură direcție) și rețele *feed-back* (cu reacție). Rețeaua care conține cel puțin o conexiune de feed-back se numește rețea neuronală recurentă (RNR), activările ei sunt incluse în buclă. Arhitectura RNR poate avea mai multe forme. Cea mai comună formă constă dintr-un standard de Multi-Layer Perceptron (MLP), plus bucle adăugate.

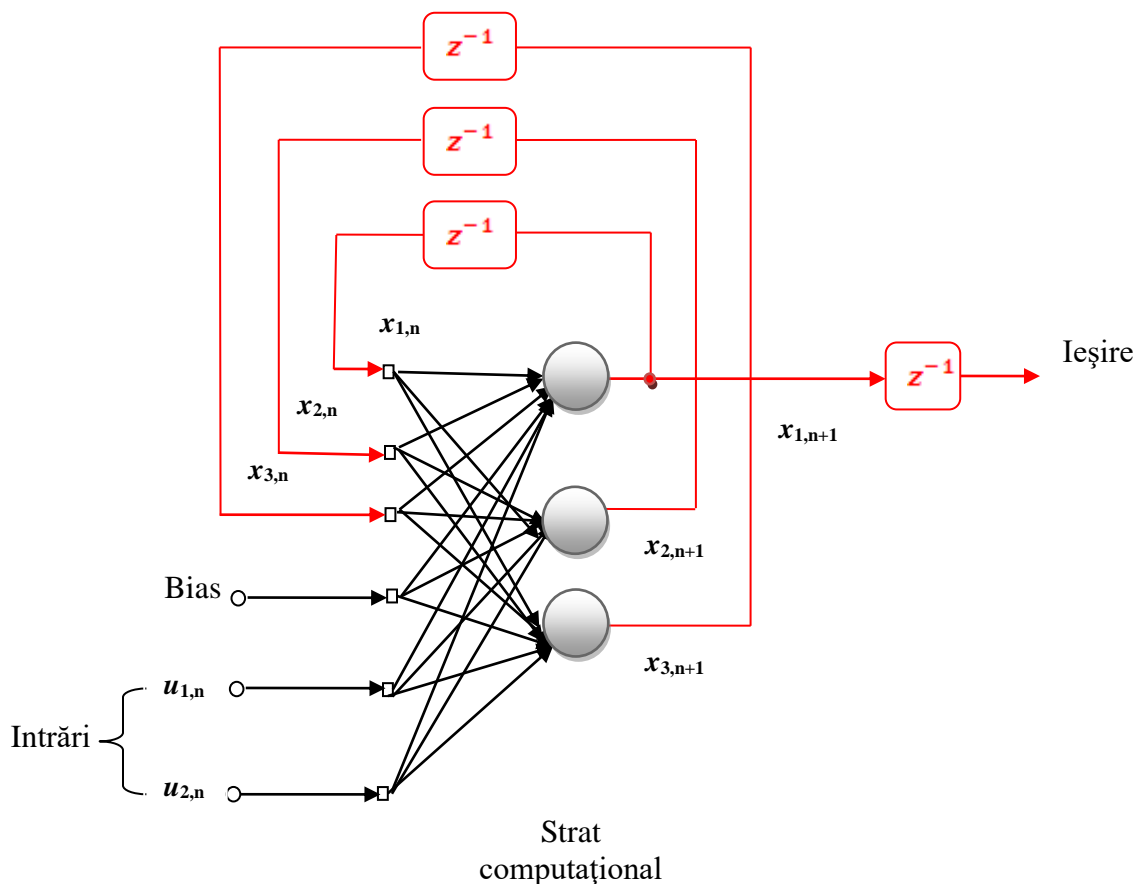


Fig.1.14. Rețea recurentă cu două intrări, doi neuroni ascunși, și un neuron de ieșire. Conexiunile de feedback sunt afișate în roșu pentru a sublinia rolul lor la nivel global.

Învățarea presupune codificarea informației astfel încât sistemul să poată „percepe” datele. În cazul rețelelor neuronale, învățarea înseamnă modificarea ponderilor conexiunilor dintre neuronii rețelei prin analiza statistică a vectorilor de intrare în scopul clasificării informației. Instruirea rețelelor neuronale reprezintă un proces iterativ și se realizează prin tehnici de învățare supervizată, sau automată.

Algoritmul de instruire include următorii pași :

1. inițializarea ponderilor;
2. calcularea rezultatului la ieșire;
3. calcularea corecției  $\Delta w$  cu care se modifică fiecare pondere;
4. modificarea ponderilor;
5. se revine la pasul 2 – recalcularea ieșirilor – cât modificările ponderilor sunt semnificative.

În procesul de învățare supervizată, rezultatele corecte (adică valorile care rețeaua ar trebui să le obțină la ieșire) sunt furnizate rețelei, astfel încât să poată fi ajustate ponderile pentru obținerea lor. După instruire, rețeaua este testată doar pe valori de intrare, fără rezultatele dorite, observând astfel dacă rezultatul la ieșire este corect sau nu.

În procesul de învățare nesupravegheată, nu oferim rețelei valorile pe care rețeaua ar trebui să le obțină la ieșire. Rețeaua evoluează în mod liber până se stabilizează.

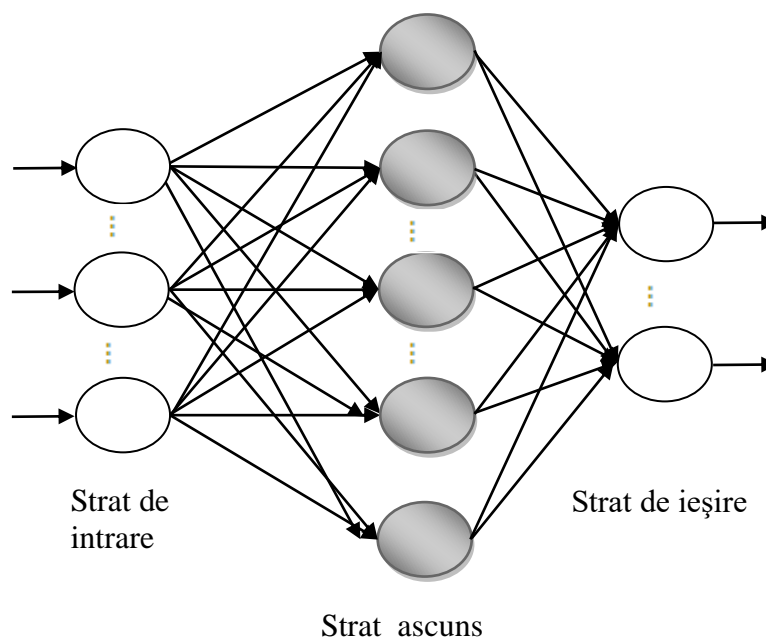


Fig. 1.15. Arhitectura unei rețele neuronale multistrat

RNA acționează ca un separator neliniar și poate fi utilizată pentru clasificare, prelucrare de imaginii sau suport decizional. Principala deosebire a rețelelor neuronale față de alte sisteme de prelucrarea a informațiilor este capacitatea de învățare în urma interacțiunii cu mediul.

### 1.4.3 Sistem cu logica fuzzy

Logica fuzzy este destinată prelucrării datelor incerte. Spre deosebire de logica binară ( $f:R \rightarrow \{0,1\}$ ) logica fuzzy permite unui element/obiect să facă parte din mai multe mulțimi/clase cu diferite grade de apartenență, 1 reprezentând apartenența totală și 0 reprezentând neapartenența obiectului la o anumită clasă.

Primul pas în elaborarea unui sistem fuzzy (SF) este transformarea valorilor lingvistice (de ex. mare, mediu, mic) în valori numerice – etapă numită *fuzzificare*. Apoi se stabilesc regulile care sunt exprimate prin propoziții de forma DACĂ ... ȘI/SAU ... ATUNCI ... . *Motorul de inferență* aplică seturile de reguli pentru a obține soluția căutată. Transformarea reciprocă din seturi fuzzy în valori numerice este numită *defuzzificare*.

Schema unui SF este reprezentată în figura 1.16.

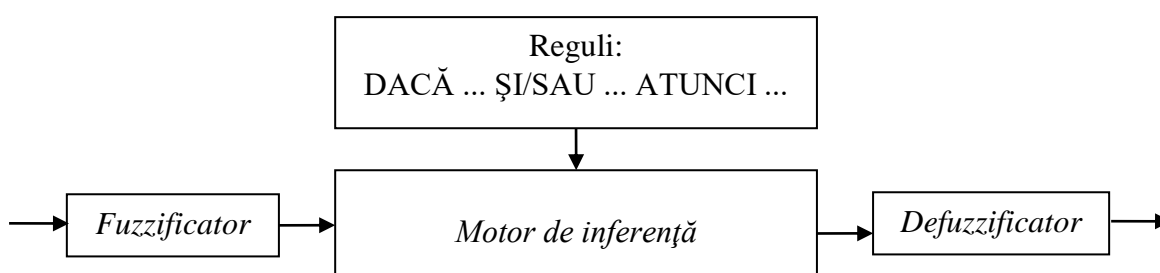


Figura 1.16 Sistem bazat pe logica Fuzzy

Un exemplu de set de reguli este reprezentat în figura 1.17. Se observă că regulile din acest set au diferite ponderi. O descriere mai detaliată a unui sistem de sortare forme bazat pe reguli fuzzy este descris în capitolul 3.

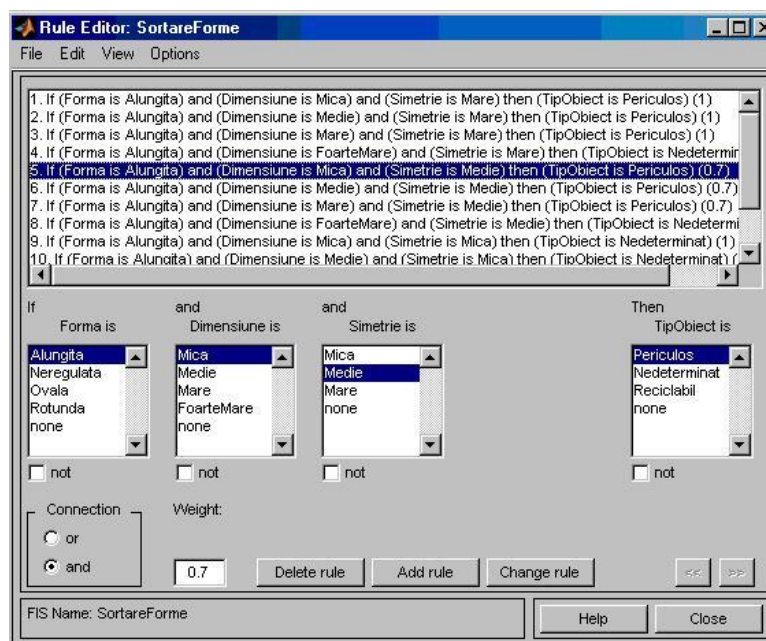


Fig. 1.17. Set de reguli pentru clasificare forme

## 1.5 Indici de performanță în aprecierea metodelor de recunoaștere forme și de clasificare

Pentru a evalua performanța algoritmilor de clasificare au fost definite următoarele noțiuni și formule [<http://www.cs.rpi.edu/~leen/misc-publications/SomeStatDefs.html#Power>]:

1. Adevărat Pozitiv (True Positive - TP) – numărul de obiecte din clasa de interes prezise ca fiind din clasa dată.
2. Adevărat Negativ (True Negative - TN) – numărul de obiecte din altă clasă prezise ca fiind din altă clasă decât cea de interes.
3. Fals Pozitiv (False Positive - FP) – numărul de obiecte din clasa de interes prezise ca fiind din altă clasă decât cea de interes.
4. Fals Negativ (False Negative - FN) – numărul de obiecte din altă clasă prezise ca fiind din clasa de interes.

Rata Adevărat Pozitiv (True Positive Rate - TPR) – proporția de date din clasa de interes care sunt etichetate drept clasa de interes și de către clasificator  $TPR=TP/(TP+FN)$ . TPR mai poartă numele de *sensitivity* (sau *recall*).

5. Rata Fals Pozitiv (False Positive Rate - FPR)– proporția de date care nu aparțin clasei de interes dar care sunt etichetate drept această clasă  $FPR=FP/(FP+TN)$ .

Rata Adevărat Negativ (True Negative Rate - TNR) – proporția de date din altă clasă decât cea de interes care sunt etichetate drept altă clasă și de către clasificator  $TNR=TN/(TN+FP)$ . TNR se mai numește și *specificity*.



6. Rata Fals Negativ (False Negative Rate - FNR) – proporția de date din altă clasă decât cea de interes care sunt etichetate drept clasa de interes  $FNR=FN/(FN+TP)$ .

Tabelul 1.5 Matricea de confuzie

		Clasa prezisă	
		Clasa=1	Clasa=0
Clasa reală	Clasa=1	True Positive (TP or $n_{11}$ )	False Negative (FN or $n_{01}$ )
	Clasa=0	False Positive (FP or $n_{10}$ )	True Negative ( $n_{00}$ )

**Note:**  $n_{ij}$  este numărul de obiecte din clasa  $i$  prezise ca fiind din clasa  $j$ .

Numărul total de **predicții corecte** este  $n_{11} + n_{00} = \text{True Positive} + \text{True Negative}$ .

Numărul total de **predicții incorecte** este  $n_{01} + n_{10} = \text{False Positive} + \text{False Negative}$ .

Pentru  $k$  clase se obține o matrice de  $k \times k$ , clasa de interes este numită pozitivă.

Pe baza matricii de confuzie se pot determina unele metrice de performanță:

- **Acuratețea**

$$\text{Acuratetea} = \frac{\text{Numarul de predicții corecte}}{\text{Numarul total de predicții}} = \frac{n_{11} + n_{00}}{n_{11} + n_{10} + n_{01} + n_{00}}$$

- **Rata de eroare** reprezintă diferență dintre numărul total de predicții și acuratețe:

$1 - \text{Acuratetea}$  :

$$\text{Rata de eroare} = \frac{\text{Numarul de predicții incorecte}}{\text{Numarul total de predicții}} = \frac{n_{10} + n_{01}}{n_{11} + n_{10} + n_{01} + n_{00}}$$

- **Precizia**

$$P = \frac{\text{True Positive}}{\text{True Positive} + \text{False Positive}} = \frac{n_{11}}{n_{11} + n_{01}}$$

- **Recall**

$$R = \frac{\text{True Positive}}{\text{True Positive} + \text{False Negative}} = \frac{n_{11}}{n_{11} + n_{10}}$$

- **F-score**

$$F - \text{score} = \frac{2 * P * R}{P + R}$$

La evaluarea acurateței clasificării (Capitolul 3) a fost calculată acuratețea algoritmului, rata de eroare, precizia, recall și Fscore.

La evaluarea segmentării (Capitolul 2) s-au folosit alți indici: criteriul de uniformitate, criteriul definit de Borsotti, metoda de evaluare bazată pe entropie ș.a.

## **1.6 Concluzii la capitolul 1**

Datorită multitudinii tipurilor de imagini (naturale, prin satelit, medicale) și a factorilor (iluminare neuniformă, zgomot) ce pot influența reprezentarea obiectelor în scenă nu a fost elaborată încă o metodă unică de recunoaștere a conținutului (obiectelor/formelor) care să permită obținerea rezultatelor satisfăcătoare pentru orice tip de imagine.

Etapa de preprocesare are ca scop îmbunătățirea calității imaginilor: mărirea contrastului, eliminarea zgomotului, dar se preferă captarea calitativă a imaginilor (calibrarea camerei, iluminare suficientă etc.) deoarece nici o metodă de preprocesare nu poate reda o parte lipsă a obiectului/formei.

Metoda de extragere și evaluare a caracteristicilor se alege în dependență de tipul imaginii și complexitatea ei (numărul de obiecte reprezentate în imagini, rezoluția, importanța exactității rezultatelor sau acceptarea unei aproximări etc.). Metoda de clasificare depinde de tipul și numărul de caracteristici extrase.

Analiza efectuată în domeniul studiat – procesarea imaginilor – a evidențiat importanța obținerii rezultatelor corecte la fiecare etapă de procesare și criticitatea calității segmentării ca etapă anterioară recunoașterii imaginii și clasificării automate.

## 2. SEGMENTAREA IMAGINILOR FOLOSIND MODELE DE MIXTURI GAUSSIENE ȘI MODELE DE MIXTURI UNIFORME-GAUSSIENE

### 2.1 Descrierea metodelor uzuale de segmentare a imaginilor

Segmentarea reprezintă divizarea imaginii în regiuni uniforme, după un anumit criteriu. Această etapă este importantă în procesarea imaginilor și urmărește, de obicei, extragerea, identificarea sau recunoașterea obiectelor. Regiunile imaginii astfel formate se numesc segmente și ele constituie obiectele separate de fundal.

Performanța segmentării este influențată de calitatea imaginii și de complexitatea scenei. O bună segmentare se obține atunci când obiectele din imagine au contururile bine definite și nu sunt prezente umbre sau reflecții de lumină. Aceste efecte duc la rezultate proaste la segmentarea imaginilor, îndeosebi la cele reprezentate în nivele de gri. Imaginile color au avantajul de a include ca criteriu de segmentare și factorul de culoare.

Separarea unui obiect de fundal poate fi anevoioasă atunci când fundalul însuși reprezintă o scenă complexă, adică pot fi contopite/confundate obiectele din prim-plan cu cele din fundal. Sunt cazuri când în scenă unele obiecte acoperă parțial alte obiecte. O persoană poate să spună cert, de exemplu, că în scenă este o fructieră în care se găsesc mere, pere, banane chiar dacă fructele sunt suprapuse și se vede parțial o banană. Pentru un algoritm de detectare a formelor cazul dat este dificil.

În dependență de calitatea imaginii și complexitatea ei se alege un anumit algoritm de segmentare. Ar putea fi nevoie în prealabil de o îmbunătățire a calității pentru a obține un contrast mai mare și o accentuare mai bună a conturilor și doar apoi de aplicat algoritmul de segmentare.

În literatura de specialitate găsim multe tipuri de tehnici de segmentare a imaginilor color (sau nivele de gri), care pot fi grupate în patru categorii principale:

1. Segmentare bazată pe pixel – o regiune este definită ca un set de pixeli ce au aproximativ aceeași intensitate luminoasă/culoare.
  - tehnici bazate pe histogramă [116-118];
  - tehnici de clusterizare [119];
  - tehnici fuzzy de clusterizare [120-122].
2. Segmentare bazată pe regiuni. Metodele de detectare a regiunilor folosesc similitudinea și proximitatea spațială între pixeli pentru determinarea regiunilor. Se cunosc:

- tehnici de creștere a regiunilor, se alege poziția unui pixel și se caută în cele 8 direcții dacă pixelii vecini corespund unui criteriu de similaritate, formând astfel regiuni omogene [123, 124];
  - algoritmi de dividere și fuziune a regiunilor (Splitting and Merging) [125]. Scopul este de a împărți imaginea în regiuni, fiecare dintre care este omogenă în un anumit sens, dar unirea a două regiuni adiacente nu mai este omogenă în același sens.
3. Segmentare bazată pe contur [126, 127] – cazul în care o regiune este definită ca un set de pixeli, delimitate de un contur de culoare. Pentru determinarea conturilor este importantă rata de variație a nivelelor de gri (a valorilor pixelilor de culoare).
  4. Tehnici hibride de segmentare [128-130] – îmbunătățesc rezultatele de segmentare prin completarea și/sau combinarea metodelor de mai sus.

Mai sunt întâlnite în literatură și alte tehnici, precum cele bazate pe grafuri [131] – algoritmi speciali ce au fost adaptați pentru segmentare, tehnici ce utilizează rețele neuronale [132], modele Markov, domeniul wavelet, algoritmi bazați pe textură, culoare și altele.

Aplicarea unei metode sau alta depinde de natura imaginii: mod de captare, rezoluție, iluminare, nivelul zgomotului, tipul informației utile conținute (obiecte uniform colorate sau texturi, text, etc.) și evident de scopul segmentării: localizare obiect, recunoaștere forme, interpretare, control calitate, diagnosticare etc. Caracteristicile ce trebuie extrase influențează și ele alegerea unei metode de segmentare: contururi, regiuni, forme, texturi etc.

O iluminare neuniformă afectează negativ rezultatele segmentării, îndeosebi la metodele bazate pe histogramă. De asemenea și prezența zgomotului *sare și piper* afectează negativ rezultatele segmentării și sunt necesare unele preprocesări înainte de a aplica metodele de segmentare.

Pentru imagini gri este indicată utilizarea metodelor de segmentare bazate pe histogramă, pentru cele color – cele orientate pe regiuni. Metoda de detectare a conturilor poate fi implementată atât pentru imagini pe nivele de gri, cât și color.

### **2.1.1 Metode de segmentare bazate pe clasificarea pixelilor**

În literatură se întâlnesc mai multe clasificări ale metodelor de segmentare. În urma unei ample analize a articolelor din domeniu și ținând cont de principiu de bază al algoritmului implementat am decis următoarea grupare a metodelor de segmentare:

- bazate pe clasificarea pixelilor;
- de detectare a conturilor;

– bazate pe regiuni ș.a.

### 2.1.1.1 Metode bazate pe histogramă

Tehnicile de segmentare bazate pe histogramă au ca principiu de bază calcularea frecvenței de apariție a valorilor pixelilor ce formează imaginea. Aceste tehnici sunt bazate pe prăguirea (“tresholding”) histogramelor și sunt eficiente atunci când există o separare relativ clară a valorilor între obiectele analizate, astfel încât un interval dat de culoare să reprezinte o clasă unică de obiecte.

Metoda de tresholding constă în alegerea unui  $N$  număr de praguri:  $Th_1, Th_2, \dots, Th_N$  și crearea unei imagini de etichete, pe baza imaginii inițiale, astfel:

```
if  $g(i,j) < Th_1$   
  then  $g(i,j) \in \text{segment}_1$   
if  $g(i,j) \geq Th_1 \ \&\& \ g(i,j) \leq Th_2$   
  then  $g(i,j) \in \text{segment}_2$   
...  
if  $g(i,j) > Th_{N-1} \ \&\& \ g(i,j) \leq Th_N$   
  then  $g(i,j) \in \text{segment}_{N-1}$   
if  $g(i,j) > Th_N$   
  then  $g(i,j) \in \text{segment}_N$ 
```

unde  $g(i,j)$  – valoarea unui pixel,  $\text{segment}_1 - \text{segment}_{N-1}$  – obiectele din imagine.

În general, *pragurile* sunt bine selectate în cazul în care vârfurile histogramei sunt înalte, înguste, simetrice, și separate de văi adânci.

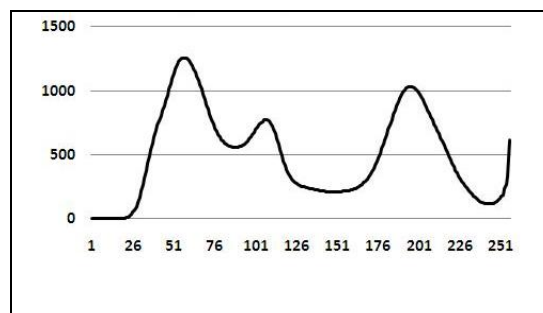


Fig. 2.1. Histograma netezită a imaginii butterfly [133]

Pe această histogramă se observă 3 vârfuri bine determinate, prin urmare avem 2 praguri. Prin metoda Otsu descrisă mai jos am obținut  $Th_1=69$  și  $Th_2=141$ .

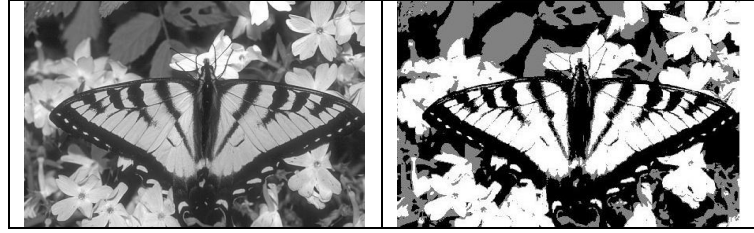


Fig. 2.2. Imaginea originală *butterfly* și imaginea segmentată (3 segmente)

Una din metodele de referință a metodelor de segmentare bazate pe histogramă este **metoda Otsu**. Această metodă are ca scop minimizarea variației în interiorul claselor. Implicit, metoda este creată pentru binarizarea imaginii, deci obținerea a două clase (obiect și fundal), dar poate fi adaptată și la obținerea mai multor clase.

Regiunile cu o omogenitate înaltă au o variație joasă. Pentru fiecare prag  $t$  (de la 1 la 255) se calculează:

$$\sigma_w^2(t) = q_1(t)\sigma_1^2(t) + q_2(t)\sigma_2^2(t),$$

unde  $t$  – pragul determinat, iar  $\sigma_i^2$  - variația claselor respective,  $\sigma_w^2(t)$  - suma variațiilor claselor (within-class variance) ;

$q_1(t)$  și  $q_2(t)$  sunt probabilitățile celor două clase separate de pragul  $t$  și se determină ca suma probabilităților ca pixelii unei clase să fie de o anumită intensitate (nivel de gri) pe intervalul indicat (de la 1 la  $t$  pentru prima clasă și de la  $t$  până la intensitatea maximă – pentru a doua):

$$q_1(t) = \sum_{i=1}^t P(i) \text{ și } q_2(t) = \sum_{i=t+1}^I P(i),$$

Mediile claselor (fundal și respectiv obiect) se calculează:

$$\mu_1(t) = \frac{\sum_{i=1}^t iP(i)}{q_1(t)} \text{ și } \mu_2(t) = \frac{\sum_{i=t+1}^I iP(i)}{q_2(t)}.$$

Variația claselor:

$$\sigma_1^2(t) = \sum_{i=1}^t [i - \mu_1(t)]^2 \frac{P(i)}{q_1(t)} \text{ și } \sigma_2^2(t) = \sum_{i=t+1}^I [i - \mu_2(t)]^2 \frac{P(i)}{q_2(t)}.$$

Variația imaginii este:

$$\sigma^2 = \sum_{i=1}^I [i - \mu]^2 P(i).$$

Se poate de demonstrat că variația imaginii poate fi calculată și astfel :

$$\sigma^2 = q_1(t)\sigma_1^2(t) + q_2(t)\sigma_2^2(t) + q_1(t)(\mu_1(t) - \mu)^2 + q_2(t)(\mu_2(t) - \mu)^2 = \sigma_w^2(t) + \sigma_b^2(t)$$

unde  $\sigma_b^2(t)$ - variația între clase (between-class variance). Deoarece variația imaginii  $\sigma$  nu depinde de pragul  $t$ , putem concluda că în cazul când  $\sigma_w^2(t)$  este minim atunci  $\sigma_b^2(t)$  este maxim. Pragul  $t$  este calculat pe intervalul 1-255, suma minimă  $\sigma_w^2(t)$  și respectiv  $\sigma_b^2(t)$  maxim corespunde pragului optimal.

Regiunile cu intensitate uniformă sunt reprezentate în histogramă cu vârfuri foarte ascuțite, bine definite. Segmentarea cu mai mult de un prag e mai dificilă, dar posibilă. De exemplu se aleg 2 praguri, atunci se determină 3 regiuni cu o variație de intensitate mică. O implementare a metodei Otsu este disponibilă la adresa

<http://www.mathworks.com/matlabcentral/fileexchange/26532-image-segmentation-using-otsu-thresholding/content/otsu.m>.

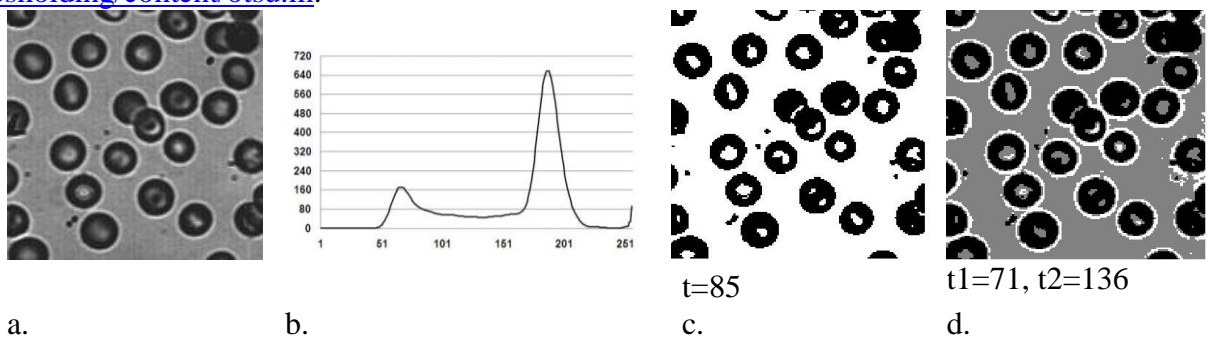


Figura 2.3 a) Imaginea test *blood cells* [134]; b) histograma netezită; c) imaginea binarizată (segmentată cu un prag); d) imaginea segmentată cu 2 praguri (3 segmente)

Multe din metodele bazate pe histogramă propuse în literatura de specialitate se referă la binarizarea imaginii, adică determinarea unui singur prag. Evident că pentru imaginile ce conțin mai multe obiecte aceste metode nu sunt eficiente, e necesară separarea imaginii în atâtea segmente câte obiecte sunt în imagine, deci a  $n$  praguri. N. Papamarkos and B. Gatos în lucrarea "A new approach for multithreshold selection" (1994) [135] au propus un algoritm ce efectuează segmentarea cu mai multe praguri (Multithresholding). Metoda propusă determină vârfurile pe histogramă (valorile maxime), apoi găsește valorile minime ce se află între 2 maxime.

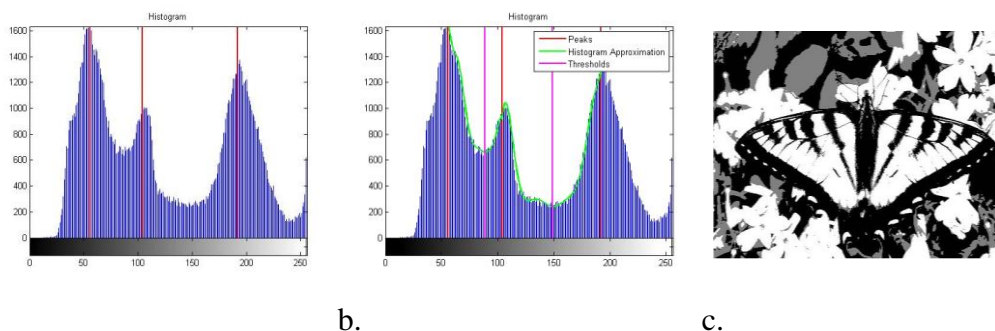


Fig. 2.4 a) determinarea maximelor pe histogramă; b) determinarea pragurilor; c) imaginea segmentată

La o iluminare neuniformă vârfurile pe histogramă nu mai sunt ascuțite și ar putea să nu fie separate prin „văi”, ar putea să arate ca în figura de mai jos.

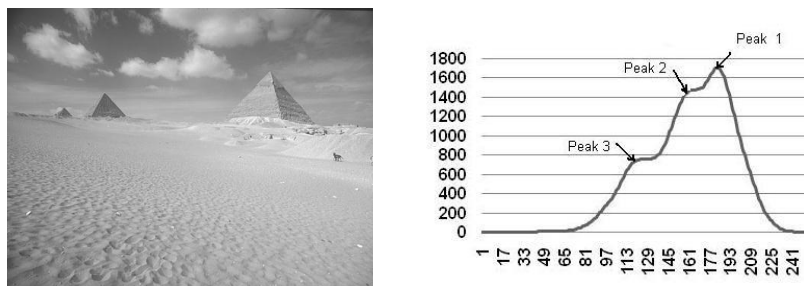


Fig. 2.5. Imaginea test #260058 [136] și histograma netezită corespunzătoare

Observăm în Fig. 2.5 că histograma conține 3 gaussiene, iar un algoritm de segmentare bazat pe prăguire ar putea detecta doar una singură (vârfurile nu sunt ascuțite, iar „văile” lipsesc).

În aceste cazuri e recomandat un model de mixturi gaussiene (GMM). Acest model este descris detaliat de D. Reynolds and C. Rose în lucrarea “Robust Text-Independent Speaker Identification Using Gaussian Mixture Speaker Models” [137]. În lucrarea dată autorii se referă la modelul destinat semnalelor acustice. Modelul a fost preluat și implementat apoi pentru segmentarea imaginilor, de exemplu [138-140].

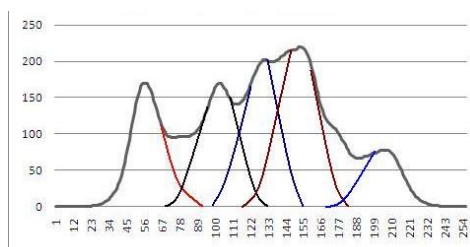


Fig. 2.6. Model de Mixturi Gaussiene (5 Gaussiene)

Un **model de mixturi gaussiene** [141] este o funcție a densității de probabilitate reprezentată ca o sumă ponderată de  $M$  componente cu densități gaussiene și poate fi scris:

$$p(x|\lambda) = \sum_i^M w_i g(x|\mu_i, \Sigma_i)$$

unde  $x$  – vector aleator cu dimensiune  $D$ ,  $w_i$ ,  $i=1, \dots, M$  – ponderile mixturii și  $g(x|\mu_i, \Sigma_i)$  – densitățile componentelor.

Densitățile componentelor sunt funcții  $D$ -variate și pot fi exprimate astfel:



$$g(x | \mu_i, \Sigma_i) = \frac{1}{(2\pi)^{D/2} |\Sigma_i|^{1/2}} \exp\left\{-\frac{1}{2}(x - \mu_i)' (\Sigma_i)^{-1} (x - \mu_i)\right\}$$

cu media distribuției  $\mu_i$  și matricea de covarianță  $\Sigma_i$ . Ponderile mixturilor trebuie să satisfacă condiția  $\sum_i^M w_i = 1$ .

Un model de mixturi gaussiene se consideră complet dacă este caracterizat de medii de distribuții, matrice de covarianță și ponderi ale tuturor componentelor. Acest model poate fi exprimat ca o funcție a parametrilor enumerați mai sus:

$$\lambda = \{w_i, \mu_i, \Sigma_i\} \quad i = 1, \dots, M.$$

GMM este slab implementat la segmentarea imaginilor. Z. K. Huang și K. W. Chau [138] au elaborat un algoritm ce poate fi aplicat doar pentru histogramme bimodale. H. Tang et al. [139] consideră că modelul de mixturi Gaussiene, bazat doar pe distribuții de intensitate, este insuficient în cazul în care imaginea e afectată de zgomot. Pentru a rezolva această problemă ei propun un model care include și ponderea de vecinătate (neighborhood weighted Gaussian mixture model). Experimentele efectuate de autori au demonstrat că metoda propusă de ei obține un rezultat mai bun la clasificare și este mai puțin afectată de zgomot.

Completarea algoritmilor clasici (de bază) duce la obținerea unor rezultate mai bune.

### 2.1.1.2 Tehnici de clusterizare

Tehnicile de clusterizare reprezintă proceduri iterative de partiție a unei imagini într-un număr de seturi sau clustere disjuncte. Metodele de clusterizare precum K means, fuzzy C-means (FCM) și versiunile lor completate, îmbunătățite sunt propuse în literatură [122].

Algoritmul FCM și versiunea ameliorată (improved FCM) sunt caracterizate de o flexibilitate mare, pixelii aparțin mai multor clase cu grade de apartenență diferite. Metoda de clusterizare K-means este una din cele mai des aplicate din motivul simplității și eficienței computaționale. Numărul iterațiilor este redus în versiunea îmbunătățită a metodei clasice (improved K-means). Metoda de segmentare *K-means* reprezintă o procedură iterativă de obținere a centrelor claselor pentru un set de date de intrare.

Se urmărește identificarea a K clase în setul de date de intrare (imaginea de segmentat) astfel încât datele din fiecare clasă să fie suficient de similare pe când datele din clase diferite să fie suficient de diferite.

Pașii algoritmului:

1. Numărul de clase se stabilește de la început (k-clase) ;

2. Se inițializează aleatoriu centrele fiecărei clase (k-centroizi) ;
3. În mod iterativ se execută:
  - Atribuirea datelor la clase folosind criteriul distanței minime (distanța Euclidiană);
  - Recalcularea centrelor ca fiind media elementelor asignate fiecărei clase;
4. Se termină procesul atunci când nici o clasă nu se mai modifică.

Matlab are predefinită funcția kmeans, pentru a o apela se scrie:

```
>> I = double(imread('peppers.jpg'));
>> J = reshape(kmeans(I(:,3),3),size(I));
>> imshow(J,[]);
```

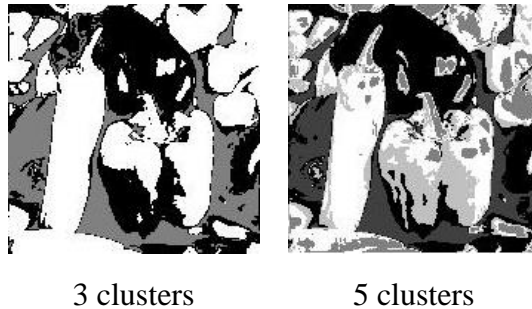


Fig. 2.7. Imaginea segmentată „peppers” [142] segmentată cu algoritmul K-means

unde `kmeans(I(:,3),3)` stabilește numărul de segmente și anume 3.

Clusterizarea este cu succes utilizată la segmentarea, clasificarea imaginilor, datorită simplității algoritmului și rezultatelor satisfăcătoare obținute. O acuratețe la segmentare prin metoda clusterizării se poate obține și cu ajutorul algoritmilor genetici [143].

### 2.1.2 Metode de detectare a conturilor

Conturile (muchiile) sunt frontierele obiectelor din imagine și sunt determinate de adiacența regiunilor uniforme. Pentru caracterizarea conturilor este importantă rata de variație a nivelelor de gri (a valorii pixelilor de culoare).

Fie imaginea  $f$  modelată printr-o funcție continuă de două variabile  $f(x, y)$ . Derivata funcției imagine după o direcție  $r$  oarecare este:

$$\frac{\partial f(x, y)}{\partial r} = \frac{\partial f(x, y)}{\partial x} \frac{\partial x}{\partial r} + \frac{\partial f(x, y)}{\partial y} \frac{\partial y}{\partial r};$$

$$\frac{\partial f(x, y)}{\partial r} = \frac{\partial f(x, y)}{\partial x} \cos \theta + \frac{\partial f(x, y)}{\partial y} \sin \theta;$$

$$\frac{\partial f(x, y)}{\partial r} = \frac{\partial f(x, y)}{\partial x} \frac{\partial x}{\partial r} + \frac{\partial f(x, y)}{\partial y} \frac{\partial y}{\partial r};$$

$$\frac{\partial f(x, y)}{\partial r} = f_x \cos \theta + f_y \sin \theta = F(\theta).$$

Tehnica de extragere a conturilor este bazată pe calculul gradientului imaginii  $f(x, y)$  de-a lungul lui  $r$ , orientat pe direcția  $\theta$ , de aici și numele – tehnica gradientului.

Pentru determinarea conturului este important de determinat direcția  $r$  după care derivata este maximă (pe ce direcție este tranziția cea mai puternică) și valoarea maximă a acestei derivate (cât de semnificativă este tranziția).

Deci direcția de variație maximă a funcției imagine este:

$$\theta_0(x, y) = \arctan \frac{f_x(x, y)}{f_y(x, y)}.$$

iar modulul gradientului pe direcția determinată poate fi calculat după formula:

$$\left( \frac{\partial f(x, y)}{\partial r} \right)_{\max} = \sqrt{f_x^2(x, y) + f_y^2(x, y)}.$$

Algoritmul de detectare a conturilor (tehnica gradient) conține următorii pași de bază:

Pasul 1: Calculul derivatei pe verticală/orizontală pentru fiecare pixel.

Pasul 2: Calculul variației maxime pentru fiecare pixel.

Pasul 3: Dacă variația maximă a unui pixel este suficient de mare, pixelul respectiv este considerat pixel de contur.

Pasul 4: Pentru pixelii de contur se calculează orientarea.

Majoritatea algoritmilor utilizați pentru detectarea marginii/muchiei procesează matricea imagine pe ferestre de  $3 \times 3$ .

P(i-1,j-1)	P(i-1,j)	P(i-1,j+1)
P(i,j-1)	<b>P(i,j)</b>	P(i,j+1)
P(i+1,j-1)	P(i+1,j)	P(i+1,j+1)

Derivarea este liniară, deci se va implementa printr-un filtru linear:

0	0	0
-1	<b>0</b>	1
0	0	0

0	0	0
1	<b>0</b>	-1
0	0	0

0	1	0
0	<b>0</b>	0
0	-1	0

0	-1	0
0	<b>0</b>	0
0	1	0

$W_y$  - derivate pe direcție orizontală

$W_x$  - derivate pe direcție verticală

Un dezavantaj ar fi că derivata amplifică zgomotul, deci ea trebuie să fie precedată de o filtrare de netezire. Această filtrare trebuie să fie orientată pe direcția perpendiculară direcției de derivare.

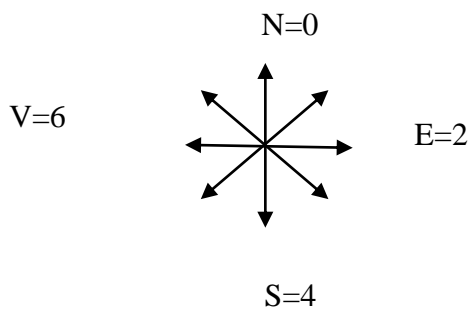
$$\begin{array}{|c|c|c|} \hline 0 & 1 & 0 \\ \hline 0 & \mathbf{c} & 0 \\ \hline 0 & 1 & 0 \\ \hline \end{array} \oplus \begin{array}{|c|c|c|} \hline 0 & 0 & 0 \\ \hline -1 & \mathbf{0} & 1 \\ \hline 0 & 0 & 0 \\ \hline \end{array} = \begin{array}{|c|c|c|} \hline -1 & 0 & 1 \\ \hline -c & \mathbf{0} & c \\ \hline -1 & 0 & 1 \\ \hline \end{array}$$
  

$$\begin{array}{|c|c|c|} \hline 0 & 0 & 0 \\ \hline 1 & \mathbf{c} & 1 \\ \hline 0 & 0 & 0 \\ \hline \end{array} \oplus \begin{array}{|c|c|c|} \hline 0 & -1 & 0 \\ \hline 0 & \mathbf{0} & 0 \\ \hline 0 & 1 & 0 \\ \hline \end{array} = \begin{array}{|c|c|c|} \hline -1 & -c & -1 \\ \hline 0 & \mathbf{0} & 0 \\ \hline 1 & c & 1 \\ \hline \end{array}$$

Valori particulare pentru constante de pondere  $c$ :

	$W_y$	$W_x$																		
$c=1$ gradient <b>Prewitt</b>	<table style="margin: auto;"> <tr><td>-1</td><td>0</td><td>1</td></tr> <tr><td>-1</td><td><b>0</b></td><td>1</td></tr> <tr><td>-1</td><td>0</td><td>1</td></tr> </table>	-1	0	1	-1	<b>0</b>	1	-1	0	1	<table style="margin: auto;"> <tr><td>-1</td><td>-1</td><td>-1</td></tr> <tr><td>0</td><td><b>0</b></td><td>0</td></tr> <tr><td>1</td><td>1</td><td>1</td></tr> </table>	-1	-1	-1	0	<b>0</b>	0	1	1	1
-1	0	1																		
-1	<b>0</b>	1																		
-1	0	1																		
-1	-1	-1																		
0	<b>0</b>	0																		
1	1	1																		
$c = \sqrt{2}$ gradient <b>izotrop</b>	<table style="margin: auto;"> <tr><td>-1</td><td>0</td><td>1</td></tr> <tr><td><math>-\sqrt{2}</math></td><td><b>0</b></td><td><math>\sqrt{2}</math></td></tr> <tr><td>-1</td><td>0</td><td>1</td></tr> </table>	-1	0	1	$-\sqrt{2}$	<b>0</b>	$\sqrt{2}$	-1	0	1	<table style="margin: auto;"> <tr><td>-1</td><td><math>-\sqrt{2}</math></td><td>-1</td></tr> <tr><td>0</td><td><b>0</b></td><td>0</td></tr> <tr><td>1</td><td><math>\sqrt{2}</math></td><td>1</td></tr> </table>	-1	$-\sqrt{2}$	-1	0	<b>0</b>	0	1	$\sqrt{2}$	1
-1	0	1																		
$-\sqrt{2}$	<b>0</b>	$\sqrt{2}$																		
-1	0	1																		
-1	$-\sqrt{2}$	-1																		
0	<b>0</b>	0																		
1	$\sqrt{2}$	1																		
$c=2$ gradient <b>Sobel</b>	<table style="margin: auto;"> <tr><td>-1</td><td>0</td><td>1</td></tr> <tr><td>-2</td><td><b>0</b></td><td>2</td></tr> <tr><td>-1</td><td>0</td><td>1</td></tr> </table>	-1	0	1	-2	<b>0</b>	2	-1	0	1	<table style="margin: auto;"> <tr><td>-1</td><td>-2</td><td>-1</td></tr> <tr><td>0</td><td><b>0</b></td><td>0</td></tr> <tr><td>1</td><td>2</td><td>1</td></tr> </table>	-1	-2	-1	0	<b>0</b>	0	1	2	1
-1	0	1																		
-2	<b>0</b>	2																		
-1	0	1																		
-1	-2	-1																		
0	<b>0</b>	0																		
1	2	1																		

Pornind de la o vecinătate de bază restul vecinătăților se obțin prin deplasări circulare ale frontierei vecinătății cu o poziție.



<table style="margin: auto;"> <tr><td>-1</td><td>0</td><td>1</td></tr> <tr><td>-2</td><td><b>0</b></td><td>2</td></tr> <tr><td>-1</td><td>0</td><td>1</td></tr> </table>	-1	0	1	-2	<b>0</b>	2	-1	0	1	<table style="margin: auto;"> <tr><td>-2</td><td>-1</td><td>0</td></tr> <tr><td>-1</td><td><b>0</b></td><td>1</td></tr> <tr><td>0</td><td>1</td><td>2</td></tr> </table>	-2	-1	0	-1	<b>0</b>	1	0	1	2	<table style="margin: auto;"> <tr><td>-1</td><td>-2</td><td>-1</td></tr> <tr><td>0</td><td><b>0</b></td><td>0</td></tr> <tr><td>1</td><td>2</td><td>1</td></tr> </table>	-1	-2	-1	0	<b>0</b>	0	1	2	1
-1	0	1																											
-2	<b>0</b>	2																											
-1	0	1																											
-2	-1	0																											
-1	<b>0</b>	1																											
0	1	2																											
-1	-2	-1																											
0	<b>0</b>	0																											
1	2	1																											
Sobel E	Sobel SE	Sobel S																											

Am testat algoritmul Sobel Edge Detection disponibil la adresa <http://pages.cs.wisc.edu/~dyer/cs534-spring10/slides/matlab-tutorial/sobel.m> pe imaginea *peppers.jpg* și am obținut următoarele contururi:



Fig. 2.8. Detectarea conturilor utilizând tehnica de gradient Sobel

Contururile pot fi multiple sau pot avea puncte lipsă, marginile pot reprezenta și linii întrerupte. Sunt cunoscute și extractoare mai optime ale conturilor – filtrele Canny și Deriche, ele păstrează poziția spațială a tranziției.

John Canny în lucrarea sa „A computational approach to Edge Detection” (1986) [144] menționează că sunt trei criterii de performanță ale algoritmului de extragere a conturilor:

1. detecție bună;
2. localizare bună;
3. doar un răspuns la un singur contur.

Primul criteriu definit de Canny [Canny, 1986] este raportul semnal/zgomot ca coeficient al ambelor răspunsuri.

$$SNR = \frac{\left| \int_{-W}^{+W} G(-x) f(x) dx \right|}{n_0 \sqrt{\int_{-W}^{+W} f^2(x) dx}}$$

și localizarea este definită ca:

$$Localization = \frac{\left| \int_{-W}^{+W} G(-x) f'(x) dx \right|}{n_0 \sqrt{\int_{-W}^{+W} f'^2(x) dx}}$$

Se tinde spre maximizarea ambelor (*SNR* și *Localization*) în mod simultan. Utilizând inegalitatea lui Schwarz pentru integrale se poate demonstra că *SNR* este mărginit sus astfel:

$$n_0^{-1} \sqrt{\int_{-W}^{+W} G^2(x) dx}$$

și localizarea este:

$$n_0^{-1} \sqrt{\int_{-W}^{+W} G'^2(x) dx}$$

produsul SNR și *Localization* este maxim când  $f(x) = G(-x)$  pe intervalul  $[-W, W]$ .

Pentru a obține un contur bine definit a fost propusă restricția ca funcția  $f$  să nu aibă „prea multe” răspunsuri la o singură muchie în vecinătatea acestei muchii. Deci muchiile sunt marcate ca maxime locale în răspunsul filtrului linear aplicat pe imagine.

Metoda descrisă a fost implementată pentru a găsi operatori optimali pentru muchii de forma unei creste/culmi, cât și pentru forme ascuțite (unghiuri ascuțite), dar e posibilă implementarea pentru a găsi operatori optimali pentru diverse tipuri de margini (muchii).

Canny [144] a propus convoluția imaginii cu operatorul  $G_n$  care este derivata întâi a Gaussienei bidimensionale  $G$  în direcția  $n$ , adică:

$$G_n = \exp\left(-\frac{x^2 - y^2}{2\sigma^2}\right)$$

Am implementat algoritmul Canny de detectare a conturului de pe adresa <http://robotics.eecs.berkeley.edu/~sastry/ee20/cacode.html> pe imaginea peppers.gif și am obținut rezultatele prezentate în figura 2.9. Analizând imaginile segmentate după aplicarea tehnicii de gradient Canny pot concluda că au fost detectate foarte bine contururile pe axe, datorită derivatelor aplicate pe direcțiile orizontală și verticală.

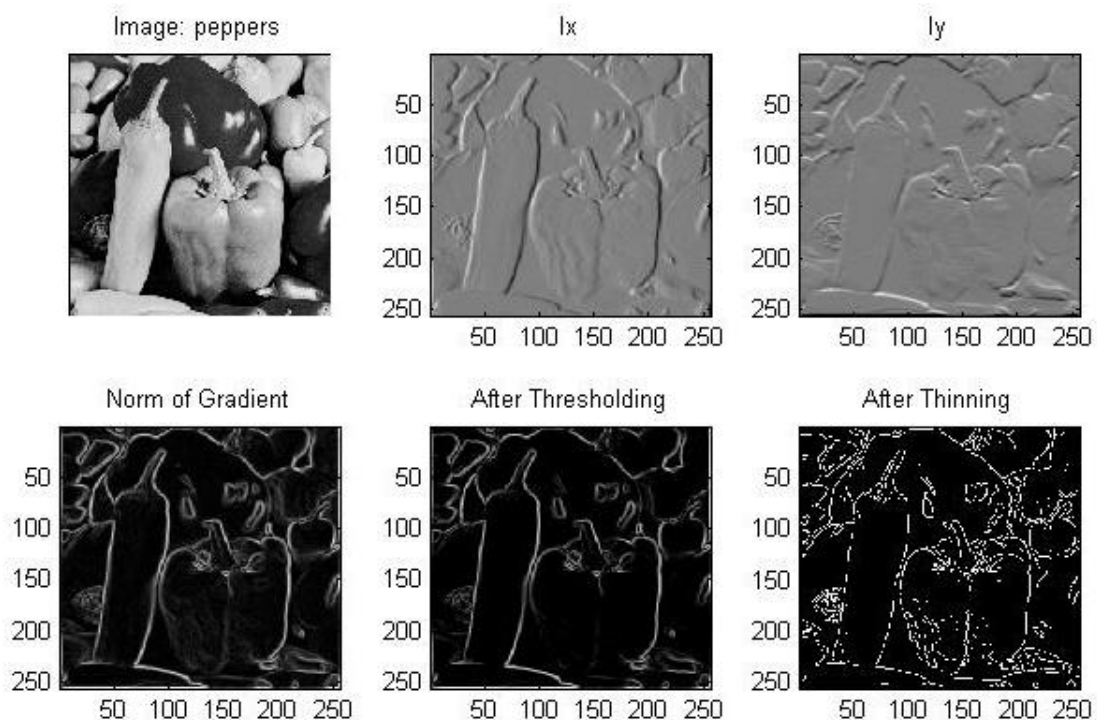


Fig. 2.9. Detectarea conturilor utilizând tehnica de gradient Canny

Metoda detecției conturilor prin filtrare liniară se poate exprima ca elaborarea unui filtru a cărui răspuns să marcheze cu maxime bine definite pozițiile tranzițiilor din semnalul de intrare. Filtrul proiectat trebuie să fie optimal, pentru a oferi o bună performanță, pentru orice poziție și intensitate a tranziției și orice nivel de zgomot aditiv. Performanța de detecție a conturilor este caracterizată de detecția și localizarea bună a tranziției, precum și de minimizarea probabilității de detecție falsă prin maxime posibile din cauza zgomotului.

Deseori conturile reprezintă linii întrerupte, pentru a le uni sub forma de linii continue se utilizează transformata Hough [29]. Această metodă permite estimarea parametrilor unei forme având punctele sale de frontieră.

Exemplu de cod în Matlab pentru determinarea dreptelor se găsește la adresa următoare:  
[\[http://www.mathworks.com/help/images/ref/hough.html\]](http://www.mathworks.com/help/images/ref/hough.html)

```
>> BW = edge(I,'canny');
>>[H,T,R] = hough(BW,'RhoResolution',0.5,'Theta',-90:0.5:89.5);
```

Domeniul de variație al parametrilor pentru acest exemplu este  $[-90^{\circ}, +90^{\circ}]$  pentru  $\theta$ . Acuratețea parametrilor este 0.5 pixeli pentru  $\rho$ , și 0.5 grade pentru  $\theta$ . Valoarea maximă pentru  $\rho$  este diagonala imaginii.

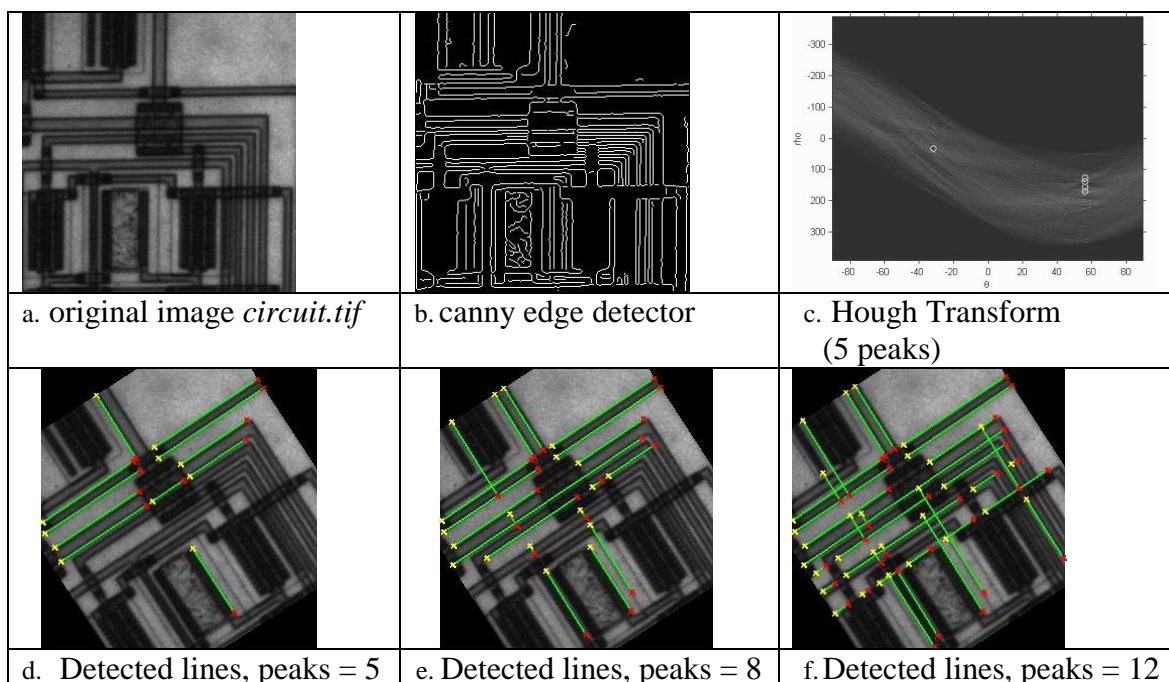


Fig. 2.10. Detectarea liniilor drepte cu Hough Transform [145]

Deși transformata Hough se folosește cel mai des pentru detecția dreptelor și cercurilor, ea poate fi extinsă și pentru detecția curbilor mai complexe, atâta timp cât o parametrizare adecvată este disponibilă.

### 2.1.3 Metode de segmentare bazate pe regiuni

Obiectivele metodelor de segmentare bazate pe regiuni sunt obținerea regiunilor omogene cât mai largi posibile (adică obținerea a cât mai puține regiuni) și cu un nivel de divergență între ele. Tehnicile de segmentare orientate pe detecția regiunilor omogene se pot clasifica în:

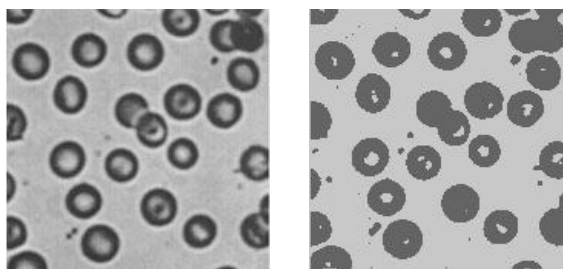
- 1) metode bazate pe etichetarea grupurilor conexe de pixeli cu caracteristici similare:
  - a) Etichetarea componentelor;
  - b) Metoda arborelui cuaternar.
- 2) tehnici de creștere și fuziune a regiunilor:
  - c) Creșterea regiunilor (Region growing);
  - d) Dividerea și fuziunea regiunilor (Splitting and Merging);

**a) Etichetarea componentelor** – după obținerea imaginii binare, se începe baleierea linie cu linie din colțul stânga sus al matricei cu o fereastră de 3x3 centrată pe pixelul curent. Primul pixel negru găsit se notează cu 1. Un nou pixel negru care nu are vecini cu 1 se notează cu 2, și așa mai departe, adică un nou pixel negru care nu are vecini din clasele 1,2,...,k este notat cu k+1. Un nou pixel negru care are vecini din clasa  $q$  va fi de tip  $q$ .

Pentru a evita notarea cu doi indici diferiți a doi pixeli vecini (cel mai des marginile regiunilor sunt considerate obiecte diferite, deoarece la baleiere nu întotdeauna au pixeli vecini din aceeași clasă) parcurgem încă o dată matricea, dar din colțul drept jos și comasăm pixelii vecini cu indici diferiți, etichetându-i cu valoarea cea mai mică.

De regulă, numărul obținut de segmente este considerat numărul de obiecte din imagine, însă imaginile pot conține obiecte alipite și evident – zgomot.

Exemplu de aplicare a acestui algoritm pentru numărarea celulelor de sânge.



a. Imaginea originală      b. Imaginea segmentată

Fig. 2.11. Imaginea originală [134] și cea segmentată [146]



Pentru a obține numărul real al celulelor calculăm aria (numărul de pixeli) pentru fiecare obiect din imagine. Orice segment depistat sub un prag este considerat zgomot, iar dacă obținem o suprafață prea mare considerăm ca sunt celule lipite.

Pragul a fost ales  $media \pm 2\sigma$ , unde  $media$  este suprafața medie a unui segment din imagine, iar  $\sigma$  reprezintă deviația standard  $\sigma = \sqrt{\sum_{i=1}^N (x_i - \bar{x}) / N}$ .

Numărul de celule obținut în mod automat a coincis cu numărul de celule calculate manual, ceea ce demonstrează eficacitatea algoritmului descris.

**b) Metoda arborelui cuaternar** – se bazează pe împărțirea recursivă a imaginii în câte 4 regiuni până la obținerea de regiuni uniforme sau regiuni formate dintr-un singur pixel. Evident imaginea trebuie să fie pătrată – lungimea egală cu lățimea. Acestor împărțiri se poate asocia un arbore cuaternar în care fiecare nod terminal are patru descendenți. Împărțirea imaginii se repetă până când se obțin sferturi uniforme. Apoi se concatenează zonele cu caracteristici similare, rezultând obiectele.

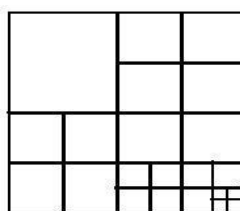


Fig. 2.12. Exemplu de divizare a imaginii în regiuni omogene

**c) Creșterea regiunilor (Region growing)** – se alege un pixel (sau un set mic de pixeli) și se compară cu alt pixel adiacent, dacă sunt similari se unesc într-o singură regiune. Dacă două regiuni sunt suficient de similare se contopesc. Similaritatea e bazată pe compararea statisticilor fiecărei regiuni în parte. Regiunile se contopesc până când nu mai satisfac condiția de alipire.

Un exemplu de creștere a regiunii pornind de la un pixel poate fi consultat la adresa <http://www.mathworks.com/matlabcentral/fileexchange/19084-region-growing> elaborat de profesorul D. Kroon. Pentru implementare se citește o imagine color ( $I$ ), se indică punctul de pornire (centroidul pe axa  $x,y$ ) și intensitatea maximă a distanței (implicit e 0.2) :

$$J = \text{regiongrowing}(I,x,y,0.2);$$

Am aplicat acest algoritm pe imaginea color „peppers.jpg” [22] și am obținut rezultatul prezentat în figura de mai jos.



Fig. 2.13. Imaginea *peppers* originală și imaginea segmentată utilizând metoda *region growing*

d) **Dividerea și fuziunea regiunilor (Split and Merge)** – se începe de la conceptul că imaginea întregă reprezintă o regiune. Dacă această regiune este coerentă, adică toți pixelii din regiune au o suficientă similaritate, nu se modifică. Dacă regiunea nu e suficient de coerentă, se divide în patru și se aplică acest pas fiecărei noi regiuni obținute.

În așa mod pot fi obținute regiuni similare. Pasul doi constă în verificarea similarității de jos în sus. Se unesc două regiuni adiacente ce satisfac condiția de similaritate. Deoarece algoritmul pornește de la regiune mai mare decât un pixel, metoda dată e mai eficientă decât cea precedentă (compuțional mai rapidă).

O metodă de unire a regiunilor este descrisă și implementată în Matlab de către Sylvain Boltz și e disponibilă la adresa: <http://www.mathworks.com/matlabcentral/fileexchange/25619-image-segmentation-using-statistical-region-merging/content/srm.m>. Contururile mai slab definite reprezintă limitele regiunilor inițiale, cele mai pronunțate – ale regiunilor finale obținute prin unirea mai multor regiuni inițiale.

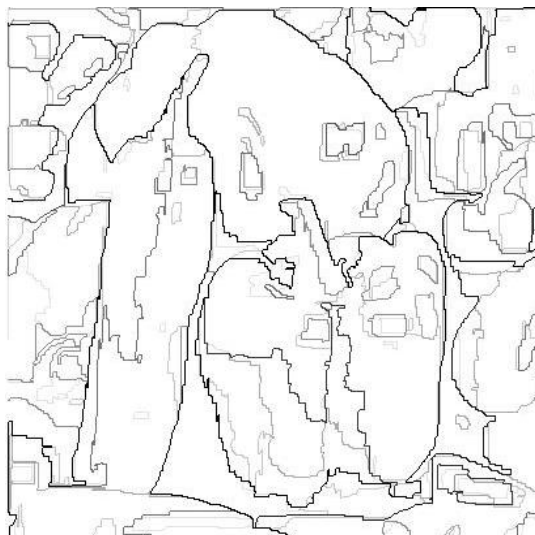


Fig. 2.14. Imaginea *peppers* segmentată utilizând metoda de unire a regiunilor



Fig. 2.15. Imagini consecutive a rezultatelor segmentării bazate pe metoda de unire a regiunilor

Un alt algoritm de segmentare, mult mai complex, bazat pe divizare și unire a regiunilor poate fi consultat la <http://www.mathworks.com/matlabcentral/fileexchange/22711-free-split-and-merge-expectation-maximization-for-multivariate-gaussian-mixture>.

Poate fi extinsă performanța segmentării utilizând ambele metode: de detecție contur și bazată pe regiuni. De exemplu, putem să adăugăm la decizia de a uni două regiuni care era bazată inițial doar pe similaritatea pixelilor și contururile detectate.

După ce am identificat două regiuni adiacente care se propun spre alipire, examinăm și contururile între ele. Dacă conturul e suficient de definit (magnitudinea gradientului, numărul de pixeli corespunzător unui operator etc.) păstrăm regiunile separat, dacă conturul e slab definit – regiunile se unesc.

## 2.2 Algoritm de segmentare bazat pe modele de Mixturi Gaussiene (GMM) și modele de Mixturi Uniforme-Gaussiene (G-U-MM)

Algoritmul propus de segmentare face parte din metodele bazate pe histogramă. Ideea constă în determinarea pragurilor ce separă intervalele cu distribuție Gaussiană și uniformă. Se pornește de la presupunerea ca fiecare obiect din imagine are un anumit tip de distribuție, deci este reprezentat de o anumită intensitate a pixelilor cu o ușoară variație.

Prima versiune a algoritmului de segmentare bazat pe Modelul de Mixturi Gaussiene (GMM) a fost descrisă în articolele “A Method for Image Segmentation based on Histograms – Preliminary Results”, prezentat la Conferința Internațională „Telecomunicații, Electronică și Informatică” [146] și “Yet Another Method for Image Segmentation based on Histograms and Heuristics”, publicată în Computer Science Journal of Moldova [147].

Metodele de segmentare bazate pe histogramă, de obicei, determină pragurile ca fiind valorile minime de pe histogramă. Noi, profesorul HN. Teodorescu și eu, propunem o altă metodă de determinare a pragurilor [146-147], schema bloc a căreia este reprezentată mai jos.

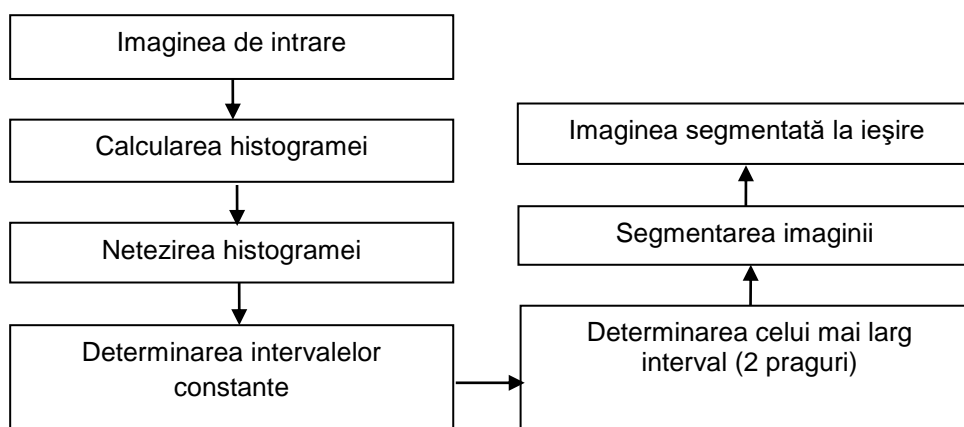


Fig. 2.16 Schema bloc a metodei de segmentare propuse inițial

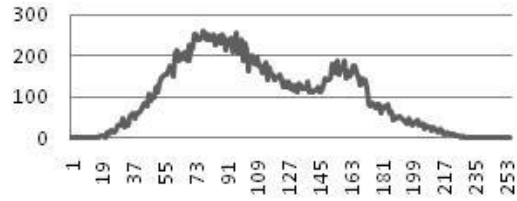
Primul pas al metodei îl constituie calcularea distribuției nivelelor de gri în imagine – histograma, apoi netezirea histogramei utilizând filtrele median și de mediere. În final se determină cel mai constant interval pe histogramă, iar marginile intervalului sunt considerate praguri.

Prin aplicarea filtrelor pe histogramă nu se dorește decât „netezirea” graficului acesteia cu scopul de a avea mai puține valori de minim local și de a identifica mai ușor pragul de segmentare. La metodele de segmentare automată se pot aplica diferite tehnici de aproximare a histogramei fie cu gaussiene, fie de liniarizare pe porțiuni cu segmente de dreaptă, fie de aplicare a unui FTJ (filtru trece-jos) scopul acestora fiind acela de a permite găsirea automată a pragului de segmentare.

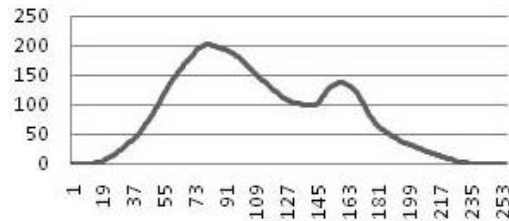
Netezirea histogramei (en.: „*histogram smoothing*”) ca etapă de preprocesare pentru calcule ulterioare permite obținerea rezultatelor mai exacte, mai satisfăcătoare. Pentru a obține o histogramă netezită se aplică filtrul de mediere de două ori și cel median o singură dată, utilizând o fereastră de 11 elemente și respectiv 5.



a.



b.



c.

Fig. 2.17. Imaginea inițială giraffe [148] b.Histograma inițială, c. Histograma netezită

Cel mai mare interval constant a fost determinat cu o fereastră glisantă de 24 elemente luând în calcul următoarele :

(a) dacă  $\frac{V_{\max} - V_{\min}}{Nw} < p$  atunci intervalul este considerat constant, unde  $V_{\max}$  și  $V_{\min}$  sunt

valorile maxim și minim ale ferestrei și  $Nw$  este numărul de elemente din fereastră, iar  $p$  este indicele de comparare care e direct proporțional cu rezoluția imaginii (pentru imagini cu rezoluții mai mari se alege un indice de comparare mai mare). Pentru imaginile test de o rezoluție 170x170,  $p=1.5$ . Dacă două ferestre consecutive au această proprietate atunci se definește intervalul fiind egal cu lungimea a două ferestre.

(b) altfel intervalul nu este considerat constant.

Dacă se obțin mai multe intervale constante, pentru cazul cu două praguri, se selectează cel mai mare și limitele lui sunt considerate praguri. Ideea este de a obține mai puține segmente, de a determina obiectele principale din imagine. Nu se urmărește separarea fiecărui detaliu al imaginii, care ar putea fi în unele cazuri, o parte umbrită sau puternic iluminată a obiectului.

Segmentarea se face în conformitate cu exemplul de pseudocod, unde  $Th1$  și  $Th2$  sunt limitele celui mai mare interval semi-constant și  $g(i,j)$  este valoarea pixelului din imagine:

```

if  $g(i,j) < Th1$  then  $g(i,j) \in \text{segment1}$ 
if  $g(i,j) \geq Th1 \ \&\& \ g(i,j) \leq Th2$  then  $g(i,j) \in \text{segment2}$ 
if  $g(i,j) > Th2$  then  $g(i,j) \in \text{segment3}$ 
Dacă utilizăm  $n$  praguri, atunci avem  $n+1$  segmente.

```

Programul elaborat în colaborare cu prof. HN. Teodorescu poate fi consultat pe adresa: [http://www.etti.tuiasi.ro/cercetare/cefs/index.php?option=com\\_content&view=article&id=98%3Acolectiesoftdate&catid=14%3Asectiuneapublicatii&Itemid=21&lang=ro](http://www.etti.tuiasi.ro/cercetare/cefs/index.php?option=com_content&view=article&id=98%3Acolectiesoftdate&catid=14%3Asectiuneapublicatii&Itemid=21&lang=ro)

Exemplu de segmentare după metoda propusă a imaginii *giraffe*. S-au obținut mai multe intervale semiconstante: 0-23, 72-95, 126-149, 198-254, dar s-a ales intervalul cel mai mare – 126-149, obținându-se astfel segmentele [0-126), [126-149] și (149-254].

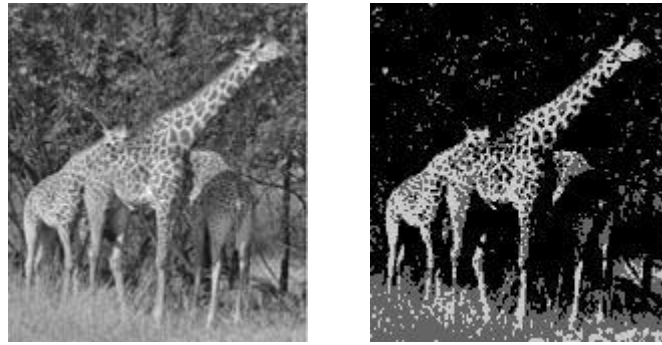


Figura 2.18 Imaginea originală *giraffe* și cea segmentată

Pentru alegerea optimă a lungimii ferestrei glisante, a numărului de elemente pentru filtrul de mediere a histogramei și a indicelui de comparație s-au făcut mai multe teste.

Tabelul 2.1 Intervale semiconstante obținute cu diferite valori ale indicilor de comparație

Valoarea $p$	Intervale semi-constante pentru imaginea <i>giraffe</i>
1.1	0-23, 72-95, 126-149, 198-254
1.2	0-23, 72-95, 126-149, 198-254
1.3	0-23, 72-95, 126-149, 198-254
1.4	0-23, 72-95, 126-149, 198-254
1.5	0-23, 72-95, 126-167, 198-254
1.6	0-23, 72-95, 126-167, 180-254
1.7	0-23, 72-95, 126-167, 180-254
1.8	0-23, 72-95, 126-167, 180-254

Tabelul 2.2 Ariile segmentelor obținute utilizând diferite valori ale indicilor de comparație

<b>p=1.1-1.4</b> Aria segmentelor	<b>Intervalele semi- constante</b>	<b>p=1.5</b> Aria segmentelor	<b>Intervalele semi- constante</b>	<b>p=1.6-1.8</b> Aria segmentelor	<b>Intervalele semi- constante</b>
S1=69	[0-23]	S1=69	[0-23]	S1=69	[0-23]
S2=5500	(23-72)	S2=5500	(23-72)	S2=5500	(23-72)
S3=5755	[72-95]	S3=5755	[72-95]	S3=5755	[72-95]
S4=5264	(95-126)	S4=5264	(95-126)	S4=5264	(95-126)
S5=2976	[126-149]	<b>S5=5944</b>	[126-167]	S5=5944	[126-167]
S6=5196	(149-198)	<b>S6=2228</b>	(167-198)	<b>S6=1236</b>	(167-180)
S7=590	[198-254]	S7=590	[198-254]	<b>S7=1582</b>	[180-254]

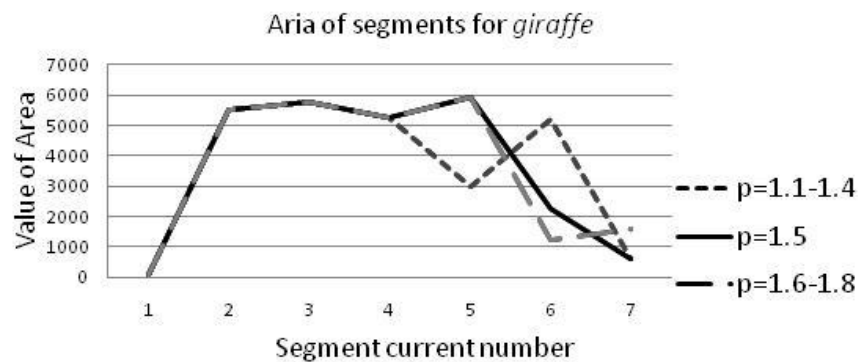


Fig. 2.19. Reprezentarea grafică a ariilor segmentelor obținute cu diferite valori ale indicilor de comparație  $p$  pentru imaginea giraffe

Tabelul 2.3 Intervale semiconstante obținute cu diferite valori ale ferestrei glisante

Intervalele	Pragurile pentru <i>Giraffe</i> , lățimea ferestrei			
	l=20	l=24	l=28	l=36
J1	0	0	0	0
J2	19	23	27	35
J3	70	72	66	120
J4	89	95	93	155
J5	126	126	132	180
J6	145	149	159	255
J7	196	198	198	
J8	254	254	254	

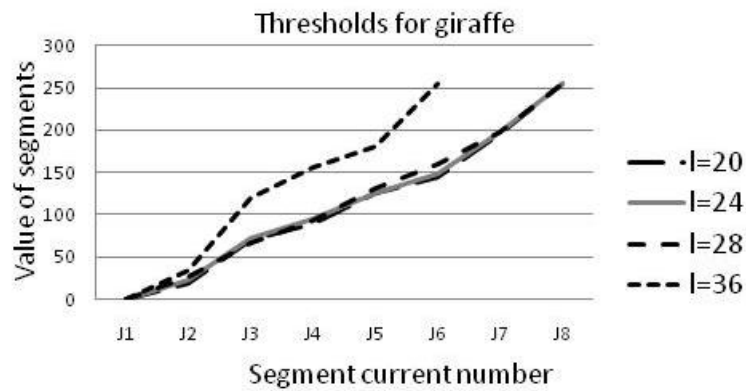


Fig. 2.20. Reprezentarea grafică a valorilor segmentelor obținute pentru diferite lungimi de ferestre pentru imaginea *giraffe*

Tabelul 2.4 Intervale semiconstante obținute cu număr diferit de valori pentru filtrul de mediere

Valoarea filtrului de mediere	Intervalele semi-constante ( <i>giraffe</i> )
W[7]	0-23, 72-95, 126-149, 180-254
W[9]	0-23, 72-95, 126-149, 180-254
W[11]	0-23, 72-95, 126-167, 198-254
W[15]	0-23, 72-95, 126-167, 198-254

Tabelul 2.5 Histograme nivelate cu diferite dimensiuni ale filtrului de mediere pentru *giraffe*

Histograma originală	Histograma netezită cu W[7]
Histograma netezită cu W[11]	Histograma netezită cu W[15]



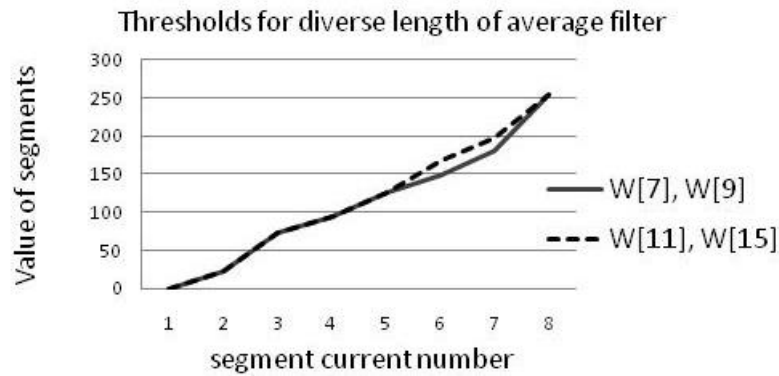


Fig. 2.21. Reprezentarea grafică a segmentelor semiconstante obținute cu dimensiuni diferite ale filtrului de mediere

Similar, cu indici diferiți, a fost testată metoda de segmentare și pe alte imagini. Rezultatele preliminare au fost prezentate la a 4-a Conferință Internațională „Telecomunicații, Electronică și Informatică”, Chișinău 2012 [146]. La această etapă au fost stabilite lățimea ferestrei glisante și mărimea măștilor pentru netezirea histogramei. O analiză mai amplă a metodei și a rezultatelor obținute a fost prezentată în lucrarea “Image Segmentation Based on G-UN-MMs and Heuristics - Theoretical Background and Results –” [149].

Metoda propusă constă în determinarea intervalelor semiconstante care ar reprezenta intervalele cu distribuție uniformă, ce ar separa intervalele cu distribuție Gaussiană. De facto, nu în toate cazurile intervalele uniforme reprezintă distribuții uniforme și separă Gaussiene. În exemplul de mai jos, interval constant [126-149] reprezintă vârful plat al reuniunii a mai multor Gaussiene.

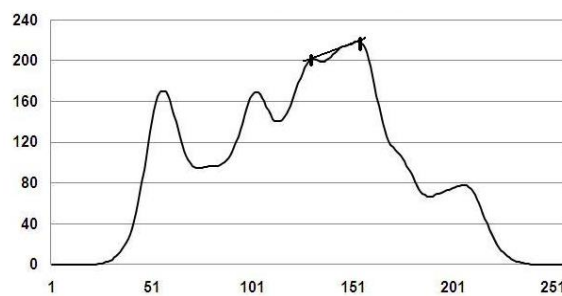


Fig. 2.22. Exemplu de determinare eronată a intervalului de distribuție uniformă

A fost necesară îmbunătățirea algoritmului pentru a evita astfel de cazuri. Descrierea amplă a noilor pași de verificare a intervalelor pentru evitarea clasificării eronate este prezentată în articolul “Improved Heterogeneous Gaussian and Uniform Mixed Models (G-U-MM) and Their Use in Image Segmentation” [150]. Secțiunea următoare este o parafrază a conținutului acestui articol.

După cum a mai fost menționat, rolul principal al segmentării este găsirea în imagini a elementelor semnificative, importante pentru interpretatorul uman și obținerea unei imagini simplificate, cu puține nivele de gri, care reduce elementele esențiale ale imaginii inițiale. Pentru observatorii umani segmentarea pare a fi o etapă naturală a perceperii imaginii, totuși nu e clar câte caracteristici de recunoaștere a formelor sunt implicate la segmentarea imaginilor de către om. Prin urmare, încercarea de a elabora o metodă tehnică de segmentare bazată numai pe tehnici de prelucrarea a imaginii, fără cunoștințe de nivel superior asupra proprietăților imaginii și fără aplicarea răspunsului despre potențialele forme ce au fost descoperite ar putea fi imposibilă atunci când segmentele identificate necesită conectarea la semnificații.

Nu există nici o legătură evidentă între segmentele din imagine și distribuția nivelelor de gri a pixelilor, de fapt, legătura nu este directă. Prin urmare, utilizarea de MMG sau a altor modele similare la segmentarea imaginilor poate părea o tehnică greșită spre utilizare. Cu toate acestea, unele ipoteze de bază, adesea verificate experimental, așa cum am aflat în mod empiric în numeroase experimente, conectează utilizarea de MMG și MMGU pentru segmentarea imaginilor. În primul rând, imaginile care nu reprezintă o multitudine de obiecte, elementele cu semnificație semantică sunt adesea destul de bine approximate de componentele Gaussiene. Prin urmare, identificarea componentelor Gaussiene ajută în mod corect la obținerea segmentelor. În al doilea rând, o mare parte a fundalului precum și mai multe elemente cu semnificație semantică din imagine au nivelul de gri adesea aproape uniform, ceea ce înseamnă că distribuția lor este uniformă. Prin urmare, statisticile locale, care se referă la distribuțiile cum ar fi Gauss, sau uniform, tind să fie semnificative pentru procesul de segmentare. Prezența acestor regiuni (figurile 2.23 și 2.25) arată că numai modelele de mixturi Gaussiene nu sunt suficiente, pentru că ele omit de fapt, regiunile cu distribuții uniforme ale nivelelor de gri. Modelarea pe baza distribuției uniforme cu MMG, dacă este posibilă, reprezintă totuși o metodă de aproximare slabă pentru că necesită un număr mare de Gaussiene. Dovezile empirice sugerează că, astfel, un amestec de Gaussiene și distribuții uniforme ar permite o mai simplă metodă de calcul și mai puțin costisitoare, și, cel mai important, mult mai ușor de interpretat descompunerea imaginii în segmente semnificative.

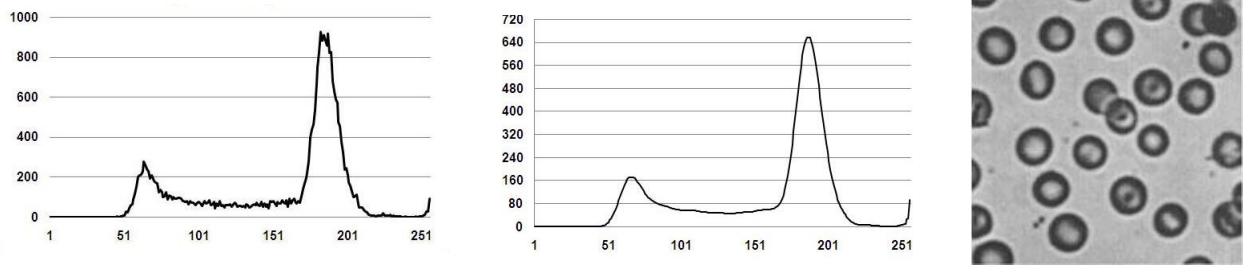


Fig. 2.23. Histograma tipică (a imaginii test *Blood cells* [134] 170x170 pixeli) care poate fi descompusă într-un interval mare constant în mijloc și două funcții Gauss

Prima distribuție Gaussiană din histograma imaginii *Blood cells* din Fig. 2.13 pare suprapusă cu distribuția uniformă (DU), dar nu și cea de a doua.

Perspectiva descompunerii imaginii prezentată mai sus arată că i) nu există nici un motiv să credem că metoda MMG este o modalitate potrivită de a detecta segmente într-o imagine, ii) de fapt, este evidentă dovada că MMG ar putea fi o metodă de calcul intensivă și neoptimală pentru mai multe clase de imagini; iii) nu ne putem aștepta să obținem rezultate similare segmentării manuale umane, cu metode bazate exclusiv pe funcții densitate de probabilitate, atunci când textura joacă un rol în definirea segmentelor.

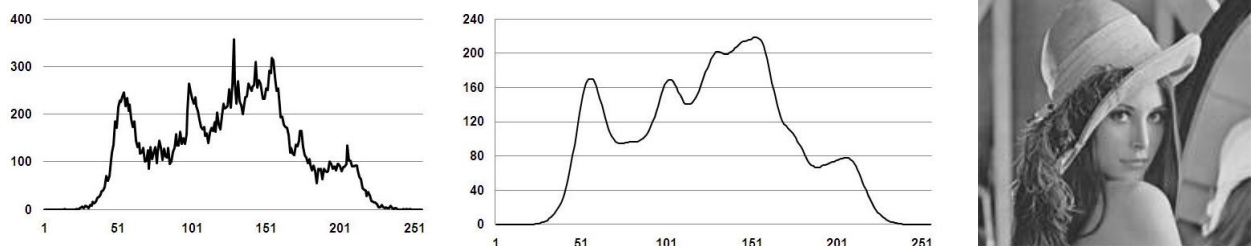


Fig. 2.24. Histogramă tipică (a imaginii test *Lena* [151]), cel mai bine modelată cu MMG. Histograma netezită este percepută în mod clar ca fiind compusă dintr-un amestec de Gaussiene

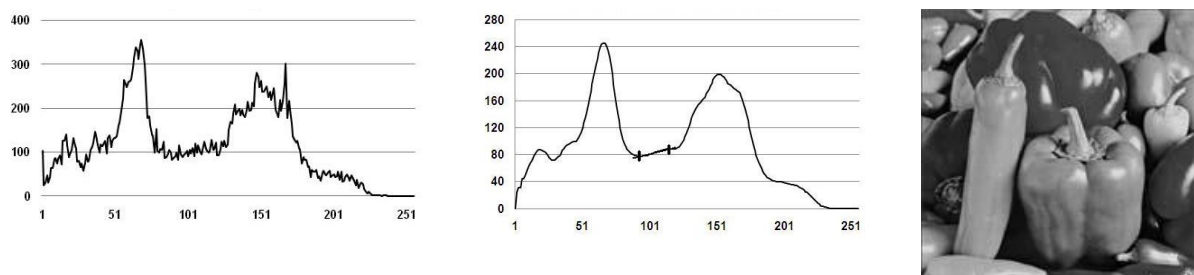


Figura 2.25 Histogramă (a imaginii test *peppers* [142]) a versiunii cu nivele de gri. Intervalul central al histogramei are distribuția aproape constantă

### 2.2.1 Optimizarea segmentării bazate pe funcții de distribuții

Subiectul general al segmentării este abordat în acest subparagraf prin următoarea ipoteză:

*Segmentarea imaginilor bazată pe descompunerea liniară a p.d.f. în conformitate cu un set de funcții specificate este corectă (acceptabil pentru orice scop.)*

Aceasta este doar o ipoteză de lucru. Așa cum am subliniat deja, ipoteza este discutabilă ca fiind optimală și falsă în cel mai rău caz. Notăm cu  $f(g)$ , p.d.f. a imaginii, unde  $g$  este nivelul de gri și  $f$  este o funcție continuă  $f: R \rightarrow R$ . Considerăm că segmentarea se bazează pe o descompunere a lui  $f$  în continuare într-un set  $\Omega$  de funcții. Presupunem că  $\Omega$  este o familie completă de funcții pentru spațiul funcțiilor continue cu valori reale pe  $R$ , care este, pentru orice  $f$ , un (posibil infinit) subset a lui  $\Omega$ ,  $\Omega_f \subset \Omega$  și un set de numere reale,  $a_k$ , astfel încât  $f(g) = \sum_k a_k \omega_k(g)$ ,  $\omega_k \in \Omega_f$ . Pentru moment, se presupune că setul  $\Omega$  este specificat. O reprezentare finită aproximativă a lui  $f$  este o sumă a unui număr finit de funcții  $\omega_k$ ,  $\tilde{f}(g) = \sum_{j=1 \dots n} a_j \omega_j(g)$ . În cadrul sarcinii de segmentare, fiecare funcție  $a_j \omega_j$  în descompunere finită reprezintă un segment. Nu se pune întrebarea despre adecvarea atribuirii semnificației de "segment" funcțiilor  $a_j \omega_j$ .

Funcția  $\tilde{f}$  este o aproximare, cu oarecare eroare, a lui  $f$ . Se urmărește o aproximare globală a erorii pătratice. Acest criteriu de optimalitate nu are nimic în comun cu realizarea segmentării specificate. Eroarea pătratică  $\varepsilon^2$  cu o aproximare globală este definită ca:

$$\varepsilon^2(f, \tilde{f}) = \int_{g_1}^{g_2} (f(g) - \tilde{f}(g))^2 dg.$$

Unde  $g_1, g_2$  sunt limitele intervalului de nivele gri. Computațional, soluția optimă a aproximării este realizarea unei aproximări cu o eroare mai mică decât o valoare specificată,  $\varepsilon_0$ . Utilizarea expresiei descompunerii finite pentru un set specificat a  $n$  indici,  $j_1, j_2, \dots, j_n$ :

$$\varepsilon^2(f, \tilde{f}) = \int_{g_1}^{g_2} (f(g) - \sum_{j_1, \dots, j_n} a_k \omega_k(g))^2 dg.$$

Problema devine: Caută  $q$  astfel încât să fie cel mai mic număr al funcțiilor  $\omega_k$  și să comită o eroare mai mică de  $\varepsilon_0$ . Formal condiția de mai sus este simplă, aplicarea acesteia s-ar putea să nu fie la fel. Acesta este unul din motivele pentru care preferăm o soluție euristică.

Problema este simplă numai atunci când se poate determina cu ușurință principalul component al descompunerii funcției  $f$ .

### 2.2.2 Model aditiv format din mixturi de distribuții Gaussiene și uniforme

Modelul G-U-MM propus se încadrează în categoria bine-cunoscută a modelelor aditive [152, 153].

$$f(x) = f_1(x) + f_2(x) + \dots + f_n(x),$$

care este potrivit pentru modele de semnale în forma  $X = S + N$ , unde  $S$  este un semnal într-un spațiu de dimensiuni mici  $E$  și  $N$  este un zgomot Gaussian independent cu medie nulă și matrice de covarianță; în cazul unui singur component Gaussian în zgomot, matricea se reduce la dispersia Gaussiană [152].

Aceasta ne aduce la trei probleme diferite: prima se referă la filtrarea imaginii (eliminarea zgomotului), a doua la netezirea histogramei, iar a treia la segmentare.

Referitor la prima problemă, (deoarece se presupune valoarea zgomotului aditiv aproximativ egală cu zero pentru imaginile analizate) sugerăm o filtrare repetată cu o fereastră mică (de  $3 \times 3$ ) a filtrului de mediere pentru reducerea semnificativă a zgomotului  $N$ . Când este prezent zgomotul *sare și piper*, un amestec de filtre de mediere repetate și median pot curăți eficient semnalul. Detalii cu privire la această procedură preliminară de filtrare sunt furnizate în [149]. Prin urmare, vom considera ulterior că singurul proces pe care avem de realizat este segmentarea.

Imaginile totuși pot include "zgomote semantice", care reprezintă obiecte mici care apar în imagine, dar nu au nici un sens pentru analizator. Un astfel de "zgomot semantic" este eliminat după netezirea histogramei. Cu toate acestea, "zgomotul semantic" poate include umbre și detalii de fundal care sunt lipsite de interes, sau detalii de fundal și umbre care se suprapun cu părți ale semnalului util și care au nivele de gri identice sau aproximative (sau culori) cu nivelele de gri ale obiectelor de interes din imagine.

În ceea ce privește modelul aditiv referitor la segmente, vom face presupunerea că fiecare dintre funcțiile  $f_k$ , a acestui model aditiv este diferită de zero pe un interval în care celelalte funcții,  $f_{j \neq k}$ , sunt nule (care este descompunerea pe porțiuni). Numai ultimul sens al modelului aditiv este urmărit în continuare.

### 2.3 Algoritmul euristic G-U-MM. Limitele și îmbunătățirile ale G-U-MM de bază

Unele dintre ipotezele de bază expuse mai departe nu sunt verificate. În primul rând se presupune că ochiul recunoaște imaginile folosind atât informația despre culoare – nivelurile de gri cât și textură. Textura poate fi de obicei caracterizată prin statistici de ordinul trei legate cu momente de ordinul al doilea, în timp ce la elaborarea algoritmului am luat în considerare numai statistica de bază (p.d.f).

Modelul aditiv  $f(x) = f_1(x) + f_2(x) + \dots + f_n(x)$ , este același, fie în cazul în care funcțiile compun același domeniu de definiție, sau în cazul în care reprezintă extensii la un domeniu comun de definiție a funcțiilor cu domenii disjuncte de definiție. Cu toate că în mod formal această distincție este lipsită de importanță, simplificări semnificative algoritmice pot apărea în al doilea caz, în care diferența semantică la segmentare poate fi demnă de remarcat.

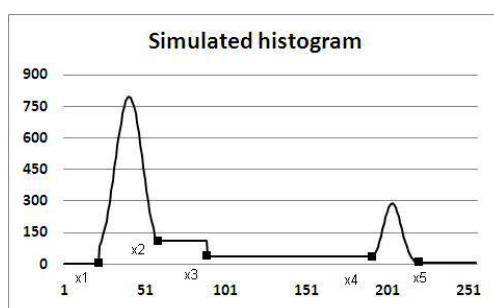


Fig. 2.26. Histogramă simulată compusă din două distribuții uniforme și două Gaussiene

Un exemplu realist de histogramă poate arata ca în Fig.2.26. Histograma este compusă de o sumă de patru componente (fără a lua în calcul intervalele mai mici de  $x_1$  și mai mari de  $x_5$ ). Al doilea și al treilea sunt două distribuții uniforme suprapuse:

$$h(x) = u_3(x) + u_4(x),$$

unde distribuțiile au forma  $u_3(x) = a_3$ , pentru  $x \in [x_2, x_3]$ , 0 altfel;  $u_4(x) = a_4$ , pentru  $x \in [x_3, x_4]$ , 0 altfel.

Prima și a patra componentă sunt Gaussiene. Pe intervalele rămase ale nivelelor de gri, unde  $h$  nu este constant (nu are o distribuție uniformă),  $h$  este modelat ca mixturi Gaussiene. Rezultatul final este compus din setul de intervale care corespund distribuțiilor uniforme și Gaussiene. Pentru fiecare astfel de interval, o valoare de gri se atribuie segmentului, în cazul distribuției uniforme valoarea de segment este valoarea medie a nivelelor de gri ale intervalului. Așa cum este prezentat în lucrările preliminare [147], [149], preprocesarea și etapele de analiză de bază sunt efectuate cu o fereastră glisantă (până la 24 valori de gri). La această etapă a

analizei de mixturi, intervalele mai mici decât două ferestre, au fost împărțite în două și au fost conectate la intervalele alăturate.

Pentru evitarea clasificării vârfurilor de Gaussiene plate, cu o distribuție uniformă locală, a fost folosită o metodă semi-empirică și algoritmul aferent descris în această secțiune. Metoda este semi-empirică pentru că scopul nu este de a stabili cu adevărat (exact) descompunerea în Gaussiene pentru intervalul dat. În schimb, a fost testat dacă o aproximare rigidă a unei Gaussiene pe intervalul dat nu este suficient de bună, se extinde la un interval mai mare aproximarea pentru a vedea dacă obținem rezultate mai bune decât pentru distribuția uniformă. În cazul în care rezultatul este mai bun pentru aproximarea rigidă a Gaussienei, s-a decis că intervalul corespunde unei secțiuni de Gaussiană pe histogramă.

S-a efectuat o aproximare rigidă a Gaussienelor pe toate intervalele cu distribuție uniformă (UD). Și anume, pentru fiecare interval cu DU obținut de la testul DU explicat în lucrările anterioare [147], [149], se consideră mijlocul intervalului respectiv și se determină distribuția conform ecuației ce se referă la valoarea Gaussienei, eroarea acceptată și lățimea intervalului,

$$A(1 - e^{-(x-m)^2 / 2\sigma^2}) \leq \varepsilon, \quad (2.1)$$

unde  $\varepsilon$  este eroarea utilizată în criteriu,  $m$  este mijlocul intervalului determinat ca DU,  $\sigma$  este distribuția Gaussiană, iar  $x$  este una dintre extremitățile intervalului. Factorul  $A$  este valoare de vârf a intervalului, pentru a elimina în continuare efectul zgomotului, se determină media celor mai mari trei valori a intervalului. Se rezolvă cazul egalității pentru (2.1) și se determină  $\sigma$  ca:

$$1 - \varepsilon / A = e^{-(x-m)^2 / 2\sigma^2}.$$

După rescrierea logaritmică, obținem:

$$\sigma^2 = -(x - m)^2 / (2 \ln(1 - \varepsilon / A))$$

Două valori ale lui  $\sigma^2$  se obțin câte una pentru fiecare extremitate a intervalului fals DU, notată aici prin  $[x1, x2]$ . Anume, cele două valori sunt:

$$\sigma_{1,2}^2 = -(x_{1,2} - m)^2 / (2 \ln(1 - \varepsilon / A)).$$

Se presupune că valoarea  $m$  corespunde vârfului histogramei în intervalul dat,  $m = \arg \max_{(k)}(h_k)$ , unde  $h_k$  denotă valoarea  $k$  a histogramei. (Când estimarea este corectă,  $m = \arg \max_{(k)}(h_k)$  este într-adevăr valoarea medie conform distribuției Gaussiene.) Se calculează media  $(\sigma_1 + \sigma_2) / 2$  ca valoare pentru  $\sigma$ . Apoi, se calculează eroarea medie pătratică

cu aproximare pentru intervalul Gaussian obținut. Dacă această eroare este mai mică decât eroarea medie pătrată determinată în intervalul respectiv folosind valoare constantă de aproximare, se decide că intervalul dat nu este uniform, ci parte a unui Gaussiene. În acest caz, segmentul fals DU este alipit la segmentul adiacent.

Algoritmul de determinare dacă un interval aparent cu DU este de fapt „capacul” unei Gaussiene cu distribuție largă este descris în continuare. Presupunând că Gaussiana (în cazul în care este efectiv prezentă) nu este prea afectată de zgomot, atunci:

1. Se alege un interval cu DU  $[k_1, k_2]$  și se determină valoarea maximă în interiorul acestuia  $\max_{(k)} h_{(k)}$ , și valoarea corespunzătoare lui  $k, k_m$ . Dacă

$$\left| k_m - \frac{(k_1 + k_2)}{2} \right| < \varepsilon(k_2 - k_1) , \text{ atunci se decide că } k_m \text{ este centrul funcției Gauss. Dacă}$$

nu, se determină cele mai mari trei valori în intervalul  $[k_1, k_2]$  și se calculează media lor. Se aplică testul de centralitate asupra mediei celor 3 valori.

2. În cazul în care testul de centralitate nu este satisfăcut, intervalul  $[k_1, k_2]$  este un interval cu DU, sau este de tip necunoscut, dar se forțează aproximarea la o distribuție uniformă.
3. Dacă cel puțin un test de centralitate este satisfăcut, apoi se determină  $\sigma_1, \sigma_2$  și  $\sigma$  așa cum se explică mai sus.
4. Calculăm eroarea pătratică pentru funcția presupusă Gauss,

$$\varepsilon_G^2 = \sum_{k=k_1}^{k_2} (G_k - h_k)^2$$

unde  $G_k$  denotă valoarea funcției Gauss în punctul  $k$ ; calcularea erorii pătratice pentru DU presupusă

$$\varepsilon_U^2 = \sum_{k=k_1}^{k_2} (C - h_k)^2$$

unde  $C$  este o constantă reprezentată de media valorilor din interval, iar  $\varepsilon_U^2$  este deviația standard a intervalului.

5. Dacă  $\varepsilon_G^2 < \varepsilon_U^2 (1 + \varepsilon_{G-U})$ , unde  $\varepsilon_{G-U}$  este un număr mic (de exemplu 0.5), provizoriu se decide că intervalul corespunde unei Gaussiene.
6. Dacă intervalul corespunde provizoriu unei Gaussiene, se extinde intervalul cu un nivel de gri spre stânga. Se calculează din nou pe noul interval valorile pentru  $\varepsilon_G^2$  și



pentru  $\varepsilon_U^2$ . Dacă  $\varepsilon_G^2 < \varepsilon_U^2(1 - \varepsilon_{G-U})$ , se decide că intervalul inițial aparține unei Gaussiene. Observați semnul "-" în condiția de mai sus, în  $1 - \varepsilon_{G-U}$ . Apoi, se extinde intervalul la dreapta cu un eșantion. Procedura se oprește atunci când  $\varepsilon_G^2 \geq \varepsilon_U^2$ , caz în care aproximarea Gaussienei produce o eroare mai mică comparativ cu aproximarea distribuției uniforme.

7. Procedura de mai sus se aplică o dată la fiecare interval cu DU.

### 2.3.1 Descrierea algoritmului euristic de segmentare G-U-MM

În această secțiune voi prezenta pașii algoritmului aproximării cu comentarii. Două versiuni ale aproximării sunt date, realizarea celei de-a doua metode atinge aproximări mai bune. Se observă că algoritmul nu are ca scop să determine o aproximare foarte bună, ceea ce ar implica numeroase funcții în modelul G-U-MM, în schimb, se păstrează numărul scăzut de componente la aproximare, deoarece una dintre calitățile unei bune segmentări este numărul mic de segmente. Amintesc că ideea principală a algoritmului este de a obține o aproximare rezonabilă care ajută separarea regiunilor imaginii în funcție de statistica specifică în speranța că distribuția de probabilitate este legată, în mecanismul uman de vedere, de segmentare. De aceea, se permit aproximări slabe, atunci când acestea păstrează numărul de segmente mic și nu afectează semnificativ regiunile atribuite segmentelor, în imagini. Unele dintre etapele algoritmului prezentate ulterior sunt bazate pe Fig. 2.27.

Algoritmul prezentat, ulterior, constă numai în noua secțiune a algoritmului de ansamblu și se adaugă la secțiunea de bază deja prezentată la începutul capitolului. Secțiunea de bază a întregului algoritm determină două tipuri de intervale, numite "uniforme" și (de tip) "nedeterminat". Aceste intervale sunt prelucrate în continuare, după cum urmează.

1. Se presupune intervalul  $[x_1, x_2]$  clasificat ca "de tip nedeterminat" (Fig. 2.27). Se determină nivelul de gri în centrul intervalului:  $h(x_1 + x_2)/2$ , în cazul în care  $h$  este funcția histogramă.  
IF  $h(x_1 + x_2)/2 > h(x_1)$  AND  $h(x_1 + x_2)/2 > h(x_2)$  THEN mergem la pasul 2, ELSE trecem la pasul 9.

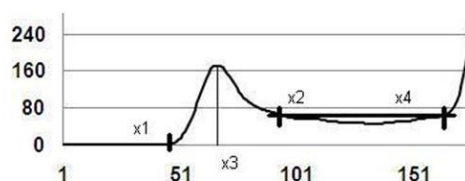


Fig.2.27 Fragment al histogramei

2. Găsim  $x_3 = \operatorname{argmax}(h(x)), x \in [x_1, x_2]$ .
3. Se presupune că  $x_3$  este vârf de Gaussiană, atunci aproximarea locală (notată cu  $h$ , ca

histograma)  $h(x) = A \cdot \exp(-(x - x_3)^2 / b)$ . Prin urmare,  $A = h(x_3)$ .

Comentariu. Presupunerea făcută în pașii 1-3 conduc la o rigidă identificare a vârfului funcției Gauss, și, astfel, o aproximare rigidă. Este posibil ca condiția dublă (conectat cu AND) la pasul 1 să fie falsă, și intervalul corespunde unui vârf Gauss. Pasul 9 are menirea de a corecta aceste situații.

4. Se determină  $b_1$  optimal pentru partea stângă a intervalului:

*for*  $b = 3$  to 7200,

se determină eroarea aproximării pentru distribuția Gaussiană:

$$\varepsilon_{(b)}^2 = \sum_{x_i}^{x_3} (h(x) - A e^{-(x_i - x_3)^2 / b}).$$

Se găsește  $b$  optimal corespunzător  $\operatorname{arg} \min \varepsilon_{(b)}^2$ .

Comentarii: creșterea în buclă este 1; dispersia trebuie să nu fie un număr întreg; valorile 3 și 7200 s-au constatat empiric convenabil pentru imaginile prelucrate, dar alte limite pot fi necesare pentru alte imagini. Deoarece suma este de la  $x_1$  la  $x_3$ , valoarea optimă a lui  $b$  este astfel determinată, de fapt, optimizată pentru partea stângă, care reprezintă  $b_1$  optimal.

5. Se determină eroarea și  $b_2$  optimal pentru partea dreaptă.
6. Se determină  $b$  optimal ca media  $b = (b_1 + b_2) / 2$  și eroarea totală a intervalului ca  $error = error_1 + error_2$ , unde  $error_1$  și  $error_2$  sunt determinate la pașii 4 și 5.

Comentarii: A doua metodă de găsire a valorii lui  $b$  optimal este următoarea:

Utilizând iar  $g(x) = A \cdot \exp(-(x - (x_1 + x_2) / 2)^2 / b)$ , unde  $x_1$  și  $x_2$  sunt limitele intervalului "de tip nedeterminat", se găsește pentru partea stângă a funcției de aproximare  $g(x_1) = A \cdot \exp(-(x_1 - center)^2 / b_1) = h[x_1]$ , unde  $center$  este  $x_3$ . Atunci  $-(x_1 - center)^2 / b_1 = \log(h[x_1] / A)$  sau  $b_1 = -(x_1 - center)^2 / \log(h[x_1] / A)$  unde  $b_1$  este determinat pentru  $x = x_1$ .

Similar  $b_2$  este determinat pentru  $x = x_2$ :  $-(x_2 - center)^2 / b_2 = \log(h[x_2] / A)$  sau

$$b_2 = -(x_2 - center)^2 / \log(h[x_2] / A).$$

În final, se consideră  $b = (b_1 + b_2)/2$ .

7. Se calculează eroarea  $\varepsilon_{(b)}^2 = \sum_{x_i}^{x_3} (h(x) - Ae^{-(x_i - center)^2/b})$   $i = 1, 2$ , similar pașilor anteriori 4-6.

8. Se compară  $b$  optim determinat la pasul 6 de prima metodă cu cel stabilit pe baza erorii calculate de a doua metodă la pasul 7. Se alege  $b$  care corespunde erorii mai mici (pentru fiecare  $b$  optim se calculează erorile la etapele 6 și 7).

Comentariu. Pașii de mai sus determină și aproximează numai partea de sus (vârfurile) a Gaussienelor, porțiuni de Gaussiene care sunt detectate eronat ca „intervale uniforme”. Pentru segmentele ascendente și, respectiv descrescătoare a Gaussienelor care sunt lăsate ca „nedeterminate” la detectarea intervalelor cu DU, sunt utilizate următoarele etape.

9. Pentru intervalele declarate uniforme în prima etapă a algoritmului, atunci când acestea nu satisfac condiția de la pasul 2, se procedează după cum urmează. Folosind o fereastră cu suprapunere a câte 24 nivele de gri pe histogramă, IF media a 6 nivele de gri de la centru este mai mare decât media a 6 nivele de gri de pe stânga AND media a 6 nivele de gri de la centru este mai mare decât media a 6 nivele de gri din dreapta, THEN intervalul este Gaussian, ELSE, intervalul este considerat constant (DU). Pentru intervale noi Gaussiene, se trece la pasul 4, se determină  $b$  optim și se calculează eroarea în funcție de pașii 4-6.

Comentariu. Următorul pas în algoritm decide dacă pixelii de la limitele intervalelor Gaussiene, aparțin intervalelor cu DU, dacă ar trebui sau nu ar trebui să fie unite la intervale G. Decizia se face pe baza erorii minime de aproximare.

10. Se incrementează cu 1 intervalul Gaussian la stânga; se calculează eroarea pentru Gaussiană și distribuție uniformă. Dacă eroarea de Gaussiană este mai mică, atunci se atașează valoarea nivelului de gri pentru intervalul Gaussian, dacă nu, rămâne în intervalul cu DU și nu se mai încearcă extinderea intervalului la stânga. Apoi, se verifică în același mod la dreapta intervalului. În cazul în care unitatea de extindere a intervalului a fost acceptată la stânga sau la dreapta, atunci se obțin și se păstrează noile Gaussiene și intervale cu DU, care sunt determinate de noile praguri de segmentare.

Mixturile hibride pot fi exprimate ca amestecuri de distribuții pe intervale disjuncte care formează o partajare a intervalului de nivele de gri [0-255]. Alternativ, ele pot fi mixturi aditive, cu distribuții suprapuse pe anumite intervale. Modelele de Mixturi Gaussiene presupun amestecuri aditive cu distribuții suprapuse pe întregul interval [0, 255]. Evident, presupunând o

suprapunere totală se simplifică abordarea matematică la aproximări, dar produce convoluția funcțiilor de distribuție de probabilitate. Noi, coordonatorul științific HN.Teodorescu și eu, nu cunoaștem vreo lucrare care tratează oportunitatea unei astfel de abordări din punct de vedere al observatorului uman. Mai mult decât atât, am observat lipsa de dovezi pentru a susține caracterul adecvat al MMG (model de suprapunere Gauss) pentru imagini, dincolo de confortul tehnic pur. Luând în considerare de exemplu, un singur obiect cu nivele de gri uniforme în intervale mici, pe fond uniform distribuit. Cele două părți ale imaginii, obiect și fundal, nu sunt în nici un fel corelate, de altfel nici o valoare a nivelului de gri a unei părți a imaginii nu este prezentă în altă parte (alt obiect), în acest caz, nu are loc nici o suprapunere. Un alt exemplu de imagine în care distribuțiile pot fi considerate nesuprapuse, Gaussiene truncate sau niveluri de zero pe intervale extinse pe histogramă este *rabbit toy* [154].

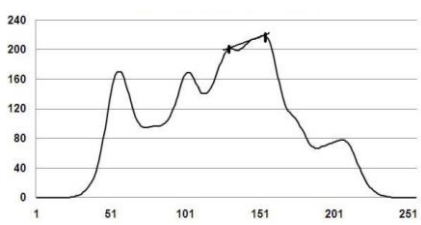

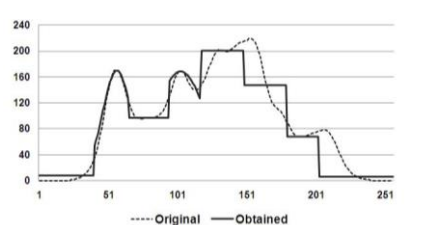

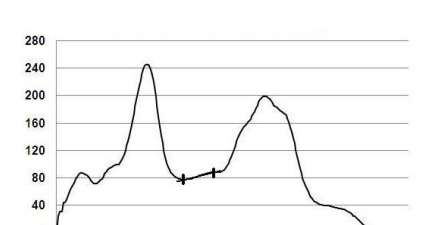

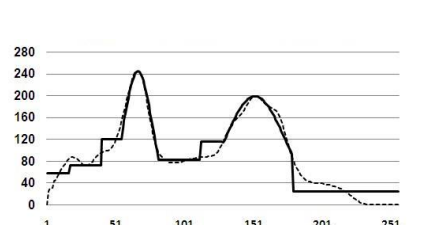

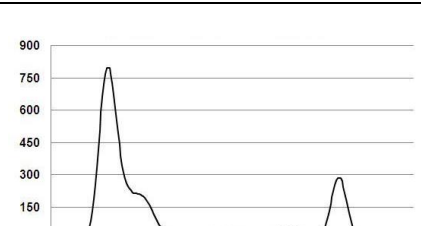
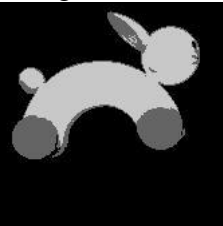
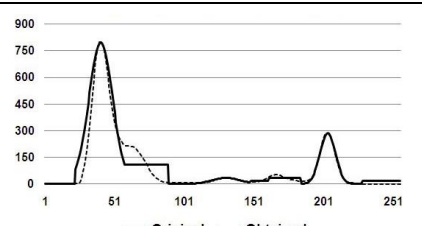
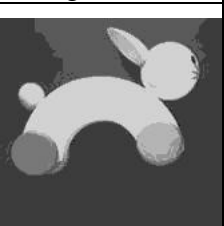
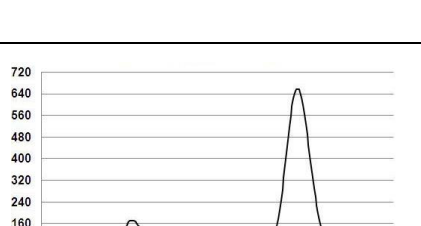
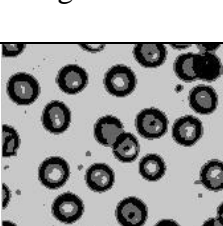
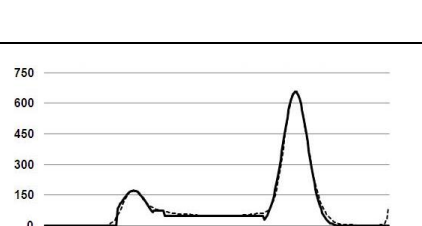
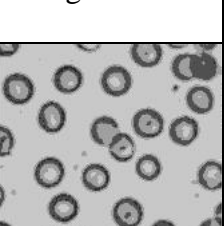
### 2.3.2 Prezentarea rezultatelor obținute

În secțiunile anterioare au fost descrise metoda și algoritmul pentru reprezentarea histogramei ca o funcție pe intervale. Problema cheie a fost determinarea intervalelor  $G$  și  $DU$  pentru reprezentarea pe porțiuni. Ca urmare, aceste intervale se presupune că definesc segmentele de nivele de gri în imagine, care reprezintă de fapt ideea de bază a algoritmului. Rezultatele parțiale și preliminare prezentate în capitolul dat au fost prezentate în [155].

Tabelul 2.6 sintetizează un set de rezultate, inclusiv histograme nivelate, imaginile aferente, aproximările histogramelor, și imaginile segmentate corespunzătoare. Este frapant că pentru imaginea *Lena* care este cea mai prost aproximată, din cauza complicațiilor sale, se obține o segmentare destul de bună, comparativ cu segmentarea prin metoda lui Otsu. De asemenea, se observă că pe histograma pozei *Lena* o parte a Mixturii Gaussiene este aproximată cu o funcție sub formă de scară. Aceeași situație se întâmplă pentru alte histograme, mai ales atunci când două funcții Gauss se suprapun în mare măsură.

Rezultatele obținute de segmentare cu algoritmul GUMM îmbunătățit prezentat în acest subcapitol sunt vizibil mai bune decât cele obținute cu versiunea anterioară a algoritmului. Cu toate acestea am făcut un compromis între complexitatea modelului, care este reprezentat de numărul de distribuții Gaussiene și uniforme în mixtură și sarcina de calcul. De aceea, după cum arată histogramele approximate, aproximarea este imperfectă, mai ales în anumite intervale a nivelurilor de gri. De exemplu, pentru imagini "*Lena*", "*pepper*", și "*rabbit*", sub-intervalele care fac parte din regiunile cu distribuții Gaussiene sunt approximate cu distribuții uniforme.

Tabelul 2.6 Imagini segmentate cu ambele metode

Histograma originală netezită, cu pragurile stabilite de metoda inițială (3 segmente)	Imagine segmentată cu metoda inițială	Histograma originală și cea obținută prin aproximarea distribuțiilor	Imagine segmentată cu noua metodă
1	2	3	4
			
	3 segmente		8 segmente
			
	3 segmente		8 segmente
			
	3 segmente		8 segmente
			
	3 segmente		6 segmente

#### 2.4 Compararea obiectivă a rezultatelor obținute în urma aplicării algoritmului de segmentare propus cu rezultatele altor algoritmi de referință

Evaluarea segmentării se face fie manual, de către experți, fie cu ajutorul mașinii de calcul. Evaluarea supervizată (cu implicarea factorului uman) constă în delimitarea regiunilor de către experți și compararea rezultatelor obținute cu ajutorul unui/unor algoritm/i. Site-ul <http://www.eecs.berkeley.edu/Research/Projects/CS/vision/bsds/> conține imagini segmentate

manual ce pot fi folosite la evaluarea calității segmentării. De exemplu poza cu doi elefanți [http://www.eecs.berkeley.edu/Research/Projects/CS/vision/bsds/bench/gray/ren\\_nips2012\\_gray/296059.html](http://www.eecs.berkeley.edu/Research/Projects/CS/vision/bsds/bench/gray/ren_nips2012_gray/296059.html).

Metoda dată este migăloasă și necesită mult timp, de aceea se tinde spre utilizarea unor indici de evaluare a calității ce ar permite evaluarea non-supervizată (fără implicarea experților).

În cazul evaluării nesupervizate sunt propuse mai multe metrice de evaluare care ar determina omogenitatea regiunilor, diferența valorilor medii dintre regiuni, contrastul dintre regiunea obiect și fundal, numărul prea mare sau prea mic de segmente obținute și altele [156-158]. Un factor important la aprecierea calității segmentării ar fi și evaluarea texturii. Imaginile test pentru această lucrare nu conțin texturi, dar segmentarea bazată pe texturi este larg utilizată [159] iar Sharma M. și Singh S. analizează caracteristicile texturii pentru o determinare precisă a regiunilor [160].

O metodă bună de evaluare a tehnicilor de segmentare trebuie să fie independentă de conținutul și tipul imaginilor. Este necesar să se determine cât mai exact performanța segmentării și să se minimizeze implicarea umană.

În scopul de a face o comparație a rezultatelor obținute folosind metoda propusă cu alte metode din literatură, luăm în considerare în primul rând numărul de segmente obținute [161]. Pentru fiecare metodă numărul de segmente obținute ar trebui să fie același pentru o comparație obiectivă.

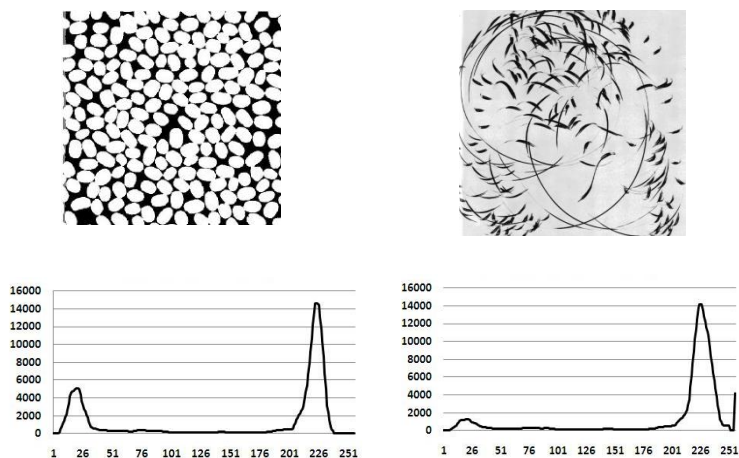


Fig. 2.28. Imaginile sintetice *D75* și *D45* [162] și histogramele lor nivelate

Putem observa că histograma este compusă din două Gaussiane separate de o distribuție uniformă (3 segmente). Avem nevoie deci de două praguri.

Metoda Multithresh [164] recomandă alt număr de praguri și nu putem face o comparație obiectivă între metoda noastră (sau Otsu [163]) și această metodă deoarece numărul de segmente obținute este diferit.

Tabelul 2.8 Pragurile imaginilor sintetice *D75.jpg* și *D45.jpg*

	<b>Pragurile imaginii D75.jpg</b>
<b>Multithresh</b>	0, 17, 73, 113, 153, 231, 255*
<b>Metoda Otsu</b>	0, 25, 70, 255
<b>Metoda propusă</b>	0, 54, 185, 255
	<b>Pragurile imaginii D45.jpg</b>
<b>Multithresh</b>	0, 68, 81, 113, 152, 255**
<b>Metoda Otsu</b>	0, 32, 76, 255
<b>Metoda propusă</b>	0, 36, 185, 255

\* Numărul recomandat de praguri este 6

\*\* Numărul recomandat de praguri este 5

În literatura de specialitate sunt propuse mai multe metode cantitative obiective de evaluare [157-159], inclusiv:

- F, propusă de Liu și Yang;
- F' și Q, indici propuși de Borsotti, Campadelli și Schettini ca o îmbunătățire a funcției F;
- Criteriul de uniformitate elaborat de Levine și Nazif;
- E – indice bazat pe analiză empirică, propus de Zhang et al.

Indicii care sunt implementați la evaluarea obiectivă a rezultatelor sunt prezentați pe scurt mai jos, parafrazând literatura de specialitate [156-158].

**1) Funcția de evaluare propusă de Liu and Yang:**

$$F = \sqrt{N} \sum_{j=1}^N \frac{e_j^2}{\sqrt{S_j}}$$

unde  $N$  este numărul regiunilor obținute după segmentare,  $S_j$  – aria regiunii  $j$  și  $e_j^2$  – eroarea pătratică a culorii (sau nivelului de gri) care se calculează:

$$e_j^2 = \sum_{k \in S_j} (x_k - \bar{x})^2$$

unde  $x_k$  este nivelul de gri al pixelului, și  $\bar{x}$  media nivelelor de gri a regiunii.

Putem observa că  $F$  nu este obiectivă față de un număr redus de segmente sau un număr mare de segmente mici. Funcția  $F$  este 0 atunci când eroarea de culoare este zero pentru toate segmentele, care apare atunci când fiecare pixel este propria sa regiune, numărul mare de regiuni din imaginea segmentată este sancționat doar de măsura la nivel global –  $\sqrt{N}$ .

**2) Funcția  $F'$  propusă de Borsotti, Campadelli și Schettini:**

$$F' = \frac{1}{1000 \cdot S_I} \sqrt{\frac{\text{MaxArea}}{\sum_{a=1} [N(a)]^{1+1/a}} \sum_{j=1}^N \frac{e_j^2}{\sqrt{S_j}}}$$

unde  $S_I$  – suprafața imaginii;

$N(a)$  – denotă numărul regiunilor din imaginea segmentată care au o arie de mărimea exact  $a$ ;

$\text{MaxArea}$  – aria celei mai mari regiuni.

$F'$  este mai bună decât  $F$  când imaginea segmentată reprezintă o mulțime de regiuni cu un număr mic de pixeli.

**3) Criteriul definit de Borsotti**

$$Q = \frac{1}{10000 \cdot S_I} \sqrt{N} \sum_{j=1}^N \left( \frac{e_j^2}{1 + \log S_j} + \left( \frac{N(S_j)}{S_j} \right)^2 \right)$$

unde  $N(S_j)$  – indică numărul de regiuni din imaginea segmentată ce au o suprafață exact  $S_j$ .

Segmentarea cu un număr mare de regiuni nu este penalizată așa puternic. Putem concluziona că criteriul este:

- foarte obiectiv față de regiunile cu suprafețe mari. Nu sunt penalizate însă regiunile mari ce conțin mici variații de culoare, adică cele uniforme.
- conține al doilea termen care reprezintă o însumare ce are de obicei o valoare foarte mică în comparație cu primul termen, deci are un efect neglijabil asupra rezultatelor evaluării.

**4) Criteriul de uniformitate definit de Levine și Nazif [157]:**

$$Lev = \sum_j \sum_{x \in R_j} \left( f(x) - \frac{1}{S_j} \sum_{x \in R_j} f(s) \right)^2 = \sum_j \frac{\sigma_j^2}{C}$$

$f(x)$  – intensitatea pixelului  $x$

$C$  – coeficientul normalizat, egal cu varianța maximă posibilă

$$C = \frac{(f_{\max} - f_{\min})^2}{2}$$



Acest criteriu calculează suma raporturilor dintre deviația standard normalizată a fiecărei regiuni și contrastul acelei regiuni dat de coeficientul normalizat  $C$ .

### 5) Metoda de evaluare bazată pe entropie [156]

După cum spun autorii entropia este o măsură a ‘dezordinii’ dintr-o regiune și este o caracteristică naturală inclusă într-o metodă de evaluare a segmentării.

Entropia pentru regiunea  $j$  este definită ca:

$$H_v(R_j) = -\frac{L_j(m)}{S_j} \log \frac{L_j(m)}{S_j}$$

unde  $L_j(m)/S_j$  reprezintă probabilitatea ca un pixel din regiunea  $R_j$  să aibă luminanța de valoarea  $m$ .

Notația  $H_v(R_j)$  a fost redusă la forma  $H(R_j)$  cu caracteristici implicite,  $v$  fiind luminanța. Zhang H. et al. definesc entropia regiunilor (expected region entropy) imaginii  $I$  ca:

$$H_r(I) = \sum_{j=1}^N \left( \frac{S_j}{S_I} \right) H(R_j),$$

și entropia structurii (the layout entropy) :

$$H_l(I) = -\sum_{j=1}^N \left( \frac{S_j}{S_I} \right) \log \frac{S_j}{S_I}.$$

Autorii propun să combine atât entropia structurii (the layout entropy) cât și entropia regiunilor (the expected region entropy) pentru a măsura eficiența unei metode de segmentare:

$$E = H_l(I) + H_r(I).$$

Pentru imagini naturale (imagini standard de testare), se determină pragurile, care reprezintă limitele Gaussienelor și a intervalelor uniforme, dar nu au fost obținute la fel de bune rezultate ca și pentru imaginile sintetice.

Tabelul 2.9 Evaluarea cantitativă a imaginii segmentate *butterfly* [133] folosind diferite metode

<b>Indici</b>	<i>Multithresh</i>	<i>Metoda Otsu</i>	<i>Metoda propusă</i>
<b>F</b>	333665	189539	278709
<b>F'</b>	0.0026	0.0015	0.0021
<b>Q</b>	0.0109	0.0040	0.0080
<b>Lev</b>	1.37	1.23	1.21
<b>E</b>	7.5	6.96	7.24

Mai multe detalii sunt în [165]. Vizual este dificil de evaluat care rezultate sunt mai bune, respectiv care metodă de segmentare este mai eficientă. Parametrii cantitativi facilitează evaluarea metodelor, permit elaborarea unei concluzii obiective.

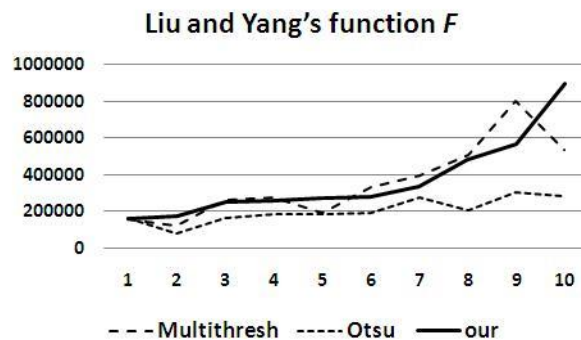


Fig. 2.29. Reprezentarea rezultatelor utilizând funcția de evaluare propusă de Liu și Yang

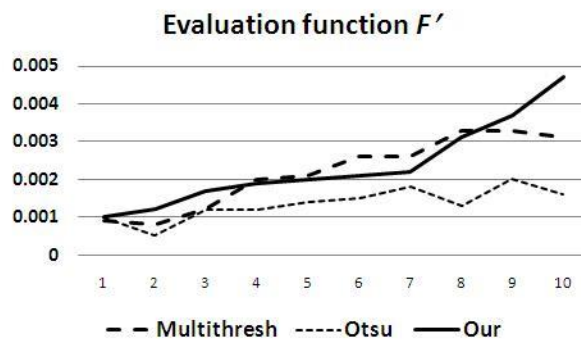


Fig. 2.30. Reprezentarea rezultatelor utilizând funcția de evaluare  $F'$

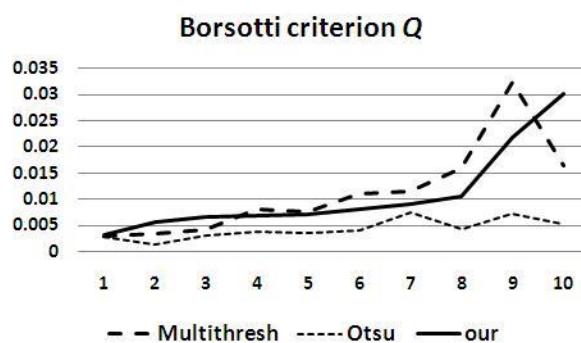


Fig. 2.31. Reprezentarea rezultatelor utilizând criteriul propus de Borsotti

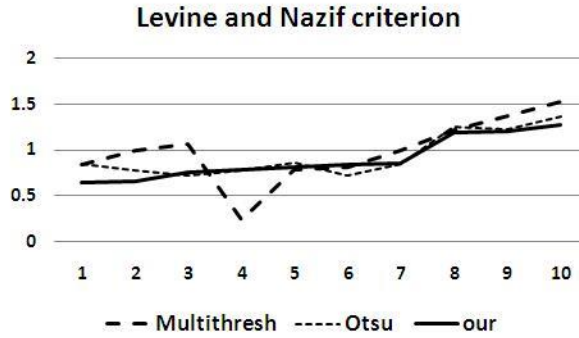


Fig. 2.32. Reprezentarea rezultatelor utilizând criteriul lui Levine și Nazif

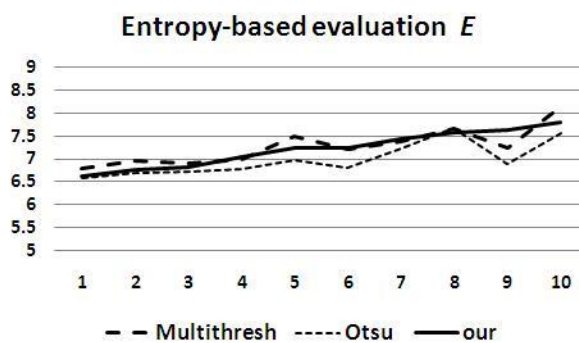


Fig. 2.33. Reprezentarea rezultatelor utilizând metoda de evaluare bazată pe entropie

Conform criteriului de eficiență, metoda propusă este una simplă, cu consum minim de resurse și computațional rapidă. Rezultatele obținute prezentate sunt numeric apropiate de cele obținute cu cele ale metodelor de referință. Prin urmare, se poate confirma că metoda este eficientă și satisfăcătoare.

Calitatea rezultatelor validează în mod indirect utilizarea Modelului de Mixturi Uniforme și Gaussiene (G-U-MM) propuse în documentele noastre anterioare [147, 149].

## 2.5 Concluzii la capitolul 2

Segmentarea este o etapă esențială în procesarea imaginilor, de rezultatele obținute în urma acestei etape depinde calitatea interpretării scenei de către calculator (metoda nesupervizată). Datorită multitudinii tipurilor de imagini (naturale, prin satelit, medicale) și a factorilor (iluminare neuniformă, zgomot) ce pot influența reprezentarea obiectelor în scenă nu a fost elaborată încă o metodă unică de segmentare care să permită obținerea rezultatelor satisfăcătoare pentru orice tip de imagine.

După preprocesare se alege metoda de segmentare: bazată pe clasificarea pixelilor, de determinare a conturilor sau orientată pe regiuni în dependență de caracteristicile necesare de

extras: forme, contururi, regiuni, texturi, text etc. La alegerea dată mai contează și tipul imaginii, și spectrul de culoare. De exemplu, imaginile ultrasonore sunt procesate cu metode mai complexe utilizând domeniul wavelet. Pentru imaginile test gri cele mai eficiente (complexitate redusă și rapiditate computațională) sunt metodele bazate pe clasificarea pixelilor – prăguirea și clusterizarea, pentru cele color – metodele orientate pe regiuni. Metodele de determinare a conturilor sunt deopotrivă utilizate, deoarece ele sunt bazate pe determinarea tranziției valorilor de culoare (nivele de gri) ceea ce e efectiv pentru ambele cazuri.

Zgomotul impulsional (sare și piper) influențează într-o mai mare măsură metodele bazate pe histogramă. Toți pixelii cu valoarea 0 (negru) sunt atribuiți unei zone, iar cei cu valoare maximă (255- alb) altei zone. Un alt dezavantaj al metodelor bazate pe histogramă este faptul că segmentele obținute nu reprezintă regiuni omogene adiacente.

La aplicarea metodelor de determinare a conturilor/muchiilor, deseori se obțin contururi multiple sau contururi false. Din cauza unei iluminări neuniforme (umbre, pete de lumină) muchiile obiectelor din scenă ar putea fi reprezentate cu linii întrerupte, ceea ce duce la o interpretare eronată a scenei.

Metodele de segmentare orientate pe regiuni sunt consumatoare de timp (fiecare pixel din imagine este comparat cu un pixel ales aleatoriu (centroid, germene) și se verifică similaritatea pentru a forma zone omogene). Este mai eficientă pentru imaginilor color.

Complexitatea algoritmului de segmentare reprezintă un compromis între timpul consumat la implementare și acuratețea necesară a rezultatelor.

S-a sugerat că utilizarea mixturilor cu două tipuri de distribuții elementare pentru modelarea distribuției nivelurilor de gri sau de culoare într-o imagine, este o modalitate mai simplă de aproximare a histogramei și mai mult, permite obținerea de rezultate mai bune la segmentare. În plus, rezultatele de segmentare, uneori, sunt mai aproape de conținutul semantic din imagine. Distribuția mixtă specifică propusă în contextul de segmentare a imaginilor este G-U-MM. Alegerea sa s-a bazat pe analiza empirică a unui set de histograme a imaginilor test.

A fost prezentată o explicație detaliată pentru rațiunea modelelor G-U-MM propuse ca un fundament al procesului de segmentare. Procedura de segmentare propusă se bazează direct pe clasa de modele G-U-MM. O aproximare pe porțiuni a fost utilizată pentru histograme; reprezentarea pe porțiuni conectează direct la segmentare.

Algoritmii de calcul sunt computațional eficienți. Algoritmul de bază este semi-euristic deoarece își are rădăcinile în funcția de aproximare. La un anumit nivel de rafinare a aproximării se folosește euristica pentru a reduce sarcina de calcul. Comparativ cu metoda propusă în

lucrările noastre anterioare pe această temă, s-a demonstrat corectitudinea procedurii și a fost îmbunătățită pentru a elimina confuzia între vârful plat al unei distribuții Gaussiene și a unei distribuții uniforme.

Analiza rezultatelor de segmentare a fost efectuată utilizând indici de calitate [155]. Compararea dintre valorile acestor indici, obținute cu metoda propusă și obținute cu segmentarea Otsu arată că segmentarea este îmbunătățită prin utilizarea metodei G-U-MM pentru unele imagini tipice, dar nu pentru toate.

### 3. ALGORITMI DE RECUNOAȘTERE A FORMELOR ȘI CLASIFICARE AUTOMATĂ A IMAGINILOR ÎN APLICAȚII CU IMAGINI DIGITALE

#### 3.1 Clasificarea automată a datelor bazată pe separare liniară

Secțiunea următoare este o parafrază a articolului „Algorithm for linear pattern separation” [166], publicat în „Meridianul Ingineresc” No. 2, 2013.

Problema separării liniare a mulțimilor este un concept important în analiza datelor. Această teorie este utilizată pe scară largă și este aplicată în multe domenii, cum ar fi: recunoașterea formelor, luarea deciziilor, diagnosticarea bolilor, biometrie, tratarea automată a documentelor ș.a.

Fie date două mulțimi de obiecte (atribute):

$$A = \{a^1, a^2, \dots, a^m\}$$

$$B = \{b^1, b^2, \dots, b^k\}$$

unde  $a^i, b^j \in R^n$  pentru  $\forall i = 1, 2, \dots, m, \forall j = 1, 2, \dots, k$  și  $A \cap B = \emptyset$ .

Scopul separării liniare este de a construi funcția de decizie de forma:

$$f(x) = w^T x - w_0$$

care împarte spațiul  $R^n$  în două submulțimi astfel încât

$$f(a^i) < 0 \text{ și } f(b^j) > 0$$

pentru  $\forall i \in A$  și  $\forall j \in B$ .

Aici  $w$  este un vector coloană din  $R^n$ , iar  $w_0$  este un scalar:  $w_0 \in R$ . Simbolul „T” semnifică operația de transpunere, astfel toți vectorii sunt vectori coloană.

Separarea (clasificarea) poate fi formulată ca o problemă de programare pătratică. În această secțiune se propune abordarea a trei modele ale separării liniare. Pentru unul din aceste modele se propune o procedură efectivă de rezolvare numerică.

##### 3.1.1 Modelul de separare maximă [167]

Se caută un hiperplan

$$w^T x - w_0 = 0 \quad (1)$$

pentru care se maximizează distanța minimă până la orice punct din mulțimile A și B.

Distanța de la punctul  $z \in R^n$  până la hiperplanul (1) este egală cu

$$d(z) = \frac{f(z)}{\|w\|} = \frac{w^T z - w_0}{\|w\|}.$$

Aici și în continuare  $\|\cdot\|$  este norma euclidiană. Astfel

$$d(a^i) = \frac{w_0 - w^T a^i}{\|w\|}, \quad d(b^i) = \frac{w^T b^i - w_0}{\|w\|},$$

$d_{\min} = \min \{d(a^1), d(a^2), \dots, d(a^m), d(b^1), \dots, d(b^k)\}$  Problema revine la maximizarea mărimii  $d_{\min}$  ceea ce este echivalentă cu următoarea problemă :

$$\left. \begin{array}{l} \delta \rightarrow \min, \\ \text{referitorla :} \\ w_0 - w^T a^i \geq \delta \|w\|, i = 1, 2, \dots, m \\ w^T b^i - w_0 \geq \delta \|w\|, i = 1, 2, \dots, k. \end{array} \right\} \quad (2)$$

Problema (2) este o problemă neliniară (neconvexă) față de necunoscutele  $\delta \in R$ ,  $w_0 \in R$ ,  $w \in R^n$ .

Se va impune următoarea restricție:  $\|w\|=1$ . Atunci, introducând variabilele

$$u = \frac{w}{\delta} \in R^n \quad \text{și} \quad v = \frac{w_0}{\delta} \in R,$$

problema (2) este echivalentă următoarei probleme:

$$\left. \begin{array}{l} \frac{1}{2} u^T u \rightarrow \min \\ \text{referitorla :} \\ [b^i]^T u - v \geq 1, i = 1, 2, \dots, k, \\ -[a^i]^T u + \delta \geq 1, i = 1, 2, \dots, m, \\ u \in R^n, v \in R. \end{array} \right\} \quad (3)$$

Problema (3) este o problemă convexă de programare pătratică cu  $(n+1)$  variabile și  $(m+k)$  restricții liniare. Dacă  $u^* \in R^n$  și  $v^* \in R$  este soluție optimă a problemei (3), atunci soluția problemei (2) este:

$$w^* = \frac{u^*}{\|u^*\|}, \quad w_0^* = \frac{v^*}{\|u^*\|}, \quad \delta^* = \frac{1}{\|u^*\|}.$$

Vectorul  $w^*$  este perpendicular pe hiperplanul considerat și are lungimea egală cu 1, iar mărimea  $w_0^*$  este distanța cea mai mică dintre hiperplan și originea sistemului de coordonate.

### 3.1.2 Support Vector Machines (SVM) [168]

În această metodă elementele din mulțimea  $A$  sunt etichetate cu  $t = -1$ , iar elementele din mulțimea  $B$  cu  $t = 1$ . Cu alte cuvinte

$$t(x) = \begin{cases} -1, & \text{dacă } f(x) < 0, \\ +1, & \text{dacă } f(x) > 0, \end{cases}$$

$$\text{adică } \left. \begin{aligned} w^T x - w_0 < 0, & \text{dacă } t(x) = -1, \\ w^T x - w_0 > 0, & \text{dacă } t(x) = +1 \end{aligned} \right\} \quad (4)$$

Se observă că hiperplanul (1) nu se va schimba, dacă  $w$  și  $w_0$  este înmulțit cu aceeași constantă pozitivă. Este comod de ales această constantă astfel încât

$$\left. \begin{aligned} w^T a^i - w_0 &= -1, \quad i = 1, 2, \dots, m, \\ w^T b^i - w_0 &= +1, \quad i = 1, 2, \dots, k. \end{aligned} \right\}$$

Astfel luând în considerație (4) se poate scrie

$$t(x^i)(w^T x^i - w_0) \geq 1, \quad \forall x^i \in A \cup B.$$

Determinarea hiperplanului optim de separare se reduce la rezolvarea problemei:

$$\left. \begin{aligned} \frac{1}{2} w^T w &\rightarrow \min \\ \text{referitor la:} & \\ t(x^i)(w^T x^i - w_0) &\geq 1, \quad \forall x^i \in A \cup B. \end{aligned} \right\} \quad (5)$$

Problema (5) este asemănătoare problemei (3). Constrângerile problemei (5) asigură faptul că în soluția optimă  $w^*$ ,  $w_0^*$  avem:

$$f(x^i) = \begin{cases} +1, & \text{pentru } t(x^i) = 1, \\ -1, & \text{pentru } t(x^i) = -1. \end{cases}$$

### 3.1.3 Reformularea în termenii programării pătratice convexe

Fie învelișurile convexe ale mulțimilor  $A$  și  $B$ :

$$\text{conv}(A) = \left\{ x : x = \sum_{i=1}^m \alpha_i a^i, \sum_{i=1}^m \alpha_i = 1, \alpha_i \geq 0, i = 1, 2, \dots, m \right\},$$



$$\text{conv}(B) = \left\{ y: y = \sum_{i=1}^k \beta_i b^i, \sum_{i=1}^k \beta_i = 1, \beta_i \geq 0, i = 1, 2, \dots, k \right\}$$

Atunci problema separării optime a mulțimilor  $A$  și  $B$  poate fi formulată astfel:

$$\left. \begin{array}{l} \frac{1}{2} \|x - y\|^2 = \frac{1}{2} (x - y)^T (x - y) \rightarrow \min \\ \text{referitorla:} \\ \sum_{i=1}^m \alpha_i = 1, \alpha_i \geq 0, i = 1, 2, \dots, m, \\ \sum_{i=1}^k \beta_i = 1, \beta_i \geq 0, i = 1, 2, \dots, k. \end{array} \right\} (6)$$

Fie matricele  $U_{m \times m}$ ,  $V_{k \times k}$  și  $Z_{m \times k}$  definite în felul următor:

$$U_{m \times m} = \begin{pmatrix} (a^1, a^1) & (a^1, a^2) & \dots & (a^1, a^m) \\ (a^2, a^1) & (a^2, a^2) & \dots & (a^2, a^m) \\ \dots & \dots & \dots & \dots \\ (a^m, a^1) & (a^m, a^2) & \dots & (a^m, a^m) \end{pmatrix}$$

$$V_{k \times k} = \begin{pmatrix} (b^1, b^1) & (b^1, b^2) & \dots & (b^1, b^k) \\ (b^2, b^1) & (b^2, b^2) & \dots & (b^2, b^k) \\ \dots & \dots & \dots & \dots \\ (b^k, b^1) & (b^k, b^2) & \dots & (b^k, b^k) \end{pmatrix}$$

$$Z_{m \times k} = \begin{pmatrix} (a^1, b^1) & (a^1, b^2) & \dots & (a^1, b^k) \\ (a^2, b^1) & (a^2, b^2) & \dots & (a^2, b^k) \\ \dots & \dots & \dots & \dots \\ (a^m, b^1) & (a^m, b^2) & \dots & (a^m, b^k) \end{pmatrix}$$

Notăm:

$$\gamma = (\alpha_1, \alpha_2, \dots, \alpha_m, \beta_1, \beta_2, \dots, \beta_k)^T \in \mathbb{R}^{m+k},$$

$$Q = \begin{pmatrix} U_{m \times m} & -Z_{m \times k} \\ -Z_{k \times m}^T & V_{k \times k} \end{pmatrix}, \quad B = \begin{pmatrix} 1 & 1 & \dots & 1 & 0 & 0 & \dots & 0 \\ \underbrace{0 & 0 & \dots & 0}_{m \text{ ori}} & \underbrace{1 & 1 & \dots & 1}_{k \text{ ori}} \end{pmatrix},$$

$$e = \begin{pmatrix} 1 & 1^T \end{pmatrix}.$$

Matricele  $U_{m \times m}$ ,  $V_{k \times k}$  și  $Q$  sunt pozitiv semidefinite.

Cu aceste notații problema (6) devine:

$$\left. \begin{array}{l} \frac{1}{2} \gamma^T Q \gamma \rightarrow \min \\ \text{referitorla :} \\ B \gamma = e, \\ \gamma \geq 0. \end{array} \right\} \quad (7)$$

Se menționează că funcția scop depinde doar de produsul scalar între vectorii  $a^i$  și  $b^j$ .

Problema (7) este o problemă de programare convexă și deci are o soluție globală optimă.

### 3.1.4 Reducerea SVM la o problemă de rezolvare a unui sistem de ecuații

Utilizând teorema Kunh-Tucker, se demonstrează că duala problemei (5) este:

$$\left. \begin{array}{l} \frac{1}{2} \gamma^T Q \gamma - \sum_{i=1}^{m+k} \gamma_i \rightarrow \min \\ \text{referitorla :} \\ \sum_{i=1}^{m+k} t(x_i) \gamma_i = 0, \\ \gamma_i \geq 0, \forall i = 1, 2, \dots, m+k. \end{array} \right\} \quad (8)$$

Vectorii  $a^i, b^i$  pentru care  $\gamma_i > 0$  se numesc vectori suport.

Se constată că problemele (7) și (8) dau unul și același rezultat. În cele ce urmează se va arăta cum problema (7), care este echivalentă cu problema (8), poate fi redusă la rezolvarea unui sistem de ecuații pătratice.

Dacă  $\gamma^* \in R^{m+k}$  este o soluție optimă a problemei (7) atunci există  $\lambda^* \in R^2$  astfel încât:

$$\left. \begin{array}{l} B \gamma^* = e, \\ \Gamma^* (Q \gamma^* + B^T \lambda^*) = 0, \\ \gamma_i^* = 0 \Rightarrow [Q \gamma^* + B^T \lambda^*]_i \geq 0, \forall i. \end{array} \right\}$$

unde  $\Gamma = \text{Diag}(\gamma)$  matricea diagonală:

$$\Gamma = \begin{pmatrix} \gamma_1 & \dots & 0 \\ \vdots & \ddots & \vdots \\ 0 & \dots & \gamma_{m+k} \end{pmatrix},$$

iar notația  $[c]_i$  aici și în continuare semnifică componenta  $i$  a vectorului  $c$ .

Notăm  $G = \text{Diag}(Q \gamma + B^T \lambda)$  și

$$F(\gamma, \lambda) = \begin{pmatrix} \Gamma (Q \gamma + B^T \lambda) \\ B \gamma - e \end{pmatrix}.$$

Astfel problema (7) se reduce la rezolvarea sistemului de ecuații și inecuații:

$$\left. \begin{array}{l} F(\gamma, \lambda) = 0, \\ \gamma \geq 0, G \geq 0. \end{array} \right\}$$

Teorema. Pentru  $\forall \gamma \in D = \{\gamma : B\gamma = e, \gamma \geq 0\}$  matricea Jacobiană

$$\nabla F = \begin{pmatrix} G + \Gamma Q & \Gamma B^T \\ B & 0 \end{pmatrix}$$

este nesingulară.

Demonstrarea acestei teoreme este analoagă demonstrației **Teoremei 1** din [169].

Definim acum funcțiile  $p, q : R \rightarrow R_+$

$$p(x) = x^2 \max(0, x) = \frac{1}{2}(x^3 + |x|x^2), \quad q(x) = -x^2 \min(0, x) = -\frac{1}{2}(x^3 - |x|x^2).$$

Funcțiile  $p(x)$  și  $q(x) = p(-x)$  sunt de două ori continuu diferențiabile:

$$p'(x) = \frac{3}{2}(x^2 + |x|x), \quad p''(x) = 3(x + |x|),$$

$$q'(x) = \frac{3}{2}(-x^2 + |x|x), \quad q''(x) = 3(-x + |x|).$$

Se constată cu ușurință că:

$$\begin{cases} p(x)q(x) = 0, & p'(x)q'(x) = 0, \\ p''(x)q''(x) = 0, & \forall x \in R. \end{cases}$$

$$\begin{cases} p(x) + q(x) > 0, & p'(x) + q'(x) \neq 0, \\ p''(x) + q''(x) > 0, & \forall x \neq 0. \end{cases}$$

$$\begin{cases} p(x) = 0 & \text{dacă și numai dacă } p'(x) = 0, \\ q(x) = 0 & \text{dacă și numai dacă } q'(x) = 0. \end{cases}$$

Luând acestea în considerație și introducând variabilele auxiliare  $\eta_1, \eta_2, \dots, \eta_m$ ,  $\mu_1, \mu_2, \dots, \mu_k$ ,  $\lambda_1$  și  $\lambda_2$  problema (7) poate fi redusă la rezolvarea unui sistem din  $2(m+k+1)$  ecuații cu tot atâtea necunoscute [169]:

$$\left. \begin{aligned} p(\eta_i) &= \alpha_i, i = 1, 2, \dots, m, \\ q(\eta_i) &= \left[ U_{m \times m} \alpha - Z_{m \times k} \beta + \lambda^1 \right]_j, \\ i &= 1, 2, \dots, m, \\ p(\mu_i) &= \beta_i, i = 1, 2, \dots, k, \\ q(\mu_i) &= \left[ -Z_{m \times k} \alpha + V_{k \times k} \beta + \lambda^2 \right]_j, \\ i &= 1, 2, \dots, k, \\ B\gamma &= e. \end{aligned} \right\} \quad (9)$$

Aici s-a notat

$$\lambda^1 = (\lambda_1, \lambda_1, \dots, \lambda_1)^T \in R^m, \quad \lambda^2 = (\lambda_2, \lambda_2, \dots, \lambda_2)^T \in R^k.$$

Sistemul (9) poate fi redus doar la  $(m+n+2)$  ecuații cu  $(m+n+2)$  necunoscute, înlocuind vectorii  $\alpha$  și  $\beta$  cu ajutorul funcțiilor  $p$  și  $q$ :

$$\alpha = (p(\eta_1), p(\eta_2), \dots, p(\eta_m))^T, \quad \beta = (p(\mu_1), p(\mu_2), \dots, p(\mu_k))^T.$$

Metoda cea mai cunoscută pentru rezolvarea sistemelor neliniare de ecuații (9) este metoda Newton [170]. Metoda lui Newton are proprietăți teoretice și practice foarte atractive, datorită convergenței rapide a acesteia: sub nonsingularitatea matricei Jacobiane aceasta va converge la nivel local superlinear.

Fie

$$\alpha^* = (\alpha_1^*, \alpha_2^*, \dots, \alpha_m^*)^T \quad \text{și} \quad \beta^* = (\beta_1^*, \beta_2^*, \dots, \beta_k^*)^T$$

soluția optimă a problemei (8). Atunci funcția de decizie este dată de:

$$f(x) = \frac{2}{\|x^* - y^*\|^2} \left[ (x^* - y^*)^T x - \|x^*\|^2 + \|y^*\|^2 \right],$$

unde

$$x^* = \sum_{i=1}^m \alpha_i^* a^i, \\ y^* = \sum_{i=1}^k \beta_i^* b^i.$$

Secțiunea 3.1.4 conține o viziune generală matematică a problemei de separare a două mulțimi de date. Metodele de clasificare se bazează pe căutarea unui hiperplan care separă optim mulțimile considerate. Un loc aparte îl ocupă SVM introdus în anul 1995 de către Vapnik V. și discutat în literatura de specialitate de mulți cercetători [171].

S-a propus reformularea condițiilor de optimalitate Kunh-Tucker într-un sistem echivalent de ecuații neliniare (cubice) netede. Sistemul de ecuații poate fi rezolvat eficient cu ajutorul metodei Newton. În vecinătatea soluției optime  $\gamma^*$  viteza de convergență a șirului Newton este supraliniară. Exemplele numerice arată că metoda propusă este promițătoare.

Această metodă permite clasificarea obiectelor doar în două clase, de ex: ambalaje reciclabile sau nereciclabile. Pentru o clasificare mai detaliată s-a creat un sistem hibrid de clasificare ce permite o clasificare mai detaliată.

### **3.2 Un sistem de clasificare automată bazat pe reguli fuzzy**

Metoda de clasificare automată propusă în această lucrare include patru pași de bază. La primul pas se identifică, dacă există, simbolul de pericol pe etichetă cu ajutorul *Coefficientului de Corelație Normalizat (CCN)* și a unui *Algoritm Genetic (AG)*. Dacă eticheta conține unul din simbolurile de pericol ambalajul este considerat periculos și este scos de pe banda ambalajelor pentru reciclare. Pasul 2 constă în extragerea caracteristicilor ambalajelor și include un algoritm de urmărire a conturului și un algoritm de extragere a semnăturii (distanța dintre centroid și contur). La această etapă se aplică operatorii morfologici: dilatarea și erodarea pentru a obține o formă completă (fără găuri) și se calculează perimetrul și aria formei. Un alt parametru al sistemului fuzzy: simetria formei este determinată pe baza semnăturii. Pasul 3 include un sistem de decizie cu logica fuzzy, care pe baza variabilelor de intrare fuzzy: formă, dimensiune, simetrie grupează ambalajele în trei clase: reciclabil, periculos și nedeterminat. La pasul 4 pe baza funcției diferență a semnăturilor se confirmă sau se infirmă decizia luată la pasul anterior.

Baza de date utilizată de sistemul de clasificare automată elaborat (ca date de intrare) reprezintă imagini captate ale ambalajelor din plastic cu diferit conținut (inclusiv periculos pentru mediu și sănătatea omului), baterii, PET-uri, flacoane sub presiune etc. ce necesită colectare specială și nu pot fi aruncate cu deșeurile menajere.

Se cunoaște sortarea mecanică, aerulică, spectroscopia în infraroșu și detectarea cu raze X pentru plastic (e posibilă chiar și diferențierea tipurilor PVC, PET, etc.), dar cea mai eficientă sortare în prezent este sortarea manuală. Personalul de sortare poate separa sticle de diferită culoare, hârtie de diferită calitate, deșeuri periculoase etc. Această metodă este costisitoare atât ca cost cât și ca timp. O posibilitate de mărire a randamentului de selectare este utilizarea Sistemelor Suport de Decizie semiautomate [172-174]. Se cunosc implementări de sortare optică prin aplicarea algoritmilor de recunoaștere a imaginilor digitale [175-176].

Obiectivul principal al SSD elaborate pentru sortarea deșeurilor depinde de problemele critice cu care se confruntă o anumită societate, țară. Mulți cercetători au aplicat posibilitățile de gestionare a deșeurilor: valorificarea materialelor prin reciclare/ reutilizare (hârtie, plastic, metale etc.), incinerarea, compostarea și depozitarea deșeurilor periculoase.

### 3.2.1 Metodă hibridă bazată pe coeficientul de corelație normalizat și algoritm genetic

Potrivirea șablonului cu imaginea de referință este o tehnică în prelucrarea digitală a imaginii și reprezintă identificarea potrivirii unei mici părți a imaginii (imaginea șablon) cu imaginea de referință. Ea se bazează pe:

1. calcularea corelării din domeniul spațial sau de frecvență, în funcție de dimensiunea imaginilor. Utilizarea corelării pentru potrivirea șablonului se motivează prin distanța euclidiană la pătrat [177].

$$d_{f,t}^2(u,v) = \sum_{x,y} [f(x,y) - t(x-u, y-v)]^2$$

unde  $f$  este imaginea și suma depășește  $x, y$  sub fereastra conținând caracteristica  $t$  poziționată pe  $u, v$ .

2. Calcularea sumelor locale prin calculul preventiv al sumelor ce rulează. Dacă se extinde formula  $d^2$  și apoi se reduc termenii constanți, rămân termenii de corelație:

$$c(u,v) = \sum_{x,y} f(x,y) - t(x-u, y-v)$$

$c(u,v)$  reprezintă măsura de similaritate între imagine caracteristică.

3. utilizarea sumelor locale pentru a normaliza corelația și pentru a obține coeficienții de corelație. Coeficientul de corelație depășește dependența de dimensiune a caracteristicii prin normalizarea imaginii și vectorilor de caracteristici la unitatea de lungime, rezultând un coeficient de corelație cum ar fi:


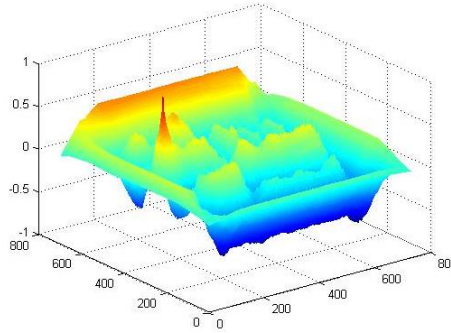


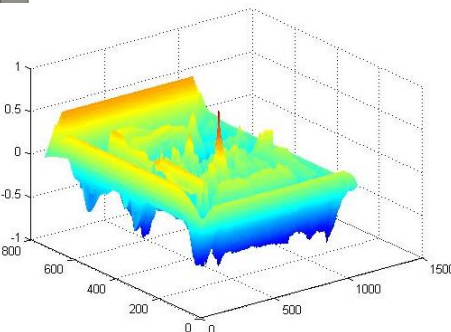

$$\gamma(u,v) = \frac{\sum_{x,y} [f(x,y) - \bar{f}_{u,v}][t(x-u, y-v) - \bar{t}]}{\left( \sum_{x,y} [f(x,y) - \bar{f}_{u,v}]^2 \sum_{x,y} [t(x-u, y-v) - \bar{t}]^2 \right)^{0.5}}$$

unde  $\bar{t}$  este media șablonului,  $\bar{f}_{u,v}$  este media  $f(x,y)$  din regiunea în conformitate cu șablonul.

$\gamma(u,v)$  reprezintă auto-corelația normalizată – *normalized cross-correlation (NCC)*.

NCC nu este variabilă în conformitate cu scalarea, rotirea și distorsionarea imaginilor. Una dintre soluții este determinarea maximului de auto-corelație și presupunerea lui ca centru al suprapunerii șablonului cu imaginea.

Tabelul 3.1 Identificarea semnelor de pericol de pe ambalaje utilizând NCC

Șablonul și imaginea	Alegerea corelației	Suprapunerea șablonului pe imagine
		
		


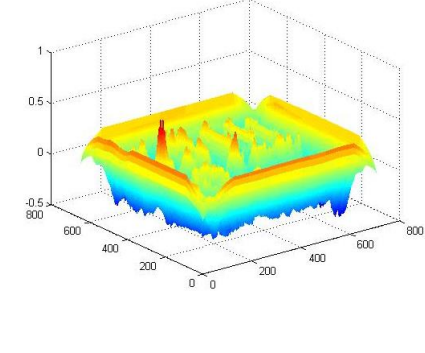


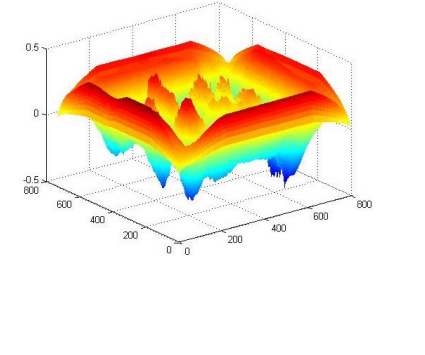


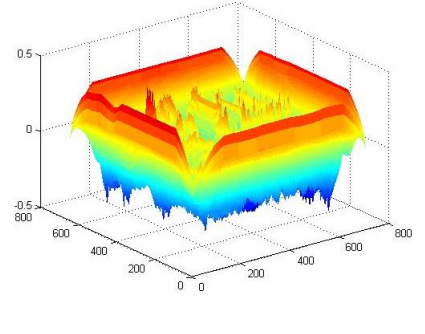

În ambele exemple de mai sus șablonul este un fragment din imagine și poate fi observată o potrivire maximă. În exemplul de mai jos șablonul [preluat de pe <http://www.ilo.org/legacy/english/protection/safework/cis/products/safetytm/clasann1.htm>] are o scară diferită cu imaginea, când scara este aproape de cea a imaginii (până la 10%) se observă o potrivire mai slabă, dar suficientă pentru a determina eticheta.

Valoarea de corelație este între -1 și 1, valorile mai mari reprezentând o mai bună potrivire între cele două imagini (șablon și fragmentul din imagine), dacă nu am stabili un prag de corelație (de exemplu, > 0,6) riscăm obținerea unor rezultate false. Pentru un coeficient de corelație de valoare mai mică decât 0.6 putem considera gradul de potrivire între șablon și imaginea de referință ca fiind nesemnificativ și se pot efectua verificări suplimentare.

În cazul în care dimensiunea șablonului este mult diferită decât cea a imaginii pe care se suprapune se obțin rezultate greșite.

Pentru a obține rezultate satisfăcătoare folosind această metodă trebuie să luăm în considerare pragul de corelație și scara imaginilor.

Tabelul 3.2 Dificultăți la identificarea semnelor de pericol de pe ambalaje utilizând NCC

Șablonul și imaginea	Alegerea corelației	Suprapunerea șablonului pe imagine
		
		
		

Metoda de potrivire a șablonului cu imaginea scenă este îmbunătățită cu ajutorul unui algoritm genetic pentru a testa în mod automat potrivirea mai multor poziții (rotirea șablonului) și ajustarea dimensiunii (scalarea) șablonului. Algoritmul reprezintă o potrivire a șablonului bazată pe un proces în doi pași, corelație și algoritm genetic [178]. Pentru îmbunătățirea performanței potrivirii, coeficientul de corelație normalizat este combinat cu algoritmul genetic. Coeficientul normalizat de corelație calculează poziția probabilă a șablonului în imaginea scenă. Algoritmul genetic calculează scalarea și rotirea șablonului în imaginea scenă. Rezultatele



experimentale arată că algoritmul este invariant la scalare și rotire cu o precizie satisfăcătoare și rezultatele sunt mult mai bune decât la potrivirea șablonului doar prin corelație.

În literatură găsim lucrări despre aplicarea GA la procesări de imagini [179,180], inclusiv la identificări de șabloane [181, 183].

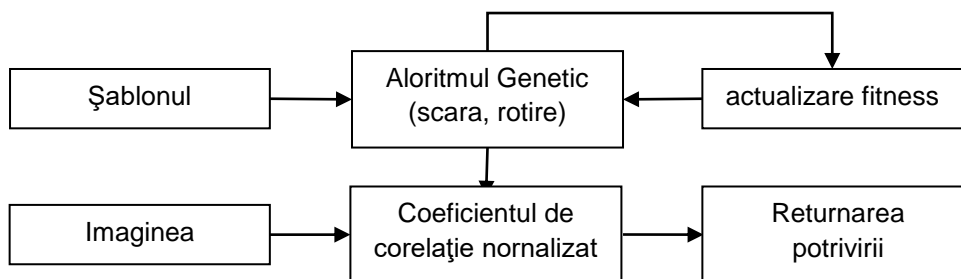


Fig. 3.1 Schema bloc a algoritmului de potrivire a șablonului utilizând algoritmul genetic

Descrierea algoritmului genetic implementat, unele rezultate obținute, cât și o comparare a rezultatelor cu alte metode sunt incluse în lucrarea “Automated identification of objects based on Normalized Cross-Correlation and Genetic Algorithm” [178] prezentată la a 5-a Conferință Internațională IEEE - EHB 2015. Următoarea secvență este o parafrază a acestui articol.

Algoritmul genetic pentru identificarea automată a șabloanelor are următorul pseudo-cod:

**Pasul 1:** Inițializarea populației;

**Pasul 2:** Calculul fitness populație și ordonarea indivizilor în funcție de performanțe;

**Pasul 3:** Se păstrează cel mai bun individ. Dacă acesta nu s-a schimbat timp de un număr predefinit de generații atunci algoritmul se oprește (Pasul 7);

**Pasul 4:** Aplicarea operatorilor genetici (mutație și încrucișare / crossover);

**Pasul 5:** Înlocuirea indivizilor din populația curentă cu cei nou generați;

**Pasul 6:** Dacă s-a ajuns la un număr maxim de iterații / generații algoritmul se oprește, altfel se revine la Pasul 2;

**Pasul 7.** Se afișează cea mai bună potrivire a șablonului dată de cel mai bun individ.

Informația pe care o conține fiecare individ din populație se referă la scalarea și rotația aplicată șablonului. Se consideră că scalarea șablonului are limitele impuse între  $[1/3, 3]$  ceea ce implică faptul că în procesul de potrivire șablonul poate fi redimensionat micșorând respectiv măbind dimensiunea lui inițială de 3 ori. Gradul de rotație este în intervalul  $[0, 359]$ . Informația se codifică pe un număr de biți dat de rezoluția dorită (în cazul simulărilor efectuate aceasta este de 256). Din acest motiv codificarea informațiilor privind scalarea, respectiv rotirea imaginii șablon va avea un număr de 8 biți ( $2^8=256$ ) și fiecare individ din populație un număr total de 16

gene (fiecărei gene corespunzându-i un bit). Pentru o rezoluție mai mare de 65.536 codarea informației s-ar fi realizat pe un număr de 32 biți, dar am considerat în urma rezultatelor obținute prin simulări că este suficientă o rezoluție de 256, rotirea imaginii fiind realizată în acest caz cu un pas se  $360/256 \approx 1.4$  grade.

Populația are un număr de indivizi între 30 și 50 (în majoritatea simulărilor s-au utilizat 30 de indivizi). Numărul maxim de generații / epoci de antrenare după care algoritmul se oprește a fost setat la 100. Am impus că dacă după 20 de generații nu se schimbă cea mai bună soluție (best individ) se consideră că algoritmul genetic a converș către o soluție finală. În funcție de necesități se pot schimba numărul de indivizi și numărul de generații. În urma simulărilor efectuate pentru imaginile de test utilizate am considerat a fi suficiente aceste valori.

S-a considerat că 3% din populație reprezintă elita și că aceasta va fi păstrată la trecerea de la o generație la alta. Pentru generarea de indivizi noi s-au aplicat operatorii genetici de încrucișare/crossover a unui segment de 60% din populație, respectiv operatorul de mutație restul populației (cca. 37-39% procentul fiind influențat de dimensiunea populației și a elitei).

Operatorul de crossover se aplică pentru doi indivizi (părinți), rezultând un număr de doi indivizi noi (copiii). S-a optat pentru o încrucișare într-un singur punct, poziția de tăiere fiind între a doua genă, respectiv penultima.

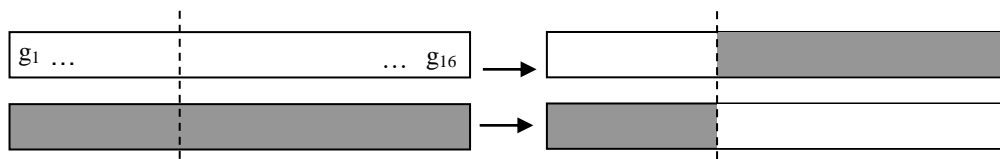









Fig. 3.2 Exemplu de încrucișare într-un singur punct

Inițial s-a utilizat un mecanism de selecție a indivizilor de tip ruletă în care în funcția de fitness creștea probabilitatea unui individ de a fi ales, dar s-a renunțat la acest tip de selecție deoarece s-a constatat că populația migra rapid către cel mai bun individ (care poate fi un optim local în spațiul soluțiilor) și s-a optat pentru o selecție random (în care fiecare individ are aceeași probabilitate de a fi ales). O soluție de compromis ar fi cea în care mecanismul de selecție ce favorizează indivizii cu un fitness mai mare să fie aplicată după un număr de generații când se consideră că cea mai bună soluție este apropiată de optimul global.







Operatorul modifică una din gene ca valoare binară din 1 logic în 0 sau invers. Dacă modificarea are loc mai aproape de LSB (Least Significant Bit) al unuia din cei doi cromozomi de rotație sau scalare, atunci valoarea nou obținută va fi apropiată de cea inițială și invers. Dacă mutația genei are loc mai aproape de MSB (Most Significant Bit) atunci salturile făcute de noul individ în spațiul soluțiilor sunt mari raportate la poziția individului inițial.













În imaginile de mai jos este reprezentată variația poziției celui mai bun individ pe parcursul mai multor iterații. Pe parcursul procesului de potrivire șablonul căutat a fost suprapus și peste un al doilea șablon existent pe etichetă, în final realizându-se o potrivire corectă.

Tabelul 3.3 Implementarea algoritmului bazat pe Template Matching și GA

			
Imaginea șablon și imaginea scenă	Primul pas al algoritmului: Fitness: 0.404293 Scalare: 1.64 Rotire 178.80	Iterația 6: Fitness: 0.423420 Scalare: 1.54 Rotire 270.31	
			
Iterația 8: Fitness: 0.543253 Scalare: 0.96 Rotire 178.80	Iterația 13: Fitness: 0.690040 Scalare: 0.55 Rotire 0.00	Resultatul final: Fitness: 0.690040 Scalare: 0.55 Rotire 0.00	

Tabelul 3.4 Rezultatele obținute aplicând metoda potrivirii utilizând GA

Imaginile șablon și de referință		Rezultatele obținute	
1		2	
			Fitness:0.924660 Scalare:1.01 Rotire:0.00
			Fitness:0.878400 Scalare:1.33 Rotire:0.00

1	2
 	 <p data-bbox="1058 465 1377 533">Fitness:0.731329 Scalare:0.73 Rotire:0.00</p>
 	 <p data-bbox="767 779 1345 819">Fitness:0.681835 Scalare:0.71 Rotire:180.20</p>
 	 <p data-bbox="767 1099 1313 1137">Fitness:0.747223 Scalare:1.27 Rotire:0.00</p>
 	 <p data-bbox="767 1406 1313 1438">Fitness:0.616609 Scalare:0.53 Rotire:0.00</p>

În urma testelor s-a constatat că ar fi bine de plasat obiectele a căror rezultate au valoarea fitnessului între 0.6-0.7 într-o clasă nedeterminată pentru o analiză ulterioară manuală.

Se observă îmbunătățirea metodei bazate pe coeficientul de corelație datorită aplicării GA. Pentru reducerea timpului de rulare s-ar putea crea condiția ca algoritmul să ruleze doar pentru imagini cu același unghi de captare a imaginii sau cu o rotire de 180 de grade. Deoarece rotirea la diferite unghiuri induce apariția de pixeli negri sau albi ce ar putea afecta negativ rezultatele.

Tabelul 3.5 Rezultatele obținute aplicând CCN și metoda bazată pe CCN și GA

Imaginile șablon și de referință	Potrivirea prin CCN	Potrivirea prin metoda bazată pe CCN și GA
		 <p data-bbox="1034 600 1294 651">Fitness:0.874111 Scale:1.26 Rotate:0.00</p>
		 <p data-bbox="1034 913 1294 965">Fitness:0.845151 Scale:0.61 Rotate:0.00</p>
		 <p data-bbox="1034 1176 1294 1234">Fitness:0.731329 Scale:0.73 Rotate:0.00</p>
		 <p data-bbox="1034 1482 1294 1534">Fitness:0.739534 Scale:0.71 Rotate:180.20</p>
		 <p data-bbox="1034 1774 1294 1834">Fitness:0.616609 Scale:0.53 Rotate:0.00</p>

### 3.2.2 Extragerea semnăturii și a descriptorilor de formă

Procesul de extragere a caracteristicilor formelor cuprinde următoarele etape:

- binarizare imagine, segmentare folosind un prag pe histogramă;
- aplicare operatori morfologici: dilatare, erodare;
- implementarea unui algoritm de urmărire contur;
- implementarea unui algoritm de extragere semnătură;
- determinare formă, dimensiune, simetrie.

#### 1) Determinare contur

Pentru binarizarea imaginii se aplică algoritmul de segmentare [146] sau [163] cu un singur prag. Având imaginea binară se urmărește selecția pixelilor aparținând conturului, de aici și denumirea algoritmului – algoritm de urmărire a conturului [185].

Algoritmul de urmărire contur (mersul orbului) baleiază imaginea din colțul stânga sus până când se găsește un pixel (diferit de background) care aparține obiectului, acest pixel este notat cu  $P_s$  și reprezintă pixelul de start al conturului. El devine pixelul curent  $P_c$ .

Se alege un sens de parcurgere a conturului. Se definește o variabilă *dir* care reține direcția mutării anterioare de-a lungul conturului de la elementul anterior spre cel curent. Se inițializează  $dir = 0$  și  $brat = (dir+5)$  modulo 8.

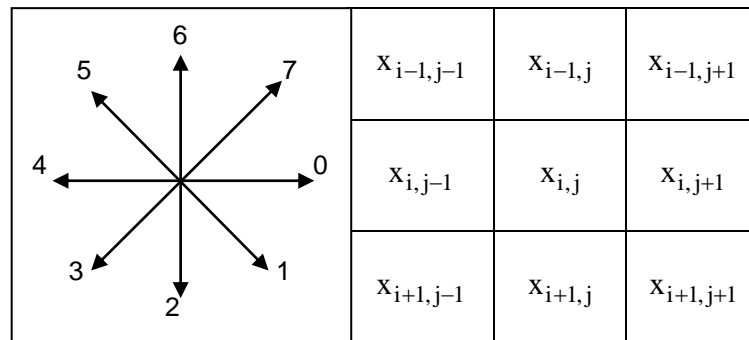



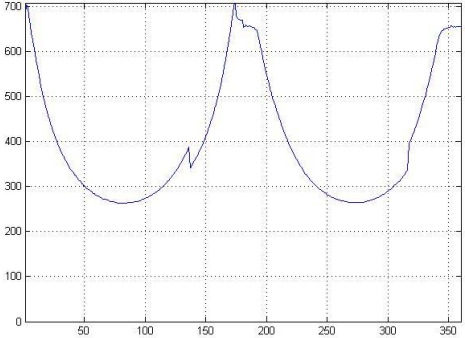
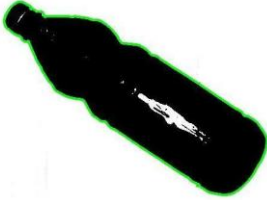
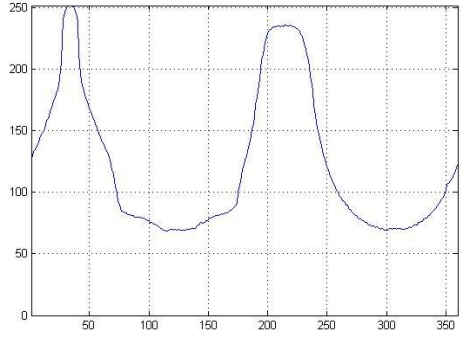
Fig. 3.3 Reprezentarea direcției și vecinătatea de 3x3 a pixelului curent

Se baleiază vecinii pixelului curent, în sensul de parcurgere ales, plecând de la poziția braț, până la găsirea unui nou pixel obiect, care se marchează și devine pixel curent  $P_c$ . Variabila direcție *dir* este reactualizată în funcție de pixelul curent găsit, iar variabila braț se recalculază în funcție de *dir*.

Se repetă pasul anterior până la închiderea conturului, adică până când pixelul de start devine iar pixel curent.

Exemple de determinarea conturului sunt reprezentate în tabelul de mai jos, coloana 1.

Tabelul 3.6 Exemple de semnături

Determinare contur	Semnătura extrasă
	
	

## 2) Extragerea semnăturii formei

O semnătură este o reprezentare simplificată a unei suprafețe. S-a optat pentru definirea semnăturii ca distanța de la un punct de referință – centrul de greutate al formei ( $g_x, g_y$ ) – la fiecare punct de pe contur [186]. Ideea este de a reduce reprezentarea conturului la o funcție unidimensională, care este în principiu mai ușor de descris decât conturul original bidimensional.

$$d(n) = \sqrt{(x(n) - g_x)^2 + (y(n) - g_y)^2}$$

Semnătura formei este o reprezentare reversibilă – cunoscând semnătura se poate reconstrui conturul obiectului. Dimensiunea vectorului semnăturii este de 360 de valori, câte o valoare obținută pentru fiecare valoare a unghiului semidreptei ce pornește din punctul ( $g_x, g_y$ ) și se intersectează cu conturul imaginii. Dacă intersecția conturului cu semidreapta ce scanează forma se realizează în mai multe puncte, atunci se păstrează valoarea cea mai îndepărtată.

### 3) Determinare formă, dimensiune, simetrie

Lucrarea [187] reprezintă o revizuire a tehnicilor de descriere și reprezentare a formelor în scopul recunoașterii obiectelor sau a clasificării automate a lor. Numărul de caracteristici distinctive este direct proporțional cu corectitudinea rezultatelor obținute de un algoritm de recunoaștere a formelor și indirect cu timpul de calcul. De ex., dacă culoarea nu reprezintă o trăsătură distinctivă nu se recomandă de inclus în algoritm.

Pentru descrierea ambalajelor s-au ales trei caracteristici distinctive: forma, dimensiunea și simetria. Înainte de calcularea ariei obiectului s-au aplicat operatorii morfologici: dilatare pentru a completa „găurile” care s-au obținut la segmentare din cauza reflectării luminii și apoi erodare pentru a reveni la forma inițială (se șterg pixelii adăugați la dilatare). Aria (A) este considerată a fi numărul total de pixeli ce reprezintă obiectul. Perimetrul (P) este reprezentat de pixelii conturului.

Forma și dimensiunea sunt calculate conform formulelor de mai jos:

$$\begin{aligned} \text{Forma} &= \frac{4\pi A}{P^2} \\ \text{Dimensiune} &= \frac{A_{\text{forma}}}{A_{\text{image}}} \end{aligned} \quad (1)$$

S-a notat cu  $A_{\text{forma}}$  aria obiectului ce se dorește a fi identificat și cu  $A_{\text{image}}$  – numărul total de pixeli din imagine.

După segmentare conturul formeii nu reprezintă o linie netedă, ci conține denivelări, de aceea la aplicarea formulei pentru formă, obținem rezultate aproximative, cu o marjă de eroare. Din acest motiv se face o normalizare astfel încât valorile să fie în intervalul [0,1].

*Simetria* se determină după semnătură. Vom presupune că formele simetrice (după axa orizontală) reprezintă ambalaje periculoase – flacoane de spray sub presiune, baterii etc. Valorile pentru simetrie se determină pe baza corelației dintre semnătura normalizată a obiectului pe intervalele  $[0,90]^\circ$ ,  $[90,180]^\circ$ ,  $[180,270]^\circ$ ,  $[270,360]^\circ$ .

#### **3.2.3 Un sistem de logică fuzzy pentru clasificare automată**

Logica fuzzy se deosebește de logica binară bazată pe variabile 0 sau 1 ("adevărat" sau "fals") prin valori intermediare, adică "adevărat" sau "fals" cu un grad de apartenență, 0 reprezentând neapartenența, iar 1 – apartenența totală.

Sistemul fuzzy transformă exprimările lingvistice „dimensiune foarte mare”, „formă alungită”, „simetrie mică” care includ imprecizie / ambiguitate în valori numerice reprezentând gradele de apartenență în fiecare mulțime fuzzy în intervalul [0, 1], corespunzătoare adevărului



parțial cuprins între „complet adevărat” și complet fals”. Se pot folosi și modificatori / intensificatori lingvistici „oarecum mare”, „puțin”, „destul de puțin”, „extrem de” etc. cu valori numerice pentru intrări în sistem. Logica fuzzy redă valorile.

### 1) Definirea mulțimilor fuzzy pentru variabile de intrare

Fuzificarea intrărilor constă în determinarea gradului în care datele de intrare aparțin mulțimilor fuzzy, prin funcția de apartenență. Cele mai uzuale funcții de apartenență sunt de formă triunghiulară și trapezoidală. La definirea mulțimilor am ales funcția de apartenență trapezoidală, pentru că acestea spre deosebire de funcțiile de apartenență triunghiulare au un interval în care gradul de apartenență este 1, dar alegerea e subiectivă.

#### 1.1 Definirea mulțimilor fuzzy pentru variabila de intrare *Dimensiune*

Variabila de intrare *Dimensiune* se definește prin 4 mulțimi fuzzy trapezoidale: Mica, Medie, Mare și FoarteMare), având ca univers de discurs intervalul [0. 0.5]. Se consideră că obiectele de dimensiune foarte mare pot ocupa maxim 50% din spațiul de vizualizare, de unde și limita superioară a universului de discurs. Un obiect de dimensiune mare ocupă circa 10%-15% din spațiul de vizualizare. Conform Fig.3.4 atunci când un obiect ocupă între 15% și 20% din spațiul de vizualizare atunci acesta poate fi considerat ca aparținând și mulțimii fuzzy „mare” și mulțimii fuzzy „foarte mare” dar cu grade de apartenență diferite.

Cele 4 mulțimi fuzzy pentru variabila de intrare *Dimensiune* sunt reprezentate în Fig. 3.4.

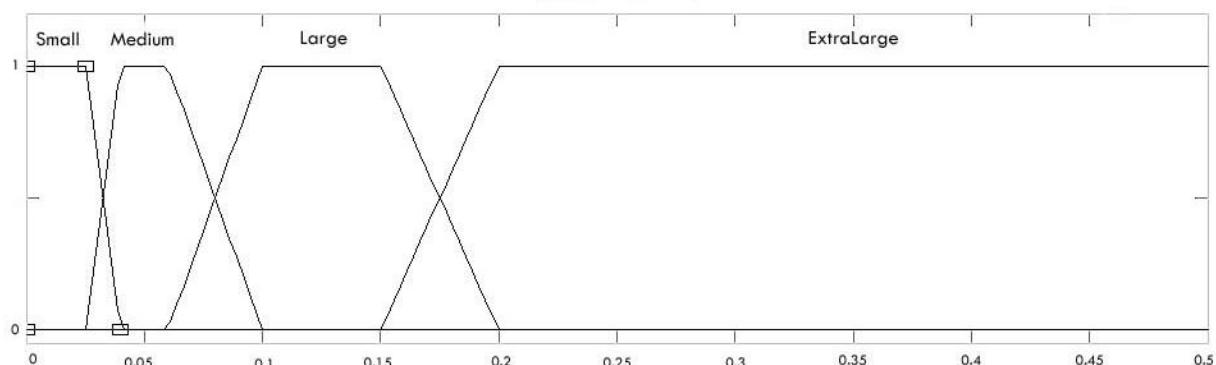


Fig. 3.4 Mulțimile fuzzy pentru variabila de intrare *Dimensiune*

#### 1.2 Definirea mulțimilor fuzzy pentru variabila de intrare *Forma*

Variabila de intrare *Forma* se definește prin 4 mulțimi fuzzy trapezoidale: Alungita, Neregulata, Ovala și Rotunda. Conform formulei (1) valorile obținute pentru formă pot fi în intervalul [0, 1], 0 corespunzând unui obiect alungit asemănător cu un segment de dreaptă și 1 unui cerc.

Mulțimile fuzzy pentru variabila de intrare *Forma* sunt reprezentate în Fig. 3.5

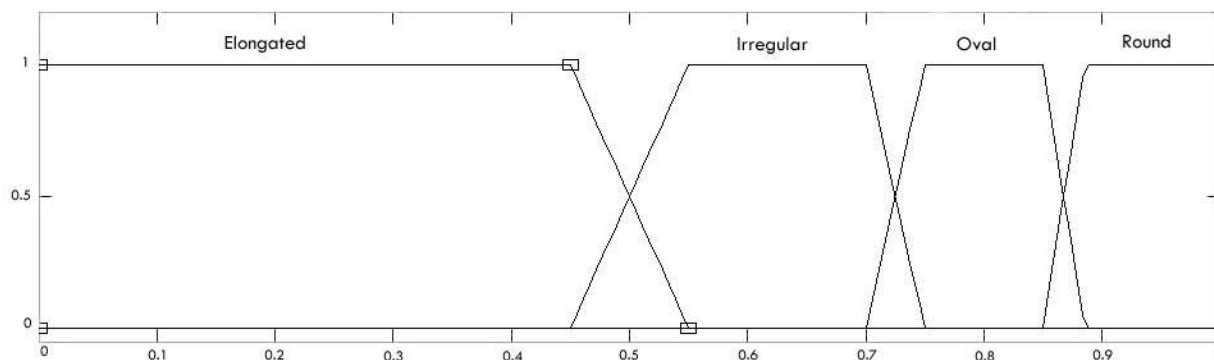


Fig.3.5 Mulțimile fuzzy pentru variabila de intrare *Forma*

### 1.3 Definirea mulțimilor fuzzy pentru variabila de intrare *Simetrie*

Variabila de intrare *Simetrie* se definește prin 3 mulțimi fuzzy trapezoidale: Mica, Medie și Mare. Este exprimată pe baza corelației dintre semnătura normalizată a obiectului pe intervalele  $[0,90]^\circ$ ,  $[90,180]^\circ$ ,  $[180,270]^\circ$ ,  $[270,360]^\circ$ .

Definirea mulțimilor fuzzy pentru *Simetrie* s-a bazat pe propria observare: flacoanele sub presiune (de la diverse spray-uri, lacuri), bateriile sunt simetrice și față de axa orizontală. Aceste ambalaje/obiecte sunt periculoase și nu pot fi reciclate, de aceea apartenența la mulțimea *Simetrie* are o pondere importantă la luarea deciziei de către sistem.

Mulțimile fuzzy pentru variabila de intrare *Simetrie* sunt reprezentate în Fig. 3.6

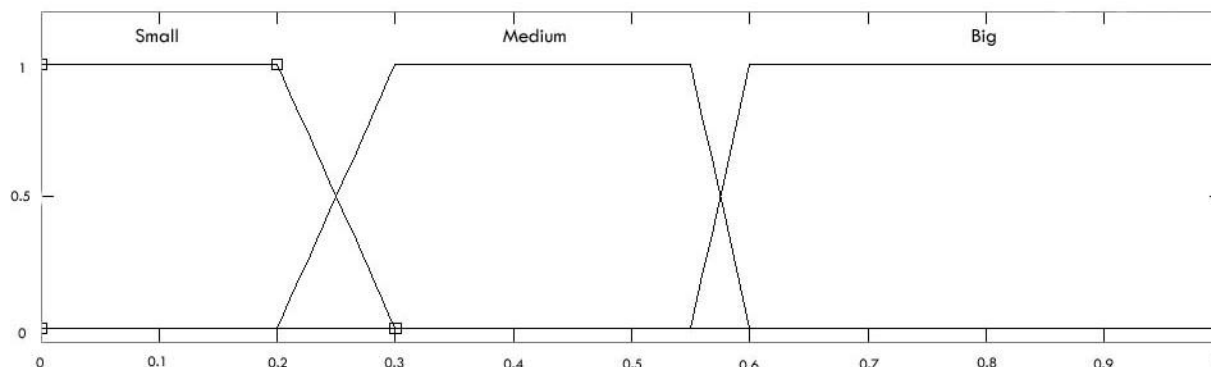


Fig. 3.6 Mulțimile fuzzy pentru variabila de intrare *Simetrie*

## 2) Definirea mulțimilor fuzzy pentru variabile de ieșire

Sistemul fuzzy clasifică deșeurile în trei clase: *periculoase* (toxice, inflamabile, dăunătoare mediului), *reciclabile* și *nedeterminate*.

Variabila de ieșire *TipObiect* se definește prin mulțimi fuzzy ca în Fig.3.7, creând astfel un sistem de tip Mamdani. Funcțiile de apartenență triunghiulare, au baza triunghiului de valoare mică (simbolică), din acest motiv sistemul poate fi considerat mai apropiat de un sistem fuzzy de tip Sugeno. Alegerea tipului sistem Mamdani și nu Sugeno este dată de funcția de defuzificare de

tip MoM (Moment of Maximum). Valorile bazei celor 3 mulțimi fuzzy se aleg astfel: in jur de valoarea 0 pentru Periculos, ~ 0.5 pentru Nedeterminat și ~1 pentru Reciclabil.

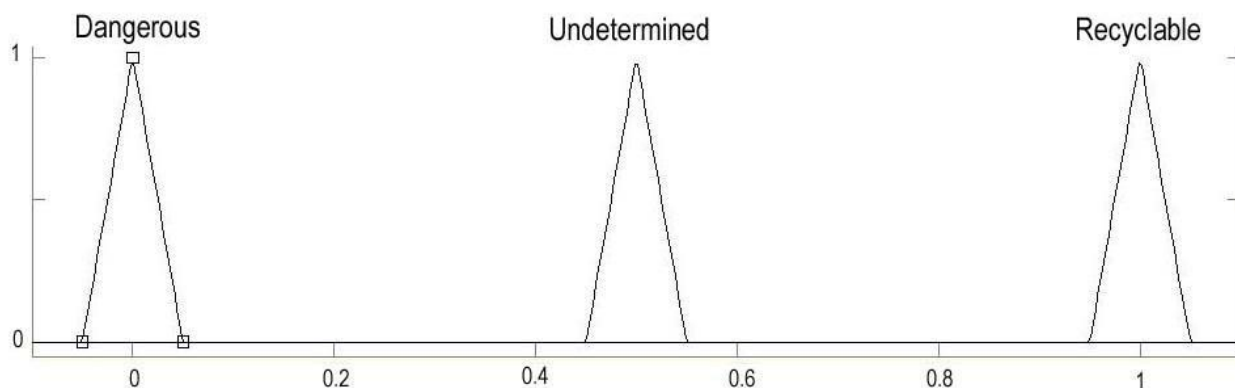


Fig. 3.7 Reprezentare ieșiri fuzzy

### 3) Baza de reguli a sistemului cu logică fuzzy

Regulile de inferență sunt acele reguli care leagă variabilele fuzzy de intrare a unui sistem cu variabile fuzzy de ieșire a aceluiași sistem. Aceste reguli sunt prezentate sub forma: DACĂ condiție/premisa1 ȘI/SAU condiție/premisa2 (ȘI/SAU ...), ATUNCI acțiune. Totalitatea regulilor formează baza de reguli, numită și baza de cunoștințe.

Regulile sunt afirmații calitative deduse din analizele realizate în procesul de reciclare a ambalajelor. Pe această bază, o enunțare intuitivă a regulilor fuzzy pentru aplicația prezentată a fost definită, se observă diferite ponderi asociate regulilor. Aceste ponderi se mai numesc și coeficienți de certitudine.

Exemple de reguli de inferență aplicate:

IF *Forma* alungita and *Dimensiune* Mica and *Simetrie* Mare then TipObiect is Periculos (1)

IF *Forma* alungita and *Dimensiune* Medie and *Simetrie* Mare then TipObiect is Periculos (1)

IF *Forma* alungita and *Dimensiune* Mica and *Simetrie* Medie then TipObiect is Periculos (0.7)

IF *Forma* alungita and *Dimensiune* Medie and *Simetrie* Mica then TipObiect is Nedeterminat (1)

IF *Forma* alungita and *Dimensiune* Mica and *Simetrie* Mica then TipObiect is Nedeterminat (1)

IF *Forma* alungita and *Dimensiune* FoarteMare and *Simetrie* Mare then TipObiect is Nedeterminat (1) etc.

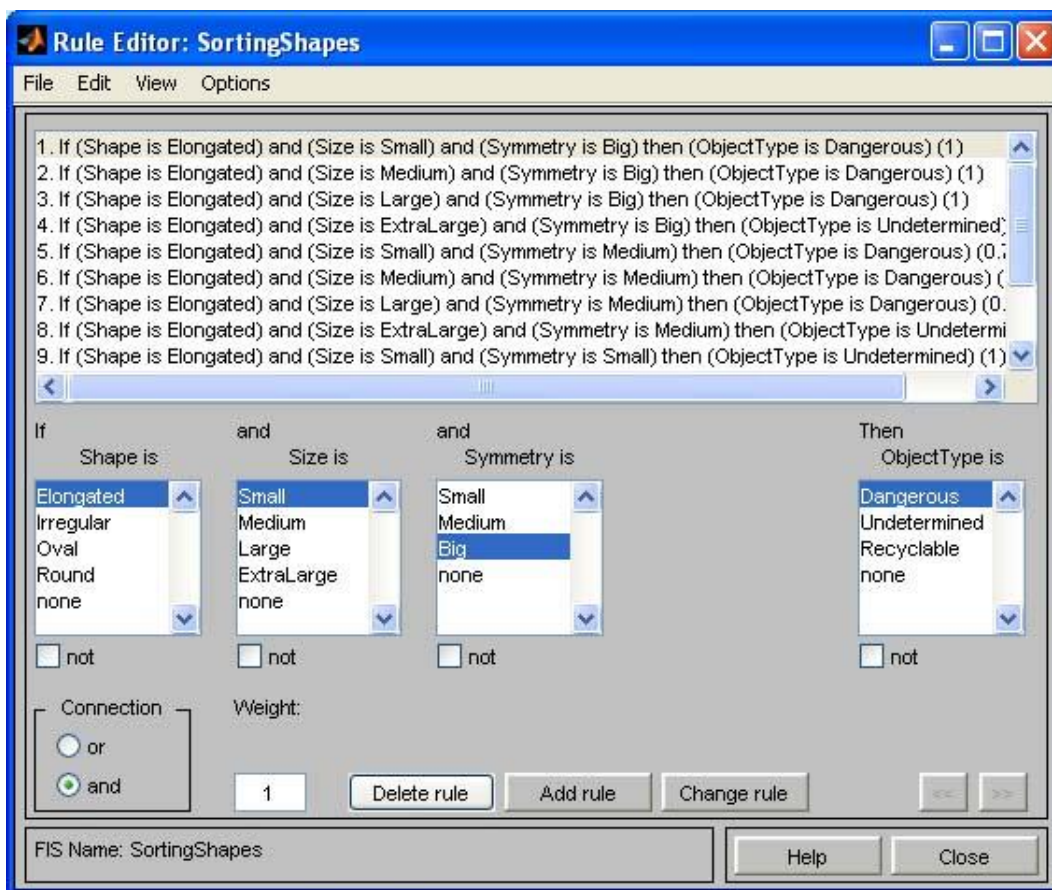


Fig. 3.8 Reguli de inferență a SF aplicat

Intersecția a două mulțimi fuzzy este echivalentă cu operația “ȘI logic”, reprezentând minimul dintre două grade de apartenență. Între premisele regulilor se aplică operatorul „min”, valoare rezultată fiind folosită la trunchierea variabilei de ieșire. Atunci când avem mai multe reguli active se aplică o reuniune a mulțimilor fuzzy trunchiate rezultate la aplicarea fiecărei reguli.

#### 4) Operația de defuzzificare

Pentru ca sistemul elaborat să clasifice *TipObiect* e necesar ca mulțimile fuzzy de la ieșire să fie transformate în date crisp. Transformarea dată poartă denumirea de defuzzificare. Cele mai uzuale metode de defuzzificare sunt:

- Centroid, COA, COG;
- SOM (smallest of maximum);
- MOM (mean of maximum);
- LOM (largest of maximum method).

Pentru sistemul elaborat s-a ales metoda MoM – media maximelor.

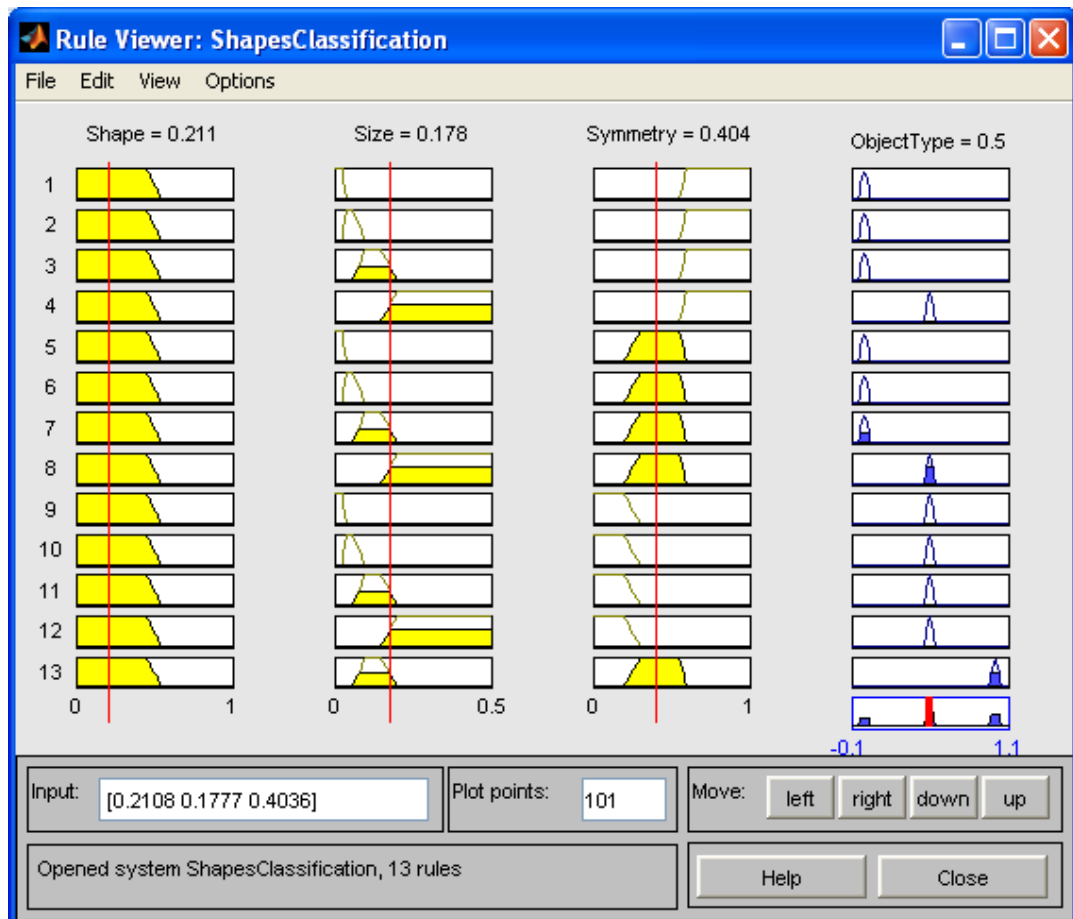


Fig. 3.9 Exemplu de defuzificare

Sistemul fuzzy de detecție a tipului de ambalaj aplică la defuzificare operatorul de MOM, selectează din mulțimile fuzzy active doar pe cea cu grad de apartenență maxim.

Randamentul acestui sistem este de 95%. Unele ambalaje din grupa *Nedeterminate* au fost identificate ca *Periculoase*. Un procent din ambalajele *Periculoase* au fost clasificate *Nedeterminate* și ~1.5% din *Reciclabile* a fost clasificat greșit la *Nedeterminate*. Important este ca aceste ambalaje să nu fie clasificate drept *Reciclabile*, dar pentru asigurarea unei clasificări automate corecte, obiectele din clasa *Reciclabile* sunt verificate la etapa următoare prin identificarea semnăturii formei.

Complexitatea algoritmului de clasificare fuzzy este dată de timpul necesar pentru calcule cumulat pentru cele 3 etape: 1.fuzificarea 2. reguli fuzzy și 3. defuzificarea. Sistemele fuzzy sunt sisteme de control care lucrează în timp real. Multe dintre ele sunt incluse în sisteme cu microcontrolere și pornind de la valorile citite de la senzori sunt capabile să asigure în timp real controlul unui sistem în buclă de reacție cu performanțe mai mari decât sistemele clasice de control. Ținând cont că frecvența de lucru a unui microcontroler este de ordin MHz (nu GHz ca

la un procesor) și că ocupă puțină memorie este clar că sistemele fuzzy nu sunt algoritmi care să necesite putere mare de procesare.

Pentru fuzzificare se calculează gradele de apartenență pentru variabilele de intrare. Deci complexitatea ar fi  $O(n_v \times n_a)$ , unde  $n_v$  – numărul de variabile  $n_a$  – numărul de atribute lingvistice.

Dacă sunt alese convenabil funcțiile de apartenență e suficient să se calculeze un singur grad de apartenență și celălalt se obține ca fiind negatul primului. Complexitatea se reduce astfel la  $O(n_v)$ .

Pentru reguli fuzzy complexitatea este tot  $O(n_v \times n_a)$ . Acesta fiind numărul total de reguli – în cadrul regulii se aplică o simplă operație de minim între gradele de apartenență ale premiselor. Dacă e optimizat scade și aici complexitatea pentru că sunt luate în calcul doar regulile care au toate premisele cu grade de apartenență diferite de zero. Numărul regulilor aplicate de sistemul fuzzy fiind practic mult mai mic.

Dacă complexitatea primelor etape era  $O(n_v \times n_a)$  și prin optimizări era diminuată la  $O(n_v)$  pentru fuzzificare și  $O(n_v \times 2)$  pentru reguli fuzzy (considerând că nu putem avea mai mult de 2 grade de apartenență nenule pentru o variabilă de intrare), pentru ultima etapă complexitatea este cea mai redusă.

Deoarece este sistem Sugeno modificat defuzzificarea este o simplă sumă ponderată (unde ponderile erau minimul premiselor regulilor activate). Deci complexitatea sistemului fuzzy este sub cea a unei rețele neuronale (care are etapa de antrenare cu calcul numeric intensiv). SF nu necesită o antrenare, dar alegerea neinspirată a mulțimilor fuzzy asociate intrărilor, respectiv asocierea necorespunzătoare a regulilor fuzzy pentru o posibilă concluzie/clasă poate face sistemul fuzzy neperformant, dar nu este cazul sistemului propus.

Pentru determinarea timpilor de rulare s-au introdus funcțiile tic/toc în Matlab (acesta este un interpretor și are oricum timpi mai mari decât s-ar fi obținut pentru același algoritm într-un limbaj de nivel înalt). Pentru urmărirea conturului și extragerea semnăturii s-au obținut timpi de rulare în medie de cca 0.05-0.07 secunde (depinde de dimensiunea obiectului analizat) iar pentru sistemul fuzzy 0.013-0.014 secunde. Timpul a fost obținut pe un calculator cu performanțe medii, folosind unul din cele două procesoare ale unui sistem Dual-core de 1,8 GHz.

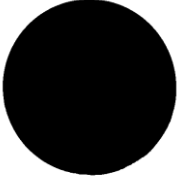
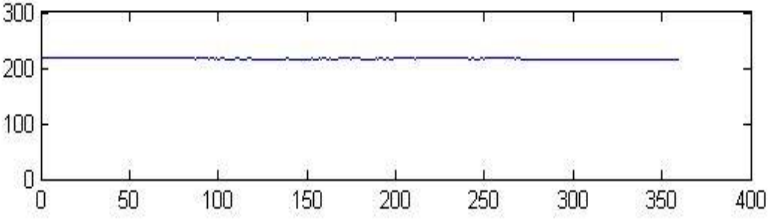
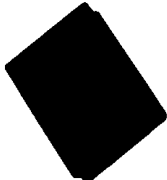
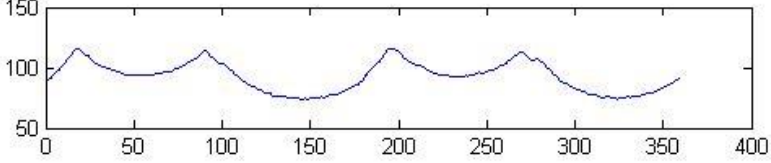
### 3.2.4 Identificarea formei prin funcția diferență și corelație aplicate pe semnături

Semnătura unei forme este o reprezentare funcțională unidimensională. Pentru sistemul propus s-a ales reprezentarea semnăturii prin distanța de la centrul formei la fiecare punct de pe contur.

Pentru obiecte de aceeași formă dar de dimensiuni diferite, semnăturile vor fi asemănătoare dar de amplitudine diferită (datorită gradului diferit de scalare). Pentru obiecte de orientare diferită semnăturile vor fi asemănătoare dar deplasate spre stânga / dreapta. Aplicând o normalizare asupra semnăturii se elimină efectul scalării. Atât funcția de corelație, cât și funcția diferență asigură invarianța la rotație.

O altă posibilitate de eliminare a efectului de rotație ar fi selectarea punctului de start pentru generarea semnăturii ca fiind punctul cel mai îndepărtat de centru (dacă este punct unic) sau punctul cel mai îndepărtat de pe axe.

Tabelul 3.7 Reprezentarea grafică a semnăturilor

Forma	Semnătura formei
	
	

O posibilitate de a obține invarianța la mărimea formelor ar fi normalizarea valorilor obținute: reprezentarea lor în intervalul 0 și 1. Această modalitate e sensibilă la zgomotele ce afectează valorile maximă și minimă. Pentru sistemul elaborat mărimea ambalajelor contează, de aceea nu s-a efectuat normalizarea.

Corelația este o metodă statistică aplicată la determinarea unei relații dintre două sau mai multe variabile. *Coeficientul de corelație* ( $r$ ) este o valoare cantitativă între (-1 și +1) și descrie relația dintre variabile. Valorile extreme presupun o corelație strânsă între variabile în timp ce  $r = 0$  reprezintă lipsa totală de relație liniară.

Tabelul 3.8 Interpretarea coeficientului de corelație Pearson

Gradul de asociere	Coeficientul, $r$	
	Pozitiv	Negativ
Mic	.1 to .3	-0.1 to -0.3
Mediu	.3 to .5	-0.3 to -0.5
Mare	.5 to 1.0	-0.5 to -1.0

Definit pentru două variabile cu repartiție normală  $(x,y)$  coeficientul corelației lineare, numit coeficientul lui Pearson (coeficientul corelației totale), se determină în felul următor [188]:

$$r_{xy} = \frac{\sum_{i=1}^n (x_i - m_x)(y_i - m_y)}{\sqrt{\sum_{i=1}^n (x_i - m_x)^2 \sum_{i=1}^n (y_i - m_y)^2}}$$

unde

$$m_x - \text{media valorilor variabilei } x : m_x = \sum_{i=1}^n x_i / n$$

$$m_y - \text{media valorilor variabilei } y : m_y = \sum_{i=1}^n y_i / n$$

O valoare mică a coeficientului Pearson nu semnifică independența celor două caracteristici, ci doar indică o necorelare liniară a lor. Acestea pot fi corelate printr-un alt tip de relație funcțională – parabolic, logaritmic etc.

Coeficientul cosinus  $\theta$  este o măsură a distanței unghiulare, utilizat pentru estimarea similarității între forme.

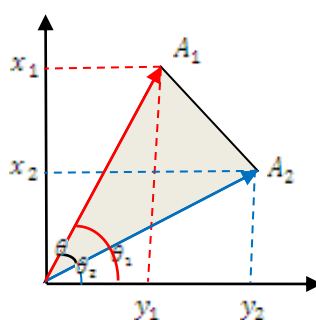


Fig. 3.10 Coeficientul cosinus  $\theta$  pentru un spațiu bidimensional [188]

Calculul coeficientului cosinus  $\theta$  într-un spațiu bidimensional se bazează pe relațiile trigonometrice ale unghiurilor și este exprimat prin următoarea formulă:

$$\cos \theta_{A_1 A_2} = \cos(\theta_1 - \theta_2) = \frac{x_1 y_1 + x_2 y_2}{\sqrt{(x_1^2 + y_1^2)(x_2^2 + y_2^2)}}$$




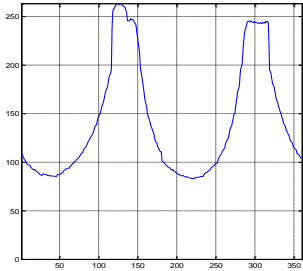
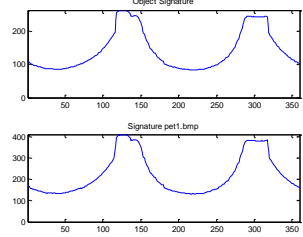

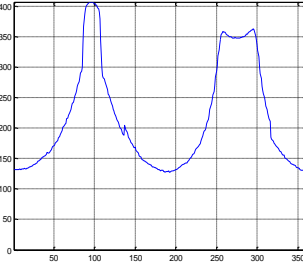
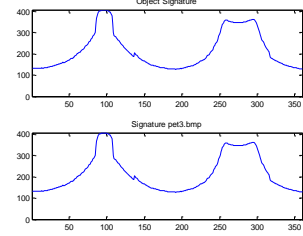
Formula de mai sus poate fi adaptată pentru  $n$  factori independenți:

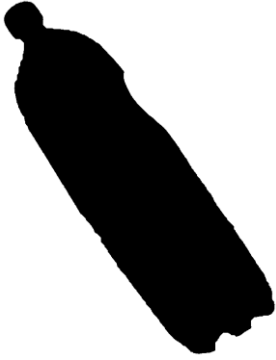
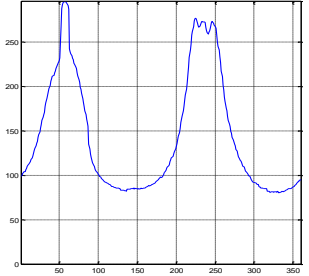
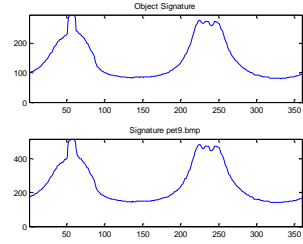

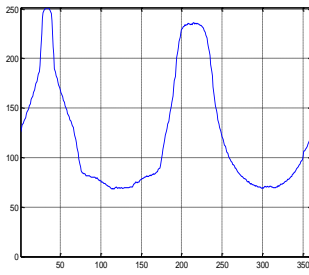
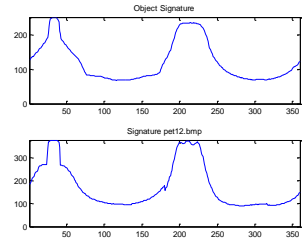

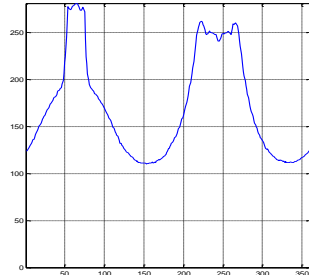
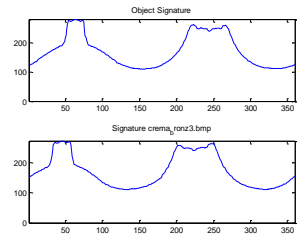
$$\cos\theta_{A_1 A_2} = \frac{\sum_{i=1}^n x_i y_i}{\sqrt{\sum_{i=1}^n x_i^2 \sum_{i=1}^n y_i^2}}$$

Acest coeficient de corelație indică o similaritate completă între două forme  $A_1$  și  $A_2$  dacă  $\cos\theta = 1$  și o disimilaritate totală dacă  $\cos\theta = 0$ .

S-au testat ambele formule de calcul și s-a optat pentru coeficientul corelației totale (coef. lui Pearson). Baza de date conține semnăturile tuturor formelor (reciclabile, nedeterminate și periculoase) pentru a putea identifica ambalaje nereciclabile. Au fost testate și obiecte care nu sunt incluse în BD, rezultatul e satisfăcător, s-a obținut un randament de recunoaștere de 97%.

Tabelul 3.9 Identificarea semnăturilor prin coeficientul de corelație totală

Forma	Semnătura formei	Identificarea semnăturii formei
1	2	3
		<p><b>Reciclabil (pet1.bmp)</b></p> 
		<p><b>Reciclabil (pet3.bmp)</b></p> 

1	2	3
		<p><b>Reciclabil (pet9.bmp)</b></p> 
<p><b>Notă*</b> Item reciclabil, ce nu aparține BD</p> 		<p><b>Reciclabil (pet12.bmp)</b></p> 
<p><b>Notă*</b> Item nereciclabil, intenționat inclus</p> 		 <p><b>Nedeterminat (ambalaj_crema.bmp)</b></p>

### 3.3 Compararea performanțelor metodei propuse vs. alte metode

#### 3.3.1 Metoda hibridă bazată pe CCN și GA vs. metodele SIFT și ASIFT













Algoritmul *Affine Scale-Invariant Feature Transform* are rezultate bune la rotire, scalare, schimbarea unghiului, iluminare, dar pentru setul dat de imagini, la determinarea similarității doar în 40% din cazuri am obținut rezultate corecte. Pentru adaptarea acestui algoritm la un set concret de imagini ar trebui să se ia în considerație numărul de potriviri ale punctelor de interes; imaginile pentru care s-au determinat aproximativ 15 000 de puncte de interes și se potrivesc doar 5 nu pot fi similare.

*Scale-Invariant Feature Transform* determină un număr de puncte de interes cu mult mai mic decât ASIFT și rata lui de succes pentru setul dat de imagini este peste 70% cu imagini de aceeași dimensiuni, scară și iluminare.

În cazul metodelor SIFT și ASIFT se obțin rezultate diferite la compararea imaginii cu un șablon față de compararea șablonului cu aceeași imagine, un exemplu este ilustrat în capitolul 1, figura 1.11, ceea ce nu oferă stabilitate rezultatelor.

Algoritmul hibrid bazat pe CCN și GA are o reușită de 97%. Tabelul de mai jos arată avantajele acestei metode.

Tabelul 3.10 Compararea algoritmului hibrid propus cu alte metode de referință

SIFT	ASIFT	Template Matching bazat pe CCN	Algoritmul bazat pe CCN și GA
			
“230 keypoints found. 40802 keypoints found. <b>Found 0 matches.</b> ”	“6569 ASIFT keypoints are detected. 31986 ASIFT keypoints are detected. <b>The two images do not match.</b> ”	„ <b>Symbol correctly identified.</b> ”	Fitness:0.747223 Scale:1.27 Rotate:0.00
			
“403 keypoints found. 40802 keypoints found. <b>Found 0 matches.</b> ”	“16089 ASIFT keypoints are detected. 31986 ASIFT keypoints are detected. <b>The two images do not match.</b> ”	„ <b>Symbol correctly identified.</b> ”	Fitness:0.616609 Scale:0.53 Rotate:0.00
			
“269 keypoints found. 5262 keypoints found. <b>Found 0 matches.</b> ”	“11606 ASIFT keypoints are detected. 18148 ASIFT keypoints are detected. <b>The two images match!</b> 38 matchings are identified.”	„ <b>Symbol wrongly identified.</b> Note: If we do not put a threshold for the correlation coefficient we get false results.”	„The image does not contain the searched symbol! It could be changed the interval conditioning of the fitness.” Fitness $f \leq 0.6$

Analizând exemplele din tabelul de mai sus observăm optimizarea rezultatelor obținute la aplicarea coeficientului de corelație prin generarea a noi seturi de valori cu algoritmul genetic.

### 3.3.2 Sistemul fuzzy vs. metoda de clasificare kNN

Atât sistemul fuzzy, cât și algoritmul kNN (cu numărul de vecini  $k=1$  și  $k=2$ ) au o acuratețe de clasificare de peste 90%. ~1.5% din reciclabile a fost clasificat greșit de ambele metode la nedeterminate, ~3.1% din nedeterminate au fost clasificate – periculoase, iar knn a clasificat ~3% din ambalajele periculoase drept nedeterminate. ~1.5% ambalaje din clasa periculoase algoritmul kNN clasifică ca reciclabile, dacă nu ar urma un pas de verificare, ar fi o eroare cu consecințe neadmisibile.

Pentru un set de 64 obiecte, Sistemul Fuzzy a avut un F-score de 94%, pe când kNN pentru  $k=1$  și  $k=2$  a avut un F-score de 87%. Odată cu creșterea valorii  $k$ , acuratețea și F-scorul descrește.

Tabelul 3.11 Evaluarea performanței sistemului Fuzzy și kNN

Metrică	Fuzzy	kNN
Acuratetea	95,24%	90,48%
Rata de eroare	4,76%	9,52%
Precizia	88,89%	90,91%
Recall	100,00%	83,33%
Fscore	94,12%	86,96%

### 3.4 Concluzii la capitolul 3

În acest capitol au fost implementați algoritmi de recunoaștere și de clasificare automată a obiectelor. Inițial s-a propus elaborarea unui algoritm de clasificare automată a datelor bazată pe separarea liniară. S-a propus reformularea condițiilor de optimalitate Kunh-Tucker într-un sistem echivalent de ecuații neliniare (cubice) netede. S-a demonstrat că sistemul de ecuații poate fi rezolvat eficient cu ajutorul metodei Newton. Metoda propusă este promițătoare, dar deoarece la clasificare avem mai multe caracteristici (nu numai două) s-a propus crearea unui sistem hibrid de clasificare.

Sistemul de decizie elaborat este bazat pe logica fuzzy și are ca scop clasificarea automată a deșeurilor (ambalajelor de plastic). Programul este scris în mediul Matlab și conține 3 pași esențiali: algoritmul hibrid din coeficientul de corelație normalizat și algoritm genetic, algoritmul de clasificare automată bazat pe logica fuzzy și algoritmul de identificare a semnăturilor.

Metoda hibridă – CCN+GA – permite depistarea simbolurilor de pericol de pe etichetă cu o rată foarte mare de reușită. Implementarea algoritmului genetic pentru generarea de noi valori pentru rotire și scalare este o soluție atunci când imaginea diferă prin unghiul de captare a imaginii și mărime. GA reduce pașii de calcul ajungând la un rezultat optim într-un interval de timp rezonabil.

Extragerea conturului obiectelor în scopul obținerii semnăturii se face cu algoritmul de urmărire a conturului. Determinarea corectă a conturului permite de asemenea calcularea eficientă a formei și dimensiunii – caracteristici utilizate în sistemul fuzzy.

Clasificarea automată a deșeurilor este realizată cu un sistem fuzzy a cărui date de intrare sunt: forma, dimensiunea și simetria. Alegerea mulțimilor fuzzy este subiectivă și a fost făcută în urma analizei ambalajelor ce ar trebui să fie reciclate și cele periculoase care trebuie să fie colectate în containere speciale. Pentru mărirea ponderii deciziei precum că anumite deșeuri reprezintă pericol sau pot fi reciclate se implementează un algoritm de identificare a semnăturii formei (ambalajului).

Sistemul elaborat poate fi adaptat și la sortarea altor obiecte. S-a ales sortarea deșeurilor pentru a accentua faptul că trierea lor corectă ar fi o soluție pentru diminuarea poluării, un factor important în zilele noastre.

## CONCLUZII GENERALE ȘI RECOMANDĂRI

Lucrarea conține contribuții originale la etape importante de procesare a imaginilor: segmentare, recunoaștere și clasificare automată a formelor. Imaginile test utilizate s-au considerat a fi calitative și nu au fost supuse unor îmbunătățiri.

Sintetizând munca din perioada cercetării pot fi prezentate următoarele rezultate științifice:

1) S-a elaborat un algoritm de segmentare bazat pe G-U-MM.

Au fost analizate mai multe metode de segmentare. S-a elaborat un algoritm de segmentare bazat pe Modelul de Mixturi Gaussiene și Uniforme (G-U-MM). În conformitate cu faptul că histograma imaginii poate fi utilizată pentru a reprezenta caracterul statistic al funcției densitate de probabilitate, G-U-MM este folosit pentru a estima PDF a imaginii cu nivele de gri (poate fi adaptat și la imagini color). Pragurile optime au fost determinate ca limitele intervalelor normale și uniforme. A fost prezentată o explicație detaliată pentru rațiunea modelelor de mixturi Gaussiene și uniforme propuse ca un fundament al procesului de segmentare. Rezultatele experimentale arată că metoda propusă poate obține rezultate mai bune și este mai robustă.

Majoritatea metodelor cunoscute de segmentare necesită introducerea de către utilizator a unor parametri, de obicei numărul de segmente dorit. În cazul segmentării bazate pe histogramă acestea ar putea fi numărul de maxime gaussiene, în cazul unui algoritm de clusterizare – numărul de centroizi, ceea ce înseamnă de fapt indicarea a câte obiecte sunt reprezentate în imagine. S-a optat pentru o metodă de segmentare mai robustă, adică are loc detectarea automată a numărului de segmente (a pragurilor pe histogramă) utilizând cunoștințe despre obiecte precum intensitatea pixelilor.

Descrierea algoritmului de segmentare și a rezultatelor obținute au fost prezentate la conferințe și publicate în [146,147, 149, 150, 155].

2) S-a făcut o analiză comparativă a algoritmilor de segmentare și a rezultatelor obținute, demonstrând eficacitatea algoritmului propus. Pentru a putea aprecia calitatea rezultatelor obținute, au fost calculate unele funcții propuse pentru evaluarea cantitativă și au fost comparate rezultatele cu unele din literatură considerate drept referință: metoda Otsu și metoda bazată pe histogramă (se determină vârfurile Gaussienelor – maxime globale, iar pragurile sunt determinate ca minimumul între două vârfuri Gaussiene).

Estimarea obiectivă a calității segmentării poate fi elaborată doar în cazul când numărul de segmente este același. Analizând graficele prezentate în capitolul doi se poate confirma că

rezultatele obținute sunt apropiate celor două metode de referință, rezultând astfel eficacitatea segmentării, respectiv cea a algoritmului.

Compararea metodelor de segmentare și evaluarea obiectivă a rezultatelor obținute a fost prezentată în [161].

3) S-a făcut o analiză a metodelor de extragere a punctelor de interes și de corelare a lor: SIFT și ASIFT, cât și a algoritmului Template Matching observând avantajele și dezavantajele fiecărei metode. Primele două metode reprezintă algoritmi complecși de recunoaștere a imaginilor pe baza potrivirii punctelor de interes. Rezultatele au fost prezentate în [184].

4) A fost îmbunătățit algoritmul Template Matching prin completarea programului cu un algoritm genetic pentru generarea a noi valori folosite de coeficientul de corelație normalizat (NCC) la potrivirea imaginii cu un șablon. A fost implementată această metodă hibridă pentru a elimina problemele observate la rotire, scalare folosind doar CCN. Coeficientul de corelație determină potrivirea sau nu a două imagini, iar algoritmul genetic generează noi dimensiuni ale imaginii căutate de la 1/3 până la 3.0 și cu valori pentru rotire de la 1 până la 359 grade.

Descrierea algoritmului și unele rezultate obținute au fost prezentate în [178].

5) A fost propusă o îmbunătățire a implementării metodei de clasificare automată SVM. S-au abordat trei modele ale separării liniare. Pentru unul din aceste modele s-a propus o procedură efektivă de rezolvare numerică prin reformularea condițiilor de optimalitate Karush-Kuhn-Tucker și utilizând metoda Newton. Rezultatele au fost publicate în [166].

6) A fost elaborat un sistem de recunoaștere și clasificare automată a formelor bazat pe logica fuzzy. Etapele de recunoaștere se completează, dând astfel un randament mare de reușită. Pe un set de 63 de imagini, s-a obținut o acuratețe de 95%. S-a propus o etapă de verificare a rezultatelor clasificării prin identificarea semnăturii.

Pașii sistemului și rezultatele preliminare au fost prezentate la simpozionul *Information in Image and Video Analysis Theory and Applications* (IIVA) 2016, Iasi- Romania.

Sistemul poate fi adaptat ușor și pentru alte forme decât cele din lucrare.

7) S-au comparat rezultatele obținute la fiecare etapă a procesării imaginilor cu metode respective de referință (segmentare, recunoaștere forme). Rezultatele recunoașterii imaginii, aplicând algoritmul hibrid – Coeficientul de Corelație Normalizat (CCN) + Algoritm Genetic –, au fost comparate cu rezultatele obținute la recunoașterea imaginii utilizând doar CCN, demonstrându-se astfel avantajul algoritmului hibrid. În comparație cu rezultatele metodelor

SIFT și ASIFT, algoritmul hibrid dă rezultate satisfăcătoare chiar și atunci când rezoluția imaginii este mică și când imaginile sunt asemănătoare, dar nu identice.

Rezultatele obținute în urma clasificării au o acuratețe a algoritmului de 95%. Algoritmul de referință kNN, pentru  $k=1$  și  $k=2$  are o acuratețe de 90.5%, care scade odată cu creșterea numărului de vecini ( $k$ ). Sistemul Fuzzy elaborat are un F-score de 94%, pe când kNN pentru  $k=1$  și  $k=2$  are un F-score de 87%.

#### **Observații generale în urma cercetărilor efectuate:**

- metodele de procesare se aleg în dependență de setul de imagini și informația ce necesită extrasă;
- este dificil de apreciat rezultatele segmentării (compararea cu un șablon segmentat manual este minuțioasă și necesită timp);
- clasificarea automată (nesupravegheată) a produselor în timp real (sau chiar mai rapid decât ar face o persoană) e posibilă doar pentru un număr redus de forme sau de același tip dar cu anumite defecte.

**Direcții de cercetare pentru viitor.** Ca viitoare direcții de cercetare se propune îmbunătățirea abordărilor prezentate în teză, extinderea evaluărilor algoritmilor elaborați și investigarea sau dezvoltarea altor metode și modele pentru recunoașterea formelor.

Direcțiile viitoare de cercetare ar fi următoarele:

- cercetarea posibilității de a simplifica pașii algoritmului de recunoaștere a simbolurilor de pericol prin recunoașterea textului și ștergerea lui de pe etichetă, rămânând astfel doar simbolurile de atenționare. Acest algoritm ar putea fi implementat și la detectarea logourilor de pe un document;
- implementarea unui sistem hibrid GA Fuzzy pentru identificarea altor obiecte decât cele existente în BD;
- aplicarea logicii Fuzzy și în alte domenii decât procesarea imaginilor.



## BIBLIOGRAFIE

1. Mathias M., Timofte R., Benenson R. and Van Gool L., Traffic Sign Recognition - How far are we from the solution?, Proceedings of IEEE International Joint Conference on Neural Networks, USA, 8 p. 2013
2. Timofte R., Zimmermann K., and Van Gool L., Multi-view traffic sign detection, recognition, and 3D localization, Journal of Machine Vision and Applications, 15 p., Springer-Verlag, 2011
3. Chen L., Li Q., Li M., Mao Q., Traffic sign detection and recognition for intelligent vehicle, Intelligent Vehicles Symposium (IV), IEEE, p. 908 – 913, 2011
4. Jain R., Doermann D., “Logo retrieval in document images,” in Document Analysis Systems (DAS), 2012 10th IAPR International Workshop on, p. 135–139, IEEE, 2012
5. Augereau O. , Journet N., Domenger J.-Ph., Semi-structured document image matching and recognition, Document Recognition and Retrieval XX, edited by, Proc. of SPIE-IS&T Electronic Imaging, SPIE Vol. 8658, 13 p., 2013
6. Zhu G., Zheng Y., Doermann D., Jaeger S., Signature Detection and Matching for Document Image Retrieval, IEEE Transactions on Pattern Analysis and Machine Intelligence, Vol. 31 (11), p. 2015 – 2031, 2009
7. Iancu I., Constantinescu N., Colhon M., Fingerprints Identification using a Fuzzy Logic System, Int. J. of Computers, Communications & Control, p.1841-9844 Vol. V, No. 4, p. 525-531, 2010
8. Dyre Sh., Sumathi C.P., A survey on various approaches to fingerprint matching for personal verification and identification, International Journal of Computer Science & Engineering Survey (IJCSES), Vol.7, No.4, 17 p. 2016
9. Li H., Lin Z., Brandt J., Shen X., Hua G., Efficient Boosted Exemplar-Based Face Detection, IEEE Conference on Computer Vision and Pattern Recognition, p.1843-1850, 2014
10. Chauhan M., Sakle M., Study & Analysis of Different Face Detection Techniques, International Journal of Computer Science and Information Technologies (IJCSIT), Vol. 5 (2) , p.1615-1618, 2014
11. Raghavachari C., Aparna V, Chithira S, Balasubramanian V., A Comparative Study of Vision based Human Detection Techniques in People Counting Applications, Second International Symposium on Computer Vision and the Internet (VisionNet’15), Elsevier B.V, p. 461 – 469, 2015

12. Jiang Y., Ma J., Combination Features and Models for Human Detection, IEEE Conference on Computer Vision and Pattern Recognition (CVPR), p.240-248, 2015
13. Garcia-Martin A., Martinez J. M., Robust real time moving people detection in surveillance scenarios, In Advanced Video and Signal Based Surveillance, Seventh IEEE International Conference on, p. 241–247, 2010
14. Hadi R.A., Sulong G., George L.E., Vehicle detection and tracking techniques: a concise review, Signal & Image Processing : An International Journal (SIPIJ) Vol.5, No.1, 13 p. , 2014
15. Arya K.V., Tiwari S., Behwalc S., Real-time vehicle detection and tracking, 13th International Conference on Electrical Engineering/Electronics, Computer, Telecommunications and Information Technology (ECTI-CON), 2016
16. Fujita H., Nogata F., Jiang H. et all, Medical image processing and computer-aided detection/diagnosis (CAD), International Conference on Computerized Healthcare (ICCH), p. 66-71, 2012
17. Katsumata A., Fujita H., Progress of computer-aided detection/diagnosis (CAD) in dentistry, Japanese Dental Science Review, Vol.50 (3), p. 63-68, 2014
18. Sharma P., Malik S., Sehgal S. and Pruthi J., Computer Aided Diagnosis Based on Medical Image Processing and Artificial Intelligence Methods, International Journal of Information and Computation Technology, Vol. 3, No. 9, p. 887-892, 2013
19. Devabalan P., Satellite image processing on a grid based computing environment, International Journal of Computer Science and Mobile Computing, IJCSMC, Vol. 3 (3), p.1039 – 1044, 2014
20. Chiang Y.Y., Leyk S., Knoblock C.A., A Survey of Digital Map Processing Techniques, Journal, ACM Computing Surveys, Vol.47, No.1, 44 p., 2014
21. Sakaguchi H., Kagawa Y., Kazama Y., Satellite Imagery Solution for Natural Resources, Hitachi Review, Vol. 61, No. 12, p.28-34, 2012
22. Vanjare A., Omkar S.N., Senthilnath J., Satellite Image Processing for Land Use and Land Cover Mapping International Journal of Image, Graphics and Signal Processing (IJIGSP), Vol. 6, No. 10, p. 18-28, 2014
23. Sheffield K., Morse-McNabb E., Using satellite imagery to asses trends in soil and crop productivity across landscapes, IOP Conference Series: Earth and Environmental Science, Vol.25, 11p., 2015

24. Jenkinson J., Grigoryan A.M., Hajinoroozi M. et al., Machine Learning and Image Processing in Astronomy with Sparse Data Sets, IEEE International Conference on Systems, Man and Cybernetics (SMC), p.206-209, 2014
25. Kremer J., Stensbo-Smidt K., Gieseke F., Big Universe, Big Data: Machine Learning and Image Analysis for Astronomy, IEEE Intelligent Systems, 15 p., 2017
26. Bloisi D. D., Iocchi L., Nardi D. et al., Ground Traffic Surveillance System for Air Traffic Control, Conference: Proceeding of the 12th International Conference on Intelligent Transport Systems Telecommunications (ITST), 5p., 2012
27. Forlenza L., Fasano G., Accardo D., Moccia A., Flight Performance Analysis of an Image Processing Algorithm for Integrated Sense-and-Avoid Systems, International Journal of Aerospace Engineering, 8p., 2012
28. Theuma K., Zammit-Mangion D., An Image Processing Algorithm for Ground Navigation of Aircraft, Advances in Aerospace Guidance, Navigation and Control, p.381-399, 2015
29. Yanushevsky R., Guidance of Unmanned Aerial Vehicles, CRC Press., 353 p., 2011
30. Gray G., Aouf N., Richardson M.A. et al., An intelligent tracking algorithm for an imaging infrared anti-ship missile, Conference: SPIE Security + Defence, 2012
31. Karacor A., Abay R., Torun E., Aircraft classification using image processing techniques and artificial neural networks, Pattern Recognition and Artificial Intelligence, Vol. 25, 2011
32. Roopa K., Vasudeviah R., Raj P., Neural Network Classifier for Fighter Aircraft Model Recognition, Journal of Intelligent Systems, Vol. 27(3), 2017
33. Neagoe V.-E., Carata S.-V., Ciotec A.-D., An advanced neural network-based approach for military ground vehicle recognition in SAR aerial imagery, Scientific research and education in the air force-AFASES, p.41-47, 2016
34. Bekers W., De Meyer R., Strobbe T., Shape recognition for ships: World War I naval camouflage under the magnifying glass, Proceedings of the 3rd International Conference on Defence Sites: Heritage and Future (DSHF), 12p. 2016
35. Shimoyama T., Maritime Infrastructure Security Using Underwater Sonar Systems, Hitachi Review, Vol. 62, No. 3, p. 214-218, 2013
36. Charalambous E. ş.a., Automated motion detection from space in sea surveillance, Proc. SPIE, Third International Conference on Remote Sensing and Geoinformation of the Environment, Vol. 9535, 10 p, 2015
37. Leal N., Leal E., Sanchez G., Marine vessel recognition by acoustic signature, ARPJN Journal of Engineering and Applied Sciences, Vol. 10, No 20, p. 9633-9639, 2015

38. Han J., Yang P., Zhang Lu, Object Recognition System of Sonar Image Based on Multiple Invariant Moments and BP Neural Network, *International Journal of Signal Processing, Image Processing and Pattern Recognition*, Vol.7, No.5, pp.287-298, 2014
39. Yong C.Y., Sudirman R., Chew K. M., Motion Detection and Analysis with Four Different Detectors, *Third International Conference on Computational Intelligence, Modelling & Simulation*, p.46-50, 2011
40. Pavithra S, Mahanthesh U. M., Stafford M., Shivakumar M., Human Motion Detection and Tracking for Real-Time Security System, *International Journal of Advanced Research in Computer and Communication Engineering*, Vol. 5 (1), p.203-207, 2016
41. Feng G., Li C., Implementation of Real-Time Motion Detecting Algorithm Based on DSP, *First International Conference on Multimedia and Image Processing (ICMIP)*, 2016
42. Jodoin P.-M., Piérard S., Wang Y., Van Droogenbroeck M., Overview and Benchmarking of Motion Detection Methods, chapter 24, *Background Modeling and Foreground Detection for Video Surveillance*, CRC Press, 26p., 2014
43. Kelly D., Automatic Recognition of Head Movement Gestures in Sign Language Sentences, *Proceedings of the 4th China-Ireland Information and Communications Technologies Conference*, p.142-145, 2011
44. Lee S.W., Automatic gesture recognition for intelligent human-robot interaction, *7th International Conference on Automatic Face and Gesture Recognition*, p. 645 – 650, 2006
45. Loconsole C., Chiaradia D., Bevilacqua V., Frisoli A., Real-Time Emotion Recognition: An Improved Hybrid Approach for Classification Performance, *International Conference on Intelligent Computing*, p 320-331, 2014
46. Robert Niese ş.a., Emotion Recognition based on 2D-3D Facial Feature Extraction from Color Image Sequences, *Journal of Multimedia*, Vol. 5, No. 5, p. 488-500, 2010
47. Stolle K. (exhibition director laser world of photonics), *Image Processing in the Automotive Industry*, 22nd International Trade Fair and Congress for Optical Technologies — Components, Systems and Applications, Germany 16 p., 2015
48. Demant C, Streicher-Abel B., Garnica C., *Industrial Image Processing: Visual Quality Control in Manufacturing*, Springer-Verlag Berlin Heidelberg, XVII, 369 p., 2013
49. Davies E.R., *Machine vision in the food industry*, Woodhead Publishing Series in Food Science, Technology and Nutrition, p. 75–110, 2013
50. Vans M., *Automatic visual inspection and defect detection on Variable Data Prints*, Hewlett-Packard Development Company, 41 p., 2010

51. Omidi-Arjenaki O., Moghaddam P., Motlagh A.M., Online tomato sorting based on shape, maturity, size, and surface defects using machine vision, *Turkish Journal of Agriculture and Forestry*, Vol. 37(1), p.62-68, 2012
52. Stoliński S., Bieniecki W., Application of OCR systems to processing and digitization of paper documents, WULS Press Warszawa, p. 102-111, 2011
53. Singh A., Bacchuwar K., Bhasin A., A Survey of OCR Applications, *International Journal of Machine Learning and Computing*, Vol. 2, No. 3, p.314-318, 2012
54. Objelean N., An approach of statistical language model for voice recognition, *International Conference MITRE-2011*, Chisinau, p.145-146, 2011
55. Ispas I., Modelare și modele matematice în recunoașterea obiectelor și clasificarea automată a imaginilor, Universitatea Petru Maior, Târgu Mureș, 20 p., disponibil pe [http://www.upm.ro/facultati\\_departamente/stiinte\\_litere/conferinte/situl\\_integrare\\_europeana/Lucrari/Ispas.pdf](http://www.upm.ro/facultati_departamente/stiinte_litere/conferinte/situl_integrare_europeana/Lucrari/Ispas.pdf)
56. Latharani T.R., Kurian M.Z., Chidananda Murthy M.V., Various object recognition techniques for computer vision, *Journal of Analysis and Computation*, Vol. 7, No. 1, p. 39-47, 2011
57. Sharma P., Kaur M., Classification in Pattern Recognition: A Review, *International Journal of Advanced Research in Computer Science and Software Engineering*, Vol. 3, No. 4, p. 298-306, 2013
58. Boiman O., Shechtman E., Irani M., In Defense of Nearest-Neighbor Based Image Classification, *IEEE Conference on Computer Vision and Pattern Recognition*, 8p. 2008
59. Dasarathy, B. V., *Nearest Neighbor (NN) Norms, NN Pattern Classification Techniques*, IEEE Computer Society Press, 550 p., 1990
60. Anthony Barnett<sup>1</sup>, Jay Santokhi<sup>1</sup>, Michael Simpson, Image Classification using non-linear Support Vector Machines on Encrypted Data, *IACR Cryptology ePrint Archive*, 20 p., 2017
61. Moraru V., Rusu M., „Algorithm for linear pattern separation”, *Meridian Ingineresc*, No. 2, pp. 26-29, 2013 [http://www.utm.md/meridian/2013/MI\\_nr.2\\_2013\\_integral.pdf](http://www.utm.md/meridian/2013/MI_nr.2_2013_integral.pdf)
62. Park D.-C., Image Classification Using Naïve Bayes Classifier, *International Journal of Computer Science and Electronics Engineering (IJCSEE)*, Vol. 4 (3), p.135-139, 2016
63. Goswami D., Kalkan S., Krüger N., Bayesian Classification of Image Structures, *Scandinavian Conference on Image Analysis*, p. 676-685, 2009

64. Ruiz P., Mateos J., Camps-Valls G. et al., Bayesian Active Remote Sensing Image Classification, *IEEE Transactions on Geoscience and Remote Sensing*, Vol. 52(4), p. 2186-2196, 2014
65. Samsó M., A Bayesian method for classification of images from electron micrographs, *Journal of Structural Biology*, Vol. 138, p.157–170, 2002
66. Vidal R., Ma Y., Sastry S., Generalized Principal Component Analysis (GPCA), *IEEE Transactions on Pattern Analysis and Machine Intelligence*, Vol. 27, No. 12, 15p., 2005
67. Sahu M., Verma T., Recognition of Object Using Principle Component Analysis, *International Journal of Advance Research in Computer Science and Management Studies*, Vol. 2, No. 9, p.180-186, 2014
68. Satonkar S. S. , Kurhe A. B. , Prakash K., Face Recognition Using Principal Component Analysis and Linear Discriminant Analysis on Holistic Approach in Facial Images Database, *IOSR Journal of Engineering*, Vol. 2, No. 12, p. 15-23, 2012
69. Kramber W. J. ş.a., Principal component analysis of aerial video imagery, *International Journal of Remote Sensing*, Vol. 9, No. 9, p. 1415-1422, 1988
70. Chi Z., Yan H., Pham T., *Fuzzy Algorithms: With Applications to Image Processing and Pattern Recognition*, World Scientific, 225 p., 1996
71. Teodorescu H.N., Kandel A., Hall L.O., Report of research activities in fuzzy AI and medicine at USF CSE, *Journal Artificial Intelligence in Medicine archive*, Vol. 21, p. 177-183, 2001
72. Dubois D., Prade H., Testmale C., Weighted fuzzy pattern matching, *Fuzzy Sets and Systems*, Vol 28, No.3, p. 313 – 331, 1988
73. Yambal M., Gupta H., Image Segmentation using Fuzzy C Means Clustering: A survey, *International Journal of Advanced Research in Computer and Communication Engineering*, Vol. 2, No. 7, p.2927-2929, 2013
74. Angelov, P., A fuzzy controller with evolving structure, *Information Sciences*, Vol. 161, p.21–35, 2004
75. Angelov P.P., Filev D.P., Kasabov N.K., *Evolving intelligent systems: methodology and applications*, IEEE Press Series in Computational Intelligence, John Wiley and Sons and IEEE Press, New York, 444 p., 2010
76. Lughofer E., Angelov P.P., Detecting and Reacting on Drifts and Shifts in On-Line Data Streams with Evolving Fuzzy Systems, *IFSA-EUSFLAT*, p. 931-937, 2009.

77. Sun C.T., Dynamic Compensatory Pattern Matching in a Fuzzy Rule-Based Control System, American Control Conference, Publisher: IEEE, p. 502 - 505 1991
78. Hartert L., Sayed Mouchaweh M., Billaudel P., Dynamic Fuzzy Pattern Matching for the Monitoring of Non Stationary Processes Fault Detection, Supervision and Safety of Technical Processes, p.516-521, 2009
79. Hartert L., Sayed-Mouchaweh M. , Semisupervised Dynamic Fuzzy K-Nearest Neighbors Learning in Non-Stationary Environments; Methods and Applications, Chapter Learning in Non-Stationary Environments, p 103-124, 2012
80. Hartert L., Mouchaweh M.S., Billaudel P., Dynamic K-Nearest Neighbors for the monitoring of evolving systems, Fuzzy Systems (FUZZ), IEEE International Conference on Pages: 1 - 7, 2010
81. Kumar Jena P., Chattopadhyay S., "Comparative Study of Fuzzy k-Nearest Neighbor and Fuzzy C-means Algorithms," International Journal of Computer Applications, Vol. 57, No. 7, p. 22-32, 2012
82. Broggi A. ş.a., Shape Based Pedestrian Detection, IEEE Intelligent Vehicle Symposium, p.215-220, Dearborn, 2000
83. Mehta S., Dynamic Classification of Defect Structures in Molecular Dynamics Simulation Data, Proceedings of the SIAM International Conference on Data Mining, p.161-172, 2005
84. Chen Ke, On the Dynamic Pattern Analysis, Discovery and Recognition, IEEE Systems, Man & Cybernetics Society E-Newsletter, No. 12, 2005, 10 p.
85. Wu J. ş.a., Mixed Pattern Matching-Based Traffic Abnormal Behavior Recognition, Hindawi Publishing Corporation, The Scientific World Journal, 12 p., 2014
86. Kellokumpu V., Zhao G., Pietikäinen M., Human activity recognition using a dynamic texture based method, British Machine Vision Conference, 10 p., 2008
87. Solmaz B., Moore BE, Shah M., Identifying behaviors in crowd scenes using stability analysis for dynamical systems, IEEE Trans Pattern Anal Mach Intell., Vol.34, No.10, p.64-70, 2012
88. Campedel M., Moulines E., Méthodologie de sélection de caractéristiques pour la classification d'images satellitaires, Conference: Actes de CAP 05, Conférence francophone sur l'apprentissage automatique, 16 p., 2005
89. Forestier G., Wemmert G., Gançarski P., Multisource images analysis using collaborative clustering, EURASIP Journal on Advances in Signal Processing, Vol. 11, p. 374–384, 2008

90. Gañçarski P., Wemmert G., Collaborative multi-strategy classification: application to per-pixel analysis of images, Proceedings of the 6th international workshop on Multimedia data mining: mining integrated media and complex data, Vol. 6, p. 595–608, 2005
91. Wemmert C., Gañçarski P., A multi-view voting method to combine unsupervised classifications, Proceedings of the 2nd IASTED International Conference on Artificial Intelligence and Applications, Vol. 2, p. 447–453, 2002
92. Masson M., Dencœux T., Clustering interval-valued proximity data using belief functions, Pattern Recognition, Vol. 25, No.2, p. 163–171, 2004
93. Masson M., Dencœux T., Ensemble clustering in the belief functions framework, International Journal of Approximate Reasoning, Vol. 52, No. 1, p. 92–109, 2011
94. Xu A., Krzyzak L., Suen C. Y. , Methods of combining multiple classifiers and their applications to handwriting recognition, IEEE Transactions on Systems, Man, and Cybernetics, Vol. 22, No. 3, p. 418–435, 1992
95. Chen Ke, Wang L., Chi H., Methods of Combining Multiple Classifiers with Different Features and Their Applications to Text-Independent Speaker Identification, International Journal of Pattern Recognition and Artificial Intelligence, Vol. 11, No. 3, p. 417-445, 1997
96. Guijarro M., Pajares G., On combining classifiers through a fuzzy multicriteria decision making approach: Applied to natural textured images, Expert Systems with Application, Vol. 39, p. 7262–7269, 2009
97. Urszula M. K., Switek T., Combined unsupervised-supervised classification method, Proceedings of the 13th International Conference on Knowledge Based and Intelligent Information and Engineering Systems: Part II, Vol. 13, p. 861–868, 2009
98. Karem F., Dhibi M., Martin A., Combination of Supervised and Unsupervised Classification Using the Theory of Belief Functions, Proc. of the 2nd International Conference on Belief Functions, Vol. 164, p. 85-92, 2012
99. Prudent Y., Ennaji A., Clustering incrémental pour un apprentissage distribué : vers un système évolutif et robuste, Conférence CAP, Vol. 3287, p. 446–453, 2004
100. Goswami D., Kalkan S., Krüger N., Bayesian classification of image structures, Lecture Notes in Computer Science, Image Analysis, Vol. 5575, p. 676-685, 2009
101. K. J. Bharathi, Chand P. P., Mohan Rao S.K., Classification of sports images using naive Bayesian classifier, International Journal of Computer Science, Systems Engineering and Information Technology, Vol. 4, No. 2, p. 151-155, 2011



102. Storvik G., Fjørtoft R., Schistad Solberg A. H., A Bayesian approach to classification of multiresolution remote sensing data, *IEEE Transactions on Geoscience and Remote Sensing*, Vol. 43, No. 3, p. 539- 547, 2005
103. Mahmud A. R., Tahir N. M., Naïve Bayesian classifier for human shape recognition, *IEEE 9th International Colloquium on Signal Processing and its Applications (CSPA)*, p. 219 – 223, 2013
104. Bustamante C., Garrido L., Soto R., Comparing Fuzzy Naive Bayes and Gaussian Naive Bayes for Decision Making in RoboCup 3D, *5th Mexican International Conference on Artificial Intelligence*, p 237-247, 2006
105. McCallum A., Nigam K., A comparison of event models for Naive Bayes text classification, *Proc. AAAI/ICML-98 Workshop on Learning for Text Categorization*, p. 41-48, 1998
106. Vidhya K. A, Aghila G., A Survey of Naïve Bayes Machine Learning approach in Text Document Classification, *International Journal of Computer Science and Information Security*, Vol. 7, No. 2, 2010
107. Strategia națională de gestionare a deșeurilor pentru perioada 2013-2027”, aprobată prin HG nr. 248 din 10.04.2013, disponibilă pe [www.mediu.gov.md](http://www.mediu.gov.md)
108. Capel C., Waste Sorting - A Look At The Separation And Sorting Techniques In Today's European Market, disponibil pe <http://www.waste-management-world.com/articles/print/volume-9/issue-4/features/waste-sorting-a-look-at-the-separation-and-sorting-techniques-in-todayrsquos-european-market.html>
109. Rusu M., „Computerized visual inspection applied to identification and classification of labeled chemicals”, *International Conference 7th Edition Electronics, Computers and Artificial Intelligence, Bucharest – Romania*, Vol. 7, No. 2, AF11 –AF16, 2015
110. Lowe D. G., “Distinctive Image Features from Scale-Invariant Keypoints”, *Computer Int. J. Computer Vision* 60 (2), pp. 91-110, 2004
111. Lowe D., “Demo Software: SIFT Keypoint Detector”, accesat 4.05.2015: <http://www.cs.ubc.ca/~lowe/keypoints/>
112. Guoshen Yu, Morel J.-M., “A fully affine invariant image comparison method”, *Proc. IEEE Int. Conf. Acoustics, Speech and Signal Processing (ICASSP)*, p. 1597–1600, 2009
113. Guoshen Yu, Morel, J.-M., “ASIFT: An Algorithm for Fully Affine Invariant Comparison”, accesat 8.05.2015: <http://www.ipol.im/pub/art/2011/my-asift/>

114. Borne P., Benrejeb M., Haggège J., Les réseaux de neurones: présentation et applications, ed. Technip, Paris, 150 p., 2007
115. Haykin S., Neural Networks: A Comprehensive Foundation, Prentice Hall, 842 p., 1999
116. Souza F., Valle E., Chávez G., Araújo A. Hue histograms to spatiotemporal local features for action recognition. *Computer Vision and Pattern Recognition*, Vol. 1, 4 p., 2011
117. Navon E., Miller O., Averbuch A. Color image segmentation based on adaptive local thresholds. *Image and Vision Computing*, Vol. 23, p. 69-85, 2005
118. Suryanto, Kim D.H., Kim H.K., Ko S.J. Spatial color histogram based center voting method for subsequent object tracking and segmentation, *Image and Vision Computing*, Vol. 29, p. 850-860, 2011
119. Bong C.W., Rajeswari M. Multi-objective nature-inspired clustering and classification techniques for image segmentation. *Applied Soft Computing*, Vol.11, 2011, p. 3271-3282
120. Chien B.C., Cheng M.C., A color image segmentation approach based on fuzzy similarity measure. *Proceedings of the 2002 IEEE International Conference on Fuzzy Systems*, Vol. 1, p. 449- 454, 2002
121. Sowmya B., Rani B.S., Colour image segmentation using fuzzy clustering techniques and competitive neural network. *Applied Soft Computing*, Vol. 11, p. 3170-3178, 2011
122. Murugesan K. M., Palaniswami S. Efficient colour image segmentation using multi-elitist-exponential particle swarm optimization. *Journal of Theoretical and Applied Information Technology*, Vol. 18, No. 1, p. 35-41, 2010
123. Deng Y., Manjunath B. S., Shin H. Color image segmentation. *IEEE Computer Society Conference on Computer Vision and Pattern Recognition*, Vol. 2, p. 446-451, 1999
124. Shih F.Y., Cheng S. Automatic seeded region growing for color image segmentation. *Image and Vision Computing*, Vol. 23, p. 877-886, 2005
125. Liu L., Sclaroff S. Region segmentation via deformable model-guided split and merge. *Proc. Eighth IEEE International Conference on Computer Vision*, Vol.1, p. 98- 104, 2001
126. Ma W.Y., Manjunath B. S. EdgeFlow: A technique for boundary detection and image segmentation. *IEEE Transactions on Image Processing*, Vol. 9, No. 8, p. 1375- 1388, 2000
127. Rao S. R. and al. Natural image segmentation with adaptive texture and boundary encoding. *Proc. of the 9th Asian conference on Computer Vision*, Vol. 1, p. 135-146, 2009
128. Angulo J., Serra J. Modelling and segmentation of colour images in polar representations. *Image and Vision Computing*, Vol. 25, p. 475-495, 2007

129. Nikolaev D. P., Nikolayev P.P. Linear color segmentation and its implementation. *Computer Vision and Image Understanding*, Vol. 94, p. 115-139, 2004
130. Haris K. et al. Hybrid image segmentation using watersheds and fast region merging. *IEEE Transactions on Image Processing*, Vol. 7, No. 12, p.1684-1699, 1998
131. Kim J. S., Hong K.S. Color–texture segmentation using unsupervised graph cuts. *Pattern Recognition*, Vol. 42, p. 735- 750, 2009
132. Verikas A., Malmqvist K., Bergman L. Colour image segmentation by modular neural network. *Pattern Recognition Letters*, Vol. 18, No. 2, p. 173-185, 1997
133. Imaginea test butterfly. Disponibilă:  
<http://www.eecs.berkeley.edu/Research/Projects/CS/vision/bsds/BSDS300/html/dataset/images/gray/35010.html> (vizitat 5.03.2013)
134. Imaginea test blood cells. Disponibilă:  
<http://www.pudn.com/downloads58/sourcecode/math/detail206012.html> (vizitat 6.03.2012).
135. Papamarkos N. and Gatos B. A new approach for multithreshold selection. *Computer Vision, Graphics and Image Processing-Graphical Models and Image Processing*, Vol. 56, No. 5, p. 357-370, 1994
136. Imaginea test #260058 (Pyramids). Disponibilă:  
<http://www.eecs.berkeley.edu/Research/Projects/CS/vision/grouping/segbench/BSDS300/html/dataset/images/gray/260058.html> (vizitat 5.03.2013)
137. Reynolds D., Rose C. Robust text-independent speaker identification using Gaussian mixture speaker models. *IEEE Transactions on Speech and Audio Processing*, Vol. 3, No. 1, p.72-83, 1995
138. Huang Z. K., Chau K. W. A new image thresholding method based on Gaussian mixture model. *Applied Mathematics and Computation*, Vol. 205, p. 899–907, 2008
139. Tang H. et al. A vectorial image soft segmentation method based on neighborhood weighted Gaussian mixture model. *Computerized Medical Imaging and Graphics*, Vol. 33, p. 644–650, 2009
140. Liu J., Zhang H. Image segmentation using a local GMM in a variational framework. *J. Mathematical Imaging and Vision*, Vol. 132, No. 46, p. 1992-2013, 2012
141. Reynolds, D.A., Quatieri, T.F., Dunn, R.B., Speaker Verification Using Adapted Gaussian Mixture Models, *Digital Signal Processing*, Vol. 10(1), pp. 19–41, 2000
142. Imaginea test peppers. Disponibilă:

<http://introc.cs.princeton.edu/java/31datatype/peppers.jpg> (vizitat 6.03.2012)

143. Halder A., Pathak N. An evolutionary dynamic clustering based colour image segmentation. *International Journal of Image Processing (IJIP)*, Vol. 4, No. 6, p. 549-556, 2011
144. Canny J. A computational approach to Edge Detection. *Pattern Analysis and Machine*, Vol. 8, No. 6, p. 679 – 698, 1986
145. Duda R. O., Hart P. E. Use of the Hough transformation to detect lines and curves in pictures. *Communications of the ACM*, Vol. 15 No. 1, p. 11-15, 1972
146. Rusu M., Teodorescu H.-N. A Method for Image Segmentation based on Histograms – Preliminary Results, 4th International Conference Telecommunications, Electronics and Informatics, p. 351-354, 2012
147. Teodorescu H.-N. Rusu M. Yet Another Method for Image Segmentation based on Histograms and Heuristics. *Computer Science Journal of Moldova*, vol.20, no.2 (59), 2012, p. 163-177. <http://www.math.md/publications/csjm/issues/v20-n2/11087/>
148. Berry P.S.M, Bercovitch F.B. Darkening Coat Colour Reveals Life History and Life Expectancy of Male Thornicrofts Giraffes. *Journal of Zoology*, Vol. 287, No. 3, p.157–160, 2012
149. Teodorescu H.-N., Rusu M. Image Segmentation Based on G-UN-MMs and Heuristics. Theoretical Background and Results. *Proceedings of the Romanian Academy, Series A*, Vol. 14, No. 1, p. 78–85, 2013, <http://www.acad.ro/sectii2002/proceedings/doc2013-1/12-Teodorescu.pdf>
150. Teodorescu H.-N., Rusu M. Improved Heterogeneous Gaussian and Uniform Mixed Models (G-U-MM) and Their Use in Image Segmentation, *Romanian Journal of Information Science and Technology (ROMJIST)*, Vol.16, No.1, p.29-51, 2013, [http://www.imt.ro/romjist/Volum16/Number16\\_1/pdf/03-MRusu.pdf](http://www.imt.ro/romjist/Volum16/Number16_1/pdf/03-MRusu.pdf)
151. Imaginea „Lena”. Disponibilă pe adresa: <http://www.ece.rice.edu/wakin/images/lena512.bmp>
152. D. Duvenaud, H. Nickisch, C. E. Rasmussen, Additive Gaussian processes, 2011, 9 pagini. Disponibil pe adresa: <http://arxiv.org/pdf/1112.4394v1.pdf>
153. G. Blanchard, M. Kawanabe, et al., In Search of non-Gaussian components of a highdimensional distribution, *J. Machine Learning Research*, Vol. 7, p. 247-282, 2006
154. Imaginea „rabbit”. Disponibilă pe adresa: <http://www.engineering.uiowa.edu/dip/examples/images/rabbit.jpg>

155. Rusu M., Teodorescu H-N., Quality Analysis of Image Segmentation based on G-UN-MMs, 2nd International Conference on Nanotechnologies and Biomedical Engineering, Chisinau, Republic of Moldova, p. 620-624, April 18-20, 2013  
[http://www.icnbme.sibm.md/bio\\_imaging.html](http://www.icnbme.sibm.md/bio_imaging.html)
156. H. Zhang et al., Image segmentation evaluation: A survey of unsupervised methods, Computer Vision and Image Understanding, Vol. 110, No.2, p. 260-280, 2008
157. K. Udupa et al., A framework for evaluating image segmentation algorithms, Computerized Medical Imaging and Graphics, Vol. 30, p.75-87, 2006
158. Sezgin, M., Sankur, B., Survey over image thresholding techniques and quantitative performance evaluation, Journal of Electronic Imaging, Vol. 13, No. 1, p. 146–165, 2004
159. Ilea, D.E., Whelan P.F., Image segmentation based on the integration of colour – texture descriptors – A review, Pattern Recognition, Vol. 44, p. 2479–2501, 2011
160. Sharma, M., Singh, S., Evaluation of Texture Methods for Image Analysis, The Seventh Australian and New Zealand Intelligent Information Systems Conference, p.117-121, 2001
161. Rusu M., Thresholding methods and quantitative evaluation of results, Meridian Ingineresc, No. 2, p. 18-25, 2013  
[http://www.utm.md/meridian/2013/MI\\_nr.2\\_2013\\_integral.pdf](http://www.utm.md/meridian/2013/MI_nr.2_2013_integral.pdf)
162. Baza de Date de imagini USC-SIPI. <http://sipi.usc.edu/database/database.php>
163. Garcia D., Otsu Image segmentation using Otsu thresholding, 2010, Programul în Matlab este disponibil pe <https://www.mathworks.com/matlabcentral/fileexchange/26532-image-segmentation-using-otsu-thresholding>
164. Papamarkos N., Gatos B. "A new approach for multithreshold selection" Computer Vision, Graphics, and Image Processing-Graphical Models and Image , Processing, Vol. 56, No. 5, pp. 357-370, 1994. Programul în Matlab este disponibil pe <https://www.mathworks.com/matlabcentral/fileexchange/27871-image-multithresholding>
165. Rusu, M., Teodorescu, H.N., Improved Heterogeneous Gaussian and Uniform Mixed Models (G-U-MM) and their use in Image Segmentation. Disponibil pe adresa: [http://francophonie.utm.md/rusu\\_mariana/](http://francophonie.utm.md/rusu_mariana/)
166. Moraru V., Rusu M., „Algorithm for linear pattern separation”, Meridian Ingineresc, No. 2, pp. 26-29, 2013 [http://www.utm.md/meridian/2013/MI\\_nr.2\\_2013\\_integral.pdf](http://www.utm.md/meridian/2013/MI_nr.2_2013_integral.pdf)
167. Freund, R. M., Pattern Classification, and Quadratic Problems, Massachusetts Institute of Technology, 2004
168. Vapnik, V., The nature of statistical learning theory, Springer-Verlag, New York, 1995

169. Moraru, V., A Smooth Newton Method for Nonlinear Programming Problems with Inequality Constraint, *Computer Science Journal of Moldova*, Vol. 19, Nr. 3 (57), pp. 333-353, 2011
170. Ypma, T. J. Historical development of the Newton-Raphson method, *SIAM Review*, Vol. 37, No. 4, pp. 531-551, 1995
171. Byun, H., Lee, S. W., Applications of Support Vector Machines for Pattern Recognition: A Survey, *Pattern Recognition with Support Vector Machines*, Vol. 2388, pp. 213-236, 2002
172. Bani M.S., Rashid Z.A., Hamid K.H.K., Harbawi M.E., Alias A.B., Aris M.J., “The Development of Decision Support System for Waste Management; a Review”, *World Academy of Science, Engineering and Technology, International Journal of Chemical, Molecular, Nuclear, Materials and Metallurgical Engineering*, Vol. 3, No.1, pp.17-24, 2009
173. Cheng S., Chan C.W., Huang G.H., An integrated multi-criteria decision analysis and inexact mixed integer linear programming approach for solid waste management, *Engineering Application of Artificial Intelligence*, Vol. 16, pp. 543-554, 2003
174. Musee N., Lorenzen L., Aldrich C., New methodology for hazardous waste classification using fuzzy set theory, *Journal of Hazardous Materials*, Vol. 154 (1), pp. 1040-1051, 2008
175. Stirling H., The recovery of waste glass cullet for recycling purposes by means of electro-optical sorters, *Conservation & Recycling*, Vol. 1(2), pp. 209-219, 1977
176. Rahman M.O., Hussain A., Scavino E., Basri H., Hannan M. A., Intelligent computer vision system for segregating recyclable waste papers, *Expert Systems with Applications*, Vol. 38 (8), pp. 10398–10407, 2011
177. Lewis J. P., “Fast Normalized Cross-Correlation”, *Vision interface*, Vol.10, No.1, p. 120-123, 1995
178. Rusu M., Zbancioc M.-D., Automated identification of objects based on Normalized Cross-Correlation and Genetic Algorithm, *IEEE Int. Conf. on E-Health and Bioengineering*, 4 p., 2015
179. Poli R. and Cagoni S., “Genetic programming with user-driven selection: Experiments on the evolution of algorithms for image enhancement”, *Genetic Programming*, p.269-277, 1997
180. Paulinas M., Ušinskas A., A survey of genetic algorithms applications for image enhancement and segmentation, *Information Technology and Control*, Vol.36, No.3, p. 278-284, 2007

181. Suganthan, P.N., Structural pattern recognition using genetic algorithms, *Pattern Recognition*, Vol. 35, No.9, p. 1883–1893, 2002
182. Tan X., Bhanu B., Fingerprint matching by genetic algorithms, *Pattern Recognition*, Vol. 39, p.465 – 477, 2006
183. Kobayashi T. and Machida N., Identifying Hand Gesture Images by Using Genetic Algorithms, *Conference on Machine Vision Applications*, Japan, p. 240-243, 2007
184. M. Rusu, „Computerized visual inspection applied to identification and classification of labeled chemicals”, *International Conference 7th Edition Electronics, Computers and Artificial Intelligence*, Bucharest–Romania, vol. 7, no. 2, AF11 –AF16, 2015
185. Border tracing, sections from Chapter 5 according to the www syllabus of University of Iowa <http://user.engineering.uiowa.edu/~dip/LECTURE/Segmentation2.html#tracing>
186. Yang M., Kpalma K., Ronsin J., Shape-Based Invariant Feature Extraction for Object Recognition, Chapter *Advances in Reasoning-Based Image Processing Intelligent Systems*, Vol. 29 of the series *Intelligent Systems Reference Library*, pp. 255-314, 2012
187. Zhang D., Lu G., Review of shape representation and description techniques, *Pattern Recognition*, Vol.37 (1), pp. 1–19, 2004
188. Scradeanu D., *Modele cantitative statistice*, 104 p, available on [http://www.unibuc.ro/prof/scradeanu\\_d/docs/2013/noi/08\\_21\\_27\\_123\\_Modele\\_CANTITATIVE\\_STATISTICE\\_DSCRD.pdf](http://www.unibuc.ro/prof/scradeanu_d/docs/2013/noi/08_21_27_123_Modele_CANTITATIVE_STATISTICE_DSCRD.pdf)

## ANEXE

### Anexa 1: Codul sursă al programului de segmentare bazat pe G-U-MM

```
//-----  
// Nume fisier: G-U-MM SEG  
//-----  
// autori: drd. Mariana RUSU,  
// Prof. dr. ing. HN.Teodorescu, m.c.A.R.  
//-----  
// Versiunea 7 din 2 aprilie 2013  
//-----  
#include <stdio.h>  
#include <stdlib.h>  
#include <string.h>  
#include <ctype.h>  
#include <conio.h>  
#include <math.h>  
#define dim1 170  
#define dim2 170  
  
//reprezentarea histogramei  
void calchist(int matr[dim1][dim2],long H[256]){  
    int i,j;  
    for(i=0;i<256;i++) H[i]=0;  
  
    for(i=0; i<dim1; i++)  
        for(j=0; j<dim2; j++) H[matr[i][j]]++;  
}  
  
//medierea histogramei cu fereastra de 20  
void filtru_f20(long H[256]) {  
    long HTemp[256];  
    long sum;  
    int i,j;  
    for(i=0;i<256;i++) {  
        sum=0;  
        if(i+20<256) for(j=i;j<i+20;j++) sum+=H[j];  
        else for(j=i-20;j<256;j++) sum+=H[j];  
        HTemp[i]=int(sum/20);  
    }  
    for(i=0;i<256;i++) H[i]=HTemp[i];  
}  
  
//medierea histogramei cu fereastra de 11, pixel centrat pe pozitia 6 (5+1+5)  
void filtru_f11(long H[256]){  
    long HTemp[256];  
    long sum;  
    int i,j;  
    for(i=5;i<256-5;i++) {  
        sum=0;  
        for(j=i-5;j<i+5;j++) sum+=H[j];  
        HTemp[i]=int(sum/11);  
    }  
    for(i=5;i<256-5;i++) H[i]=HTemp[i];  
}  
  
//filtru median http://www.librow.com/articles/article-1  
void filtru_median(long H[256]){
```



```

long HTemp[256];
int i,j;
int temp,*result;
//for(i=0;i<2;i++) H[i]=H[i];
for (i = 2; i < 256 - 2; ++i) {
    // Pick up window elements
    // window HTemp[5];
    for (j = 0; j < 5; ++j) HTemp[j] = H[i - 2 + j];
    // Order elements (only half of them)
    for (int j = 0; j < 3; ++j) {
        // Find position of minimum element
        int min = j;
        for (int k = j + 1; k < 5; ++k)
            if (HTemp[k] < HTemp[min]) min = k;
        // Put found minimum element in its place
        //const element temp = window[j];
        temp=HTemp[j];
        HTemp[j] = HTemp[min];
        HTemp[min] = temp;
    }
    // Get result - the middle element
    //result[i - 2] = HTemp[2];
    H[i] = HTemp[2];
}
}

```

#### **//scrierea histogramei in fisier**

```

void HistInFile(long H[256],char *file ){
    FILE *fl;
    char nbr[5];
    fl=fopen(file,"w");
    if((fl=fopen(file,"w"))==NULL) puts("Fisierul nu poate fi deschis");

    for(int i=0;i<256;i++) {
        ltoa(H[i],nbr,10);
        fputs(strcat(nbr,"\n"),fl);
    }
    fclose(fl);
}

```

#### **// afisarea histogramiei**

```

void affisareHist(long H[256]){
    char ch;
    for(int i=0;i<256;i++) {
        printf("%3d: %li\n",i, H[i]);
        if((i+1)%25==0) {
            ch=getch();
            if(ch=='c') break;
        }
    }
}

```

#### **//determinarea intervalelor semi-constante**

```

void pragHNT(long H[256],int &pragm1, int &pragm2, long Prags[256]){
    int i, k1, min, max1, max2, prag1, prag2, prag01, prag02, pprag=0, ppragm=0, cont=0, fl=0, sct=24 ;
    double p1=0.2, p2=1.5;
    long HMax1,HMax2, VMin, VMax, VMinL, VMaxL;
    float res;
    char ch;

```

```

HMax1=H[0];HMax2=H[0]; max1=0; max2=-1; k1=0; Prags[0]=0;
for(i=1; i<256; i++) {
    if(HMax1<H[i]) { HMax1=H[i]; max1=i;}
    Prags[i]=0;
}
for(i=1; i<256; i++)
    if(HMax2<H[i] && H[i]!=HMax1 && H[i]>=ceil(p1*HMax1)) { HMax2=H[i]; max2=i;}
//printf("\n\n Max1=%li with gray level %d;\n\n Max2=%li with gray level %d;\n\n " , H[max1],max1,H[max2],max2);
VMax=H[0]; VMin=H[0];
i=0; min=0; prag01=0; prag02=0;
do{
    if(i==(sct*(k1+1)-6*k1) || i==255){
        res=(float)(VMax-VMin)/cont;
        prag1=i-cont; prag2=i-1; //determining the limits of current interval
        if(res<=p2){
            printf("\n Interval %d; prag1=%d, prag2=%d, VMax= %li, VMin=%li, res=%f
\n",k1,prag1,prag2,VMax,VMin,res);
            if(!fl) prag01=prag1; //initializing the left limit of the quasi-constant interval
            prag02=prag2; //initializing the right limit of the quasi-constant interval
            pprag++; //counting the number of the sub-intervals in the quasi-constant interval
            fl=1;
        }else fl=0;

        if((!fl && (prag02==prag1+5)) || (fl && i==255)){ //represent the all quasi-constant interval
            if(pprag>=ppragm) {pragm1=prag01; pragm2=prag02; ppragm=pprag;}
            printf("\n Continuous quasi-constant interval %d with the limits (thresholds): %d si %d
\n",pprag, prag01,prag02);
            Prags[prag01]=1; Prags[prag02]=1;
        }

        if(!fl) {
            pprag=0;
            printf("\n Interval %d; VMax= %li; VMin=%li , res=%f\n",k1,VMax,VMin,res);
        }

        if(i==255) break;
        i=6; cont=0;

        k1++;
        VMax=H[i]; VMin=H[i];
        ch=getch();
    }else{
        if(VMin>H[i]) VMin=H[i]; //determining the minimum on the interval
        if(VMax<H[i]) VMax=H[i]; //determining the maximum on the interval
        i++;
        cont++;
    }
}while(i<256);

if(ppragm>0) printf("\n Quasi-constant interval with maxim %d sub-intervals with the limits: %d si %d\n",ppragm,
pragm1,pragm2);
else printf("\n Not detected any quasi-constant interval\n");
}

//determinarea intervalelor cu distributie gaussiana
void gauss(long H[256], int &pragm1, int &pragm2, long Prags[256], long Hout[256]){
    int center, i, j, prag01, prag1, prag2, b, b_optim, max1, cc, fl;
    long HMax1,A;

```

```

float error_q, error_min, error_un;

cc=0; prag01=0; prag1=0; prag2=0; fl=0;
for(j=0; j<256; j++) Hout[j]=H[j];
for(j=1; j<256; j++) {
    //if(Prags[j]){ //pentru calcul doar pe intervalele determinate
    if(Prags[j] || j==255){ //pentru calcul pe toate intervalele
        //if(cc==0) prag1=j; //pentru calcul doar pe intervalele determinate
        //else prag2=j; //pentru calcul doar pe intervalele determinate
        center=(prag2+j)/2;
        if(fl && H[center]<H[prag2] && H[center]>H[j]) {
            Prags[prag1]=0; Prags[prag2]=0;
            prag1=prag01;
            prag2=j;
            //printf("\n\n MERGE: %d - %d ; center is %d with value
%d",prag1,prag2,center,H[center]);
        }else{
            prag01=prag1;
            prag1=prag2; //pentru calcul pe toate intervalele
            prag2=j; //pentru calcul pe toate intervalele
        }
        cc++;
        fl=0;
    }
    //if(cc==2){ //pentru calcul doar pe intervalele determinate
    if(cc>0){ //pentru calcul pe toate intervalele
        center=(prag1+prag2)/2; //determine the center of interval
        printf("\n\n Intrval de calcul: %d - %d ; center is %d with value %d",prag1,prag2,center,H[center]);
        if (H[center]>H[prag1]&& H[center]>H[prag2]){
            HMax1=H[prag1];
            //determine the maximum of interval
            for(i=prag1; i<=prag2; i++) if(HMax1<H[i]) { HMax1=H[i]; max1=i;}

            A=H[max1];
            printf("\n maxim: %d in %d", A, max1);
            for(b=3;b<100;b++){
                error_q=0;
                for(i=prag1; i<=max1; i++) {
                    error_q+=pow(H[i]-A*exp(-pow((i-max1),2)/b),2);
                }

                if(b==3) {error_min=error_q; b_optim=b;}
                else{
                    if(error_min>error_q) {error_min=error_q; b_optim=b;}
                }
            }
            printf("\n\n b_optim=%i ; error_min=%f", b_optim,error_min);
            for(i=prag1; i<=prag2; i++) Hout[i]=A*exp(-pow((i-max1),2)/b_optim);
        }
        else {
            printf("\n\n The interval represents UN\n\n");
            for(i=prag1; i<=prag2; i++) Hout[i]=H[center];
        }
        cc=0; getch();
    }
}

```

```

}

void gaussAll(long H[256], long Prags[256], long Pgauss[256]){
    int center, i, j, k, prag01, prag02, prag1, prag2, b, b_optim, max1, cc, gauss=0;
    long HMax1,A;
    float error_q, error_min, med_l, med_c, med_r;
    printf("este");
    cc=0; prag01=0; prag1=0; prag2=0;
    for(j=0; j<256; j++) {Pgauss[j]=0;}
    for(j=1; j<256; j++) {
        //if(Prags[j]){ //pentru calcul doar pe intervalele determinate
        if(Prags[j]>0 || j==255){ //pentru calcul pe toate intervalele

            prag01=prag1;
            prag1=prag2; //pentru calcul pe toate intervalele
            prag2=j;
            cc++;
        }

        if(cc>0){ //pentru calcul spe toate intervalele
            center=(prag1+prag2)/2; //determine the center of interval
            printf("\n\n Intrval de calcul: %d - %d ; center is %d with value %d",prag1,prag2,center,H[center]);
            if (H[center]>H[prag1]&& H[center]>H[prag2]){
                HMax1=H[prag1];
                //determine the maximum of interval
                for(i=prag1; i<=prag2; i++) if(HMax1<H[i]) { HMax1=H[i]; max1=i;}

                A=H[max1];

                printf("\n maxim: %d in %d", A, max1);
                for(b=3;b<100;b++){
                    error_q=0;
                    for(i=prag1; i<=max1; i++) error_q+=pow(H[i]-A*exp(-(i-max1),2)/b),2);

                    if(b==3) {error_min=error_q; b_optim=b;}
                    else{
                        if(error_min>error_q) {error_min=error_q; b_optim=b;}
                    }
                }
                printf("\n\nb_optim=%i ; error_min=%f", b_optim,error_min);
                Pgauss[prag1]=++gauss; Pgauss[prag2]=gauss;
            }else {
                printf("\n\nThe interval represents UN\n\n");
                for(k=prag1; k<prag2; k+=18){
                    prag02=0;
                    if(k+24<prag2) prag02=k+24;
                    else if(k+18<=prag2) prag02=prag2;

                    if(prag02>0){
                        center=(k+prag02)/2;med_l=0;med_c=0;med_r=0;
                        for(i=0;i<6;i++){
                            med_l+=H[k+i]/6;
                            med_r+=H[prag02-i]/6;
                            med_c+=H[center-3+i]/6;
                        }
                    }
                }
            }
        }
    }
}

```

```

        if (med_c > med_l && med_c > med_r) {Pgauss[k]=++gauss;
Pgauss[prag02]=gauss;}
    }
    }
    }
    }
    }
    cc=0; getch();
}
for(i=0; i<=255;i++) if(Pgauss[i]>0)printf("\n Intrval gauss: %d in %d ;",Pgauss[i],i);
}

void itervaleGauss(long H[256], long Prags[256]){
    int center, i, j, k, prag02, prag1, prag2;
    float med_l, med_c, med_r;

    prag1=0; prag2=0;
    for(j=1; j<256; j++) {
        if(Prags[j]>0 || j==255){ //pentru calcul pe toate intervalele

            prag1=prag2; //pentru calcul pe toate intervalele
            prag2=j;

            for(k=prag1; k<prag2; k+=18){
                prag02=0;
                if(k+23<prag2) prag02=k+23;
                else if(k+17<=prag2) prag02=prag2;
                if(prag02>0){
                    center=(k+prag02)/2; med_l=0; med_c=0; med_r=0;
                    for(i=0; i<6; i++){
                        med_l+=H[k+i]/6;
                        med_r+=H[prag02-i]/6;
                        med_c+=H[center-3+i]/6;
                    }
                    if(med_c>med_l && med_c>med_r) {Prags[k]=2; Prags[prag02]=2;}
                    printf("\n\n Intrval de calcul: %d - %d ; medii: %.2f, %.2f, %.2f",k,prag02,med_l,
med_r, med_c);
                }
            }
        }
    }
}


```

#### **//calcularea erorii aproximării pentru distributia Gaussiană**

```

void gaussCalc1(long H[256], long Prags[256], float Errors[20], int Bs[20]){
    int i, j, prag01, prag1, prag2, b, b1, b2, b_optim, b_optim1, b_optim2, max1, cc, ec, b_un;
    long HMax1, A, center, error_un=0;
    float error_q, error_min, error_q1, error_min1, error_q2, error_min2;

    cc=0; prag01=0; prag1=0; prag2=0; ec=0;
    //for(j=0; j<256; j++) Hout[j]=H[j];
    for(j=1; j<256; j++) {
        if(Prags[j]>0 || j==255){ //pentru calcul pe toate intervalele

            prag01=prag1;
            prag1=prag2; //pentru calcul pe toate intervalele
            prag2=j;
            cc++;
        }
    }
}

```

```

if(cc>0){
    //pentru calcul spe toate intervalele
    center=(prag1+prag2)/2; //determine the center of interval

    error_un=0;
    for(i=prag1; i<=prag2; i++) error_un+=pow((i-center),2);
    b_un=pow((prag2-prag1),2)/12;

    printf("\n\n Interval de calcul: %d - %d ; center is %d with value %d; limits values: %d ,
%d",prag1,prag2,center,H[center],H[prag1],H[prag2]);
    printf("\n for UN error_un= %li, b_un=%i", error_un, b_un);

    if (H[center]>H[prag1]&& H[center]>H[prag2]){
        HMax1=H[prag1];
        //determine the maximum of interval
        for(i=prag1; i<=prag2; i++) if(HMax1<H[i]) { HMax1=H[i]; max1=i;}

        A=H[max1];
        printf("\n maxim: %d in %d", A, max1);

        for(b1=3;b1<7200;b1++){
            error_q1=0;
            for(i=prag1; i<=max1; i++) error_q1+=pow(H[i]-A*exp(-pow((i-
max1),2)/b1),2);

            if(b1==3) {error_min1=error_q1; b_optim1=b1;}
            else{
                if(error_min1>error_q1) {error_min1=error_q1; b_optim1=b1;}
            }
        }

        printf("\n b_optim1=%i ; error_min1=%.2f", b_optim1,error_min1);

        for(b2=3;b2<7200;b2++){
            error_q2=0;
            for(i=max1; i<=prag2; i++) error_q2+=pow(H[i]-A*exp(-pow((i-max1),2)/b2),2);

            if(b2==3) {error_min2=error_q2; b_optim2=b2;}
            else{
                if(error_min2>error_q2) {error_min2=error_q2; b_optim2=b2;}
            }
        }

        printf("\n b_optim2=%i ; error_min2=%f", b_optim2,error_min2);

        b_optim=(b_optim1+b_optim2)/2;
        error_q1=0;
        for(i=prag1; i<=max1; i++) {
            error_q1+=pow(H[i]-A*exp(-pow((i-max1),2)/b_optim),2);
            error_q2=0;
            for(i=max1; i<=prag2; i++) error_q2+=pow(H[i]-A*exp(-pow((i-
max1),2)/b_optim),2);

            error_min=error_q1+error_q2;
        }
        printf("\n b_optim=%i ; error_min=%f", b_optim,error_min);

        Errors[ec]=error_min; Bs[ec++]=b_optim;
        Prags[prag1]=2; Prags[prag2]=2;
    }
}

```

```

else printf("\nThe interval represents UN\n\n");

cc=0;
}
}
}

//Extindem daca e posibil intervalele cu distributie gaussiana
void transformGauss(long H[256], long Prags[256], float Errors[20], int Bopt[20]){
int i, j, k, prag1, prag2, prag00, prag01, prag02, b_optim, max1, cc, ec;
long HMax1,A;
float e_q, e_q1,e_q2=0, error_min, error_q1, error_q2;

cc=0; prag1=0; prag2=0; ec=0;

for(j=0; j<=255; j++) {
if(Prags[j]==1) {cc=0; prag00=j;}
else if((Prags[j]>1 || j==255)&& (j>prag2 || j==0)){ //pentru calcul pe toate intervalele

prag1=prag2;
//pentru calcul pe toate intervalele
prag2=j;
cc++;

}

if(!(cc<2 || prag1==prag2)){
HMax1=H[prag1];
prag01=prag1; prag02=prag2;

//determine the maximum of interval
for(i=prag1; i<=prag2; i++) if(HMax1<H[i]) { HMax1=H[i]; max1=i;}

b_optim=Bopt[ec++];
printf("\n\n prag1=%d, prag2=%d, b_optim=%i", prag1,prag2,b_optim);
for(k=prag1-1; k>=0; k--){
e_q1=H[k]-HMax1*exp(-pow((k-max1),2)/b_optim);

e_q=k-(prag00+prag01)/2;
printf("\n LEFT: e_q=%.2f, e_q1=%.2f, e_q2=%.2f", e_q, e_q1,e_q2);
if(fabs(e_q1)<fabs(e_q)) {Prags[prag1]=0; Prags[k]=2; prag1=k;}
else break;
}
error_q1=0;
for(i=prag1; i<=max1; i++) error_q1+=pow(H[i]-HMax1*exp(-pow((i-max1),2)/b_optim),2);

prag00=255;
for(k=prag2+1; k<=255; k++) if(Prags[k]) {prag00=k; break;}
for(k=prag2+1; k<=255; k++){
e_q1=H[k]-HMax1*exp(-pow((k-max1),2)/b_optim);

e_q=k-(prag00+prag02)/2;
printf("\n RIGHT: e_q=%.2f, e_q1=%.2f, e_q2=%.2f", e_q, e_q1,e_q2);
if(fabs(e_q1)<fabs(e_q)) {Prags[prag2]=0; Prags[k]=2; prag2=k;}
else break;
}
error_q2=0;
for(i=max1; i<=prag2; i++) error_q2+=pow(H[i]-HMax1*exp(-pow((i-max1),2)/b_optim),2);

```

```

        error_min=error_q1+error_q2;
        printf("\n b_optim=%i ; error_min=%f", b_optim,error_min);

        cc=0; // trecerea intre gaussiene: 0 - pentru gaussiene separate de uniforme, 1 - pentru gaussiene
consecutive
    }
}

void gaussCalc2(long H[256], long Prags[256], float Errors[20], int Bs[20]){
    int center, i, j, prag01, prag1, prag2, b, max1, cc, ec;
    long HMax1,A;
    float error_q, error_min, b1,b2;

    cc=0; prag01=0; prag1=0; prag2=0; ec=0;

    for(j=1; j<256; j++) {
        if(Prags[j]>0 || j==255){ //pentru calcul pe toate intervalele

            prag01=prag1;
            prag1=prag2; //pentru calcul pe toate intervalele
            prag2=j;
            cc++;

        }

        if(cc>0){ //pentru calcul spe toate intervalele
            center=(prag1+prag2)/2; //determine the center of interval
            printf("\n\n Interval de calcul: %d - %d ; center is %d with value %d; \n limits values: %d ,
%d",prag1,prag2,center,H[center],H[prag1],H[prag2]);
            if (H[center]>H[prag1]&& H[center]>H[prag2]){
                HMax1=H[prag1];
                //determine the maximum of interval
                for(i=prag1; i<=prag2; i++) if(HMax1<H[i]) { HMax1=H[i]; max1=i;}

                A=HMax1;
                printf("\n maxim: %d in %d", A, max1);
                error_q=0;
                b1=-pow((prag1-max1),2)/log((float)H[prag1]/A); //printf("\n H[prag1]=%i, H[prag2]=%i\n",
H[prag1], H[prag2]);
                b2=-pow((prag2-max1),2)/log((float)H[prag2]/A); printf("\n log(%f) = %f",
(float)H[prag1]/A,log((float)H[prag1]/A));
                printf("\n b1=%f, b2=%f\n",b1, b2);
                b=(b1+b2)/2;

                for(i=prag1; i<=max1; i++) error_q+=pow(H[i]-A*exp(-pow((i-max1),2)/b),2);

                printf("\n b_optim=%i ; error_min=%f", b,error_q);
                Errors[ec]=error_q; Bs[ec++]=b;

            }
            else printf("\nThe interval represents UN\n\n");

            cc=0;

        }

    }
}

```



### //segmentarea imaginii

```
void nivelare(long Prags[256],int matr[dim1][dim2], int matr_out[dim1][dim2]) {
    int i,j,k, pp=0, col=0;
    for(k=1; k<256;k++){
        if(Prags[k]!=255){
            col+=25;
            for(i=0;i<dim1;i++){
                for(j=0;j<dim2;j++){
                    if(matr[i][j]>pp && matr[i][j]<=k)          matr_out[i][j]=col;

                }
            }
            pp=k;
        }
    }
}
```

### // eliminarea spatiilor la citirea imaginii-matrice din fisier

```
char *trim(char *str)
// http://www8.cs.umu.se/~isak/snippets/trim.c
{
    char *ibuf = str, *obuf = str;
    int i = 0, cnt = 0;

    // Trap NULL
    if (str)
    {
        // Remove leading spaces
        for (ibuf = str; *ibuf && isspace(*ibuf); ++ibuf);
        if (str != ibuf) memmove(str, ibuf, ibuf - str);

        // Collapse embedded spaces
        while (*ibuf)
        {
            if (isspace(*ibuf) && cnt)    ibuf++;
            else
            { if (!isspace(*ibuf)) cnt = 0;
              else
              { *ibuf = ' ';          cnt = 1;
                }
              obuf[i++] = *ibuf++;
            }
        }
        obuf[i] = 0;

        // Remove trailing space
        while (--i >= 0)
        {
            if (!isspace(obuf[i])) break;
        }
        obuf[++i] = 0;
    }
    return str;
}

void main(void){
    FILE *r;
    char name[6], ch;
    int matrice[dim1][dim2],matr_out[dim1][dim2],M1[dim1][dim2],M2[dim1][dim2],M3[dim1][dim2];
```

```

long Hist[256], Prags[256], Hout[256];
int c, i, j, pr, prag1, prag2,a;
int cont, b_min[20], b_q[20];
long Sum,Sum1;
//long sum11,sum12, sum21,sum22, sum3, sum4, sum5, sum6, sum7;
float media,s, errors_min[20], errors_q[20];
//clrscr);

r=fopen("D:/C-Free Standard/samples/work/blood_cells.txt","r"); //citirea imaginii matrice din fisier
printf("Matricea initiala a imaginii: \n");
c=0; i=0; j=0;
while(fgets(name, 5, r)!=NULL) if(strlen(trim(name))>0){
    matrice[i][j]=atoi(name);
    printf("%d - %d\t",c,matrice[i][j]);
    c++;

    if(c%dim2==0) { //citeste pe linii
        j=0; i++;
        // ch=getch();
        // if(ch=='c') break;
    }else j++;
}

fclose(r);
printf("\n");
printf("Calcularea histogramei initiale:\n");
calcHist(matrice,Hist);
// printf("histograma initiala:\n");
// affisareHist(Hist);
printf("\n copiem in file:\n");
HistInFile(Hist,"D:/C-Free Standard/samples/work/out.csv");

printf("\n filtram:\n");
filtru_f11(Hist);
filtru_f11(Hist);

filtru_median(Hist);
// printf("\n histograma filtrata:\n");
// affisareHist(Hist);

HistInFile(Hist,"D:/C-Free Standard/samples/work/out1.csv");

pragHNT(Hist, prag1, prag2, Prags);

ch=getch();
printf("\n calcul gauss:\n");
intervaleGauss(Hist, Prags);
for(i=0; i<=255;i++) if(Prags[i]>0)printf("\n Interval gauss: %d in %d ;",Prags[i],i);
ch=getch();
gaussCalc1(Hist, Prags, errors_min, b_min);
ch=getch();
for(i=0; i<=255;i++) if(Prags[i]>0)printf("\n Interval gauss: %d in %d ;",Prags[i],i);
transformGauss(Hist, Prags, errors_min, b_min);
ch=getch();
for(i=0; i<=255;i++) if(Prags[i]>0)printf("\n Interval gauss: %d in %d ;",Prags[i],i);
//gaussCalc2(Hist, Prags, errors_q, b_q);
//for(i=0;i<5;i++) printf("\nb_min=%d ; b_q=%d ",b_min[i],b_q[i]);

//gaussAll(Hist, Prags, Hout);

```

```





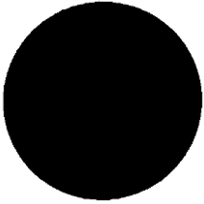
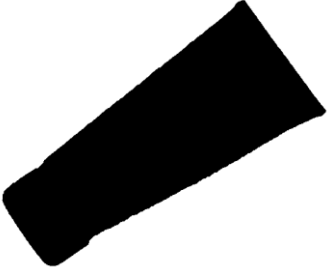





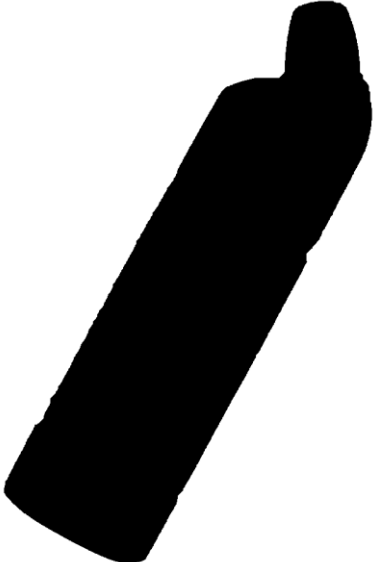


        ch=getch();
//printf("\n\n Interval continuu maxim cu pragurile: %d si %d \n\n", prag1, prag2);
nivelare(Prags, matrice,matr_out);
HistInFile(Hout,"D:/C-Free Standard/samples/work/out2.csv");
FILE *fp; //fp este un pointer catre un fisier
//se deschide fisierul in mod scriere (write)
if((fp=fopen("D:/C-Free Standard/samples/work/blood_cells1.txt","w"))==NULL)
puts("Fisierul nu poate fi deschis");
for (i=0;i<dim1;i++){ //se scriu succesiv elementele
        for(j=0;j<dim2;j++) fprintf (fp, "%d\t", matr_out[i][j]);
        fprintf(fp, "\n");
}

fclose (fp); //inchidere fisier
}

```








**Anexa 2. Exemple de imagini binare obținute în urma segmentării**

Tabelul A1. Imagini binare obținute în urma segmentării

### Anexa 3. Simbolurile de pericol și rezultatele obținute la identificarea lor aplicând diverse metode

Tabelul A3.1 Simbolurile de pericol

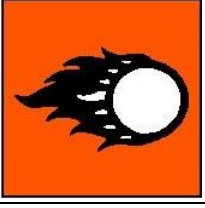





			
Danger 10	Danger 11	Danger12	Danger 13
			
Danger14	Danger 15	Danger 16	

Simbolurile de pericol sunt preluate de pe site-ul: <http://www.ilo.org/legacy/english/protection/safework/cis/products/safetytm/clasam1.htm>

Tabelul A3.2 Numărul de puncte de interes determinate

Image	ASIFT	SIFT
Danger10	37 396	1 242
Danger11	11 606	269
Danger12	9 995	232
Danger13	24 181	948
Danger14	6 569	230
Danger15	14 531	414
Danger16	16 089	403

Tabelul A3.3 Modificări aplicate șablonului

		
imrotate(I,90,'bilinear');	imrotate(I,180,'bilinear');	imresize(I, 0.9);
		
imresize(I, 0.6);	imadjust(I,[],[],0.5);	imadjust(I,[],[],1.5);

Tabelul A3.4 Potrivirea imaginilor cu șablonul nemodificat cu metodele SIFT și ASIFT

Nr. of tests	Image and template	SIFT		ASIFT	
		Nr. of matches	Result	Nr. of matches	Result
1	Danger10 & Danger11	0	F	369	T
2	Danger11 & Danger10	0	F	0	F
3	Danger10 & Danger12	0	F	434	T
4	Danger12 & Danger10	1	F	0	F
5	Danger10 & Danger13	0	F	0	F
6	Danger13 & Danger10	0	F	0	F
7	Danger10 & Danger14	2	F	64	T
8	Danger14 & Danger10	2	F	0	F
9	Danger10 & Danger15	0	F	0	F
10	Danger15 & Danger10	0	F	0	F
11	Danger10 & Danger16	2	F	135	T
12	Danger16 & Danger10	0	F	0	F
13	Danger11 & Danger12	4	T	395	T
14	Danger12 & Danger11	4	T	185	T
15	Danger11 & Danger13	9	T	0	F
16	Danger13 & Danger11	2	F	328	T
17	Danger11 & Danger14	2	F	44	T
18	Danger14 & Danger11	1	F	0	F
19	Danger11 & Danger15	0	F	0	F
20	Danger15 & Danger11	4	T	0	F
21	Danger11 & Danger16	0	F	79	T
22	Danger16 & Danger11	1	F	325	T
23	Danger12 & Danger13	0	F	187	T
24	Danger13 & Danger12	0	F	257	T
25	Danger12 & Danger14	1	F	56	T
26	Danger14 & Danger12	0	F	0	F
27	Danger12 & Danger15	2	F	68	T
28	Danger15 & Danger12	0	F	0	F
29	Danger12 & Danger16	8	T	90	T
30	Danger16 & Danger12	0	F	297	T
31	Danger13 & Danger14	10	T	41	T
32	Danger14 & Danger13	5	T	18	T
33	Danger13 & Danger15	0	F	0	F
34	Danger15 & Danger13	2	F	54	T
35	Danger13 & Danger16	8	T	61	T
36	Danger16 & Danger13	2	F	0	F
37	Danger14 & Danger15	1	F	52	T

38	Danger15 & Danger14	6	T	37	T
39	Danger14 & Danger16	8	T	76	T
40	Danger16 & Danger14	5	T	40	T
41	Danger15 & Danger16	5	T	54	T
42	Danger16 & Danger15	1	F	0	F

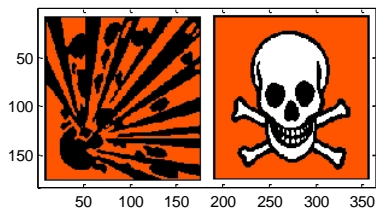
**Note:** T-True, F-False.

Algoritmul SIFT este elaborat de Lowe D., “Demo Software: SIFT Keypoint Detector”, disponibil pe: <http://www.cs.ubc.ca/~lowe/keypoints/>

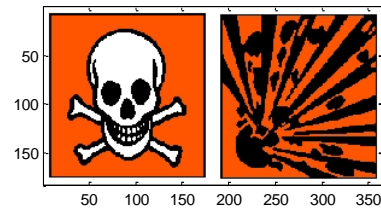
Algoritmul ASIFT este elaborate de Guoshen Yu, Morel, J.-M., “ASIFT: An Algorithm for Fully Affine Invariant Comparison”, disponibil pe: <http://www.ipol.im/pub/art/2011/my-asift/>

### 1. Exemple de test de comparare a șabloanelor cu metoda SIFT:

**Test 1.** Compararea *Danger10* cu *Danger13* și viceversa :

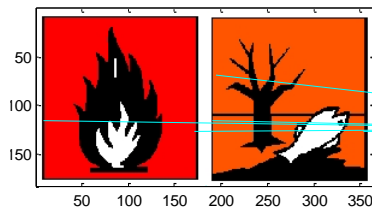


Finding keypoints...  
1242 keypoints found.  
Finding keypoints...  
269 keypoints found.  
**Found 0 matches.**  
Elapsed time is 2.516349 seconds.

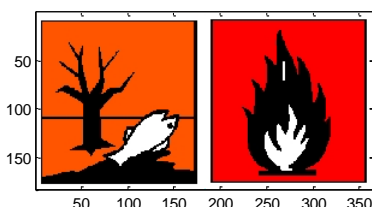


Finding keypoints...  
269 keypoints found.  
Finding keypoints...  
1242 keypoints found.  
**Found 0 matches.**  
Elapsed time is 2.504944 seconds.

**Test 2.** Compararea *Danger12* cu *Danger16* și viceversa :

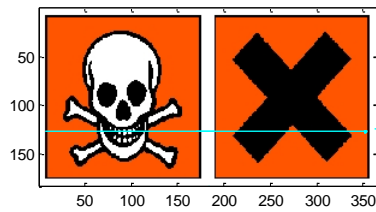


Finding keypoints...  
232 keypoints found.  
Finding keypoints...  
403 keypoints found.  
**Found 8 matches.**  
Elapsed time is 2.139371 seconds.

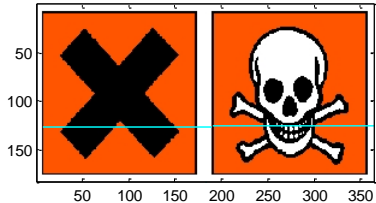


Finding keypoints...  
403 keypoints found.  
Finding keypoints...  
232 keypoints found.  
Found 0 matches.  
Elapsed time is 1.315992 seconds.

### Test 3. Compararea Danger13 cu Danger14 și viceversa:



Finding keypoints...  
948 keypoints found.  
Finding keypoints...  
230 keypoints found.  
**Found 10 matches.**  
Elapsed time is 1.738212 seconds.



Finding keypoints...  
230 keypoints found.  
Finding keypoints...  
948 keypoints found.  
**Found 5 matches.**  
Elapsed time is 1.666036 seconds.

## 2. Exemple de test de comparare a șabloanelor cu metoda ASIFT:

### Test 1. Compararea Danger10 cu Danger13 și viceversa :



Computing keypoints on the two images...  
37396 ASIFT keypoints are detected.  
24181 ASIFT keypoints are detected.  
Keypoints computation accomplished in 5 seconds.



Matching the keypoints...  
The two images do not match. The matching is not significant:  $\log(nfa)=0.605484$ .  
Keypoints matching accomplished in 3 seconds.  
**ASIFT 0 matches.**



Computing keypoints on the two images...  
24181 ASIFT keypoints are detected.  
37396 ASIFT keypoints are detected.  
Keypoints computation accomplished in 6 seconds.



Matching the keypoints...  
The two images do not match. The matching is not significant:  $\log(nfa)=8.7987$ .  
Keypoints matching accomplished in 3 seconds.  
**ASIFT 0 matches**

### Test 2. Compararea Danger15 cu Danger16 și viceversa. Observăm rezultate diferite la multiple rulări ale programului.



Computing keypoints on the two images...  
14531 ASIFT keypoints are detected.  
16089 ASIFT keypoints are detected.  
Keypoints computation accomplished in 5 seconds.



Matching the keypoints...  
The two images match! **54 matchings** are identified.  $\log(nfa)=-11.0315$ .  
Keypoints matching accomplished in 1 seconds.





Computing keypoints on the two images...

14531 ASIFT keypoints are detected.

16089 ASIFT keypoints are detected.

Keypoints computation accomplished in 4 seconds.

Matching the keypoints...

The two images match! **63 matchings** are identified.  $\log(nfa)=-11.2553$ .

Keypoints matching accomplished in 1 seconds.



Computing keypoints on the two images...

16089 ASIFT keypoints are detected.

14531 ASIFT keypoints are detected.

Keypoints computation accomplished in 5 seconds.

Matching the keypoints...

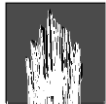
The two images do not match. The matching is not significant:  $\log(nfa)=4.65373$ .

Keypoints matching accomplished in 2 seconds.

**ASIFT 0 matches.**



### Test 3. Compararea *Danger12* cu *Danger11* și viceversa.



Computing keypoints on the two images...

9995 ASIFT keypoints are detected.

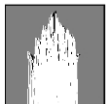
11606 ASIFT keypoints are detected.

Keypoints computation accomplished in 5 seconds.

Matching the keypoints...

The two images match! **185 matchings** are identified.  $\log(nfa)=-64.8258$ .

Keypoints matching accomplished in 1 seconds.



Computing keypoints on the two images...

11606 ASIFT keypoints are detected.

9995 ASIFT keypoints are detected.

Keypoints computation accomplished in 4 seconds.

Matching the keypoints...

The two images match! **395 matchings are identified.**  $\log(nfa)=-14.7821$ .

Keypoints matching accomplished in 1 seconds.



### Test 4. Compararea *Danger13* cu *Danger11* și viceversa.



Computing keypoints on the two images...

24181 ASIFT keypoints are detected.

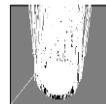
11606 ASIFT keypoints are detected.

Keypoints computation accomplished in 4 seconds.

Matching the keypoints...

The two images match! **324 matchings are identified.**  $\log(nfa)=-6.05321$ .

Keypoints matching accomplished in 2 seconds.



Computing keypoints on the two images...

24181 ASIFT keypoints are detected.

11606 ASIFT keypoints are detected.

Keypoints computation accomplished in 5 seconds.

Matching the keypoints...

The two images match! **328 matchings are identified.**  $\log(nfa)=-17.7008$ .

Keypoints matching accomplished in 1 seconds.





Computing keypoints on the two images...  
11606 ASIFT keypoints are detected.  
24181 ASIFT keypoints are detected.  
Keypoints computation accomplished in 5 seconds.



Matching the keypoints...  
The two images do not match. The matching is not significant:  $\log(nfa)=4.43016$ .  
Keypoints matching accomplished in 2 seconds.  
**ASIFT 0 matches.**

#### Test 5. Compararea *Danger15* cu *Danger13* și viceversa.



Computing keypoints on the two images...  
14531 ASIFT keypoints are detected.  
24181 ASIFT keypoints are detected.  
Keypoints computation accomplished in 5 seconds.



Matching the keypoints...  
**The two images match! 54 matchings are identified.**  $\log(nfa)=-3.65579$ .  
Keypoints matching accomplished in 1 seconds.



Computing keypoints on the two images...  
24181 ASIFT keypoints are detected.  
14531 ASIFT keypoints are detected.  
Keypoints computation accomplished in 5 seconds.



Matching the keypoints...  
The two images do not match. The matching is not significant:  $\log(nfa)=2.07578$ .  
Keypoints matching accomplished in 2 seconds.  
**ASIFT 0 matches.**

## Anexa 4. Algoritmul fuzzy pentru clasificarea obiectelor

### [System]

Name='ShapesClassification'  
Type='mamdani'  
Version=2.0  
NumInputs=3  
NumOutputs=1  
NumRules=13  
AndMethod='min'  
OrMethod='max'  
ImpMethod='min'  
AggMethod='max'  
DefuzzMethod='mom'

### [Input1]

Name='Shape'  
Range=[0 1]  
NumMFs=4  
MF1='Elongated': 'trapmf', [0 0 0.45 0.55]  
MF2='Irregular': 'trapmf', [0.45 0.55 0.7 0.75]  
MF3='Oval': 'trapmf', [0.7 0.75 0.85 0.885]  
MF4='Round': 'trapmf', [0.85 0.885 1 1]

### [Input2]

Name='Size'  
Range=[0 0.5]  
NumMFs=4  
MF1='Small': 'trapmf', [0 0 0.025 0.04]  
MF2='Medium': 'trapmf', [0.025 0.04 0.06 0.1]  
MF3='Large': 'trapmf', [0.06 0.1 0.15 0.2]  
MF4='ExtraLarge': 'trapmf', [0.15 0.2 0.5 0.5]

### [Input3]

Name='Symmetry'  
Range=[0 1]  
NumMFs=3  
MF1='Small': 'trapmf', [0 0 0.2 0.3]  
MF2='Medium': 'trapmf', [0.2 0.3 0.55 0.6]  
MF3='Big': 'trapmf', [0.55 0.6 1 1]

### [Output1]

Name='ObjectType'  
Range=[-0.1 1.1]  
NumMFs=3  
MF1='Dangerous': 'trimf', [-0.05 0 0.05]  
MF2='Undetermined': 'trimf', [0.45 0.5 0.55]  
MF3='Recyclable': 'trimf', [0.95 1 1.05]

### [Rules]

1 1 3, 1 (1) : 1	1 4 2, 2 (1) : 1
1 2 3, 1 (1) : 1	1 1 1, 2 (1) : 1
1 3 3, 1 (1) : 1	1 2 1, 2 (1) : 1
1 4 3, 2 (1) : 1	1 3 1, 2 (1) : 1
1 1 2, 1 (0.7) : 1	1 4 1, 2 (1) : 1
1 2 2, 1 (0.7) : 1	1 3 2, 3 (1) : 1
1 3 2, 1 (0.7) : 1	

## DECLARAȚIA PRIVIND ASUMAREA RĂSPUNDERII

Subsemnata, declar pe proprie răspundere că materialele prezentate în teza de doctorat sunt rezultatul propriilor cercetări și realizări științifice, în caz contrar urmând să suport consecințele, în conformitate cu legislația în vigoare.

RUSU Mariana

Semnătura



Data 19.11.2018

## CURRICULUM VITAE

### INFORMAȚII PERSONALE

Nume, prenume: Rusu Mariana

Data nașterii: 23/08/1981

Locul nașterii: Călărași

Cetățenia: Republica Moldova

[rusu.maryana@gmail.com](mailto:rusu.maryana@gmail.com)



### EXPERIENȚA PROFESIONALĂ

06/2008–09/2011 **Inginer și Responsabil de Spațiu Francofon la Filiera Francofonă Informatica**, Universitatea Tehnică a Moldovei, Chișinău (Republica Moldova)

01/09/2008–Prezent **Lector la Filiera Francofonă Informatica**, Universitatea Tehnică a Moldovei, Chișinău (Republica Moldova)

### EDUCAȚIE ȘI FORMARE

2003–2007 **Licențiat în Informatică**, Universitatea Tehnică a Moldovei

2008–2010 **Master în Științe Exacte**, Universitatea Tehnică a Moldovei

2010–2013 **doctorandă la specialitatea „Modelare matematică, metode matematice, produse program”**, Universitatea Tehnică a Moldovei

### COMPETENȚE PERSONALE

Limba(i) maternă(e) română

Alte limbi străine cunoscute : franceză și rusă **experimentat**, engleză **independent**, germană **elementar**.

### INFORMAȚII SUPLIMENTARE

**Conferințe, distincții, școli doctorale**

- 17 mai 2012– participarea la a 4-a Conferință Internațională de Telecomunicații, Electronică și Informatică organizată de Universitatea Tehnică a Moldovei, ICTEI 2012
- 14-18 iunie – Summer School on Human-Machine Systems, Cyborgs, and Enhancing Devices, organizată de Universitatea Tehnică «Gheorghe Asachi» din Iași

- 18 -23 iunie – Doctoral Summer School on Evolutionary Computing in Optimisation and Data Mining (ECODAM), organizată de Universitatea "Al.I.Cuza" din Iasi,
- 18-20 aprilie 2013 ICNBME – 2nd International Conference on Nanotechnologies and Biomedical Engineering, Chisinau
- Bursa "Eugen Ionescu" oferită de Guvernul României, sub egida Agenției Universitare a Francofoniei (AUF), anul de studii 2012-2013
- Bursa de excelență a Guvernului pentru doctoranzi pe anul 2013, HOTĂRÎRE Nr. 994 din 26.12.2012, publicat : 28.12.2012 în Monitorul Oficial Nr. 273-279, art Nr : 1070, <http://lex.justice.md/viewdoc.php?action=view&view=doc&id=346113&lang=1>
- Membru al Consiliului doctoranzilor de pe lângă Consiliul Național pentru Acreditare și Atestare pentru doctoranzi pe anul 2013
- Premiul senatului UTM – Cel mai bun doctorand al anului 2011-2012 (gr. II)
- Premiul senatului UTM – Cel mai bun doctorand al anului 2012-2013 (gr. III)
- Bursa "Eugen Ionescu" oferită de Guvernul României, sub egida Agenției Universitare a Francofoniei (AUF), anul de studii 2013-2014
- 26-27 iunie 2015 - participarea la International Conference 7th Edition Electronics, Computers and Artificial Intelligence, Bucharest – Romania
- 19-21 noiembrie 2015 - participarea la IEEE Int. Conf. on E-Health and Bioengineering (EHB 2015), Iasi- Romania.
- 24 martie 2016 - participarea la simpozionul IIVA 2016 (Information in Image and Video Analysis Theory and Applications) Simpozion Aniversar Dedicat aniversării a 150 de ani de la înființarea Academiei Române & 25 de ani de la înființarea Secției de Știința și Tehnologia Informației, Iasi-Romania.

### Publicații

- Luchianov L., Istrati D., Popescu M., Zubco S., Sisteme de operare "Introducere în Linux" Partea I, Îndrumar de laborator, 50 pagini, UTM, Chișinău, 2009
- Rusu M., Horia-Nicolai L. Teodorescu, "A Method for Image Segmentation based on Histograms – Preliminary Results", 4th International Conference Telecommunications, Electronics and Informatics, pp.351-354, UTM, 2012.
- Teodorescu HN., Rusu M., "Yet Another Method for Image Segmentation based on Histograms and Heuristics", Computer Science Journal of Moldova, vol.20, no.2(59), pp. 163-177, 2012, <http://www.math.md/publications/csjm/issues/v20-n2/11087/>.

- Teodorescu HN., Rusu M., “Image Segmentation Based on G-UN-MMs and Heuristics - Theoretical Background and Results –” Proceedings of the Romanian Academy, Series A, Vol. 14, No. 1/2013, pp. 78–85, 2013  
<http://www.acad.ro/sectii2002/proceedings/doc2013-1/12-Teodorescu.pdf>
- Rusu M., Teodorescu HN., „Quality Analysis of Image Segmentation based on G-UN-MMs”, 2nd International Conference on Nanotechnologies and Biomedical Engineering, Chisinau, Republic of Moldova, pp. 620-624, April 18-20, 2013  
[http://www.icnbme.sibm.md/bio\\_imaging.html](http://www.icnbme.sibm.md/bio_imaging.html)
- Moraru V., Rusu M., „Algorithm for linear pattern separation”, Meridian Ingineresc, No. 2, pp. 26-29, 2013  
[http://www.utm.md/meridian/2013/0\\_Meridian\\_Ingineresc\\_nr2\\_2013.pdf](http://www.utm.md/meridian/2013/0_Meridian_Ingineresc_nr2_2013.pdf)
- Rusu M., „Thresholding methods and quantitative evaluation of results”, Meridian Ingineresc, No. 2, pp. 18-25, 2013  
[http://www.utm.md/meridian/2013/0\\_Meridian\\_Ingineresc\\_nr2\\_2013.pdf](http://www.utm.md/meridian/2013/0_Meridian_Ingineresc_nr2_2013.pdf)
- Teodorescu HN., Rusu M., Improved Heterogeneous Gaussian and Uniform Mixed Models (G-U-MM) and Their Use in Image Segmentation, Romanian Journal of Information Science and Technology, Volume 16, Number 1, 2013, pp. 29-51  
<http://www.imt.ro/romjist/>.
- Rusu M., „Computerized visual inspection applied to identification and classification of labeled chemicals”, International Conference 7th Edition Electronics, Computers and Artificial Intelligence, IEEE Conference Publications, Bucharest – Romania, Vol. 7, No. 2, 6p., 2015  
<http://ieeexplore.ieee.org/xpl/articleDetails.jsp?reload=true&arnumber=7301214>
- Rusu M., Zbancioc M.-D., Automated identification of objects based on Normalized Cross-Correlation and Genetic Algorithm, IEEE Int. Conf. on E-Health and Bioengineering, 4 p., 2015  
<http://ieeexplore.ieee.org/xpl/articleDetails.jsp?arnumber=7391457>
- Rusu M., Zbancioc M.-D., Fuzzy Rule-based System for Pattern Recognition and Automated Classification, Computer Science Journal of Moldova, Vol.25, No.1(73), 19 p., 2017